

И. Е. ИРОДОВ

ОСНОВНЫЕ ЗАКОНЫ МЕХАНИКИ

ИЗДАНИЕ ВТОРОЕ,
ПЕРЕРАБОТАННОЕ

Допущено
Министерством высшего и среднего
специального образования СССР
в качестве учебного пособия
для студентов физических
специальностей высших учебных
заведений



МОСКВА «ВЫСШАЯ ШКОЛА» 1978

531
И77
УДК 531 + 530.12
(075)

Рецензент — канд. физ.-мат. наук Л. В. Тарасов.

Иродов И. Е.:
И77 Основные законы механики: Учебн. пособие для вузов. — 2-е изд., перераб. — М.: Высш. школа, 1978. — 240 с., ил.

35 к.

В книге рассмотрены основные законы механики — законы движения и законы сохранения энергии, импульса и момента импульса. Показаны возможности их применения. С этой целью дано большое разнообразие примеров и задач. Пособие состоит из двух частей: классической механики и релятивистской механики. Весь материал изложен в соответствии с программой курса общей физики для вузов.

Предназначается для студентов физических специальностей вузов.

И $\frac{20401-217}{001(01)-78}$ 34-78

531

О Г Л А В Л Е Н И Е

Предисловие ко второму изданию	Стр. 5
Система обозначений	5
Введение.	7

Ча с т ь I

Классическая механика

<i>Глава 1.</i> Основы кинематики.	10
§ 1.1. Кинематика точки.	10
§ 1.2. Кинематика твердого тела	16
§ 1.3. Преобразования скорости и ускорения при переходе к другой системе отсчета	24
Задачи к главе 1	28
<i>Глава 2.</i> Основное уравнение динамики.	34
§ 2.1. Инерциальные системы отсчета.	34
§ 2.2. Основные законы ньютоновской динамики	37
§ 2.3. Законы сил.	42
§ 2.4. Основное уравнение динамики.	45
§ 2.5. Неинерциальные системы отсчета. Силы инерции.	48
Задачи к главе 2	53
<i>Глава 3.</i> Закон сохранения энергии.	62
§ 3.1. О законах сохранения	62
§ 3.2. Работа и мощность.	64
§ 3.3. Потенциальное поле сил.	68
§ 3.4. Механическая энергия частицы в поле	78
§ 3.5. Закон сохранения энергии системы	82
Задачи к главе 3	91
<i>Глава 4.</i> Закон сохранения импульса.	100
§ 4.1. Импульс. Закон его сохранения	100
§ 4.2. Центр инерции. Ц-система	105
§ 4.3. Столкновение двух частиц.	111
§ 4.4. Движение тела с переменной массой	120
Задачи к главе 4.	122
<i>Глава 5.</i> Закон сохранения момента импульса	129
§ 5.1. Момент импульса частицы. Момент силы	129
§ 5.2. Закон сохранения момента импульса	135
§ 5.3. Собственный момент импульса	140
§ 5.4. Динамика твердого тела	144
Задачи к главе 5	157

Часть II

Релятивистская механика

Глава 6. Кинематика специальной теории относительности	166
§ 6.1. Введение	166
§ 6.2. Постулаты Эйнштейна	171
§ 6.3. Замедление времени и сокращение длины	175
§ 6.4. Преобразования Лоренца	183
§ 6.5. Следствия из преобразований Лоренца	186
§ 6.6. Геометрическая интерпретация преобразований Лоренца	192
Задачи к главе 6	195
Глава 7. Релятивистская динамика	201
§ 7.1. Релятивистский импульс	201
§ 7.2. Основное уравнение релятивистской динамики	205
§ 7.3. Закон взаимосвязи массы и энергии	207
§ 7.4. Связь между энергией и импульсом частицы	211
§ 7.5. Система релятивистских частиц	215
Задачи к главе 7	221
Приложения	228
1. Движение точки в полярных координатах	228
2. О задаче Кеплера	229
3. Доказательство теоремы Штейнера	231
4. Греческий алфавит	232
5. Формулы алгебры и тригонометрии	232
6. Таблица производных и интегралов	234
7. Некоторые сведения о векторах	235
8. Единицы механических величин в системах СИ и СГС	236
9. Десятичные приставки к названиям единиц	236
10. Некоторые внесистемные единицы	237
11. Астрономические величины	237
12. Физические постоянные	237
Предметный указатель	238

ПРЕДИСЛОВИЕ КО ВТОРОМУ ИЗДАНИЮ

Цель этой книги — сосредоточить внимание на *основных* законах механики (законах движения и законах сохранения энергии, импульса и момента импульса), а также показать, *как* следует применять эти законы при решении различных конкретных вопросов. При этом автор стремился освободить книгу от всего второстепенного, чтобы иметь возможность сконцентрировать внимание на тех вопросах, которые представляют наибольшие трудности для понимания.

Книга содержит две части: 1) классическая механика и 2) релятивистская механика. В первой части законы механики рассмотрены в ньютоновском приближении, т. е. при скоростях движения, значительно меньших скорости света, во второй — при скоростях, сравнимых со скоростью света.

В каждой главе сначала излагается теория соответствующего вопроса, а затем на ряде наиболее поучительных и интересных в физическом отношении примеров и задач показывается, как следует подходить к их решению. Задачи (их около 80) тесно связаны с основным текстом, часто являясь его развитием и дополнением, и поэтому работа над ними не менее важна, чем изучение основного текста.

В настоящем издании сделан ряд исправлений и уточнений, имеющих целью оттенить физическую сущность изучаемых вопросов. В первую очередь это касается второго закона Ньютона и законов сохранения. Кроме того, заменены некоторые примеры и задачи.

Автор весьма признателен всем, кто сообщил свои замечания по книге и тем самым способствовал ее улучшению.

И. Иродов

СИСТЕМА ОБОЗНАЧЕНИЙ

Векторы обозначены жирным и прямым шрифтом (например, \mathbf{r} , \mathbf{F}); та же буква светлым шрифтом (r , F) означает модуль вектора. *Средние величины* отмечены скобками $\langle \rangle$, например $\langle v \rangle$, $\langle N \rangle$.

Символы Δ , d , δ перед величинами означают:

Δ — конечное приращение величины, т. е. разность ее конечного и начального значений, например $\Delta r = r_2 - r_1$, $\Delta U = U_2 - U_1$;

d — дифференциал (бесконечно малое приращение), например dr , dU ;

δ — элементарное значение величины, например δA — элементарная работа.

Орты — единичные векторы:

- i, j, k — орты декартовых координат x, y, z ;
 e_ρ, e_φ, e_z — орты цилиндрических координат ρ, φ, z ;
 n, τ — орты нормали и касательной к траектории.

Системы отсчета обозначены курсивными буквами K, K' и \mathcal{C} .
 \mathcal{C} -система — это система отсчета, связанная с центром инерции и движущаяся поступательно по отношению к инерциальным системам. Все величины в \mathcal{C} -системе помечены сверху значком \sim (тильда), например \tilde{r}, \tilde{E} .

- A — работа,
 c — скорость света в вакууме,
 E — полная механическая энергия, полная энергия,
 E — напряженность электрического поля,
 e — элементарный электрический заряд,
 F — сила,
 G — напряженность поля,
 g — ускорение свободного падения,
 I — момент инерции,
 L — момент импульса относительно точки,
 L_z — момент импульса относительно оси,
 l — дуговая координата, плечо вектора,
 M — момент силы относительно точки,
 M_z — момент силы относительно оси,
 m — масса, релятивистская масса, m_0 — масса покоя,
 N — мощность,
 p — импульс,
 q — электрический заряд,
 r — радиус-вектор,
 s — путь, интервал,
 t — время,
 T — кинетическая энергия,
 U — потенциальная энергия,
 v — скорость точки или частицы,
 w — ускорение точки или частицы.
- β — угловое ускорение,
 β — скорость в единицах скорости света,
 γ — гравитационная постоянная, лоренц-фактор,
 ϵ — энергия фотона,
 κ — коэффициент упругой (квазиупругой) силы
 μ — приведенная масса,
 ρ — радиус кривизны, радиус-вектор кратчайшего расстояния до оси, плотность,
 φ — азимутальный угол, потенциал,
 ω — угловая скорость,
 Ω — телесный угол.

ВВЕДЕНИЕ

Механика — это раздел физики, в котором изучается простейшая форма движения материи — механическое движение, т. е. движение тел в пространстве и времени. Тот факт, что механические явления протекают в пространстве и времени, находит свое отражение в любом механическом законе, содержащем явно или неявно пространственно-временные соотношения — расстояния и промежутки времени.

Положение тела в пространстве может быть определено только по отношению к каким-либо другим телам. Это же относится и к движению тела, т. е. к изменению его положения с течением времени. Тело (или система неподвижных относительно друг друга тел), которое служит для определения положения интересующего нас тела, называют телом отсчета.

Практически для описания движения с телом отсчета связывают какую-нибудь систему координат, например декартову. Координаты тела позволяют установить его положение в пространстве. Далее, так как движение происходит не только в пространстве, но и во времени, то для описания движения необходимо отсчитывать также и время. Это делается с помощью часов того или иного типа.

Совокупность тела отсчета и связанных с ним координат и синхронизированных между собой часов образует так называемую систему отсчета. Понятие системы отсчета является фундаментальным в физике. Пространственно-временное описание движения при помощи расстояний и промежутков времени возможно только тогда, когда выбрана определенная система отсчета.

Пространство и время сами являются такими же *физическими* объектами, как и любые другие, однако неизмеримо более важными и существенными. Чтобы изучить свойства пространства и времени, нужно наблюдать движение тел, которые в них находятся. Исследуя характер движения тел, мы тем самым познаем и свойства пространства и времени.

Опыт показывает, что пока скорости тел малы по сравнению со скоростью света, линейные масштабы и промежутки времени остаются *неизменными* при переходе от одной сис-

темы отсчета к другой, т. е. не зависят от выбора системы отсчета. Это нашло свое выражение в ньютоновской концепции абсолютности пространства и времени. Механику, изучающую движения тел именно в этих случаях, называют *классической*.

При переходе же к скоростям, сравнимым со скоростью света, обнаруживается, что характер движения тел радикально меняется. При этом линейные масштабы и промежутки времени уже *зависят* от выбора системы отсчета и в разных системах отсчета будут разными. Механику, основанную на этих представлениях, называют *релятивистской*. Естественно, что релятивистская механика является более общей и в частном случае малых скоростей переходит в классическую.

Реальные движения тел настолько сложны, что, изучая их, необходимо отвлечься от несущественных для рассматриваемого движения деталей (в противном случае задача так усложнилась бы, что решить ее практически было бы невозможно). С этой целью используют понятия (абстракции, идеализации), применимость которых зависит от конкретного характера интересующей нас задачи, а также от той степени точности, с которой мы хотим получить результат. Среди этих понятий большую роль играют понятия материальной точки и абсолютно твердого тела.

Материальная точка, или, короче, *частица*, — это тело, размерами которого в условиях данной задачи можно пренебречь. Ясно, что одно и то же тело в одних случаях можно рассматривать как материальную точку, в других же — как протяженное тело.

Абсолютно твердое тело, или, короче, *твердое тело*, — это система материальных точек, расстояния между которыми не меняются в процессе движения. Реальное тело можно считать абсолютно твердым, если в условиях рассматриваемой задачи его деформации пренебрежимо малы.

Механика ставит перед собой две основные задачи:

1. Изучение различных движений и обобщение полученных результатов в виде законов движения — законов, с помощью которых может быть предсказан характер движения в каждом конкретном случае.

2. Отыскание общих свойств, присущих любой системе, независимо от конкретного рода взаимодействий между телами системы.

Решение первой задачи привело к установлению Ньютоном и Эйнштейном так называемых динамических зако-

нов, решение же второй задачи — к обнаружению законов сохранения таких фундаментальных величин, как энергия, импульс и момент импульса.

Динамические законы и законы сохранения энергии, импульса и момента импульса представляют собой основные законы механики. Изучение их и составляет содержание этой книги.

ЧАСТЬ I

КЛАССИЧЕСКАЯ МЕХАНИКА

ГЛАВА I

ОСНОВЫ КИНЕМАТИКИ

Кинематика — это раздел механики, где изучаются способы описания движений независимо от причин, обуславливающих эти движения. В этой главе будут рассмотрены три вопроса: кинематика точки, кинематика твердого тела и преобразование скорости и ускорения при переходе от одной системы отсчета к другой.

§ 1.1. Кинематика точки

Существует три способа описания движения точки: векторный, координатный и так называемый естественный. Рассмотрим их последовательно.

Векторный способ. В этом способе положение интересующей нас точки A задают радиусом-вектором \mathbf{r} , проведенным из некоторой неподвижной точки O выбранной системы отсчета в точку A . При движении точки A ее радиус-вектор меняется в общем случае как по модулю, так и по направлению, т. е. радиус-вектор \mathbf{r} зависит от времени t . Геометрическое место концов радиуса-вектора \mathbf{r} называют *траекторией* точки A .

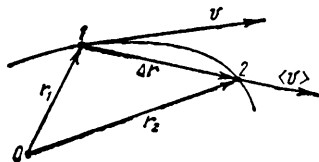


Рис. 1

Введем понятие *скорости* точки. Пусть за промежуток времени Δt точка A переместилась из точки 1 в точку 2 (рис. 1). Из рисунка видно, что *вектор перемещения* $\Delta \mathbf{r}$ точки A представляет собой приращение радиуса-вектора \mathbf{r} за время Δt : $\Delta \mathbf{r} = \mathbf{r}_2 - \mathbf{r}_1$. Отношение $\Delta \mathbf{r} / \Delta t$ называют *средним вектором скорости* $\langle \mathbf{v} \rangle$ за время Δt . Вектор $\langle \mathbf{v} \rangle$ совпадает по направлению с $\Delta \mathbf{r}$. Определим теперь вектор

скорости v точки в данный момент времени как предел отношения $\Delta r/\Delta t$ при $\Delta t \rightarrow 0$, т. е.

$$v = \lim_{\Delta t \rightarrow 0} \frac{\Delta r}{\Delta t} = \frac{dr}{dt}. \quad (1.1)$$

Это значит, что вектор скорости v точки в данный момент времени равен производной от радиуса-вектора r по времени и направлен по касательной к траектории в данной точке в сторону движения точки A (как и вектор dr). Модуль вектора v равен*

$$v = |v| = |dr/dt|$$

Движение точки характеризуется также *ускорением*. Вектор ускорения w определяет скорость изменения вектора скорости точки со временем:

$$w = dv/dt, \quad (1.2)$$

т. е. равен производной от вектора скорости по времени. Направление вектора w совпадает с направлением вектора dv — приращением вектора v за время dt . Модуль вектора w определяется аналогично модулю вектора v .

Пример. Радиус-вектор точки зависит от времени t по закону

$$r = at + bt^2/2,$$

где a и b — постоянные векторы. Найдем скорость v и ускорение w точки:

$$v = dr/dt = a + bt, \quad w = dv/dt = b = \text{const.}$$

Модуль вектора скорости

$$v = \sqrt{v^2} = \sqrt{a^2 + 2abt + b^2 t^2}.$$

Таким образом, зная зависимость $r(t)$, можно найти скорость v и ускорение w точки в каждый момент времени.

Возникает и обратная задача: можно ли найти $v(t)$ и $r(t)$, зная зависимость от времени ускорения $w(t)$?

Оказывается, для получения однозначного решения этой задачи одной зависимости $w(t)$ недостаточно, необходимо еще знать так называемые *начальные условия*, а именно скорость v_0 и радиус-вектор r_0 точки в некоторый начальный момент $t=0$. Чтобы в этом убедиться, рассмотрим про-

* Заметим, что в общем случае $|dr| \neq dr$, где r — модуль радиуса-вектора r и $v \neq dr/dt$. Например, если r меняется только по направлению (точка движется по окружности), то $r = \text{const}$, $dr = 0$, но $|dr| \neq 0$.

стейший случай, когда в процессе движения ускорение точки $w = \text{const}$.

Сначала определим скорость точки $v(t)$. Согласно (1.2), за промежуток времени dt элементарное приращение скорости $dv = wdt$. Проинтегрировав это выражение по времени от $t = 0$ до t , найдем приращение вектора скорости за это время:

$$\Delta v = \int_0^t w dt = \bar{w}t.$$

Но величина Δv — это еще не искомая скорость v . Чтобы найти v , необходимо знать скорость v_0 в начальный момент времени. Тогда $v = v_0 + \Delta v$, или

$$v = v_0 + wt.$$

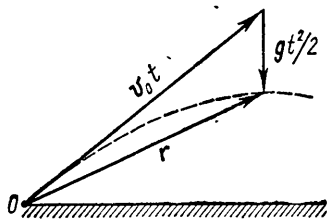


Рис. 2

Аналогично решается вопрос и о радиусе-векторе $r(t)$ точки. Согласно (1.1), за промежуток времени dt элементарное приращение радиуса-вектора $dr = vdt$. Интегрируя это

выражение с учетом найденной зависимости $v(t)$, определим приращение радиуса-вектора за время от $t = 0$ до t :

$$\Delta r = \int_0^t v(t) dt = v_0 t + wt^2/2.$$

Для нахождения самого радиуса-вектора $r(t)$ необходимо знать еще положение точки r_0 в начальный момент времени. Тогда $r = r_0 + \Delta r$, или

$$r = r_0 + v_0 t + wt^2/2.$$

Рассмотрим, например, движение камня, брошенного под некоторым углом к горизонту с начальной скоростью v_0 . Если считать, что камень движется с постоянным ускорением $w = g$, то его положение относительно точки бросания ($r_0 = 0$) определяется радиусом-вектором

$$r = v_0 t + gt^2/2,$$

т. е. в данном случае r представляет собой сумму двух векторов, что показано на рис. 2.

Итак, для полного решения задачи о движении точки — определения ее скорости v и положения r в зависимости от

времени — недостаточно знать зависимость $w(t)$, но еще необходимо знать и начальные условия, т. е. скорость v_0 и положение r_0 точки в начальный момент времени.

Координатный способ. В этом способе с выбранным телом отсчета жестко связывают определенную систему координат (декартову, косоугольную или криволинейную). Выбор той или иной системы координат определяется рядом соображений: характером или симметрией задачи, постановкой вопроса, а также стремлением упростить само решение. Ограничимся здесь* декартовой системой координат x, y, z .

Запишем проекции на оси x, y, z радиуса-вектора $r(t)$, характеризующего положение интересующей нас точки относительно начала координат O в момент t :

$$x = x(t); \quad y = y(t); \quad z = z(t).$$

Зная зависимость этих координат от времени — закон движения точки, можно найти положение точки в каждый момент времени, ее скорость и ускорение. Действительно, спроектировав (1.1) и (1.2), например, на ось x , получим формулы, определяющие проекции векторов скорости и ускорения на эту ось:

$$v_x = dx/dt, \quad (1.3)$$

где dx — проекция вектора перемещения dr на ось x ;

$$w_x = dv_x/dt = d^2x/dt^2, \quad (1.4)$$

где dv_x — проекция вектора приращения скорости dv на ось x . Аналогичные соотношения получаются для y - и z -проекций соответствующих векторов. Из этих формул видно, что проекции векторов скорости и ускорения равны соответственно первой и второй производным координат по времени.

Таким образом, зависимости $x(t), y(t), z(t)$ по существу полностью определяют движение точки. Зная их, можно найти не только положение точки, но и проекции ее скорости и ускорения, а следовательно, модуль и направление векторов v и w в любой момент времени. Например, модуль вектора скорости

$$v = \sqrt{v_x^2 + v_y^2 + v_z^2};$$

* В приложении 1 рассмотрено движение точки в полярных координатах.

направление же вектора \mathbf{v} задается направляющими косинусами по формулам:

$$\cos \alpha = v_x/v; \quad \cos \beta = v_y/v; \quad \cos \gamma = v_z/v,$$

где α, β, γ — углы между вектором \mathbf{v} и осями x, y, z соответственно. Аналогичными формулами определяются модуль и направление вектора ускорения.

Кроме того, можно решить и ряд других вопросов: найти траекторию точки, зависимость пройденного ею пути от времени, зависимость скорости от положения точки и пр.

Решение обратной задачи — нахождение скорости и закона движения точки по заданному ускорению — проводится, как и в векторном способе, путем интегрирования (в данном случае проекций ускорения по времени), причем задача и здесь имеет однозначное решение, если кроме ускорения заданы еще и начальные условия: проекции скорости и координаты точки в начальный момент.

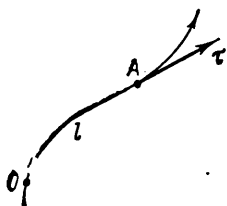


Рис. 3

«Естественный» способ. Этот способ применяют тогда, когда траектория точки известна заранее. Положение точки A определяют *дуговой координатой* l — расстоянием вдоль траектории от выбранного начала отсчета O (рис. 3). При этом произвольно устанавливают положительное направление отсчета координаты l (например, так, как показано стрелкой на этом рисунке).

Движение точки определено, если известны ее траектория, начало отсчета O , положительное направление отсчета дуговой координаты l и закон движения точки, т. е. зависимость $l(t)$.

Скорость точки. Введем единичный вектор $\boldsymbol{\tau}$, связанный с движущейся точкой A и направленный по касательной к траектории в сторону возрастания дуговой координаты l (рис. 3). Очевидно, что $\boldsymbol{\tau}$ — переменный вектор: он зависит от l . Вектор скорости \mathbf{v} точки A направлен по касательной к траектории, поэтому его можно представить так:

$$\boxed{\mathbf{v} = v_{\tau} \boldsymbol{\tau}}, \quad (1.5)$$

где $v_{\tau} = dl/dt$ — проекция вектора \mathbf{v} на направление вектора $\boldsymbol{\tau}$, причем v_{τ} — величина алгебраическая. Кроме того, очевидно, что

$$|v_{\tau}| = |\mathbf{v}| = v.$$

Ускорение точки. Продифференцируем (1.5) по времени:

$$\mathbf{w} = \frac{dv}{dt} \boldsymbol{\tau} + v \frac{d\boldsymbol{\tau}}{dt}. \quad (1.6)$$

Затем преобразуем последний член этого выражения:

$$v \frac{d\boldsymbol{\tau}}{dt} = v \frac{d\boldsymbol{\tau}}{dl} \frac{dl}{dt} = v^2 \frac{d\boldsymbol{\tau}}{dl} = v^2 \frac{d\boldsymbol{\tau}}{dl}. \quad (1.7)$$

Определим приращение вектора $\boldsymbol{\tau}$ на участке dl (рис. 4). Можно строго показать, что при стремлении точки 2 к точке 1 отрезок траектории между ними стремится к дуге окруж-

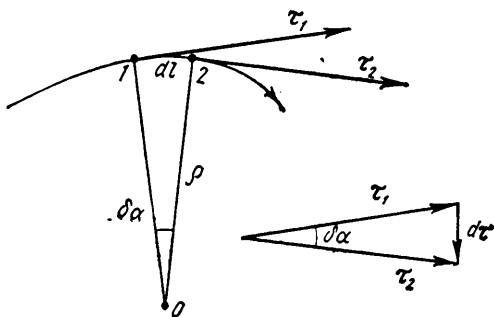


Рис. 4

ности с центром в некоторой точке O . Точку O называют центром кривизны траектории в данной точке, а радиус ρ соответствующей окружности — радиусом кривизны траектории в той же точке.

Как видно из рис. 4, угол $\delta\alpha = |dl|/\rho = |d\boldsymbol{\tau}|/v$, откуда

$$|d\boldsymbol{\tau}/dl| = 1/\rho,$$

причем при $dl \rightarrow 0$ $d\boldsymbol{\tau} \perp \boldsymbol{\tau}$. Введя единичный вектор \mathbf{n} нормали к траектории в точке 1, направленный к центру кривизны, запишем последнее равенство в векторном виде:

$$d\boldsymbol{\tau}/dl = \mathbf{n}/\rho. \quad (1.8)$$

Теперь подставим (1.8) в (1.7) и полученное выражение — в (1.6). В результате найдем

$$\boxed{\mathbf{w} = \frac{dv}{dt} \boldsymbol{\tau} + \frac{v^2}{\rho} \mathbf{n}.} \quad (1.9)$$

Здесь первое слагаемое называют *тангенциальным ускорением* w_τ , а второе — *нормальным* (центростремительным) w_n :

$$w_\tau = (dv_\tau/dt)\tau; \quad w_n = (v^2/\rho)n. \quad (1.10)$$

Таким образом, полное ускорение w точки может быть представлено как сумма тангенциального w_τ и нормального w_n ускорений.

Модуль полного ускорения точки

$$w = \sqrt{w_\tau^2 + w_n^2} = \sqrt{(dv/dt)^2 + (v^2/\rho)^2}.$$

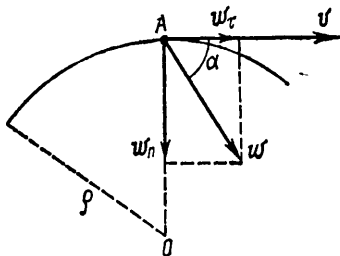


Рис. 5

Пример. Точка A движется по дуге окружности радиусом ρ (рис. 5). Ее скорость зависит от дуговой координаты l по закону $v = a\sqrt{l}$, где a — постоянная. Найдите угол α между векторами

полного ускорения и скорости точки как функцию координаты l .

Из рис. 5 видно, что угол α можно определить по формуле $\operatorname{tg} \alpha = w_n/w_\tau$. Найдём w_n и w_τ :

$$w_n = \frac{v^2}{\rho} = \frac{a^2 l}{\rho}; \quad w_\tau = \frac{dv_\tau}{dt} = \frac{dv_\tau}{dl} \frac{dl}{dt} = \frac{a}{2\sqrt{l}} a\sqrt{l} = \frac{a^2}{2}.$$

Отсюда $\operatorname{tg} \alpha = 2l/\rho$.

§ 1.2. Кинематика твердого тела

Теория движения твердого тела помимо самостоятельного значения играет важную роль еще и в другом отношении. С твердым телом, как известно, может быть связана система отсчета, служащая для пространственно-временного описания различных движений. Поэтому изучение характера движения твердых тел равносильно, по существу, изучению движений соответствующих систем отсчета. Результаты, которые мы получим в этом параграфе, будут неоднократно использоваться в дальнейшем.

Различают пять видов движения твердого тела: 1) поступательное, 2) вращение вокруг неподвижной оси, 3) плоское движение, 4) движение вокруг неподвижной точки и 5) свободное движение. Первые два движения (поступательное и вращение вокруг неподвижной оси) являются основными движениями твердого тела. Остальные виды движения твердого тела, оказывается, можно свести к одному из основ-

ных движений или к их совокупности (это будет показано на примере плоского движения).

В данном параграфе будут рассмотрены первые три вида движения и вопрос сложения угловых скоростей.

Поступательное движение. Это такое движение твердого тела, при котором любая прямая, связанная с телом, все время остается параллельной своему начальному положению. Например, вагон, движущийся по прямому участку пути; кабина колеса обозрения и др.

При поступательном движении все точки твердого тела совершают за один и тот же промежуток времени равные перемещения. Поэтому скорости и ускорения всех точек тела в данный момент времени одинаковы. Это обстоятельство позволяет свести изучение поступательного движения твердого тела к изучению движения отдельной точки тела, т. е. к задаче кинематики точки.

Таким образом, поступательное движение твердого тела может быть полностью описано, если известны зависимость от времени радиуса-вектора $r(t)$ любой точки этого тела и положение последнего в начальный момент.

Вращение вокруг неподвижной оси. Пусть твердое тело, вращаясь вокруг неподвижной в данной системе отсчета оси OO' , совершило за время dt бесконечно малый поворот. Соответствующий угол поворота будем характеризовать вектором $d\varphi$, модуль которого равен углу поворота, а направление совпадает с осью OO' , причем так, что направление поворота отвечает правилу *правого* винта по отношению к направлению вектора $d\varphi$ (рис. 6).

Теперь найдем элементарное перемещение любой точки A твердого тела при таком повороте. Положение точки A зададим радиусом-вектором r , проведенным из некоторой точки O на оси вращения. Тогда линейное перемещение конца радиуса-вектора r связано с углом поворота $d\varphi$ соотношением (рис. 6)

$$| dr | = r \sin \vartheta d\varphi,$$

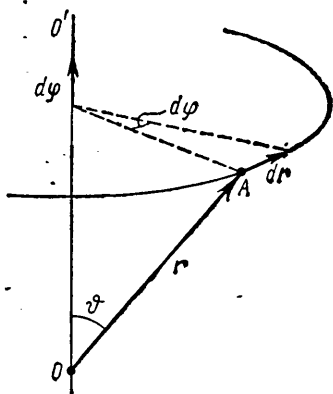


Рис. 6

или в векторном виде

$$dr = [d\varphi, r]. \quad (1.11)$$

Отметим, что это равенство справедливо лишь для бесконечно малого поворота $d\varphi$. Другими словами, только бесконечно малые повороты можно рассматривать как векторы*.

Кроме того, можно показать, что введенный нами вектор $d\varphi$ удовлетворяет основному свойству векторов — векторному сложению. В самом деле, представим себе, что твердое тело совершает два элементарных поворота $d\varphi_1$ и $d\varphi_2$ вокруг разных осей, проходящих через неподвижную точку O . Тогда результирующее перемещение dr произвольной точки A тела, радиус-вектор которой относительно точки O равен r , можно представить так:

$$dr = dr_1 + dr_2 = [d\varphi_1, r] + [d\varphi_2, r] = [d\varphi, r],$$

где

$$d\varphi = d\varphi_1 + d\varphi_2, \quad (1.12)$$

т. е. два данных поворота, $d\varphi_1$ и $d\varphi_2$, эквивалентны одному повороту на угол $d\varphi = d\varphi_1 + d\varphi_2$ вокруг оси, совпадающей с вектором $d\varphi$ и проходящей через точку O .

Заметим, что при рассмотрении таких величин, как радиус-вектор r , скорость v , ускорение w , не возникал вопрос о выборе их направления: оно вытекало естественным образом из природы самих величин. Подобные векторы называют *полярными*. В отличие от них векторы типа $d\varphi$, направление которых связывают с направлением вращения, называют *аксиальными*.

Введем теперь векторы угловой скорости и углового ускорения. Вектор угловой скорости ω определяют как

$$\omega = d\varphi/dt, \quad (1.13)$$

где dt — промежуток времени, за который тело совершает поворот $d\varphi$. Вектор ω совпадает по направлению с вектором $d\varphi$ и представляет собой аксиальный вектор.

* Для конечного поворота на угол $\Delta\varphi$ линейное перемещение точки A , как следует из рис. 6, есть

$$|\Delta r| = r \sin \vartheta \cdot 2 \sin (\Delta\varphi/2).$$

Отсюда сразу видно, что перемещение Δr нельзя представить как векторное произведение векторов $\Delta\varphi$ и r . Это возможно лишь в случае бесконечно малого поворота $d\varphi$, в пределах которого радиус-вектор r можно считать неизменным.

Изменение вектора ω со временем характеризуют вектором углового ускорения β , который определяют как

$$\beta = d\omega/dt. \quad (1.14)$$

Направление вектора β совпадает с направлением $d\omega$ — приращения вектора ω . Вектор β , как и ω , является аксиальным.

Представление угловой скорости и углового ускорения в виде векторов оказывается чрезвычайно плодотворным, особенно при изучении более сложных движений твердого тела. Это дает возможность во многих случаях получить большую наглядность, а также резко упростить как анализ движения, так и соответствующие расчеты.

Запишем выражения для угловой скорости и углового ускорения в проекциях на ось вращения z , положительное направление которой свяжем с положительным направлением отсчета координаты φ — угла поворота — правилом правого винта (рис. 7). Тогда проекции ω_z и β_z векторов ω и β на ось z определяются формулами:

$$\omega_z = d\varphi/dt, \quad (1.15)$$

$$\beta_z = d\omega_z/dt. \quad (1.16)$$

Здесь ω_z и β_z — величины алгебраические. Их знак характеризует направление соответствующего вектора. Например, если $\omega_z > 0$, то направление вектора ω совпадает с положительным направлением оси z ; если же $\omega_z < 0$, то направление вектора ω противоположно. Аналогично и для углового ускорения.

Таким образом, зная зависимость $\varphi(t)$ — закон вращения тела, по формулам (1.15) и (1.16) можно найти угловую скорость и угловое ускорение в каждый момент времени. И наоборот, зная зависимость углового ускорения от времени и начальные условия, т. е. угловую скорость ω_0 и угол φ_0 в начальный момент времени, можно найти $\omega(t)$ и $\varphi(t)$.

Пример. Твердое тело вращается вокруг неподвижной оси по закону $\varphi = at - bt^2/2$, где a и b — некоторые положительные постоянные. Найти характер движения этого тела.

Согласно (1.15) и (1.16),

$$\omega_z = a - bt; \quad \beta_z = -b = \text{const.}$$

Отсюда видно, что тело, вращаясь равнозамедленно ($\beta_z < 0$), останавливается в момент $t_0 = a/b$, а затем направление вращения (знак ω_z) изменяется на противоположное.

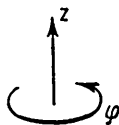


Рис. 7

Отметим, что решение всех задач на вращение твердого тела вокруг неподвижной оси аналогично по форме задачам на прямолинейное движение точки. Достаточно заменить линейные величины x , v_x и ω_x на соответствующие угловые φ , ω_z и β_z , и мы получим все закономерности и соотношения для вращающегося тела.

Связь между линейными и угловыми величинами. Найдем скорость v произвольной точки A твердого тела, вращающегося вокруг неподвижной оси OO' с угловой скоростью ω . Пусть положение точки A относительно некоторой точки O оси вращения характеризуется радиус-вектором r (рис. 8). Воспользуемся формулой (1.11), поделив ее на соответствующий промежуток времени dt . Так как $dr/dt = v$ и $d\varphi/dt = \omega$, то

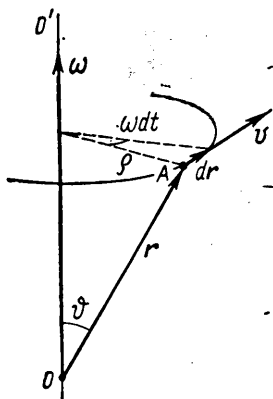


Рис. 8

$$\boxed{v = |\omega r|} \quad (1.17)$$

т. е. скорость v любой точки A твердого тела, вращающегося вокруг некоторой оси с угловой скоростью ω , равна векторному произведению ω на радиус-вектор r точки A относительно произвольной точки O оси вращения (рис. 8).

Модуль вектора (1.17) $v = \omega r \sin \vartheta$, или

$$v = \omega \rho,$$

где ρ — радиус окружности, по которой движется точка A .

Продифференцировав (1.17) по времени, найдем ускорение w точки A :

$$w = [d\omega/dt, r] + [\omega, dr/dt],$$

или

$$\boxed{w = [\beta r] + |\omega| [\omega r]} \quad (1.18)$$

В данном случае (ось вращения неподвижна) $\beta \parallel \omega$, поэтому вектор $[\beta r]$ представляет собой тангенциальное ускорение w_τ . Вектор же $[\omega[\omega r]]$ — это нормальное ускорение w_n . Модули этих ускорений равны:

$$|w_\tau| = \beta \rho; \quad w_n = \omega^2 \rho.$$

Отсюда модуль полного ускорения w есть

$$w = \sqrt{\omega_{\tau}^2 + \omega_n^2} = \rho \sqrt{\beta^2 + \omega^4}.$$

Плоское движение твердого тела. Это такое движение, при котором каждая точка твердого тела движется в плоскости, параллельной некоторой неподвижной (в данной системе отсчета) плоскости. При этом плоская фигура Φ , образованная сечением тела этой неподвижной плоскостью P (рис. 9), в процессе движения все время остается в этой

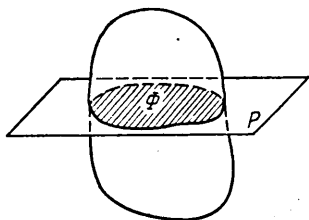


Рис. 9

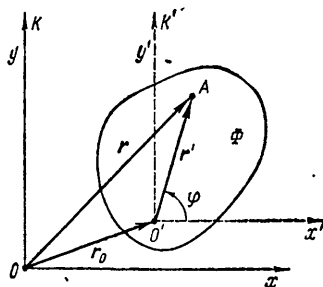


Рис. 10

плоскости, например цилиндр, катящийся по плоскости без скольжения (но конус в подобном случае совершает уже более сложное движение).

Нетрудно сообразить, что положение твердого тела при плоском движении однозначно определяется положением плоской фигуры Φ в неподвижной плоскости P . Это позволяет свести изучение плоского движения твердого тела к изучению движения плоской фигуры в ее плоскости.

Пусть плоская фигура Φ движется в своей плоскости P , неподвижной в K -системе отсчета (рис. 10). Положение фигуры Φ на плоскости можно определить, задав радиус-вектор r_0 произвольной точки O' фигуры и угол φ между радиусом-вектором r' , жестко связанным с фигурой, и некоторым фиксированным направлением в K -системе отсчета. Тогда плоское движение твердого тела будет описываться двумя уравнениями:

$$r_0 = r_0(t); \quad \varphi = \varphi(t).$$

Ясно, что если за промежуток времени dt радиус-вектор r' точки A (рис. 10) повернется на угол $d\varphi$, то на такой же угол повернется и любой отрезок, связанный с фигурой.

Другими словами, поворот фигуры на угол $d\varphi$ не зависит от выбора точки O' . А это значит, что и угловая скорость ω фигуры тоже не зависит от выбора точки O' , и мы имеем право называть ω угловой скоростью твердого тела как такового.

Найдем теперь скорость v произвольной точки A тела при плоском движении. Введем вспомогательную K' -систему отсчета, которая жестко связана с точкой O' тела и перемещается поступательно относительно K -системы (рис. 10). Тогда элементарное перемещение dr точки A в K -системе можно записать в виде

$$dr = dr_0 + dr',$$

где dr_0 — перемещение K' -системы (точки O'), а dr' — перемещение точки A относительно K' -системы. Перемещение dr' обусловлено вращением тела вокруг неподвижной в K' -системе оси, проходящей через точку O' ; согласно (1.11), $dr' = [d\varphi, r']$. Подставив это выражение в предыдущее и поделив обе части полученного равенства на dt , найдем

$$v = v_0 + [\omega r'], \quad (1.19)$$

т. е. скорость любой точки A твердого тела при плоском движении* складывается из скорости v_0 произвольной точки O' этого тела и скорости $v' = [\omega r']$, обусловленной вращением тела вокруг оси, проходящей через точку O' . Подчеркнем еще раз, что v' — это скорость точки A относительно поступательно движущейся K' -системы отсчета, жестко связанной с точкой O' .

Иначе говоря, плоское движение твердого тела можно представить как совокупность двух основных видов движения — поступательного (вместе с произвольной точкой O' тела) и вращательного (вокруг оси, проходящей через точку O').

Теперь покажем, что плоское движение можно свести к чисто вращательному. Действительно, при плоском движении скорость v_0 произвольной точки O' тела перпендикулярна вектору ω , а это значит, что всегда найдется такая точка M , жестко связанная с телом**, скорость которой $v = 0$ в данный момент. Из условия $0 = v_0 + [\omega r'_M]$ можно

* Заметим, что формула (1.19) оказывается справедливой и для любого сложного движения твердого тела.

** Точка M может оказаться и вне тела.

найти положение точки M , т. е. ее радиус-вектор r'_M относительно точки O' (рис. 11). Этот вектор перпендикулярен векторам ω и v_0 , его направление соответствует векторному произведению $v_0 = -[\omega r'_M]$, а модуль $r'_M = v_0/\omega$.

Точка M определяет и положение соответствующей оси (она совпадает по направлению с вектором ω). Движение твердого тела в данный момент времени представляет собой чистое вращение вокруг этой оси. Такую ось называют *мгновенной осью вращения*.

Положение мгновенной оси, вообще говоря, меняется со временем. Например, в случае катящегося по плоскости

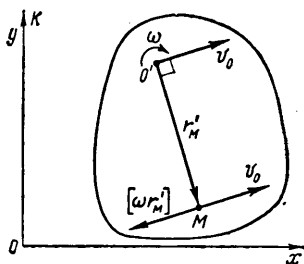


Рис. 11

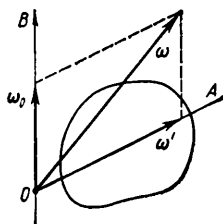


Рис. 12

цилиндра мгновенная ось в каждый момент совпадает с линией касания цилиндра и плоскости.

Сложение угловых скоростей. Рассмотрим движение твердого тела, вращающегося одновременно вокруг двух пересекающихся осей. Сообщим некоторому телу вращение с угловой скоростью ω' вокруг оси OA (рис. 12) и затем эту ось приведем во вращение с угловой скоростью ω_0 вокруг оси OB , неподвижной в K -системе отсчета. Найдем результирующее движение тела в K -системе.

Введем вспомогательную K' -систему отсчета, жестко связанную с осями OA и OB . Ясно, что эта система вращается с угловой скоростью ω_0 , и тело вращается относительно нее с угловой скоростью ω' .

За промежуток времени dt тело совершит поворот $d\varphi'$ вокруг оси OA в K' -системе и одновременно поворот $d\varphi_0$ вокруг оси OB вместе с K' -системой. Суммарный поворот, согласно (1.12), есть $d\varphi = d\varphi_0 + d\varphi'$. Поделив обе части этого равенства на dt , получим

$$\omega = \omega_0 + \omega'. \quad (1.20)$$

Таким образом, результирующее движение твердого тела в K -системе представляет собой чистое вращение с угловой скоростью ω вокруг оси, совпадающей в каждый момент с вектором ω и проходящей через точку O (рис. 12). Эта ось перемещается относительно K -системы — она поворачивается с угловой скоростью ω_0 вместе с осью OA вокруг оси OB .

Нетрудно сообразить, что даже в том случае, когда угловые скорости ω' и ω_0 не меняются по модулю, тело будет обладать в K -системе угловым ускорением β , направленным, согласно (1.14), за плоскость (рис. 12). Вопрос об угловом ускорении твердого тела более подробно рассмотрен в задаче 1.10.

И последнее замечание. Поскольку вектор угловой скорости ω удовлетворяет основному свойству векторов — векторному сложению, ω можно представить как векторную сумму составляющих на определенные направления, т. е. $\omega = \omega_1 + \omega_2 + \dots$, где все векторы относятся к одной и той же системе отсчета. Этим удобным и полезным приемом часто пользуются при анализе сложного движения твердого тела.

§ 1.3. Преобразования скорости и ускорения при переходе к другой системе отсчета

Приступая к изучению этого вопроса, напомним, что в рамках классической механики длина масштабов и время считаются абсолютными. Любой масштаб одинаков в разных системах отсчета, т. е. не зависит от движения. Это же касается и течения времени, которое также одинаково во всех системах.

Постановка вопроса. Имеются две произвольные системы отсчета K и K' , движущиеся определенным образом относительно друг друга. Известны скорость v и ускорение w некоторой точки A в K -системе. Каковы соответствующие значения v' и w' этой точки в K' -системе?

Рассмотрим последовательно три наиболее важных случая движения одной системы отсчета относительно другой.

1. K' -система движется поступательно по отношению к K -системе. Пусть в K -системе начало отсчета K' -системы характеризуется радиусом-вектором r_0 , а ее скорость и ускорение — векторами v_0 и w_0 . Если положение точки A в K -системе определяется радиусом-вектором r , а в K' -системе — радиусом-вектором r' , то ясно, что $r = r_0 + r'$

(рис. 13). Пусть далее за промежуток времени dt точка A совершит в K -системе элементарное перемещение dr . Это перемещение складывается из перемещения dr_0 вместе с K' -системой и перемещения dr' относительно K' -системы, т. е. $dr = dr_0 + dr'$. Поделив данное выражение на dt , получим следующую формулу преобразования скорости:

$$\boxed{v = v_0 + v'} \quad (1.21)$$

Продифференцировав (1.21) по времени, сразу же найдем и формулу преобразования ускорения:

$$\boxed{w = w_0 + w'} \quad (1.22)$$

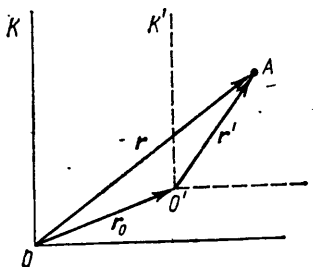


Рис 13

Отсюда видно, в частности, что при $w_0 = 0$ $w = w'$, т. е. при движении K' -системы без ускорения, относительно K -системы ускорения точки A в обеих системах отсчета будут одинаковы.

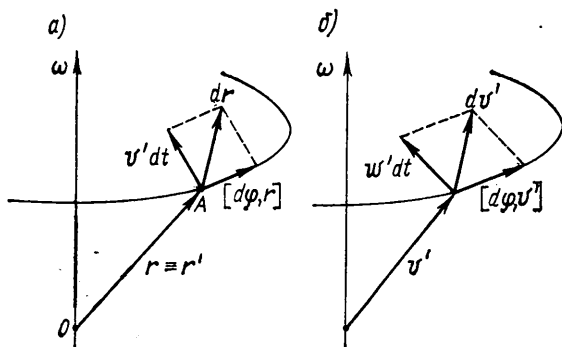


Рис. 14

2. K -система вращается с постоянной угловой скоростью ω вокруг оси, неподвижной в K -системе.

Возьмем начала отсчета K - и K' -систем в произвольной точке O на оси вращения (рис. 14, а). Тогда радиус-вектор точки A в обеих системах отсчета будет один и тот же: $r \equiv r'$.

Если точка A неподвижна в K' -системе, то это значит, что ее перемещение dr в K -системе за время dt обусловлено

только поворотом радиуса-вектора r на угол $d\varphi$ (вместе с K' -системой) и равно, согласно (1.11), векторному произведению $[d\varphi, r]$.

Если же точка A движется относительно K' -системы со скоростью v' , то за время dt она совершит дополнительное перемещение $v'dt$ (рис. 14, а) и тогда

$$dr = v'dt + [d\varphi, r]. \quad (1.23)$$

Поделив это выражение на dt , получим следующую формулу преобразования скорости:

$$\boxed{v = v' + [\omega r]}, \quad (1.24)$$

где v и v' — скорости точки A в K - и K' -системах отсчета соответственно.

Теперь перейдем к ускорениям. В соответствии с (1.24) приращение dv вектора v за время dt в K -системе должно складываться из суммы приращений векторов v' и $[\omega r]$, т. е.

$$dv = dv' + [\omega, dr]. \quad (1.25)$$

Найдем dv' . Если точка A движется в K' -системе с $v' = \text{const}$, то приращение этого вектора в K -системе обусловлено только его поворотом на угол $d\varphi$ (вместе с K' -системой) и равно, как и в случае с r , векторному произведению $[d\varphi, v']$. В этом нетрудно убедиться, совместив начало вектора v' с осью вращения (рис. 14, б). Если же точка A имеет ускорение w' в K' -системе, то за время dt вектор v' получит еще дополнительное приращение $w'dt$ и тогда

$$dv' = w'dt + [d\varphi, v']. \quad (1.26)$$

Теперь подставим (1.26) и (1.23) в равенство (1.25) и полученное выражение разделим на dt . В результате найдем следующую формулу преобразования ускорения:

$$w = w' + 2[\omega v'] + [\omega[\omega r]], \quad (1.27)$$

где w и w' — ускорения точки A в K - и K' -системах отсчета. Второе слагаемое в правой части этой формулы носит название *кориолисова* (или поворотного) ускорения $w_{\text{кор}}$, а третье слагаемое — *осеостремительного* ускорения* $w_{\text{ос}}$:

$$w_{\text{кор}} = 2[\omega v'], \quad w_{\text{ос}} = [\omega[\omega r]]. \quad (1.28)$$

* Осеостремительное ускорение не следует путать с нормальным (центростремительным) ускорением

Таким образом, ускорение w точки относительно K -системы равно сумме трех ускорений: ускорения w' относительно K' -системы, кориолисова ускорения $w_{\text{кор}}$ и осе-стремительного ускорения $w_{\text{ос}}$.

Осе-стремительное ускорение можно представить в виде $w_{\text{ос}} = -\omega^2 \rho$, где ρ — радиус-вектор, перпендикулярный оси вращения и характеризующий положение точки A относительно этой оси. Тогда формулу (1.27) можно записать так:

$$\boxed{w = w' + 2 [\omega v'] - \omega^2 \rho.} \quad (1.29)$$

3. K' -система вращается с постоянной угловой скоростью ω вокруг оси, перемещающейся поступательно со скоростью v_0 и ускорением w_0 по отношению к K -системе.

Этот случай объединяет два предыдущих. Введем вспомогательную S -систему отсчета, которая жестко связана с осью вращения K' -системы и перемещается поступательно в K -системе. Пусть v и v_S — скорости точки A в K - и S -системах отсчета, тогда в соответствии с (1.21) $v = v_0 + v_S$. Заменив v_S , согласно (1.24), выражением $v_S = v' + [\omega r]$, где r — радиус-вектор точки A относительно произвольной точки на оси вращения K' -системы, получим следующую формулу преобразования скорости:

$$\boxed{v = v' + v_0 + [\omega r].} \quad (1.30)$$

Аналогичным образом, используя (1.22) и (1.29), найдем формулу преобразования ускорения*:

$$\boxed{w = w' + w_0 + 2 [\omega v'] - \omega^2 \rho.} \quad (1.31)$$

Напомним, что в последних двух формулах v , v' и w , w' — скорости и ускорения точки A соответственно в K - и K' -системах отсчета, v_0 и w_0 — скорость и ускорение оси вращения K' -системы в K -системе, r — радиус-вектор точки A относительно произвольной точки на оси вращения K' -системы, ρ — радиус-вектор, перпендикулярный оси вращения и характеризующий положение точки A относительно этой оси.

* Заметим, что в самом общем случае, когда $\omega \neq \text{const}$, правая часть формулы (1.31) будет содержать еще одно слагаемое, а именно $[\beta r]$, где β — угловое ускорение K' -системы, r — радиус-вектор, характеризующий положение той точки на оси вращения, которая принята за начало отсчета в K' -системе.

Рассмотрим в заключение следующий пример.

Пример. Диск вращается с постоянной угловой скоростью ω вокруг оси, укрепленной на столе. По диску движется точка A с постоянной относительно стола скоростью v . Найти скорость v' и ускорение w' точки A относительно диска в момент, когда радиус-вектор, характеризующий ее положение по отношению к оси вращения, равен ρ .

Скорость v' точки A , согласно (1.24), равна

$$v' = v - [\omega\rho].$$

Ускорение же w' найдем с помощью (1.29), учтя, что в данном случае $w = 0$, ибо $v = \text{const}$. Тогда $w' = -2[\omega v'] + \omega^2\rho$. После подстановки в эту формулу выражения для v' получим

$$w' = 2[v\omega] - \omega^2\rho.$$

Задачи к главе 1

●1.1. Радиус-вектор, характеризующий положение частицы A относительно неподвижной точки O , меняется со временем по закону

$$r = a \sin \omega t + b \cos \omega t,$$

где a и b — постоянные векторы, причем $a \perp b$; ω — положительная постоянная. Найти ускорение w частицы и уравнение ее траектории $y(x)$, взяв оси x и y совпадающими по направлению с векторами a и b соответственно и имеющими начало в точке O .

Решение. Продифференцировав r по времени дважды, получим

$$w = -\omega^2(a \sin \omega t + b \cos \omega t) = -\omega^2 r,$$

т. е. вектор w все время направлен к точке O , а его модуль пропорционален расстоянию частицы до этой точки.

Теперь найдем уравнение траектории. Спроектировав r на оси x и y , получим

$$x = a \sin \omega t, \quad y = b \cos \omega t.$$

Исключив из этих двух уравнений ωt , найдем

$$x^2/a^2 + y^2/b^2 = 1.$$

Это уравнение эллипса, a и b — его полуоси (рис. 15; стрелкой показано направление движения частицы A).

●1.2. Перемещение и путь. Частице в момент $t=0$ сообщили скорость v_0 , после чего ее скорость стала меняться со временем по закону

$$v = v_0(1 - t/\tau),$$

где τ — положительная постоянная. Найти за первые t секунд движения:

- 1) вектор перемещения Δr частицы;
- 2) пройденный ею путь s .

Решение. 1. Согласно (1.1), $dr = vdt = v_0(1 - t/\tau)dt$. Проинтегрировав это уравнение по времени от 0 до t , получим

$$\Delta r = v_0 t(1 - t/2\tau).$$

2. Путь s , пройденный частицей за время t , определяется как

$$s = \int_0^t v dt,$$

где v — модуль вектора v . В данном случае

$$v = v_0 |1 - t/\tau| = \begin{cases} v_0 (1 - t/\tau), & \text{если } t < \tau, \\ v_0 (t/\tau - 1), & \text{если } t > \tau. \end{cases}$$

Отсюда следует, что при $t > \tau$ интеграл для вычисления пути необходимо разбить на две части: от 0 до τ и от τ до t . Проведя интегрирование для обоих случаев ($t < \tau$ и $t > \tau$), получим

$$s = \begin{cases} v_0 t (1 - t/2\tau), & \text{если } t \leq \tau, \\ v_0 \tau [1 + (1 - t/\tau)^2]/2, & \text{если } t \geq \tau. \end{cases}$$

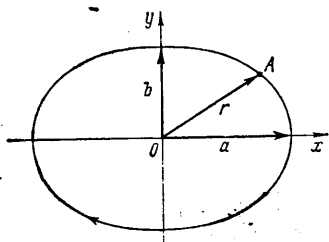


Рис. 15

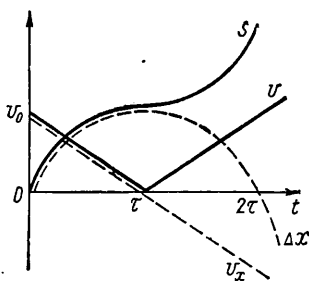


Рис. 16

На рис. 16 показаны графики зависимостей $v(t)$ и $s(t)$. Здесь же пунктиром показаны графики зависимостей от t проекций v_x и Δx векторов v и Δr на ось x , направленную вдоль вектора v_0 .

● 1.3. Трамвай движется прямолинейно от остановки A до следующей остановки B с ускорением, меняющимся по закону $w = a - bx$, где a и b — положительные постоянные, x — его расстояние от остановки A . Найти расстояние между этими остановками и максимальную скорость трамвая.

Решение. Сначала найдем зависимость скорости от x . За промежуток времени dt приращение скорости $dv = w dt$. Приведем это выражение к виду, удобному для интегрирования, воспользовавшись тем, что $dt = dx/v$; тогда

$$v dv = (a - bx) dx.$$

Проинтегрировав это уравнение (левую часть от 0 до v , правую — от 0 до x), получим

$$v^2/2 = ax - bx^2/2, \text{ или } v = \sqrt{(2a - bx)x}.$$

Отсюда сразу видно, что расстояние между остановками, т. е. значение x_0 , при котором $v = 0$, есть $x_0 = 2a/b$. Максимальную же скорость найдем из условия $dv/dx = 0$ или, проще, из условия мак-

симума подкоренного выражения. Отсюда значение x_m , соответствующее v_{\max} , есть $x_m = a/b$, и $v_{\max} = a\sqrt{b}$.

●1.4. Частица движется в плоскости x, y из точки $x = y = 0$ со скоростью $v = a\mathbf{i} + bx\mathbf{j}$, где a и b — некоторые постоянные, \mathbf{i} и \mathbf{j} — орты осей x и y . Найти уравнение ее траектории $y(x)$.

Решение. Запишем приращения y - и x -координат частицы за промежуток времени dt : $dy = v_y dt$, $dx = v_x dt$, где $v_y = bx$, $v_x = a$. Взяв их отношение, получим

$$dy = (b/a)xdx.$$

Интегрируем это выражение:

$$y = \int_0^x (b/a)xdx = (b/2a)x^2,$$

т. е. траекторией точки является парабола.

●1.5. Закон движения точки A обода колеса, катящегося равномерно по горизонтальному пути (ось x), имеет вид

$$x = a(\omega t - \sin \omega t); \quad y = a(1 - \cos \omega t),$$

где a и ω — положительные постоянные. Найти скорость v точки A , путь s , пройденный ею между двумя последовательными касаниями полотна дороги, а также модуль и направление ускорения w точки A .

Решение. Скорость v точки A и пройденный ею путь s определяются формулами:

$$v = \sqrt{v_x^2 + v_y^2} = a\omega \sqrt{2(1 - \cos \omega t)} = 2a\omega \sin(\omega t/2);$$

$$s = \int_0^{t_1} v(t) dt = 4a [1 - \cos(\omega t_1/2)],$$

где t_1 — промежуток времени между двумя последовательными касаниями. Из уравнения $y(t)$ находим, что $y(t_1) = 0$ при $\omega t_1 = 2\pi$.

Поэтому $s = 8a$.

Ускорение точки A

$$w = \sqrt{w_x^2 + w_y^2} = a\omega^2.$$

Покажем, что вектор w , постоянный по модулю, все время направлен к центру колеса — точке C . Действительно, в системе отсчета K' , связанной с точкой C и перемещающейся поступательно и равномерно относительно полотна дороги, точка A движется равномерно по окружности вокруг точки C . Поэтому ее ускорение в K' -системе направлено к центру колеса. А так как K' -система движется равномерно, то вектор w будет таким же и относительно полотна дороги.

●1.6. Точка движется замедленно по окружности радиуса r , причем так, что ее тангенциальное и нормальное ускорения в каждый момент равны друг другу по модулю. В начальный момент точке была сообщена скорость v_0 . Найти скорость v и модуль полного ускорения w точки в зависимости от пройденного пути s .

Решение. По условию, $dv/dt = -v^2/r$. Представив dt как ds/v , преобразуем исходное уравнение к виду

$$dv/v = -ds/r.$$

Интегрирование этого выражения с учетом начальной скорости приводит к следующему результату:

$$v = v_0 e^{-s/r}.$$

В данном случае $|\omega_\tau| \equiv \omega_n$, поэтому полное ускорение $\omega = \sqrt{2}\omega_n = \sqrt{2}v^2/r$, или

$$\omega = \sqrt{2}v_0^2/re^{2s/r}.$$

●1.7. Точка движется по плоской траектории так, что ее тангенциальное ускорение $\omega_\tau = a$, а нормальное ускорение $\omega_n = bt^4$, где a и b — положительные постоянные, t — время. В момент $t = 0$ точка начала двигаться. Найти радиус кривизны ρ траектории точки и ее полное ускорение ω в зависимости от пройденного пути s .

Решение. Элементарное приращение скорости точки $dv = \omega_\tau dt$. Проинтегрировав это уравнение, получим $v = at$. Пройденный путь $s = at^2/2$.

Радиус кривизны траектории, согласно (1.10), можно представить как $\rho = v^2/\omega_n = a^2/bt^2$, или

$$\rho = a^3/2bs.$$

Полное ускорение

$$\omega = \sqrt{\omega_\tau^2 + \omega_n^2} = a\sqrt{1 + (4bs^2/a^3)^2}.$$

●1.8. Частица движется равномерно со скоростью v по параболической траектории $y = ax^2$, где a — положительная постоянная. Найти ускорение ω частицы в точке $x = 0$.

Решение. Продифференцируем дважды уравнение траектории по времени:

$$\frac{dy}{dt} = 2ax \frac{dx}{dt}; \quad \frac{d^2y}{dt^2} = 2a \left[\left(\frac{dx}{dt} \right)^2 + x \frac{d^2x}{dt^2} \right].$$

Так как частица движется равномерно, то это значит, что ее ускорение во всех точках траектории чисто нормальное и в точке $x = 0$ оно совпадает с производной d^2y/dt^2 в этой точке. Имея в виду, что в точке $x = 0$ $|dx/dt| = v$, получим

$$\omega = (d^2y/dt^2)_{x=0} = 2av^2.$$

Заметим, что в приведенном способе решения обойдено вычисление радиуса кривизны траектории в точке $x = 0$, который обычно бывает необходимо знать для определения нормального ускорения ($\omega_n = v^2/\rho$).

●1.9. Вращение твердого тела. Твердое тело начинает вращаться вокруг неподвижной оси с угловым ускорением $\beta = \beta_0 \cos \varphi$, где β_0 — постоянный вектор, φ — угол поворота тела из начального положения. Найти угловую скорость ω_z тела в зависимости от угла φ .

Решение. Выберем положительное направление оси z вдоль вектора β_0 . Согласно (1.16), $d\omega_z = \beta_z dt$. Представив dt по формуле (1.15) как $d\varphi/\omega_z$, преобразуем предыдущее уравнение к виду

$$\omega_z d\omega_z = \beta_0 \cos \varphi d\varphi.$$

Интегрирование этого выражения с учетом начального условия ($\omega_z = 0$ при $\varphi = 0$) дает $\omega_z^2/2 = \beta_0 \sin \varphi$. Отсюда

$$\omega_z = \pm \sqrt{2\beta_0 \sin \varphi}.$$

График зависимости $\omega_z(\varphi)$ показан на рис. 17. Из него видно, что с ростом угла φ вектор ω сначала увеличивается, совпадая по направлению с вектором β_0 ($\omega_z > 0$), достигает максимума при $\varphi = \pi/2$ и затем начинает уменьшаться, обращаясь в нуль при $\varphi = \pi$. После этого тело подобным же образом начинает вращаться в противоположном направлении ($\omega_z < 0$). В результате тело будет совершать колебания около положения $\varphi = \pi/2$ с амплитудой, равной $\pi/2$.

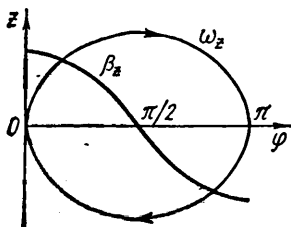


Рис. 17

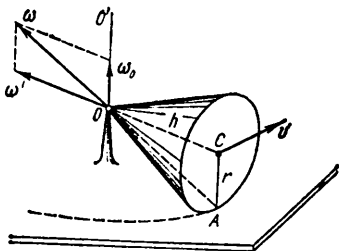


Рис. 18

● 1.10. Круглый конус с радиусом основания r и высотой h катится без скольжения по поверхности стола, как показано на рис. 18. Вершина конуса закреплена шарнирно в точке O на уровне точки C — центра основания конуса. Точка C движется с постоянной скоростью v . Найти:

- 1) угловую скорость ω и
- 2) угловое ускорение β конуса относительно стола.

Решение. 1. Согласно (1.20), $\omega = \omega_0 + \omega'$, где ω_0 и ω' — угловые скорости вращения вокруг осей OO' и OC соответственно. Модули векторов ω_0 и ω' легко найти с помощью рис. 18:

$$\omega_0 = v/h, \quad \omega' = v/r.$$

Их отношение $\omega_0/\omega' = r/h$. Отсюда следует, что вектор ω совпадает в каждый момент времени с образующей конуса, которая проходит через точку касания A .

Модуль вектора ω есть

$$\omega = \sqrt{\omega_0^2 + \omega'^2} = (v/r) \sqrt{1 + (r/h)^2}.$$

2. Угловое ускорение β конуса, согласно (1.14), есть производная вектора ω по времени. Так как $\omega_0 = \text{const}$, то

$$\beta = d\omega/dt = d\omega'/dt.$$

Вектор ω' , оставаясь постоянным по модулю, поворачивается вокруг оси OO' с угловой скоростью ω_0 . Его приращение за промежуток времени dt равно по модулю $|d\omega'| = \omega' \cdot \omega_0 dt$, или в векторном виде $d\omega' = [\omega_0 \omega'] dt$. Таким образом,

$$\beta = [\omega_0 \omega'].$$

Модуль этого вектора $\beta = v^2/rh$.

●1.11. Преобразования скорости и ускорения. Горизонтально расположенный стержень вращается с постоянной угловой скоростью ω вокруг вертикальной оси, укрепленной на столе и проходящей через один из его концов. По стержню движется небольшая муфта. Ее скорость относительно стержня меняется по закону $v' = at$, где a — постоянная, r — радиус-вектор, характеризующий расстояние муфты от оси вращения. Найти:

1) скорость v и ускорение w муфты относительно стола в зависимости от t ;

2) угол между векторами v и w в процессе движения.

Решение. 1. Согласно (1.24),

$$v = at + [\omega r].$$

Модуль этого вектора $v = r \sqrt{a^2 + \omega^2}$.

Ускорение w находим по формуле (1.29), где в данном случае $w' = dv'/dt = a^2t$. Тогда

$$w = (a^2 - \omega^2)r + 2a[\omega r].$$

Модуль этого вектора $w = (a^2 + \omega^2)r$.

2. Для определения угла α между векторами v и w воспользуемся их скалярным произведением, из которого следует, что $\cos \alpha = vw/vw$. После соответствующих преобразований получим

$$\cos \alpha = 1/\sqrt{1 + (\omega/a)^2}.$$

Отсюда видно, что в данном случае угол α при движении остается постоянным.

ОСНОВНОЕ УРАВНЕНИЕ ДИНАМИКИ

§ 2.1. Инерциальные системы отсчета

Закон инерции. В кинематике, где речь идет лишь об описании движений и не затрагивается вопрос о причинах, вызывающих эти движения, никакой принципиальной разницы между различными системами отсчета нет, и все они в этом отношении равноправны. Совершенно иначе обстоит дело в динамике — при изучении законов движения. Здесь обнаруживается существенное различие между разными системами отсчета и преимущества одного класса систем отсчета по сравнению с другими.

В принципе можно взять любую из бесчисленного множества систем отсчета. Однако законы механики в разных системах отсчета имеют, вообще говоря, различный вид и может оказаться, что в произвольной системе отсчета законы даже совсем простых явлений будут весьма сложными. Естественно, возникает задача отыскания такой системы отсчета, в которой законы механики были бы возможно более простыми. Такая система отсчета, очевидно, наиболее удобна для описания механических явлений.

Рассмотрим с этой целью ускорение материальной точки относительно некоторой произвольной системы отсчета. Какова причина этого ускорения? Опыт показывает, что этой причиной могут быть как действие на данную точку каких-то определенных тел, так и свойства самой системы отсчета (действительно, относительно разных систем отсчета ускорение в общем случае будет различным).

Можно, однако, *предположить*, что существует такая система отсчета, в которой ускорение материальной точки целиком обусловлено только взаимодействием ее с другими телами. Свободная материальная точка, не подверженная действию никаких других тел, движется относительно такой системы отсчета прямолинейно и равномерно, или, как говорят, по инерции. Такую систему отсчета называют *инерциальной*.

Утверждение, что инерциальные системы отсчета существуют, составляет содержание **первого закона классической механики — закона инерции Галилея — Ньютона**.

Существование инерциальных систем отсчета подтверждается опытом. Первоначальными опытами было установ-

лено, что такой системой отсчета является Земля. Последующие более точные опыты (опыт Фуко и все аналогичные ему) показали, что эта система отсчета не совсем инерциальная*, а именно: были обнаружены ускорения, существование которых нельзя объяснить действием каких-либо определенных тел. В то же время наблюдения над ускорениями планет показали инерциальность гелиоцентрической системы отсчета, связанной с центром Солнца и «неподвижными» звездами. В настоящее время инерциальность гелиоцентрической системы отсчета подтверждается всей совокупностью опытов.

Любая другая система отсчета, движущаяся равномерно и прямолинейно относительно гелиоцентрической системы, является также инерциальной. Действительно, если в гелиоцентрической системе отсчета ускорение тела равно нулю, то оно равно нулю и в любой другой из этих систем отсчета.

Таким образом, существует не одна, а бесчисленное множество инерциальных систем отсчета, движущихся относительно друг друга прямолинейно и равномерно. Системы отсчета, движущиеся с ускорением относительно инерциальных систем, называют *неинерциальными*.

О свойствах симметрии времени и пространства. Важной особенностью инерциальных систем отсчета является то, что по отношению к ним время и пространство обладают определенными *свойствами симметрии*. А именно: опыт убеждает, что в этих системах отсчета время *однородно*, а пространство *однородно и изотропно*.

Однородность времени заключается в том, что протекание физических явлений (в одних и тех же условиях) в разное время их наблюдения одинаково. Иначе говоря, различные моменты времени эквивалентны друг другу по своим физическим свойствам.

Однородность и изотропность пространства заключаются в том, что свойства пространства одинаковы в различных точках (однородность), а в каждой точке одинаковы во всех направлениях (изотропность).

Заметим, что по отношению к неинерциальным системам отсчета пространство является неоднородным и неизотропным. Это значит, что если какое-либо тело не взаимодействует ни с какими другими телами, то тем не менее его различные положения в пространстве и его различные ориентации в механическом отношении не эквивалентны. То же самое относится в общем случае и ко времени, которое будет неоднородным, т. е. его различные моменты неэквивалентны. Ясно, что такие свойства пространства и времени вносили бы большие осложнения в описании механических явлений. Так, на-

* Заметим, что во многих случаях систему отсчета, связанную с Землей, можно считать практически инерциальной.

пример, тело, не подверженное действию со стороны других тел, не могло бы покоиться: если его скорость в некоторый момент времени и равна нулю, то уже в следующий момент тело начало бы двигаться в определенном направлении.

Принцип относительности Галилея. Для инерциальных систем отсчета справедлив принцип относительности, согласно которому все инерциальные системы по своим механическим свойствам эквивалентны друг другу. Это значит, что никакими механическими опытами, проводимыми «внутри» данной инерциальной системы, нельзя установить, покоится эта система отсчета

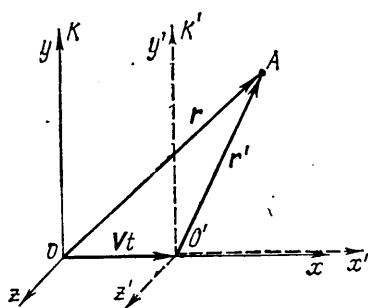


Рис. 19

или движется. Во всех инерциальных системах отсчета свойства пространства и времени одинаковы, одинаковы также и все законы механики.

Это утверждение составляет содержание принципа относительности Галилея — одного из важнейших принципов классической механики. Этот принцип является обобщением опыта и подтверждается всем многообразным приложением классической механики к движению тел, скорости которых значительно меньше скорости света.

Все сказанное достаточно ясно свидетельствует об исключительности свойств инерциальных систем отсчета, в силу которых именно эти системы должны, как правило, использоваться при изучении механических явлений.

Все сказанное достаточно ясно свидетельствует об исключительности свойств инерциальных систем отсчета, в силу которых именно эти системы должны, как правило, использоваться при изучении механических явлений.

Преобразования Галилея. Найдем формулы преобразования координат при переходе от одной инерциальной системы отсчета к другой. Пусть инерциальная система K' движется со скоростью V относительно другой инерциальной системы K . Выберем оси координат x', y', z' K' -системы параллельно соответствующим осям x, y, z K -системы, причем так, чтобы оси x' и x совпадали между собой и были направлены вдоль вектора V (рис. 19). Взяв за начало отсчета времени момент, когда начала координат O' и O совпадали, запишем соотношение между радиусами-векторами r' и r одной и той же точки A в K' - и K -системах:

$$r' = r - Vt \quad (2.1)$$

и, кроме того,

$$t' = t. \quad (2.2)$$

Здесь подразумевается, что длина отрезков и ход времени не зависят от состояния движения и, следовательно, одинаковы в обеих системах отсчета. Предположение об абсолютности пространства и времени лежит в самой основе представлений классической механики, представлений, основанных на обширном экспериментальном материале, относящемся к изучению движений со скоростями, значительно меньшими скорости света.

Соотношения (2.1) и (2.2) представляют собой так называемые *преобразования Галилея*. В координатах эти преобразования имеют вид:

$$\boxed{x' = x - Vt, \quad y' = y, \quad z' = z, \quad t' = t.} \quad (2.3)$$

Продифференцировав (2.1) по времени, найдем классический закон преобразования скорости точки при переходе от одной инерциальной системы отсчета к другой:

$$\boxed{v' = v - V.} \quad (2.4)$$

Дифференцируя это выражение по времени с учетом того, что $V = \text{const}$, получаем $w' = w$, т. е. ускорение точки одинаково во всех инерциальных системах отсчета.

§ 2.2. Основные законы ньютоновской динамики

Изучая на опыте различные движения, мы обнаруживаем, что в инерциальных системах отсчета *всякое* ускорение тела вызывается действием на него каких-либо других тел. При этом степень влияния (действия) каждого из окружающих тел на состояние движения интересующего нас тела A — это вопрос, на который в каждом конкретном случае может дать ответ только опыт.

Влияние другого тела (или тел), вызывающее ускорение тела A , называют *силой*. Итак, причиной ускорения тела является действующая на него сила.

Одной из важнейших характеристик силы является ее материальное происхождение. Говоря о силе, мы всегда неявно предполагаем, что в отсутствие посторонних тел сила, действующая на интересующее нас тело, равна нулю. Если же обнаруживается, что сила действует, мы ищем ее *источник* в виде того или иного конкретного тела или других тел.

Все силы, с которыми имеет дело механика, обычно подразделяют на силы, возникающие при непосредственном контакте тел (силы давления, трения), и силы, возникающие через посредство создаваемых взаимодействующими телами *полей* (силы гравитационные, электромагнитные). Заметим, однако, что такое подразделение сил имеет условный характер: в сущности и при непосредственном контакте силы взаимодействия обусловлены также наличием тех или иных полей, создаваемых молекулами или атомами тел. Таким образом, все силы взаимодействия между телами обусловлены в конечном счете полями. Вопрос о природе сил взаимодействия выходит за рамки механики и рассматривается в других разделах физики.

Масса. Опыт показывает, что всякое тело «оказывает сопротивление» при любых попытках изменить его скорость — как по модулю, так и по направлению. Это свойство, выражающее степень неподатливости тела к изменению его скорости, называют *инертностью*. У различных тел оно проявляется в разной степени. Мерой инертности служит величина, называемая *массой*. Тело с большей массой является более инертным, и наоборот.

Введем понятие массы m , *определив* отношение масс двух различных тел по обратному отношению ускорений, сообщаемых им *равными* силами:

$$m_1/m_2 = w_2/w_1. \quad (2.5)$$

Отметим, что такое определение не требует предварительного измерения самих сил. Достаточно лишь располагать критерием *равенства* сил. Например, если на два различных тела, лежащих на гладкой горизонтальной плоскости, последовательно подействовать одной и той же пружиной, ориентируя ее горизонтально и растянув ее на одну и ту же длину, то можно утверждать, что в обоих случаях влияние пружины на каждое тело одинаково, другими словами, одинакова и сила.

Таким образом, сравнение масс двух тел, на которые действует одна и та же сила, сводится к сравнению ускорений этих тел. Взяв некоторое тело за эталон массы, мы имеем возможность сравнить массу любого тела с этим эталоном.

Как показывает опыт, в рамках ньютоновской механики так определенная масса обладает следующими двумя важнейшими свойствами:

1) масса — величина *аддитивная*, т. е. масса составного тела равна сумме масс его частей;

2) масса тела как такового — величина *постоянная*, не изменяющаяся при его движении.

Сила. Вернемся к опыту по сравнению ускорений двух различных тел под действием *одинаково* растянутой пружины. Тот факт, что в обоих случаях пружина была растянута одинаково, позволил нам высказать утверждение об одинаковости действия пружины, или силы со стороны пружины.

С другой стороны, сила является причиной ускорения тела. Ускорения же различных тел под действием одной и той же одинаково растянутой пружины разные. Наша задача *так* определить силу, чтобы, несмотря на различие ускорений разных тел в рассматриваемом опыте, сила была бы одной и той же.

Для этого прежде всего надо выяснить: что является *одинаковым* в данных опытах? Ответ очевиден: произведение mw . Эту величину и естественно взять за определение силы. Учитывая, кроме того, что ускорение — вектор, будем считать и силу вектором, совпадающим по направлению с вектором ускорения w .

Итак, в ньютоновской механике *сила*, действующая на тело массы m , *определяется* как произведение mw . Оправданием именно такого определения силы кроме соображений наибольшей простоты и удобства служит, конечно, только дальнейшая проверка всех вытекающих из него следствий.

Второй закон Ньютона. Изучая на опыте взаимодействие различных материальных точек с окружающими телами, мы обнаруживаем, что mw зависит от величин, характеризующих как состояние самой материальной точки, так и состояние окружающих тел.

Это является весьма существенным физическим фактом, лежащим в основе одного из наиболее фундаментальных обобщений ньютоновской механики — *второго закона Ньютона*:

произведение массы материальной точки на ее ускорение является функцией положения этой точки относительно окружающих тел, а иногда также и функцией ее скорости. Эту функцию обозначают F и называют *силой*.

Именно в этом и состоит фактическое содержание второго закона Ньютона, который кратко формулируют обычно таким образом:

произведение массы материальной точки на ее ускорение равно действующей на нее силе, т. е.

$$\boxed{mw = F.} \quad (2.6)$$

Это уравнение называют *уравнением движения материальной точки*.

Сразу же подчеркнем, что второй закон Ньютона и уравнение (2.6) получают конкретное содержание только после того, как установлен вид функции F — зависимость от определяющих ее величин, или, как говорят, *закон силы*. Установление закона силы в каждом конкретном случае является одной из основных задач физической механики.

Определение силы как mw , лежащее в основе уравнения (2.6), обладает тем исключительным достоинством, что законы сил при этом оказываются очень простыми. Правда, переход к изучению движений с релятивистскими скоростями показал, что законы сил потребовалось бы модифицировать, сделав их сложным образом зависящими от скорости материальной точки. Теория стала бы громоздкой и запутанной.

Существует, однако, простой выход из этого затруднения, если дать несколько иное определение силы, а именно: *сила есть производная импульса p материальной точки по времени*, т. е. dp/dt , и уравнение (2.6) записывать в виде $dp/dt = F$.

В ньютоновской механике это определение силы тождественно mv , ибо $p = mv$, $m = \text{const}$ и $dp/dt = mw$. В релятивистской же механике импульс, как мы увидим, зависит от скорости материальной точки более сложным образом. Но важно другое. При таком определении силы (как dp/dt) законы сил, оказывается, остаются теми же и в релятивистской области. Так что простое выражение данной силы через физическое окружение изменять не потребуется при переходе к релятивистской механике. Это обстоятельство мы учтем в дальнейшем.

О сложении сил. На всякую материальную точку в данных конкретных условиях действует, строго говоря, всего только *одна* сила F , модуль и направление которой определяются расположением этой точки относительно всех окружающих тел, а иногда также и ее скоростью. И тем не менее часто бывает удобно эту силу F представлять как суммарный результат действия отдельных тел, или сил F_1, F_2, \dots . Опыт показывает, что если тела, являющиеся источниками сил, не влияют друг на друга и поэтому не меняют своего состояния от присутствия других тел, то сила

$$F = F_1 + F_2 + \dots,$$

где F_i — сила, с которой действовало бы на данную материальную точку i -е тело *в отсутствие* других тел.

Если это так, то говорят, что силы F_1, F_2, \dots подчиняются *принципу суперпозиции*. Такое утверждение надо рассматривать как обобщение опытных фактов.

Третий закон Ньютона. Во всех случаях, когда в опыте участвуют только два тела A и B и тело A сообщает ускорение телу B , обнаруживается, что и тело B сообщает ускорение телу A . Отсюда мы заключаем, что действия тел друг на друга имеют характер *взаимодействия*.

Ньютон постулировал следующее общее свойство всех сил взаимодействия — *третий закон Ньютона*:

силы, с которыми две материальные точки действуют друг на друга, всегда равны по модулю и направлены в противоположные стороны вдоль прямой, соединяющей эти точки, т. е.

$$\boxed{F_{12} = -F_{21}.} \quad (2.7)$$

Это значит, что силы взаимодействия всегда появляются *парами*. Обе силы приложены к *разным* материальным точкам и, кроме того, являются силами *одной* природы.

Закон (2.7) распространяется на системы из произвольного числа материальных точек. Мы исходим из представления, что и в этом случае взаимодействие сводится к силам попарного взаимодействия между материальными точками.

В третьем законе Ньютона предполагается, что обе силы равны по модулю *в любой* момент времени *независимо от движения* точек. Это утверждение соответствует ньютоновскому представлению о мгновенном распространении взаимодействий — предположению, которое носит название *принципа дальности* классической механики. Согласно этому принципу, взаимодействие между телами распространяется в пространстве с бесконечно большой скоростью. Иначе говоря, если изменить положение (состояние) одного тела, то сразу же можно обнаружить хотя бы очень слабое изменение во взаимодействующих с ним телах, как бы далеко они ни находились.

Сейчас мы знаем, что в действительности это не так — существует *конечная* максимальная скорость распространения взаимодействий, которая равна скорости света в вакууме. Поэтому третий закон Ньютона (а также и второй) имеет определенные пределы применимости. Однако при скоростях тел, значительно меньших скорости света, с которыми имеет дело классическая механика, оба закона выполняются с очень большой точностью. Свидетельством

этому являются хотя бы расчеты траекторий планет и искусственных спутников, которые проводятся с «астрономической» точностью именно с помощью законов Ньютона.

Законы Ньютона являются основными законами классической механики. Они позволяют, по крайней мере в принципе, решить любую механическую задачу; кроме того, из них могут быть выведены и все остальные законы классической механики.

В соответствии с принципом относительности Галилея законы механики одинаковы во всех инерциальных системах отсчета. Это значит, в частности, что уравнение (2.6) будет иметь один и тот же вид в любой инерциальной системе отсчета. Действительно, масса m материальной точки как таковой не зависит от скорости, т. е. одинакова во всех системах отсчета. Кроме того, для инерциальных систем отсчета одинаковым является и ускорение w точки. Сила F тоже не зависит от выбора системы отсчета, поскольку она определяется только взаимным расположением и скоростью материальной точки относительно окружающих тел, а эти величины, согласно нерелятивистской кинематике, в разных инерциальных системах отсчета одинаковы.

Таким образом, все три величины, m , w и F , входящие в уравнение (2.6), не меняются при переходе от одной инерциальной системы отсчета к другой, а следовательно, не меняется и само уравнение (2.6). Другими словами, уравнение $mw = F$ инвариантно относительно преобразований Галилея.

§ 2.3. Законы сил

Чтобы свести нахождение закона движения частицы к чисто математической задаче, необходимо прежде всего — в соответствии с уравнением (2.6) — знать законы действующих на частицу сил, т. е. зависимость силы от определяющих ее величин. Каждый такой закон получен в конечном счете на основании обработки результатов опыта и, по существу, всегда опирается на уравнение (2.6) как на определение силы.

Наиболее фундаментальные силы, лежащие в основе всех механических явлений, — это силы гравитационные и электрические. Приведем законы этих сил в самом простом виде, когда взаимодействующие массы (заряды) покоятся или движутся с малой (нерелятивистской) скоростью.

Сила гравитационного притяжения, действующая между двумя материальными точками. В соответствии с зако-

ном всемирного тяготения эта сила пропорциональна произведению масс точек m_1 и m_2 , обратно пропорциональна квадрату расстояния r между ними и направлена по прямой, соединяющей эти точки:

$$F = \gamma \frac{m_1 m_2}{r^2}, \quad (2.8)$$

где γ — гравитационная постоянная.

Фигурирующие в этом законе массы называют *гравитационными* в отличие от *инертной* массы, входящей во второй закон Ньютона. Из опыта, однако, установлено, что гравитационная и инертная массы любого тела строго пропорциональны друг другу. Поэтому можно считать их равными (т. е. выбрать один и тот же эталон для измерения обеих масс) и говорить просто о массе, которая выступает как мера инертности тела или как мера гравитационного действия.

Кулоновская сила, действующая между двумя точечными зарядами q_1 и q_2 ,

$$F = k \frac{q_1 q_2}{r^2}, \quad (2.9)$$

где r — расстояние между зарядами, k — коэффициент пропорциональности, зависящий от выбора системы единиц. В отличие от гравитационной силы кулоновская сила может быть как силой притяжения, так и силой отталкивания.

Заметим, что закон Кулона (2.9) перестает выполняться точно, если заряды движутся. Электрическое взаимодействие движущихся зарядов оказывается сложным образом зависящим от их движения. Одну из частей этого взаимодействия, обусловленную движением, называют *магнитной* силой (отсюда и другое название данного взаимодействия — электромагнитное). При малых (нерелятивистских) скоростях магнитная сила составляет пренебрежимо малую часть электрического взаимодействия и оно с высокой степенью точности описывается законом (2.9).

Несмотря на то что гравитационные и электрические взаимодействия лежат в основе всего бесчисленного разнообразия механических явлений, анализ явлений, особенно макроскопических, оказался бы весьма сложным, если бы во всех случаях мы исходили из этих фундаментальных взаимодействий. Поэтому удобно ввести другие, приближенные, законы сил (которые в принципе могут быть получены из фундаментальных сил). Это необходимо для того, чтобы

упростить математически задачу настолько, чтобы ее можно было практически решить.

С этой целью вводят, например, следующие силы.

Однородная сила тяжести

$$F = mg, \quad (2.10)$$

где m — масса тела, g — ускорение силы тяжести*.

Упругая сила — сила, пропорциональная смещению материальной точки из положения равновесия и направленная к положению равновесия:

$$F = -\kappa r, \quad (2.11)$$

где r — радиус-вектор, характеризующий смещение частицы из положения равновесия; κ — положительный коэффициент, зависящий от «упругих» свойств той или иной конкретной силы. Примером такой силы является сила упругой деформации при растяжении (сжатии) пружины или стержня; в соответствии с *законом Гука* эта сила определяется как $F = \kappa \Delta l$, где Δl — величина упругой деформации.

Сила трения скольжения, возникающая при скольжении данного тела по поверхности другого тела,

$$F = kR_n, \quad (2.12)$$

где k — коэффициент трения скольжения, зависящий от природы и состояния соприкасающихся поверхностей (в частности, от их шероховатости); R_n — сила нормального давления, прижимающая трущиеся поверхности друг к другу. Сила F направлена в сторону, противоположную направлению движения данного тела относительно другого.

Сила сопротивления, действующая на тело при его поступательном движении в газе или жидкости. Эта сила зависит от скорости тела v относительно среды, причем направлена противоположно вектору v :

$$F = -kv, \quad (2.13)$$

* Заметим, что в отличие от силы тяжести в е с P — это сила, с которой тело действует на опору или подвес, *неподвижные* относительно данного тела. Например, если тело с опорой (подвесом) неподвижны относительно Земли, то вес P совпадает с силой тяжести. В противном случае вес $P = m(g - w)$, где w — ускорение тела (с опорой) относительно Земли.

где k — положительный коэффициент, характерный для данного тела и данной среды. Этот коэффициент зависит, вообще говоря, от скорости v , однако при малых скоростях во многих случаях его можно практически считать постоянным.

§ 2.4. Основное уравнение динамики

Основное уравнение динамики материальной точки представляет собой не что иное, как математическое выражение второго закона Ньютона:

$$\boxed{m \frac{dv}{dt} = F.} \quad (2.14)$$

Уравнение (2.14) есть, по существу, дифференциальное уравнение движения точки в векторном виде. Его решение — основная задача динамики материальной точки. При этом возможны две противоположные постановки задачи.

1. Найти действующую на точку силу F , если известны масса m точки и зависимость от времени ее радиуса-вектора $r(t)$.

2. Найти закон движения точки, т. е. зависимость от времени ее радиуса-вектора $r(t)$, если известны масса m точки, действующая на нее сила F (или силы F_i) и начальные условия — скорость v_0 и положение r_0 точки в начальный момент времени.

В первом случае задача сводится к дифференцированию $r(t)$ по времени, во втором — к интегрированию уравнения (2.14). Математическая сторона этого вопроса достаточно подробно была рассмотрена в кинематике точки.

В зависимости от характера и постановки конкретной задачи решение уравнения (2.14) проводят или в векторной форме, или в координатах, или в проекциях на касательную и нормаль к траектории в данной точке. Выясним, как записывают уравнение (2.14) в последних двух случаях.

В проекциях на оси декартовых координат. Проектируя обе части уравнения (2.14) на оси x , y , z , получим три дифференциальных уравнения вида

$$\boxed{m \frac{dv_x}{dt} = F_x, \quad m \frac{dv_y}{dt} = F_y, \quad m \frac{dv_z}{dt} = F_z,} \quad (2.15)$$

где F_x , F_y , F_z — проекции вектора F на оси x , y , z . Необходимо помнить, что эти проекции — величины алгебраические: в зависимости от ориентации вектора F они могут

быть как положительными, так и отрицательными. Знак проекции результирующей силы F определяет и знак проекции вектора ускорения.

Проследим на конкретном примере, в чем заключается *стандартный подход* к решению задач с помощью уравнений (2.15).

Пример. Небольшой брусок массы m скользит вниз по наклонной плоскости, составляющей угол α с горизонтом. Коэффициент трения равен k . Найти ускорение бруска относительно плоскости (эта система отсчета предполагается инерциальной).

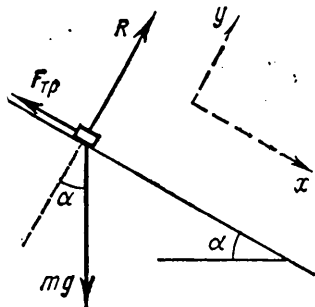


Рис. 20

Прежде всего следует изобразить все силы, действующие на брусок. Это сила тяжести mg , нормальная сила реакции R со стороны плоскости и сила трения $F_{\text{тр}}$ (рис. 20), направленная в сторону, противоположную движению бруска.

После этого свяжем с системой отсчета «наклонная плоскость» систему координат x, y, z . Вообще говоря, систему координат можно ориентировать как угодно, однако во многих случаях (и, в частности, в данном) выбор направления осей диктуется характером движения.

В данном случае, например, заранее известно направление движения бруска, поэтому наиболее целесообразно оси координат расположить так, чтобы одна из них совпадала с направлением движения. Тогда задача сведется к решению только одного уравнения (2.15). Итак, выберем ось x , как показано на рис. 20, обязательно указав при этом ее положительное направление (стрелкой).

И только теперь приступим к составлению уравнений (2.15): слева — произведение массы m бруска на проекцию его ускорения w_x и справа — проекции всех сил на ось x :

$$mw_x = mg_x + R_x + F_{\text{тр}x}.$$

В данном случае $g_x = g \sin \alpha$, $R_x = 0$ и $F_{\text{тр}x} = -F_{\text{тр}}$, поэтому

$$mw_x = mg \sin \alpha - F_{\text{тр}}.$$

Так как брусок движется только вдоль оси x , то это значит, согласно второму закону Ньютона, что сумма проекций всех сил на любое перпендикулярное оси x направление равна нулю. Взяв в качестве такого направления ось y (рис. 20), получим

$$R = mg \cos \alpha \text{ и } F_{\text{тр}} = kR = kmg \cos \alpha.$$

В результате

$$mw_x = mg \sin \alpha - kmg \cos \alpha.$$

Если правая часть этого уравнения окажется положительной, то и $w_x > 0$, а это значит, что вектор w направлен вниз по наклонной плоскости, и наоборот.

В проекциях на касательную и нормаль к траектории в данной точке. Проектируя обе части (2.14) на подвижные орты τ и n (рис. 21) и используя полученные ранее выражения (1.10) для тангенциального и нормального ускорений, запишем:

$$\boxed{m \frac{dv_\tau}{dt} = F_\tau, \quad m \frac{v^2}{\rho} = F_n,} \quad (2.16)$$

где F_τ и F_n — проекции вектора F на орты τ и n . На рис. 21 обе проекции положительные. Векторы F_τ и F_n называют тангенциальной и нормальной составляющими силы F .

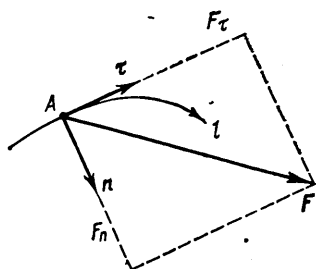


Рис. 21

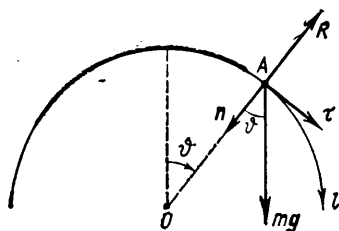


Рис. 22

Напомним, что направление орта τ выбирают в сторону возрастания дуговой координаты l , а направление орта n — к центру кривизны траектории в данной точке.

Уравнениями (2.16) удобно пользоваться, если заранее известна траектория материальной точки.

Пример. Небольшое тело A соскальзывает с вершины гладкой сферы радиуса r . Найти скорость тела в момент отрыва от поверхности сферы, если его начальная скорость пренебрежимо мала.

Изобразим силы, действующие на тело A (это сила тяжести mg и нормальная сила реакции R), и запишем уравнения (2.16) в проекциях на орты τ и n (рис. 22).

$$m \frac{dv}{dt} = mg \sin \theta,$$

$$m \frac{v^2}{r} = mg \cos \theta - R;$$

здесь индекс τ несуществен, поэтому мы его опустили.

Преобразуем первое уравнение к виду, удобному для интегрирования. Воспользовавшись тем, что $dt = dl/v = r d\theta/v$, где dl — элементарный путь тела A за промежуток времени dt , перепишем первое уравнение в виде

$$v dv = gr \sin \theta d\theta.$$

Принтегрировав левую часть этого выражения от 0 до v , правую — от 0 до ϑ , найдем

$$v^2 = 2gr(1 - \cos\vartheta).$$

Далее, в момент отрыва $R = 0$, поэтому второе исходное уравнение принимает вид

$$v^2 = gr \cos\vartheta,$$

где v и ϑ соответствуют точке отрыва. Исключив $\cos\vartheta$ из последних двух равенств, получим $\dot{v} = \sqrt{2gr/3}$.

§ 2.5. Неинерциальные системы отсчета. Силы инерции

Основное уравнение динамики в неинерциальной системе. Ранее было отмечено, что основное уравнение динамики справедливо только в инерциальных системах отсчета. Между тем имеется много случаев, когда решение интересующей нас задачи необходимо получить в *неинерциальных* системах (например, движение математического маятника в ускоренно движущемся вагоне, движение спутника относительно поверхности Земли и др.). Поэтому возникает вопрос: как следует изменить основное уравнение динамики, чтобы оно оказалось справедливым и для неинерциальных систем отсчета?

С этой целью возьмем две системы отсчета: *инерциальную* K -систему и *неинерциальную* K' -систему. Пусть известны масса m частицы, сила F , действующая на нее со стороны окружающих тел, и характер движения K' -системы относительно K -системы.

Рассмотрим достаточно общий случай, когда K' -система вращается с постоянной угловой скоростью ω вокруг оси, перемещающейся поступательно с ускорением w_0 относительно K -системы. Воспользуемся формулой преобразования ускорений (1.31). Из нее следует, что ускорение частицы в K' -системе

$$w' = w - w_0 + \omega^2 \rho + 2[v' \omega], \quad (2.17)$$

где v' — скорость частицы относительно K' -системы, ρ — радиус-вектор, перпендикулярный оси вращения и характеризующий положение частицы относительно этой оси.

Умножив обе части (2.17) на массу m частицы и учтя, что в инерциальной системе отсчета $mw = F$, получим

$$\boxed{mw' = F - mw_0 + m\omega^2\rho + 2m[v'\omega].} \quad (2.18)$$

Это и есть *основное уравнение динамики в неинерциальной системе отсчета*, которая вращается с постоянной угловой скоростью ω вокруг оси, перемещающейся поступательно с ускорением w_0 . Из него видно, что даже при $F = 0$ частица будет двигаться в этой системе с ускорением, в общем случае отличным от нуля, причем так, как если бы на нее действовали некоторые силы, соответствующие последним трем членам уравнения (2.18). Эти силы назвали *силами инерции*.

Уравнение (2.18) показывает, что введение сил инерции позволяет сохранить по форме основное уравнение динамики и для неинерциальных систем: слева — произведение массы частицы на ее ускорение (но уже по отношению к неинерциальной системе отсчета), справа — силы. Однако кроме силы F , обусловленной действием окружающих тел (силы взаимодействия), необходимо учесть и силы инерции — остальные слагаемые в правой части уравнения (2.18).

Силы инерции. — Перепишем уравнение (2.18) в таком виде:

$$mw' = F + F_{ин} + F_{цб} + F_{кор}, \quad (2.19)$$

где

$$\boxed{F_{ин} = -mw_0} \quad (2.20)$$

— сила инерции, обусловленная поступательным движением неинерциальной системы отсчета;

$$\boxed{F_{цб} = m\omega^2\rho} \quad (2.21)$$

— центробежная сила инерции;

$$\boxed{F_{кор} = 2m[v'\omega]} \quad (2.22)$$

— *сила Кориолиса*, или *кориолисова сила инерции*. Последние две силы обусловлены вращательным движением системы отсчета.

Мы видим, таким образом, что силы инерции зависят от свойств неинерциальной системы отсчета (w_0 , ω), а также от расстояния ρ и скорости v' частицы в этой системе отсчета.

Если, например, неинерциальная система отсчета движется поступательно (по отношению к инерциальной системе отсчета), то в этой системе на свободную частицу действует только сила (2.20), направление которой противоположно ускорению w_0 данной системы отсчета. Вспомним,

как при резком торможении вагона сила инерции бросает нас вперед, т. е. в сторону, противоположную w_0 .

Другой случай: система отсчета вращается с угловой скоростью ω вокруг неподвижной оси, и тело A покоится в этой системе (например, вы сидите на горизонтальном вращающемся круге аттракциона «колесо смеха»). На тело A кроме силы взаимодействия с окружающими телами действует центробежная сила инерции (2.21), направленная от оси вращения вдоль радиуса-вектора ρ . Пока тело A покоится относительно круга ($w' = 0$), эта сила компенсирует силу взаимодействия. Но как только тело придет в движение, т. е. появится скорость v' , начнет действовать

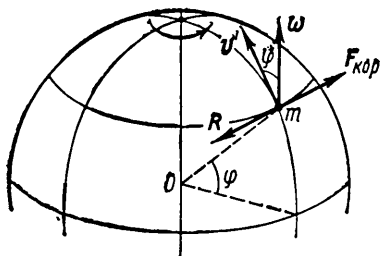


Рис. 23

и сила Кориолиса (2.22), направление которой определяет векторное произведение $[v'\omega]$. Заметим, что сила Кориолиса появляется в дополнение к центробежной силе инерции, действующей независимо от того, покоится тело или движется во вращающейся системе отсчета.

Ранее было отмечено, что система отсчета, свя-

занная с земной поверхностью, во многих случаях может считаться практически инерциальной. Однако существует ряд явлений, истолкование которых в этой системе отсчета невозможно без учета ее неинерциальности.

Известно, например, что ускорение свободного падения тел относительно поверхности Земли имеет наибольшее значение у полюсов. Уменьшение этого ускорения по мере приближения к экватору объясняется не только несферичностью Земли, но и возрастающим действием центробежной силы инерции. Или такие явления, как отклонение свободно падающих тел к востоку, размыв правых берегов рек в северном полушарии и левых берегов — в южном, вращение плоскости качания маятника Фуко и др. Подобные явления связаны с движением тел относительно поверхности Земли и могут быть объяснены действием сил Кориолиса.

Пример. Поезд массы m движется по меридиану на широте φ со скоростью v' . Найти силу бокового давления, с которой поезд действует на рельсы.

В системе отсчета, связанной с Землей (она вращается с угловой скоростью ω), составляющая ускорения поезда, перпендикулярная плоскости меридиана, равна нулю. Поэтому и сумма проекций сил, действующих на поезд в этом направлении, также равна нулю. А это значит, что сила Кориолиса $F_{\text{кор}}$ (рис. 23) должна уравновешиваться силой R бокового давления, действующей на поезд со стороны правого по ходу движения рельса, т. е. $F_{\text{кор}} = -R$. По третьему закону Ньютона, поезд будет действовать на этот рельс в горизонтальном направлении с силой $R' = -R$. Следовательно, $R' = F_{\text{кор}} = 2\dot{m}[v'\omega]$. Модуль вектора R' равен $R' = 2mv'\omega \sin \varphi$.

Следующий простой пример показывает, как «возникают» силы инерции при переходе от инерциальной системы отсчета к неинерциальной.

Пример. На поверхности стола находится горизонтальный диск D , свободно вращающийся вокруг вертикальной оси с постоянной угловой скоростью ω . Над диском висит шарик массы m , как показано на рис. 24, а. Рассмотрим поведение этого шарика в K -системе отсчета, связанной со столом (она предполагается инерциальной), и в K' -системе, связанной с вращающимся диском.

В инерциальной K -системе на шарик действуют две силы: сила тяжести и сила натяжения со стороны нити. Эти силы компенсируют друг друга, и шарик покоится в K -системе.

В неинерциальной K' -системе шарик движется равномерно по окружности с нормальным ускорением $\omega^2\rho$, где ρ — расстояние от шарика до оси вращения. Легко убедиться, что это ускорение обусловлено действием сил инерции. В самом деле, в K' -системе помимо указанных выше двух сил, компенсирующих друг друга, действуют еще центробежная сила инерции и сила Кориолиса (рис. 24, б). Взяв проекции этих сил на нормаль n к траектории в точке нахождения шарика, запишем:

$$m\omega'_n = F_{\text{кор}} - F_{\text{цб}} = 2mv'\omega - m\omega^2\rho = m\omega^2\rho,$$

где учтено, что в данном случае $v' = \omega\rho$. Отсюда видно, что $\omega'_n = \omega^2\rho$.

Особенности сил инерции. Подводя итог, перечислим важнейшие особенности этих сил, отличающие их от сил взаимодействия:

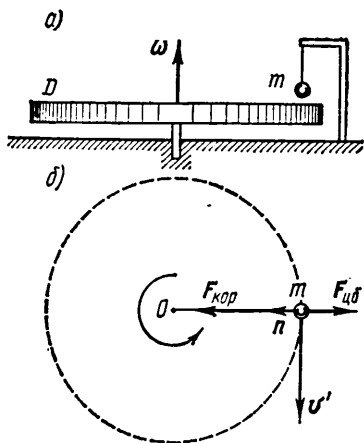


Рис. 24

1. Силы инерции обусловлены не взаимодействием тел, а свойствами самих неинерциальных систем отсчета. Поэтому на силы инерции третий закон Ньютона не распространяется.

2. Эти силы существуют только в неинерциальных системах отсчета — это необходимо твердо помнить во избежание недоразумений. В инерциальных системах отсчета сил инерции вообще нет, и понятие *сила* в этих системах отсчета применяется только в ньютоновском смысле, как мера взаимодействия тел.

3. Все силы инерции, подобно силам тяготения, пропорциональны массе тела. Поэтому в однородном поле сил инерции, как и в поле сил тяготения, все тела движутся с одним и тем же ускорением независимо от их масс. Это весьма существенный факт с далеко идущими последствиями.

Принцип эквивалентности. Тот факт, что силы инерции, как и силы тяготения, пропорциональны массам тел, приводит к следующему важному заключению. Представим себе, что мы находимся в некоторой закрытой лаборатории и не имеем возможности наблюдать внешний мир. Допустим, кроме того, что мы не знаем, где находится лаборатория: в космическом пространстве или, скажем, на Земле. Замечая, что все тела независимо от их массы падают в лаборатории с одинаковым ускорением, мы не можем на основании только этого факта установить, чем вызвано это ускорение: полем тяготения, ускоренным поступательным движением самой лаборатории или, наконец, обеими этими причинами. Никакие опыты по свободному падению тел в такой лаборатории не могут отличить однородное поле тяготения от однородного поля сил инерции.

Эйнштейн высказал предположение, что вообще никакими физическими опытами невозможно отличить однородное поле тяготения от однородного поля сил инерции. Это предположение, возведенное в постулат, и составляет содержание так называемого *принципа эквивалентности* сил тяготения и сил инерции: *все физические явления в однородном поле тяготения происходят совершенно так же, как и в соответствующем однородном поле сил инерции.*

Глубокая аналогия между силами инерции и силами тяготения послужила отправным пунктом при построении Эйнштейном *общей теории относительности*, или релятивистской теории гравитации.

В заключение необходимо отметить, что любую механическую задачу можно решить в инерциальной и неинерциальной системах отсчета. Выбор той или иной системы отсчета обычно диктуется или постановкой вопроса, или стремлением получить решение возможно более простым путем. При этом часто наиболее удобно пользоваться именно неинерциальными системами отсчета (см. задачи 2.9—2.11).

Задачи к главе 2

● 2.1. Брусок массы m_1 находится на доске массы m_2 , которая лежит на гладкой горизонтальной плоскости (рис. 25). Коэффициент трения между поверхностями бруска и доски равен k . К доске приложили горизонтальную силу F , зависящую от времени t по закону $F = at$ (a — постоянная). Найти:

1) момент времени t_0 , в который доска начнет выскальзывать из-под бруска;

2) ускорения бруска w_1 и доски w_2 в процессе движения.

Решение. 1. Запишем основное уравнение динамики для бруска и доски, взяв положительное направление оси x , как показано на рисунке:

$$m_1 w_1 = F_{\text{тр}}, \quad m_2 w_2 = F - F_{\text{тр}}. \quad (1)$$

По мере возрастания силы F будет расти и сила трения $F_{\text{тр}}$ (вначале она является силой трения покоя). Но сила трения $F_{\text{тр}}$ имеет предел $F_{\text{тр. макс}} = km_1 g$. Пока этот предел не достигнут, оба тела будут двигаться как единое целое с одинаковыми ускорениями. Когда же сила $F_{\text{тр}}$ достигнет предела, доска начнет выскальзывать из-под бруска, т. е.

$$w_2 > w_1.$$

Подставив сюда w_1 и w_2 из (1) с учетом того, что $F_{\text{тр}} = km_1 g$, получим

$$(at - km_1 g)/m_2 > kg,$$

где знак « \Rightarrow » соответствует моменту $t = t_0$. Отсюда

$$t_0 = (m_1 + m_2)kg/a.$$

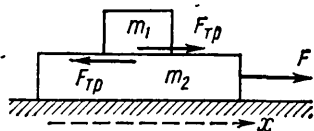


Рис. 25

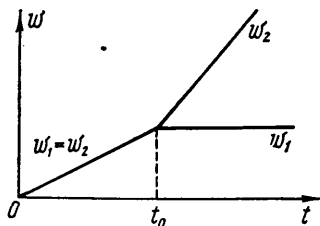


Рис. 26

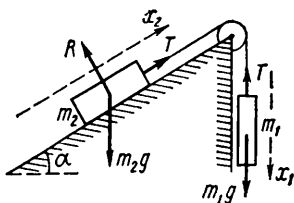


Рис. 27

2. Если $t \leq t_0$, то

$$w_1 = w_2 = at/(m_1 + m_2);$$

если же $t > t_0$, то

$$w_1 = kg = \text{const}, \quad w_2 = (at - km_1 g)/m_2.$$

Графики зависимостей $w_1(t)$ и $w_2(t)$ показаны на рис. 26.

● 2.2. В установке (рис. 27) наклонная плоскость составляет угол $\alpha = 30^\circ$ с горизонтом. Отношение масс тел $\eta = m_1/m_2 = 2/3$.

Коэффициент трения между плоскостью и телом m_2 $k = 0,10$. Массы блока и нити пренебрежимо малы. Найти модуль и направление ускорения тела m_1 , если система пришла в движение из состояния покоя.

Решение. Здесь сразу же возникнет вопрос, связанный с направлением силы трения, действующей на тело m_2 . Без ответа на этот вопрос нельзя записать основное уравнение динамики для тела m_2 в проекциях, и задача оказывается неопределенной.

Будем рассуждать так: в отсутствие сил трения тело m_2 начало бы скользить по наклонной плоскости, допустим, вверх. Ясно, что «включение» силы трения не может изменить направления движения, а только уменьшит ускорение. Таким образом, направление силы трения, действующей на тело m_2 , будет определено, если найти направление ускорения этого тела в отсутствие трения ($k = 0$). С этого мы и начнем.

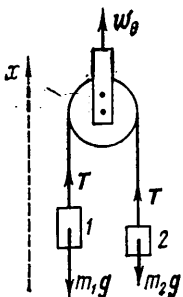


Рис. 28

Запишем основное уравнение динамики для обоих тел в проекциях, взяв положительные направления осей x_1 и x_2 , как показано на рис. 27:

$$m_1 w_x = m_1 g - T, \quad m_2 w_x = T - m_2 g \sin \alpha,$$

где T — сила натяжения нити. Сложив почленно левые и правые части этих уравнений, получим

$$w_x = \frac{\eta - \sin \alpha}{\eta + 1} g.$$

Подстановка в это выражение $\eta = 2/3$ и $\alpha = 30^\circ$ дает $w_x > 0$, т.е. тело m_2 начнет двигаться *вверх* по наклонной плоскости. Следовательно, сила трения, действующая на это тело, будет направлена в противоположную сторону. С учетом этого обстоятельства снова запишем уравнения движения:

$$m_1 w'_x = m_1 g - T', \quad m_2 w'_x = T' - m_2 g \sin \alpha - k m_2 g \cos \alpha.$$

Отсюда

$$w'_x = \frac{\eta - \sin \alpha - k \cos \alpha}{\eta + 1} g \approx 0,05g.$$

● 2.3. Через блок (рис. 28) перекинута нерастяжимая нить, на концах которой висят грузы с массами m_1 и m_2 , причем $m_1 > m_2$. Блок начали поднимать вверх с ускорением w_0 относительно Земли. Полагая, что нить скользит по блоку без трения, найти ускорение w_1 груза m_1 относительно Земли.

Решение. Выберем положительное направление оси x , как показано на рис. 28, и запишем для обоих грузов основное уравнение динамики в проекции на эту ось:

$$m_1 w_{1x} = T - m_1 g, \quad (1)$$

$$m_2 w_{2x} = T - m_2 g. \quad (2)$$

Эти два уравнения содержат три неизвестных: w_{1x} , w_{2x} и T . Для составления третьего уравнения воспользуемся кинематической связью между ускорениями:

$$w_1 = w_0 + w', \quad w_2 = w_0 - w',$$

где w' — ускорение груза массы m_1 относительно блока. Сложив почленно левые и правые части этих равенств, получим

$$w_1 + w_2 = 2w_0,$$

или в проекциях на ось x

$$w_{1x} + w_{2x} = 2w_0. \quad (3)$$

Решив совместно уравнения (1), (2) и (3), найдем

$$w_{1x} = [2m_2w_0 + (m_2 - m_1)g]/(m_1 + m_2).$$

Отсюда видно, что при заданном w_0 знак w_{1x} зависит от соотношения масс m_1 и m_2 .

● 2.4. Небольшая шайба движется по наклонной плоскости, коэффициент трения которой $k = \operatorname{tg} \alpha$, где α — угол наклона плоскости к горизонту.

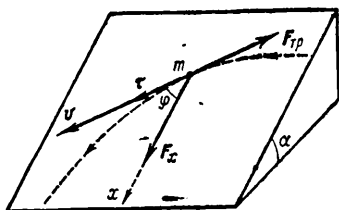


Рис. 29

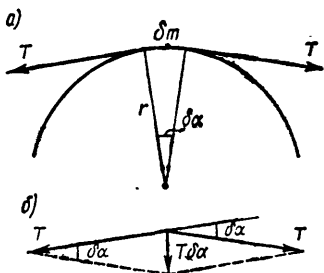


Рис. 30

скости к горизонту. Найти зависимость скорости v шайбы от угла φ между вектором v и осью x (рис. 29), если в начальный момент $v = v_0$ и $\varphi = \pi/2$.

Решение. Ускорение шайбы вдоль плоскости определяется составляющей силы тяжести на эту плоскость $F_x = mg \sin \alpha$ и силой трения $F_{\text{тр}} = kmg \cos \alpha$. В нашем случае $k = \operatorname{tg} \alpha$, поэтому

$$F_{\text{тр}} = F_x = mg \sin \alpha.$$

Найдем проекции ускорения на направление касательной к траектории и на ось x :

$$mw_{\tau} = F_x \cos \varphi - F_{\text{тр}} = mg \sin \alpha (\cos \varphi - 1),$$

$$mw_x = F_x - F_{\text{тр}} \cos \varphi = mg \sin \alpha (1 - \cos \varphi).$$

Отсюда видно, что $w_{\tau} = -w_x$, а это значит, что скорость v и ее проекция v_x различаются лишь на некоторую постоянную C , не зависящую от времени, т. е.

$$v = -v_x + C,$$

где $v_x = v \cos \varphi$. Постоянную C находим из начального условия $v = v_0$, откуда $C = v_0$. В результате получим

$$v = v_0/(1 + \cos \varphi).$$

С ростом времени $\varphi \rightarrow 0$ и $v \rightarrow v_0/2$.

●2.5. Тонкий однородный упругий шнур массы m и длины l_0 (в нерастянутом состоянии) имеет коэффициент упругости κ . Склеив торцы, шнур положили на гладкую горизонтальную плоскость, придали ему форму окружности и раскрутили до угловой скорости ω вокруг вертикальной оси, проходящей через его центр. Найти силу натяжения шнура в этом состоянии.

Решение. Мысленно выделим малый элемент шнура массы δm , как показано на рис. 30, а. Этот элемент движется по окружности под действием силы, представляющей собой геометрическую сумму двух векторов, каждый из которых равен по модулю некоторой силе натяжения T (рис. 30, б). Поэтому согласно второму закону Ньютона

$$\delta m \cdot \omega^2 r = T \cdot \delta \alpha. \quad (1)$$

Учтем, что $\delta m = (m/2\pi)\delta\alpha$ и $r = l/2\pi$, l — длина шнура во вращающемся состоянии. Тогда (1) примет вид

$$m\omega^2 l/4\pi^2 = T. \quad (2)$$

С другой стороны, по закону Гука,

$$T = \kappa (l - l_0). \quad (3)$$

Исключив l из (2) и (3), получим

$$T = \frac{\kappa l_0}{4\pi^2 \kappa/m\omega^2 - 1}.$$

Заметим, что в случае нерастяжимого шнура ($\kappa = \infty$) $T = m\omega^2 l_0/4\pi^2$.

●2.6. Интегрирование уравнений движения. Частица массы m движется под действием силы F . В момент $t = 0$ известны ее радиус-вектор $\mathbf{r}(0)$ и скорость $\mathbf{v}(0)$ — начальные условия. Найти положение частицы в зависимости от времени t , если:

- 1) $F = F_0 \sin \omega t$, $\mathbf{r}(0) = 0$, $\mathbf{v}(0) = 0$;
- 2) $F = -k\mathbf{v}$, $\mathbf{r}(0) = 0$, $\mathbf{v}(0) = \mathbf{v}_0$;
- 3) $F = -\kappa\mathbf{r}$, $\mathbf{r}(0) = \mathbf{r}_0$, $\mathbf{v}(0) = \mathbf{v}_0$, причем $\mathbf{v}_0 \parallel \mathbf{r}_0$.

Здесь F_0 — постоянный вектор; ω , k , κ — положительные константы.

Решение. 1. Согласно основному уравнению динамики, в данном случае ускорение

$$d\mathbf{v}/dt = (F_0/m)\sin \omega t.$$

Отсюда находим элементарное приращение вектора скорости $d\mathbf{v}$ за время dt и затем — приращение этого вектора за время от 0 до t :

$$\mathbf{v}(t) - \mathbf{v}(0) = (F_0/m) \int_0^t \sin \omega t dt.$$

Учитывая, что $\mathbf{v}(0) = 0$, после интегрирования получим

$$\mathbf{v}(t) = (F_0/m\omega)(1 - \cos \omega t).$$

Теперь найдем $d\mathbf{r}$ — элементарное перемещение, или приращение радиуса-вектора \mathbf{r} частицы за время dt : $d\mathbf{r} = \mathbf{v}(t)dt$. Приращение же

радиуса-вектора за время от 0 до t :

$$\mathbf{r}(t) - \mathbf{r}(0) = (\mathbf{F}_0/m\omega) \int_0^t (1 - \cos \omega t) dt.$$

Проинтегрировав это выражение и учитывая, что $\mathbf{r}(0) = 0$, находим

$$\mathbf{r}(t) = (\mathbf{F}_0/m\omega^2)(\omega t - \sin \omega t).$$

На рис. 31 показаны графики зависимостей $v_x(t)$ и $x(t)$ — проекций векторов \mathbf{v} и \mathbf{r} на ось x , выбранную в направлении движения частицы, т. е. в направлении вектора \mathbf{F}_0 .

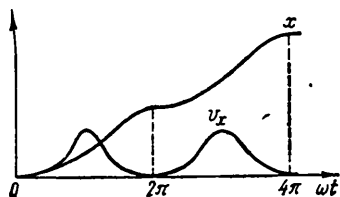


Рис. 31

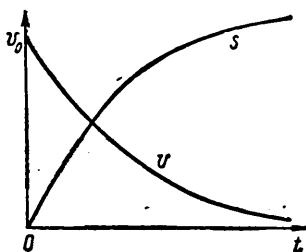


Рис. 32

2. Здесь ускорение

$$dv/dt = -(k/m)v.$$

Для интегрирования этого уравнения перейдем к скалярной форме — к модулю вектора \mathbf{v} :

$$dv/v = -(k/m)dt.$$

Интегрирование этого уравнения (с учетом начальных условий) дает: $\ln(v/v_0) = -(k/m)t$. После потенцирования возвращаемся к векторной форме:

$$\mathbf{v} = \mathbf{v}_0 e^{-kt/m}.$$

Интегрируем последнее уравнение еще раз (и также с учетом начальных условий):

$$\mathbf{r} = \int_0^t \mathbf{v} dt = (m\mathbf{v}_0/k) (1 - e^{-kt/m}).$$

На рис. 32 показаны графики скорости v и пройденного пути s в зависимости от времени t (в нашем случае $s = r$).

3. В данном случае движение будет происходить вдоль прямой, совпадающей с радиусом-вектором \mathbf{r} . Возьмем в этом направлении ось x и сразу запишем основное уравнение динамики в проекции на эту ось, причем в такой форме:

$$\ddot{x} + \omega^2 x = 0, \quad (1)$$

где \ddot{x} — вторая производная координаты по времени (проекция вектора ускорения), $\omega^2 = k/m$. Написанное уравнение называют *уравнением гармонических колебаний*.

В математике доказывается, что общее решение этого уравнения имеет вид

$$x(t) = A \cos \omega t + B \sin \omega t, \quad (2)$$

где A и B — произвольные постоянные. Ограничения, накладываемые на эти постоянные, определяются обычно из начальных условий. Например, в нашем случае в момент $t = 0$

$$x(0) = x_0 \text{ и } v_x(0) = v_{0x}, \quad (3)$$

где x_0 и v_{0x} — проекции векторов r_0 и v_0 на ось x . После подстановки (2) в (3) получим: $A = x_0$, $B = v_{0x}/\omega$. Дальнейшее очевидно.

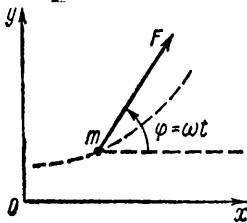


Рис. 33

●2.7. Частица массы m движется в некоторой плоскости под действием постоянной по модулю силы F , направление которой поворачивается в этой плоскости с постоянной угловой скоростью ω . В момент $t = 0$ скорость частицы равна нулю. Найти модуль скорости частицы как функцию времени t , а также путь, проходимый частицей между двумя последовательными остановками.

Решение. Свяжем с данной плоскостью систему координат x, y (рис. 33), взяв ось x в направлении, которое имел вектор силы в момент $t = 0$. Тогда основное уравнение динамики в проекциях на оси x и y будет иметь вид

$$m dv_x/dt = F \cos \omega t, \quad m dv_y/dt = F \sin \omega t.$$

Принтегрировав эти уравнения по времени с учетом начального условия $v(0) = 0$, получим:

$$v_x = (F/m\omega) \sin \omega t, \quad v_y = (F/m\omega)(1 - \cos \omega t).$$

Модуль вектора скорости частицы

$$v = \sqrt{v_x^2 + v_y^2} = (2F/m\omega) \sin(\omega t/2).$$

Отсюда видно, что скорость v обращается в нуль через промежуток времени Δt , который можно найти из равенства $\omega \Delta t/2 = \pi$. Поэтому искомый путь

$$s = \int_0^{\Delta t} v dt = 8F/m\omega^2.$$

●2.8. Автомашина движется с постоянным тангенциальным ускорением ω_t по горизонтальной поверхности, описывая окружность радиуса R . Коэффициент трения между колесами машины и поверхностью равен k . Какой путь s пройдет машина без скольжения при нулевой начальной скорости?

Решение. По мере увеличения скорости будет расти как нормальное, так и полное ускорение машины. Движение будет происходить без скольжения, пока необходимое полное ускорение будет обеспечиваться силой трения. Максимально возможное значение этой силы $F_{\text{макс}} = kmg$, где m — масса машины. Поэтому макси-

мальное значение полного ускорения (согласно основному уравнению динамики $m\mathbf{w} = \mathbf{F}$)

$$\omega_{\max} = kg. \quad (1)$$

С другой стороны,

$$\omega_{\max} = \sqrt{\omega_{\tau}^2 + (v^2/R)^2}, \quad (2)$$

где v — скорость машины в момент, когда ее ускорение станет максимально возможным. Эта скорость и искомый путь s связаны формулой

$$v^2 = 2\omega_{\tau}s. \quad (3)$$

Выразив v из (1) и (2) и подставив в (3), получим

$$s = (R/2)\sqrt{(kg/\omega_{\tau})^2 - 1}.$$

Нетрудно видеть, что решение имеет смысл при положительном подкоренном выражении, т. е. при $\omega_{\tau} < kg$.

● 2.9. Неинерциальные системы отсчета. Спутник движется в экваториальной плоскости Земли с запада на восток по круговой орбите радиуса r . Пренебрегая ускорением, обусловленным движением Земли вокруг Солнца, найти ускорение ω' спутника в системе отсчета, связанной с Землей.

Решение. Пусть K — инерциальная (по условию) система отсчета, в которой ось вращения Земли покоится, а K' — неинерциальная система отсчета, которая связана с Землей и вращается с угловой скоростью ω относительно K -системы.

Нас интересует ускорение ω' спутника в K' -системе. Для этого прежде всего изобразим все силы, действующие на спутник в этой системе отсчета: силу тяготения F , силу Кориолиса $F_{\text{кор}}$ и центробежную силу инерции $F_{\text{цб}}$ (рис. 34, вид со стороны Северного полюса Земли).

Теперь воспользуемся уравнением (2.18), считая $w_0 = 0$ (по условию). Спутник движется по окружности в K' -системе, поэтому сразу спроектируем уравнение (2.18) на нормаль \mathbf{n} к траектории:

$$m\omega' = F - 2mv'\omega - m\omega^2r, \quad (1)$$

где $F = \gamma mM/r^2$; m и M — масса спутника и Земли. Остается найти скорость v' спутника в K' -системе. Для этого воспользуемся кинематической связью (1.24) в скалярном виде

$$v' = v - \omega r, \quad (2)$$

где v — скорость спутника в K -системе (рис. 34), и уравнением движения спутника в K -системе — для определения v :

$$mv^2/r = \gamma mM/r^2. \quad (3)$$

Решив совместно уравнения (1), (2) и (3), получим

$$\omega' = (1 - \omega r\sqrt{\gamma M/r})^2 \gamma M/r^2.$$

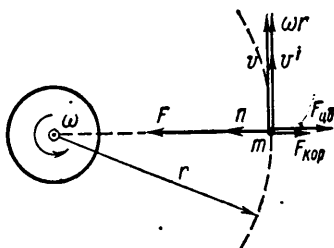


Рис. 34

В частности, $\omega' = 0$ при $r = \sqrt[3]{\gamma M/\omega^2} = 4,2 \cdot 10^3$ км. Такой спутник называют *стационарным*: он неподвижен относительно поверхности Земли.

●2.10. Небольшая муфта массы m свободно скользит по гладкому горизонтальному стержню, который вращается с постоянной угловой скоростью ω вокруг неподвижной вертикальной оси, проходящей через один из его концов. Найти горизонтальную составляющую силы, действующей на муфту со стороны стержня, в момент, когда она находится на расстоянии r от оси. В начальный момент муфта находилась непосредственно около оси и имела пренебрежимо малую скорость.

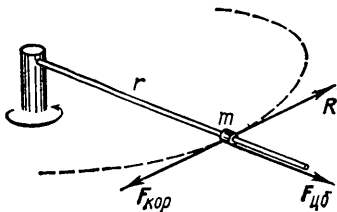


Рис. 35

Решение. Рассмотрим движение муфты во вращающейся системе отсчета, жестко связанной со стержнем. В этой системе отсчета муфта движется прямолинейно, а это значит, что искомая сила уравнивается силой Кориолиса (рис. 35):

Решение. Рассмотрим движение муфты во вращающейся системе отсчета, жестко связанной со стержнем. В этой системе отсчета муфта движется прямолинейно, а это значит, что искомая сила уравнивается силой Кориолиса (рис. 35):

$$R = -F_{\text{кор}} = 2m[\omega v']. \quad (1)$$

Задача, таким образом, сводится к нахождению скорости v' муфты относительно стержня. Согласно (2.19),

$$dv'/dt = F_{\text{цб}}/m = \omega^2 r.$$

Преобразуем это уравнение, имея в виду, что $dt = dr/v'$. Тогда получим

$$v' dv' = \omega^2 r dr.$$

Проинтегрировав последнее уравнение с учетом начальных условий ($v' = 0$, $r = 0$), найдем $v' = \omega r$, или в векторном виде

$$\mathbf{v}' = \omega \mathbf{r}. \quad (2)$$

Подстановка (2) в (1) дает

$$R = 2m\omega [\omega \mathbf{r}].$$

●2.11. Устойчивость движения. Проволочное кольцо радиуса r вращают с постоянной угловой скоростью ω вокруг вертикальной оси OO' , проходящей по его диаметру. На кольце находится небольшая муфта A , которая может свободно (без трения) скользить по нему. Найти угол ϑ (рис. 36), соответствующий устойчивому положению муфты.

Решение. Рассмотрим поведение муфты в системе отсчета, связанной с вращающимся кольцом. Ее движение вдоль кольца будет определяться проекцией F_{τ} результирующей силы на направление орта τ в точке A . Из рис. 36 видно, что

$$F_{\tau} = F_{\text{цб}} \cos \vartheta - mg \sin \vartheta,$$

где справа записаны проекции центробежной силы инерции и силы тяжести. Учтя, что $F_{\text{цб}} = m\omega^2 r \sin \vartheta$, перепишем предыдущее выражение так:

$$F_{\tau} \sim \sin \vartheta (\cos \vartheta - g/\omega^2 r). \quad (1)$$

Из условия равновесия ($F_\tau = 0$) найдем два значения угла ϑ_0 , при которых оно возможно: $\sin \vartheta_0 = 0$ и $\cos \vartheta_0 = g/\omega^2 r$. Первое условие может быть осуществлено при любых значениях ω , второе же — только при $g/\omega^2 r < 1$. Таким образом, при малых ω существует только одно положение равновесия — в нижней точке ($\vartheta_0 = 0$); при больших же ω ($\omega > \sqrt{g/r}$) возможно и другое положение равновесия, определяемое вторым условием.

Для устойчивости определенного состояния равновесия необходимо, чтобы сила F_τ при выведении муфты из положения равновесия (в любую сторону) была направлена обратно — к положению равновесия, т. е. знак F_τ должен быть противоположен знаку отклонения $\Delta\vartheta$ от равновесного угла ϑ_0 .

При малом отклонении $d\vartheta$ от угла ϑ_0 возникающая сила δF_τ может быть найдена как дифференциал выражения (1):

$$\delta F_\tau \sim [\cos \vartheta_0 (\cos \vartheta_0 - g/\omega^2 r) - \sin^2 \vartheta_0] d\vartheta.$$

В нижнем положении равновесия ($\vartheta_0 = 0$)

$$\delta F_\tau \sim (1 - g/\omega^2 r) d\vartheta. \quad (2)$$

Это положение равновесия будет устойчивым, когда выражение, стоящее в скобках, отрицательно, т. е. при $\omega < \sqrt{g/r}$.

В другом положении равновесия ($\cos \vartheta_0 = g/\omega^2 r$)

$$\delta F_\tau \sim -\sin^2 \vartheta_0 d\vartheta.$$

Отсюда видно, что это положение равновесия (если оно существует) всегда устойчиво.

Итак, пока существует лишь нижнее положение равновесия (при $\omega < \sqrt{g/r}$), оно всегда устойчиво. При появлении же другого положения равновесия (когда $\omega > \sqrt{g/r}$) нижнее положение, согласно (2), становится неустойчивым, и муфта сразу переходит из нижнего положения в верхнее, которое всегда устойчиво.

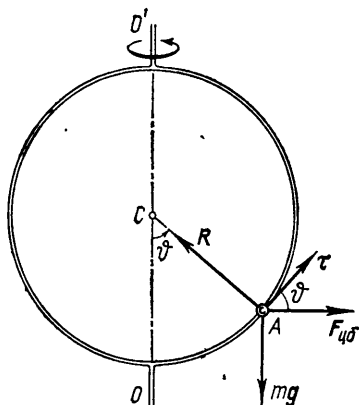


Рис. 36

ЗАКОН СОХРАНЕНИЯ ЭНЕРГИИ

§ 3.1. О законах сохранения

Любое тело (или совокупность тел) представляет собой, по существу, систему материальных точек, или частиц. Если система с течением времени изменяется, то говорят, что изменяется ее *состояние*. Состояние системы характеризуется одновременным заданием положений (координат) и скоростей всех ее частиц.

Зная законы действующих на частицы системы сил и состояние системы в некоторый начальный момент времени, можно, как показывает опыт, с помощью уравнений движения предсказать ее дальнейшее поведение, т. е. найти состояние системы в любой момент времени. Так, например, решается задача о движении планет Солнечной системы.

Однако детальное рассмотрение поведения системы с помощью уравнений движения часто бывает настолько затруднительно (например, из-за сложности самой системы), что довести решение до конца представляется практически невозможным. А в тех случаях, когда законы действующих сил вообще неизвестны, такой подход оказывается в принципе неосуществимым. Кроме того, существует ряд задач, в которых детальное рассмотрение движения отдельных частиц просто и не имеет смысла (например, газ).

При таком положении естественно возникает вопрос: нет ли каких-либо общих принципов, являющихся следствием законов Ньютона, которые позволили бы иначе подойти к решению задачи и помогли бы в какой-то степени обойти подобные трудности.

Оказывается, такие принципы есть. Это так называемые *законы сохранения*.

Как уже было сказано, при движении системы ее состояние изменяется со временем. Существуют, однако, такие величины — функции состояния, которые обладают весьма важным и замечательным свойством сохраняться во времени. Среди этих сохраняющихся величин наиболее важную роль играют *энергия, импульс и момент импульса*. Эти три величины имеют важное общее свойство аддитивности: их значение для системы, состоящей из частей, взаимодействие которых пренебрежимо мало, равно сумме значений для каждой из частей в отдельности (впрочем, для импульса

и момента импульса свойство аддитивности выполняется и при наличии взаимодействия). Именно свойство аддитивности и придает этим трем величинам особенно важную роль.

Законы сохранения энергии, импульса и момента импульса имеют, как выяснилось впоследствии, весьма глубокое происхождение, связанное с фундаментальными свойствами времени и пространства — однородностью и изотропностью. А именно: закон сохранения энергии связан с однородностью времени, а законы сохранения импульса и момента импульса — соответственно с однородностью и изотропностью пространства. Сказанное следует понимать в том смысле, что перечисленные законы сохранения можно получить из второго закона Ньютона, если к нему присоединить соответствующие свойства симметрии времени и пространства. Более подробно обсуждать этот вопрос мы, однако, не будем.

Законы сохранения энергии, импульса и момента импульса относятся к числу тех наиболее фундаментальных принципов физики, значение которых трудно переоценить. Роль этих законов особенно возросла после того, как выяснилось, что они далеко выходят за рамки механики и представляют собой универсальные законы природы. Во всяком случае, до сих пор не обнаружено ни одного явления, где бы эти законы нарушались. Они безошибочно «действуют» и в области элементарных частиц, и в области космических объектов, в физике атома и физике твердого тела и являются одними из тех немногих наиболее общих законов, которые лежат в основе современной физики.

Открыв возможность иного подхода к рассмотрению различных механических явлений, законы сохранения стали весьма мощным и эффективным инструментом исследования, которым повседневно пользуются физики. Эта важнейшая роль законов сохранения как инструмента исследования обусловлена рядом причин.

1. Законы сохранения не зависят ни от траекторий частиц, ни от характера действующих сил. Поэтому они позволяют получить ряд весьма общих и существенных заключений о свойствах различных механических процессов, не вникая в их детальное рассмотрение с помощью уравнений движения. Если, например, выясняется, что такой-то процесс противоречит законам сохранения, то сразу можно утверждать: этот процесс невозможен, и бессмысленно пытаться его осуществить.

2. Тот факт, что законы сохранения не зависят от характера действующих сил, позволяет использовать их даже тогда, когда силы вообще неизвестны. В этих случаях законы сохранения являются единственным и незаменимым ин-

струментом исследования. Так, например, обстоит дело в физике элементарных частиц.

3. Даже в тех случаях, когда силы в точности известны, законы сохранения могут оказать существенную помощь при решении многих задач о движении частиц. Хотя все эти задачи могут быть решены с помощью уравнений движения (в этом отношении из законов сохранения мы не получим никакой дополнительной информации), привлечение законов сохранения очень часто позволяет получить решение наиболее простым и изящным путем, избавляя нас от громоздких и утомительных расчетов. Поэтому при решении новых задач обычно принято придерживаться следующего порядка: прежде всего один за другим применяют соответствующие законы сохранения и, только убедившись, что этого недостаточно, переходят затем к решению с помощью уравнений движения.

Изучение законов сохранения мы начнем с закона сохранения энергии, введя понятие энергии через понятие работы.

§ 3.2. Работа и мощность

Работа. Пусть частица под действием силы F совершает перемещение по некоторой траектории 1—2 (рис. 37). В общем случае сила F в процессе движения частицы может меняться как по модулю, так и по направлению. Рассмотрим элементарное перемещение dr , в пределах которого силу F можно считать постоянной.

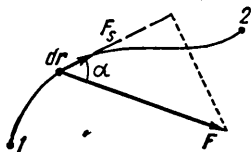


Рис. 37

Действие силы F на перемещении dr характеризуют величиной, равной скалярному произведению Fdr , которую называют *элементарной работой* силы F на перемещении dr . Ее можно представить и в другом виде:

$$Fdr = F \cos \alpha ds = F_s ds,$$

где α — угол между векторами F и dr , $ds = |dr|$ — элементарный путь, F_s — проекция вектора F на вектор dr (рис. 37).

Итак, элементарная работа силы F на перемещении dr

$$\delta A = Fdr = F_s ds. \quad (3.1)$$

Величина δA — алгебраическая: в зависимости от угла между векторами \mathbf{F} и $d\mathbf{r}$ (или от знака проекции F_s вектора \mathbf{F} на вектор $d\mathbf{r}$) она может быть как положительной, так и отрицательной и, в частности, равной нулю (если $\mathbf{F} \perp d\mathbf{r}$, т. е. $F_s = 0$).

Суммируя (интегрируя) выражение (3.1) по всем элементарным участкам пути от точки 1 до точки 2, найдем работу силы \mathbf{F} на данном пути:

$$\boxed{A = \int_1^2 \mathbf{F} d\mathbf{r} = \int_1^2 F_s ds.} \quad (3.2)$$

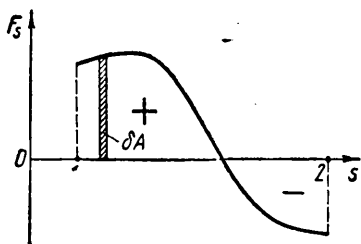


Рис. 38

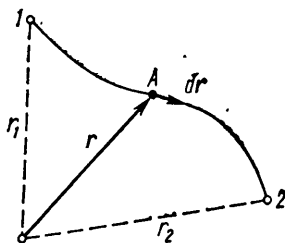


Рис. 39

Выражению (3.2) можно придать наглядный геометрический смысл. Изобразим график F_s как функцию положения частицы на траектории. Пусть, например, этот график имеет вид, показанный на рис. 38. Из этого рисунка видно, что элементарная работа δA численно равна площади заштрихованной полоски, а работа A на пути от точки 1 до точки 2 — площади фигуры, ограниченной кривой, ординатами 1 и 2 и осью s . При этом площадь фигуры над осью s берется со знаком плюс (она соответствует положительной работе), а площадь фигуры под осью s — со знаком минус (она соответствует отрицательной работе).

Рассмотрим несколько примеров на вычисление работы.

Работа упругой силы $\mathbf{F} = -\chi \mathbf{r}$, где \mathbf{r} — радиус-вектор частицы A относительно точки O (рис. 39). Переместим частицу A , на которую действует эта сила, по произвольному пути из точки 1 в точку 2. Найдем сначала элементарную работу силы \mathbf{F} на элементарном перемещении $d\mathbf{r}$:

$$\delta A = \mathbf{F} d\mathbf{r} = -\chi r dr.$$

Скалярное произведение $\mathbf{r} d\mathbf{r} = r (d\mathbf{r})_r$, где $(d\mathbf{r})_r$ — проекция $d\mathbf{r}$ на вектор \mathbf{r} . Эта проекция равна dr — приращению моду-

ля вектора \mathbf{g} . Поэтому $\mathbf{g}d\mathbf{r} = r dr$ и

$$\delta A = -\kappa r dr = -d(\kappa r^2/2).$$

Теперь вычислим работу данной силы на всем пути, т. е. проинтегрируем последнее выражение от точки 1 до точки 2:

$$A = -\int_1^2 d(\kappa r^2/2) = \kappa r_1^2/2 - \kappa r_2^2/2. \quad (3.3)$$

Работа гравитационной (или кулоновской) силы. Пусть в начале вектора \mathbf{r} (рис. 39) находится неподвижная точечная масса (заряд). Найдем работу гравитационной (кулоновской) силы при перемещении частицы A из точки 1 в точку 2 по произвольному пути. Сила, действующая на частицу A , может быть представлена так:

$$\mathbf{F} = (\alpha/r^3)\mathbf{r},$$

где $\alpha = \begin{cases} -\gamma m_1 m_2, & \text{гравитационное взаимодействие,} \\ kq_1 q_2, & \text{кулоновское взаимодействие.} \end{cases}$

Вычислим сначала элементарную работу этой силы на перемещении $d\mathbf{r}$:

$$\delta A = \mathbf{F}d\mathbf{r} = (\alpha/r^3)\mathbf{r}d\mathbf{r}.$$

Как и в предыдущем случае, скалярное произведение $\mathbf{r}d\mathbf{r} = r dr$, поэтому

$$\delta A = \alpha dr/r^2 = -d(\alpha/r).$$

Работа же этой силы на всем пути от точки 1 до точки 2

$$A = -\int_1^2 d(\alpha/r) = \alpha/r_1 - \alpha/r_2. \quad (3.4)$$

Работа однородной силы тяжести $\mathbf{F} = m\mathbf{g}$. Запишем эту силу в виде $\mathbf{F} = -mg\mathbf{k}$, где \mathbf{k} — орт вертикальной оси z , положительное направление которой выбрано вверх (рис. 40). Элементарная работа силы тяжести на перемещении $d\mathbf{r}$

$$\delta A = \mathbf{F}d\mathbf{r} = -mg\mathbf{k}d\mathbf{r}.$$

Скалярное произведение $\mathbf{k}d\mathbf{r} = (d\mathbf{r})_{\mathbf{k}}$, где $(d\mathbf{r})_{\mathbf{k}}$ — проекция $d\mathbf{r}$ на орт \mathbf{k} , равная dz — приращению координаты z . Поэтому $\mathbf{k}d\mathbf{r} = dz$ и

$$\delta A = -mgdz = -d(mgz).$$

Работа же данной силы на всем пути от точки 1 до точки 2

$$A = - \int_1^2 d(mgz) = mg(z_1 - z_2). \quad (3.5)$$

Рассмотренные силы интересны в том отношении, что их работа, как видно из формул (3.3) — (3.5), не зависит от формы пути между точками 1 и 2, а зависит только от положения этих точек. Эта весьма важная особенность данных сил присуща, однако, не всем силам. Например, сила трения этим свойством не обладает: работа этой силы зависит не только от положения начальной и конечной точек, но и от формы пути между ними.

До сих пор речь шла о работе одной силы. Если же на частицу в процессе движения действуют несколько сил, результирующая которых $F = F_1 + F_2 + \dots$, то нетрудно показать, что работа результирующей силы F на некотором перемещении равна алгебраической сумме работ, совершаемых каждой из сил в отдельности на том же перемещении. Действительно,

$$\begin{aligned} A &= \int (F_1 + F_2 + \dots) dr = \int F_1 dr + \int F_2 dr + \dots = \\ &= A_1 + A_2 + \dots \end{aligned} \quad (3.6)$$

Мощность. Для характеристики скорости, с которой совершается работа, вводят величину, называемую *мощностью*. Мощность, по определению, — это работа, совершаемая силой за единицу времени. Если за промежуток времени dt сила F совершает работу Fdr , то мощность, развиваемая этой силой в данный момент времени, есть $N = Fdr/dt$; Учитывая, что $dr/dt = v$, получим

$$\boxed{N = Fv.} \quad (3.7)$$

Таким образом, мощность, развиваемая силой F , равна скалярному произведению вектора силы на вектор скорости, с которой движется точка приложения данной силы. Как и работа, мощность — величина алгебраическая.

Зная мощность силы F , можно найти и работу, которую совершает эта сила за промежуток времени t . В самом деле,

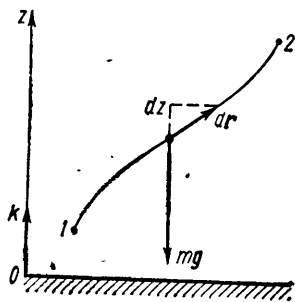


Рис. 40

представив подынтегральное выражение в (3.2) в виде $Fdr = Fvdt = Ndt$, получим

$$A = \int_0^t Ndt.$$

В качестве примера см. задачу 3.1.

В заключение обратим внимание на одно весьма существенное обстоятельство. Когда говорят о работе (или мощности), то необходимо в каждом конкретном случае четко указывать или представлять себе, работа *какой именно силы* (или сил) имеется в виду. В противном случае, как правило, неизбежны недоразумения.

§ 3.3. Потенциальное поле сил

Поле́м сил называют область пространства, в каждой точке которого на помещенную туда частицу действует сила, закономерно меняющаяся от точки к точке, например поле силы тяжести Земли или поле сил сопротивления в потоке жидкости (газа). Если сила в каждой точке силового поля не зависит от времени, то такое поле называют *стационарным*. Ясно, что силовое поле, стационарное в одной системе отсчета, в другой системе может оказаться и нестационарным. В стационарном силовом поле сила зависит только от положения частицы.

Работа, которую совершают силы поля при перемещении частицы из точки 1 в точку 2, зависит, вообще говоря, от пути. Однако среди стационарных силовых полей имеются такие, в которых эта работа не зависит от пути между точками 1 и 2. Этот класс полей, обладая рядом важнейших свойств, занимает особое место в физике. К изучению этих свойств мы и перейдем.

О п р е д е л е н и е: стационарное силовое поле, в котором работа силы поля на пути между двумя любыми точками не зависит от формы пути, а зависит только от положения этих точек, называют *потенциальным*, а сами силы — *консервативными*.

Если это условие не выполняется, то силовое поле не является потенциальным, а силы поля называют неконсервативными. К числу последних принадлежит, например, сила трения (работа этой силы зависит в общем случае от пути).

Пример двух стационарных силовых полей, одно из которых потенциальное, а другое нет, приведен в задаче 3.2.

Покажем, что в потенциальном поле работа сил поля на любом замкнутом пути равна нулю. Действительно, любой замкнутый путь (рис. 41) можно разбить произвольно на две части: $1a2$ и $2b1$. Так как поле потенциально, то, по условию, $A_{12}^{(a)} = A_{12}^{(b)}$. С другой стороны, очевидно, что $A_{12}^{(b)} = -A_{21}^{(b)}$. Поэтому

$$A_{12}^{(a)} + A_{21}^{(b)} = A_{12}^{(a)} - A_{12}^{(b)} = 0,$$

что и требовалось доказать.

Обратно, если работа сил поля на любом замкнутом пути равна нулю, то работа этих сил на пути между произвольными точками 1 и 2 от формы пути не зависит, т. е. поле потенциально. Для доказательства возьмем два произвольных пути: $1a2$ и $1b2$ (рис. 41). Составим из них замкнутый путь $1a2b1$. Работа на этом замкнутом пути по условию равна нулю, т. е. $A_{12}^{(a)} + A_{21}^{(b)} = 0$. Отсюда $A_{12}^{(a)} = -A_{21}^{(b)}$. Но $A_{21}^{(b)} = -A_{12}^{(b)}$, поэтому

$$A_{12}^{(a)} = A_{12}^{(b)}.$$

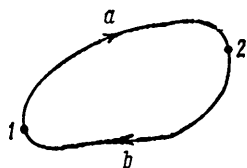


Рис. 41

Таким образом, равенство нулю работы сил поля на любом замкнутом пути есть необходимое и достаточное условие независимости работы от формы пути и может считаться отличительным признаком любого потенциального поля сил.

Поле центральных сил. Всякое силовое поле вызывается действием определенных тел. Сила, действующая на частицу A в таком поле, обусловлена взаимодействием этой частицы с данными телами. Силы, зависящие только от расстояния между взаимодействующими частицами и направленные по прямой, соединяющей эти частицы, называют *центральными*. Примером последних являются силы гравитационные, кулоновские и упругие.

Центральную силу, действующую на частицу A со стороны частицы B , можно представить в общем виде:

$$F = f(r)e_r, \quad (3.8)$$

где $f(r)$ — функция, зависящая при данном характере взаимодействия только от r — расстояния между частицами; e_r — единичный вектор, задающий направление радиуса-вектора частицы A относительно частицы B (рис. 42).

Докажем, что всякое стационарное поле центральных сил потенциально.

Для этого найдем сначала работу центральных сил в случае, когда силовое поле вызвано наличием одной неподвижной частицы B . Элементарная работа силы (3.8) на перемещении dr есть $\delta A = F dr = f(r) e_r \cdot dr$. Так как $e_r \cdot dr = dr$ — проекция вектора dr на вектор e_r , или на соответствующий радиус-вектор r (рис. 42), то $\delta A = f(r) dr$. Работа же этой силы на произвольном пути от точки 1 до точки 2.

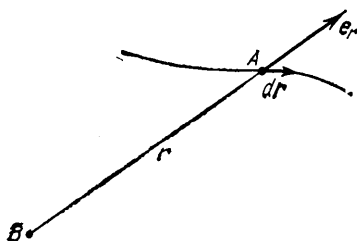


Рис. 42

$$A_{12} = \int_1^2 f(r) dr.$$

Полученное выражение зависит, очевидно, только от вида функции $f(r)$, т. е. от характера взаимодействия, и от значений r_1 и r_2 — начального и конечного расстояний между частицами A и B .

От формы пути оно никак не зависит. А это значит, что данное силовое поле потенциально.

Обобщим полученный результат на стационарное силовое поле, вызванное наличием совокупности неподвижных частиц, действующих на частицу A с силами F_1, F_2, \dots , каждая из которых является центральной. В этом случае работа результирующей силы при перемещении частицы A из одной точки в другую равна алгебраической сумме работ отдельных сил. А так как работа каждой из этих сил не зависит от формы пути, то и работа результирующей силы от нее также не зависит.

Таким образом, действительно, любое стационарное поле центральных сил потенциально.

Потенциальная энергия частицы в поле. То обстоятельство, что работа сил потенциального поля зависит только от начального и конечного положений частицы, дает возможность ввести чрезвычайно важное понятие потенциальной энергии.

Представим себе, что мы перемещаем частицу в потенциальном поле сил из разных точек P_i в фиксированную точку O . Так как работа сил поля не зависит от формы пути, то остается зависимость ее только от положения точки P (при фиксированной точке O). А это значит, что данная ра-

бота будет некоторой функцией радиуса-вектора \mathbf{r} точки P .

Обозначив эту функцию $U(\mathbf{r})$, запишем

$$A_{PO} = \int_P^O \mathbf{F} d\mathbf{r} = U(\mathbf{r}). \quad (3.9)$$

Функцию $U(\mathbf{r})$ называют *потенциальной энергией* частицы в данном поле.

Теперь найдем работу сил поля при перемещении частицы из точки 1 в точку 2 (рис. 43). Так как работа не зависит от пути, выберем путь, проходящий через точку O . Тогда работа на пути $1O2$ может быть представлена в виде

$$A_{12} = A_{1O} + A_{O2} = A_{1O} - A_{2O},$$

или с учетом (3.9)

$$A_{12} = \int_1^2 \mathbf{F} d\mathbf{r} = U_1 - U_2. \quad (3.10)$$



Рис. 43

Выражение, стоящее справа, есть *убыль** потенциальной энергии, т. е. разность значений потенциальной энергии частицы в начальной и конечной точках пути.

Таким образом, *работа сил поля на пути 1—2 равна убыли потенциальной энергии частицы в данном поле.*

Очевидно, частице, находящейся в точке O поля, всегда можно приписать любое наперед выбранное значение потенциальной энергии. Это соответствует тому обстоятельству, что путем измерения работы может быть определена лишь разность потенциальных энергий в двух точках поля, но не ее абсолютное значение. Однако как только фикси-

* Изменение какой-либо величины X можно характеризовать либо ее *приращением*, либо *убылью*. Приращением величины X называют разность конечного (X_2) и начального (X_1) значений этой величины:

$$\text{приращение } \Delta X = X_2 - X_1.$$

Убылью величины X называют разность ее начального (X_1) и конечного (X_2) значений:

$$\text{убыль } X_1 - X_2 = -\Delta X,$$

т. е. убыль величины X равна ее приращению, взятому с обратным знаком.

Приращение и убыль — величины *алгебраические*: если $X_2 > X_1$, то, приращение положительно, а убыль отрицательна, и наоборот.

рована потенциальная энергия в какой-либо точке, значения ее во всех остальных точках поля однозначно определяются формулой (3.10).

Формула (3.10) дает возможность найти выражение $U(r)$ для любого потенциального поля сил. Для этого достаточно вычислить работу, совершаемую силами поля на любом пути между двумя точками, и представить ее в виде убыли некоторой функции, которая и есть потенциальная энергия $U(r)$.

Именно так и было сделано при вычислении работы в полях упругой и гравитационной (кулоновской) сил, а также в однородном поле тяжести [см. формулы (3.3)—(3.5)]. Из этих формул сразу видно, что потенциальная энергия частицы в данных силовых полях имеет следующий вид:

1) в поле упругой силы

$$U(r) = \kappa r^2/2; \quad (3.11)$$

2) в поле точечной массы (заряда)

$$U(r) = \alpha/r; \quad (3.12)$$

где $\alpha = \begin{cases} -\gamma m_1 m_2, & \text{гравитационное взаимодействие,} \\ kq_1 q_2, & \text{кулоновское взаимодействие;} \end{cases}$

3) в однородном поле сил тяжести

$$U(z) = mgz. \quad (3.13)$$

Еще раз подчеркнем, что потенциальная энергия U — это функция, которая определяется с точностью до прибавления некоторой произвольной постоянной. Это обстоятельство, однако, совершенно несущественно, ибо во все формулы входит только разность значений U в двух положениях частицы. Поэтому произвольная постоянная, одинаковая для всех точек поля, выпадает. В связи с этим ее обычно опускают, что и сделано в трех предыдущих выражениях.

И еще одно важное обстоятельство. Потенциальную энергию следует относить не к частице, а к системе взаимодействующих между собой частицы и тел, вызывающих силовое поле. При данном характере взаимодействия потенциальная энергия взаимодействия частицы с данными телами зависит только от положения частицы относительно этих тел.

Потенциальная энергия и сила поля. Взаимодействие частицы с окружающими телами можно описывать двумя способами: с помощью сил или с помощью потенциальной

энергии. В классической механике оба способа используют одинаково широко. Однако первый способ обладает несколько большей общностью, ибо он применим и к таким силам, для которых нельзя ввести потенциальную энергию (например, к силам трения). Второй же способ применим только в случае консервативных сил.

Наша задача — установить связь между потенциальной энергией и силой поля, точнее, определить поле сил $\mathbf{F}(\mathbf{r})$ по заданной потенциальной энергии $U(\mathbf{r})$ как функции положения частицы в поле.

Мы уже знаем, что при перемещении частицы из одной точки потенциального поля в другую работа, которую производят силы поля, может быть представлена как *убыль* потенциальной энергии частицы, т. е. $A_{12} = U_1 - U_2 = -\Delta U$. Это относится и к элементарному перемещению $d\mathbf{r}$: $\delta A = -dU$, или

$$F d\mathbf{r} = -dU. \quad (3.14)$$

Имея в виду [см. формулу (3.1)], что $F d\mathbf{r} = F_s ds$, где $ds = |d\mathbf{r}|$ — элементарный путь, F_s — проекция вектора \mathbf{F} на перемещение $d\mathbf{r}$, перепишем уравнение (3.14) в форме

$$F_s ds = -dU,$$

где $-dU$ есть *убыль* потенциальной энергии *в направлении перемещения* $d\mathbf{r}$. Отсюда

$$F_s = -\partial U / \partial s, \quad (3.15)$$

т. е. проекция силы поля — вектора \mathbf{F} — в данной точке на направление перемещения $d\mathbf{r}$ равна с обратным знаком производной потенциальной энергии U по данному направлению. Символ $\partial/\partial s$ — *частной* производной — подчеркивает, что производная берется по *определённому* направлению.

Перемещение $d\mathbf{r}$ мы можем взять в любом направлении, в частности вдоль координатных осей x , y , z . Если перемещение $d\mathbf{r}$, например, параллельно оси x , то его можно представить так: $d\mathbf{r} = i dx$, где i — орт оси x , dx — приращение координаты x . Тогда работа силы \mathbf{F} на перемещении $d\mathbf{r}$, параллельном оси x ,

$$F d\mathbf{r} = F i dx = F_x dx,$$

где F_x — проекция вектора \mathbf{F} на орт i (а не на перемещение $d\mathbf{r}$, как в случае F_s).

Подставив последнее выражение в уравнение (3.14), получим

$$F_x = -\partial U/\partial x,$$

где символ частной производной означает, что $U(x, y, z)$ при дифференцировании должна рассматриваться как функция одного аргумента x , остальные же аргументы должны оставаться при этом постоянными. Ясно, что для проекций F_y и F_z уравнения будут аналогичны уравнению для F_x .

Итак, взяв с обратными знаками частные производные функции U по x , y и z , мы найдем проекции F_x , F_y и F_z вектора \mathbf{F} на орты \mathbf{i} , \mathbf{j} и \mathbf{k} . Отсюда легко найти и сам вектор: $\mathbf{F} = F_x\mathbf{i} + F_y\mathbf{j} + F_z\mathbf{k}$, или

$$\mathbf{F} = -\left(\frac{\partial U}{\partial x}\mathbf{i} + \frac{\partial U}{\partial y}\mathbf{j} + \frac{\partial U}{\partial z}\mathbf{k}\right).$$

Величину, стоящую в скобках, называют *градиентом скалярной функции U* и обозначают $\text{grad } U$ или ∇U . Мы будем пользоваться вторым, более удобным, обозначением, где ∇ («набла») означает символический вектор или оператор

$$\nabla = \mathbf{i} \frac{\partial}{\partial x} + \mathbf{j} \frac{\partial}{\partial y} + \mathbf{k} \frac{\partial}{\partial z}.$$

Поэтому ∇U формально можно рассматривать как произведение символического вектора ∇ на скаляр U .

Таким образом, связь между силой поля и потенциальной энергией как функцией координат можно представить в следующем компактном виде:

$$\boxed{\mathbf{F} = -\nabla U}, \quad (3.16)$$

т. е. сила поля \mathbf{F} равна со знаком минус градиенту потенциальной энергии частицы в данной точке поля. Можно сказать и проще: сила поля \mathbf{F} равна *антиградиенту* потенциальной энергии. Последняя формула дает возможность, зная функцию $U(\mathbf{r})$, восстановить поле сил $\mathbf{F}(\mathbf{r})$.

Пример. Потенциальная энергия частицы в некотором поле имеет вид:

а) $U(x, y) = -\alpha xy$, где α — постоянная;

б) $U(\mathbf{r}) = a\mathbf{r}$, где a — постоянный вектор, \mathbf{r} — радиус-вектор точки поля.

Найдем соответствующее каждому случаю поле сил:

а) $\mathbf{F} = -\left(\frac{\partial U}{\partial x}\mathbf{i} + \frac{\partial U}{\partial y}\mathbf{j}\right) = \alpha(y\mathbf{i} + x\mathbf{j});$

б) представим сначала функцию U в виде $U = a_x x + a_y y + a_z z$; тогда

$$\mathbf{F} = -\left(\frac{\partial U}{\partial x} \mathbf{i} + \frac{\partial U}{\partial y} \mathbf{j} + \frac{\partial U}{\partial z} \mathbf{k}\right) = -(a_x \mathbf{i} + a_y \mathbf{j} + a_z \mathbf{k}) = -\mathbf{a}.$$

Смысл градиента станет нагляднее и яснее, если ввести понятие *эквипотенциальной поверхности* — поверхности, во всех точках которой потенциальная энергия U имеет одно и то же значение. Ясно, что каждому значению U соответствует своя эквипотенциальная поверхность.

Из формулы (3.15) следует, что проекция вектора \mathbf{F} на любое направление, касательное к эквипотенциальной поверхности в данной точке, равна нулю. Это значит, что вектор \mathbf{F} нормален эквипотенциальной поверхности в данной точке. Далее, возьмем перемещение ds в сторону уменьшения U , тогда $\partial U < 0$, и, согласно (3.15), $F_s > 0$, т. е. вектор \mathbf{F} направлен в сторону уменьшения U . А так как \mathbf{F} противоположен по направлению вектору ∇U , то мы приходим к выводу, что *градиент U — это вектор, направленный по нормали к эквипотенциальной поверхности в сторону возрастания потенциальной энергии U .*

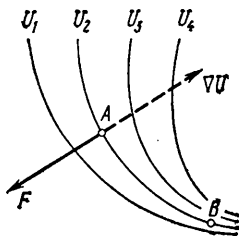


Рис. 44

Сказанное поясняет рис. 44, относящийся к двумерному случаю. На нем изображена система эквипотенциалей ($U_1 < U_2 < U_3 < U_4$), а также градиент потенциальной энергии ∇U и соответствующий вектор силы \mathbf{F} в точке A поля. Полезно подумать, какими будут векторы этих двух величин, например, в точке B данного поля.

В заключение заметим, что можно говорить о градиенте не только функции U , но и любой другой скалярной функции координат. Понятие градиента широко используется в самых различных разделах физики.

Понятие поля. Опыт показывает, что в случае гравитационных и электростатических взаимодействий сила \mathbf{F} , действующая на частицу A со стороны окружающих тел (системы B), пропорциональна массе (или заряду) частицы A . Другими словами, сила \mathbf{F} может быть представлена в виде произведения двух величин:

$$\mathbf{F} = m\mathbf{G}, \quad (3.17)$$

где m — масса (или заряд) частицы A , \mathbf{G} — некоторый вектор, зависящий как от положения частицы A , так и от свойств окружающих тел — системы B .

Это открывает возможность иной физической интерпретации взаимодействия, связанной с понятием поля. А именно: в этом случае говорят, что система B создает в окружающем пространстве *поле*, характеризуемое вектором \mathbf{G} (\mathbf{g}). Или иначе: считают, что в каждой точке пространства система B — источник поля — создает такие условия (вектор \mathbf{G}), при которых частица, помещенная в эти точки, испытывает действие силы (3.17). При этом считают, что поле (вектор \mathbf{G}) существует независимо к тому, есть ли в нем частица A или нет*.

Вектор \mathbf{G} называют *напряженностью поля*.

Одно из важнейших свойств полей заключается в том, что поле, образованное несколькими источниками, равно сумме полей, созданных каждым из них. Точнее, напряженность \mathbf{G} результирующего поля в произвольной точке

$$\mathbf{G} = \sum \mathbf{G}_i, \quad (3.18)$$

где \mathbf{G}_i — напряженность поля i -го источника в этой же точке. Эта формула выражает так называемый *принцип суперпозиции* (или наложения) полей.

Обратимся теперь к потенциальной энергии частицы. Согласно (3.17), формулу (3.14) можно записать так: $m\mathbf{G}d\mathbf{r} = -dU$. Поделив обе части на m и обозначив $U/m = \varphi$, получим

$$\mathbf{G}d\mathbf{r} = -d\varphi, \quad (3.19)$$

или

$$\int_1^2 \mathbf{G}d\mathbf{r} = \varphi_1 - \varphi_2. \quad (3.20)$$

Функцию $\varphi(\mathbf{r})$ называют *потенциалом поля* в точке с радиусом-вектором \mathbf{r} .

Формула (3.20) дает возможность найти потенциал любого гравитационного и электростатического полей. Для этого достаточно вычислить интеграл $\int \mathbf{G}d\mathbf{r}$ по произвольному пути между точками 1 и 2 и представить затем полу-

* Пока мы остаемся в рамках статики, понятие поля может рассматриваться как чисто условное (формальное), введенное лишь для удобства описания явлений. Однако при переходе к переменным полям выясняется, что понятие поля имеет глубокий физический смысл: *поле есть физическая реальность*.

ченное выражение в виде убыли некоторой функции, которая и есть потенциал $\varphi(r)$. Так, потенциалы гравитационного поля точечной массы m и кулоновского поля точечного заряда q определяются, согласно (3.12), формулами

$$\varphi_{\text{гр}} = -\gamma m/r, \quad \varphi_{\text{кул}} = kq/r. \quad (3.21)$$

Заметим, что потенциал φ , как и потенциальная энергия, может быть определен только с точностью до прибавления некоторой произвольной постоянной, также совершенно несущественной. Поэтому ее обычно опускают.

Итак, поле можно описывать или в векторном виде $\mathbf{G}(r)$, или в скалярном $\varphi(r)$. Оба способа адекватны. Практически же оказывается, что второй способ описания поля (с помощью потенциала φ) в большинстве случаев значительно удобнее, и вот почему.

1. Зная $\varphi(r)$, можно немедленно вычислить потенциальную энергию U и работу сил поля A :

$$U = m\varphi, \quad A_{12} = m(\varphi_1 - \varphi_2). \quad (3.22)$$

2. Вместо трех компонент векторной функции $\mathbf{G}(r)$ проще задавать скалярную функцию $\varphi(r)$.

3. Когда поле создается многими источниками, потенциал φ рассчитывать легче, чем вектор \mathbf{G} : потенциалы — скаляры, их можно просто складывать, не заботясь о направлении сил. Действительно, согласно (3.18) и (3.19), $\mathbf{G}dr = \sum (\mathbf{G}_i dr) = -\sum d\varphi_i = -d\sum\varphi_i = -d\varphi$, т. е.

$$\varphi(r) = \sum\varphi_i(r), \quad (3.23)$$

где φ_i — потенциал, создаваемый i -й частицей в данной точке поля.

4. И наконец, зная функцию $\varphi(r)$, можно легко восстановить поле $\mathbf{G}(r)$ — как антиградиент потенциала φ :

$$\mathbf{G} = -\nabla\varphi. \quad (3.24)$$

Эта формула непосредственно следует из (3.16).

В заключение рассмотрим пример нахождение потенциала поля центробежных сил инерции.

Пример. Найдем напряженность \mathbf{G} и потенциал $\varphi_{\text{цб}}$ поля центробежных сил инерции в системе отсчета, вращающейся вокруг неподвижной оси с постоянной угловой скоростью ω .

Напряженность $\mathbf{G} = \mathbf{F}_{\text{цб}}/m = \omega^2\rho$, где ρ — радиус-вектор точки поля относительно оси вращения.

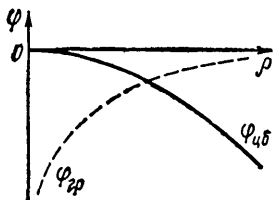


Рис. 45

Теперь, согласно (3.20), найдем интеграл от G по пути от точки 1 до точки 2:

$$\int_1^2 G dr = \omega^2 \int_1^2 \rho dr = \omega^2 \int_1^2 \rho d\rho = \\ = \omega^2 (\rho_2^2 - \rho_1^2) / 2.$$

Видно, что этот интеграл от формы пути между точками 1 и 2 не зависит, а зависит только от положения данных точек. Это означает, что рассматриваемое поле сил является потенциальным.

Из сравнения полученного результата с (3.20) следует, что

$$\Phi_{цб} = -\omega^2 \rho^2 / 2. \quad (3.25)$$

На рис. 45 показан график зависимости $\Phi_{цб}$ от расстояния ρ до оси вращения. Здесь же для сравнения показан и график потенциала $\Phi_{гр}(\rho)$ гравитационного поля точечной массы, находящейся в точке $\rho = 0$.

§ 3.4. Механическая энергия частицы в поле

Кинетическая энергия. Пусть частица массы m движется под действием некоторой силы F (в общем случае сила F может быть результирующей нескольких сил). Найдем элементарную работу, которую совершает эта сила на элементарном перемещении dr . Имея в виду, что $F = m dv/dt$ и $dr = v dt$, запишем

$$\delta A = F dr = m v dv.$$

Скалярное произведение $v dv = v (dv)_v$, где $(dv)_v$ — проекция вектора dv на направление вектора v . Эта проекция равна dv — приращению модуля вектора скорости. Поэтому $v dv = v dv$ и элементарная работа

$$\delta A = m v dv = d(mv^2/2).$$

Отсюда видно, что работа результирующей силы F идет на приращение некоторой величины (стоящей в скобках), которую называют *кинетической энергией*:

$$\boxed{T = mv^2/2.} \quad (3.26)$$

Таким образом, приращение кинетической энергии частицы при элементарном перемещении равно

$$dT = \delta A, \quad (3.27)$$

а при конечном перемещении из точки 1 в точку 2

$$\boxed{T_2 - T_1 = A_{12}} \quad (3.28)$$

т. е. приращение кинетической энергии частицы на некотором перемещении равно алгебраической сумме работ всех сил, действующих на частицу на том же перемещении. Если $A_{12} > 0$, то $T_2 > T_1$, т. е. кинетическая энергия частицы увеличивается; если же $A_{12} < 0$, то кинетическая энергия уменьшается.

Уравнение (3.27) можно представить и в другой форме, поделив обе части его на соответствующий промежуток времени dt :

$$\boxed{dT/dt = Fv = N} \quad (3.29)$$

Это значит, что производная кинетической энергии частицы по времени равна мощности N результирующей силы F , действующей на частицу.

Уравнения (3.28) и (3.29) справедливы в инерциальных и неинерциальных системах отсчета. В последних кроме сил, действующих на рассматриваемую частицу со стороны каких-то тел (сил взаимодействия), необходимо учитывать и силы инерции. Поэтому под работой (мощностью) в этих уравнениях надо понимать алгебраическую сумму работ (мощностей) как сил взаимодействия, так и сил инерции.

Полная механическая энергия частицы. Согласно (3.27), приращение кинетической энергии частицы равно элементарной работе результирующей F всех сил, действующих на частицу. Что это за силы? Если частица находится в интересующем нас потенциальном поле, то на нее действует консервативная сила F_K со стороны этого потенциального поля. Кроме того, на частицу могут действовать и другие силы, имеющие иное происхождение. Назовем их *сторонними силами* $F_{ст}$.

Таким образом, результирующая F всех сил, действующих на частицу, может быть представлена в виде $F = F_K + F_{ст}$. Работа всех этих сил идет на приращение кинетической энергии частицы:

$$dT = \delta A_K + \delta A_{ст}$$

Согласно (3.14), работа сил поля равна убыли потенциальной энергии частицы, т. е. $\delta A_K = -dU$. Подставив это

выражение в предыдущее и перенеся член dU влево, получим

$$dT + dU = d(T + U) = \delta A_{\text{ст}}.$$

Отсюда видно, что работа сторонних сил идет на приращение величины $T + U$. Эту величину — сумму кинетической и потенциальной энергии — называют *полной механической энергией частицы в поле*:

$$\boxed{E = T + U.} \quad (3.30)$$

Заметим, что полная механическая энергия E , как и потенциальная, определяется с точностью до прибавления несущественной произвольной постоянной.

Итак, приращение полной механической энергии частицы на элементарном перемещении равно

$$dE = \delta A_{\text{ст}} \quad (3.31)$$

и на конечном перемещении из точки 1 в точку 2

$$\boxed{E_2 - E_1 = A_{\text{ст}},} \quad (3.32)$$

т. е. *приращение полной механической энергии частицы на некотором пути равно алгебраической сумме работ всех сторонних сил, действующих на частицу на том же пути*. Если $A_{\text{ст}} > 0$, то полная механическая энергия частицы увеличивается, если же $A_{\text{ст}} < 0$, то уменьшается.

Пример. С обрыва высотой h над поверхностью озера бросили тело массы m со скоростью v_0 . Найти работу, которую совершили силы сопротивления со стороны воздуха, если тело упало на поверхность воды со скоростью v .

Если рассматривать движение тела в поле тяжести Земли, то сила сопротивления со стороны воздуха будет сторонней и, согласно уравнению (3.32), искомая работа $A_{\text{сопр}} = E_2 - E_1 = mv^2/2 - (mv_0^2/2 + mgh)$, или

$$A_{\text{сопр}} = m(v^2 - v_0^2)/2 - mgh.$$

Полученная величина может оказаться не только отрицательной, но и положительной (это зависит, например, от характера ветра в процессе падения тела).

Уравнение (3.31) можно представить и в иной форме, если поделить обе части его на соответствующий промежуток времени dt . Тогда

$$\boxed{dE/dt = F_{\text{ст}}v.} \quad (3.33)$$

Это значит, что производная полной механической энергии

частицы по времени равна мощности результирующей всех сторонних сил, действующих на частицу.

Итак, мы установили, что полная механическая энергия частицы может измениться под действием только сторонних сил. Отсюда непосредственно вытекает закон сохранения полной механической энергии частицы во внешнем поле:

если сторонние силы отсутствуют или таковы, что алгебраическая сумма их мощностей равна нулю в течение интересующего нас времени, то полная механическая энергия частицы остается постоянной за это время. Иначе говоря,

$$E = T + U = \text{const},$$

или

$$\boxed{mv^2/2 + U(r) = \text{const.}} \quad (3.34)$$

Уже в такой простейшей форме данный закон сохранения позволяет достаточно легко получать ответы на ряд важных вопросов без привлечения уравнений движения, что, как мы знаем, часто сопряжено с проведением громоздких и утомительных расчетов. Именно это обстоятельство и превращает законы сохранения в весьма действенный инструмент исследования.

Проиллюстрируем возможности и преимущества, которые дает применение закона сохранения (3.34), на следующем примере.

Пример. Пусть частица движется в одномерном потенциальном поле $U(x)$, показанном на рис. 46. Если сторонние силы отсутствуют, то полная механическая энергия частицы в данном поле, т. е. E , не меняется в процессе движения, и мы можем просто решить, например, такие вопросы, как:

1. Определить, не решая основного уравнения динамики, $v(x)$ — скорость частицы в зависимости от ее координаты. Для этого достаточно знать, согласно уравнению (3.34), конкретный вид *потенциальной кривой* $U(x)$ и значение полной энергии E (правая часть данного уравнения).

2. Установить область изменения координаты x частицы, в которой она может находиться при заданном значении полной энергии E . Ясно, что в область, где $U > E$, частица попасть не может, поскольку потенциальная энергия U частицы не может превышать ее полную энергию. Отсюда сразу следует, что при $E = E_1$ (рис. 46) частица может двигаться в области между координ-

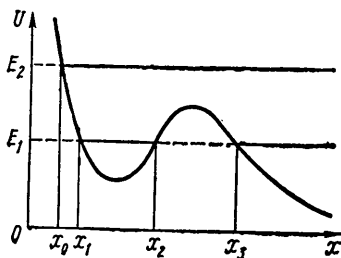


Рис. 46

натами x_1 и x_2 (совершает колебания) или правее координаты x_3 . Перейти же из первой области во вторую (или обратно) частица не может: этому препятствует *потенциальный барьер*, разделяющий обе эти области. Заметим, что когда частица движется в ограниченной области поля, говорят, что она заперта в *потенциальной яме* (в нашем случае — между x_1 и x_2).

Иначе ведет себя частица при $E = E_2$ (рис., 46): для нее доступна вся область правее x_0 . Если в начальный момент частица находилась в точке x_0 , то в дальнейшем она будет двигаться вправо. Полезно самостоятельно проследить, как будет меняться при этом кинетическая энергия частицы в зависимости от ее положения x .

§ 3.5. Закон сохранения энергии системы

До сих пор мы ограничивались рассмотрением поведения *одной* частицы с энергетической точки зрения. Теперь перейдем к *системе частиц*. Это может быть любое тело, газ, любой механизм, Солнечная система и т. д.

В общем случае частицы системы могут взаимодействовать как между собой, так и с телами, не входящими в данную систему. Систему частиц, на которую не действуют никакие посторонние тела (или их воздействие пренебрежимо мало), называют *замкнутой* (или *изолированной*). Понятие замкнутой системы является естественным обобщением понятия изолированной материальной точки и играет важную роль в физике.

Потенциальная энергия системы. Рассмотрим замкнутую систему, между частицами которой действуют только центральные силы, т. е. силы, зависящие при данном характере взаимодействия только от расстояния между частицами и направленные по прямой, их соединяющей.

Покажем, что в любой системе отсчета работа всех этих сил при переходе системы частиц из одного положения в другое может быть представлена как убыль некоторой функции, зависящей при данном характере взаимодействия только от конфигурации самой системы или от относительного расположения ее частиц. Эту функцию назовем *собственной* потенциальной энергией системы (в отличие от потенциальной энергии, характеризующей взаимодействие данной системы с другими телами).

Сначала возьмем систему из двух частиц. Вычислим элементарную работу сил, с которыми эти частицы взаимодействуют между собой. Пусть в произвольной системе отсчета в некоторый момент времени положение частиц определяется радиусами-векторами r_1 и r_2 . Если за время dt частицы совершили перемещения dr_1 и dr_2 соот-

ветственно, то работа сил взаимодействия F_{12} и F_{21} равна

$$\delta A_{1,2} = F_{12} dr_1 + F_{21} dr_2.$$

Теперь учтем, что, согласно третьему закону Ньютона, $F_{21} = -F_{12}$, поэтому предыдущее выражение можно переписать так:

$$\delta A_{1,2} = F_{12} (dr_1 - dr_2).$$

Введем вектор $r_{12} = r_1 - r_2$, характеризующий положение 1-й частицы относительно 2-й. Тогда $dr_{12} = dr_1 - dr_2$ и после подстановки в выражение для работы получим

$$\delta A_{1,2} = F_{12} dr_{12}.$$

Сила F_{12} — центральная, поэтому работа этой силы равна убыли потенциальной энергии взаимодействия данной пары частиц, т. е.

$$\delta A_{1,2} = -dU_{12}.$$

Так как функция U_{12} зависит только от расстояния r_{12} между частицами, то ясно, что работа $\delta A_{1,2}$ не зависит от выбора системы отсчета.

Теперь обратимся к системе из трех частиц (полученный в этом случае результат легко обобщить и на систему из произвольного числа частиц). Элементарная работа, которую совершают все силы взаимодействия при элементарном перемещении всех частиц, может быть представлена как сумма элементарных работ всех трех пар взаимодействий, т. е. $\delta A = \delta A_{1,2} + \delta A_{1,3} + \delta A_{2,3}$. Но для каждой пары взаимодействий, как было показано, $\delta A_{i,k} = -dU_{ik}$, поэтому

$$\delta A = -d(U_{12} + U_{13} + U_{23}) = -dU,$$

где функция U есть *собственная потенциальная энергия* данной системы частиц:

$$U = U_{12} + U_{13} + U_{23}.$$

Так как каждое слагаемое этой суммы зависит от расстояния между соответствующими частицами, то очевидно, что собственная потенциальная энергия U данной системы зависит от относительного расположения частиц (в один и тот же момент), или, другими словами, от конфигурации системы.

Ясно, что подобные рассуждения справедливы и для системы из любого числа частиц. Поэтому можно утверждать

что каждой конфигурации произвольной системы частиц присуща своя собственная потенциальная энергия U , и работа всех внутренних центральных сил при изменении этой конфигурации равна убыли собственной потенциальной энергии системы, т. е.

$$\delta A = -dU, \quad (3.35)$$

а при конечном перемещении всех частиц системы

$$A = U_1 - U_2, \quad (3.36)$$

где U_1 и U_2 — значения потенциальной энергии системы в начальном и конечном состояниях.

Собственная потенциальная энергия системы U — величина *неаддитивная*, т. е. она не равна в общем случае сумме собственных потенциальных энергий ее частей. Необходимо учесть еще потенциальную энергию взаимодействия $U_{вз}$ отдельных частей системы:

$$U = \sum U_n + U_{вз}, \quad (3.37)$$

где U_n — собственная потенциальная энергия n -й части системы.

Следует также иметь в виду, что собственная потенциальная энергия системы, как и потенциальная энергия взаимодействия каждой пары частиц, определяется с точностью до прибавления произвольной постоянной, которая, впрочем, и здесь совершенно несущественна.

В заключение приведем полезные формулы для расчета собственной потенциальной энергии системы. Прежде всего покажем, что эта энергия может быть представлена как

$$U = \frac{1}{2} \sum U_i, \quad (3.38)$$

где U_i — потенциальная энергия взаимодействия i -й частицы со всеми остальными частицами системы. Здесь сумма берется по всем частицам системы.

Убедимся в справедливости этой формулы сначала для системы из трех частиц. Выше было показано, что собственная потенциальная энергия данной системы $U = U_{12} + U_{13} + U_{23}$. Преобразуем эту сумму следующим образом. Представим каждое слагаемое U_{ik} в симметричном виде: $U_{ik} = (U_{ik} + U_{ki})/2$, ибо ясно, что $U_{ik} = U_{ki}$. Тогда

$$U = \frac{1}{2} (U_{12} + U_{21} + U_{13} + U_{31} + U_{23} + U_{32}).$$

Сгруппируем члены с одинаковым первым индексом:

$$U = 1/2 [(U_{12} + U_{13}) + (U_{21} + U_{23}) + (U_{31} + U_{32})].$$

Каждая сумма в круглых скобках представляет собой потенциальную энергию U_i взаимодействия i -й частицы с остальными двумя. Поэтому последнее выражение можно переписать так:

$$U = 1/2 (U_1 + U_2 + U_3) = 1/2 \sum_{i=1}^3 U_i,$$

что полностью соответствует формуле (3.38).

Обобщение полученного результата на произвольную систему очевидно, ибо ясно, что подобные рассуждения совершенно не зависят от числа частиц, составляющих систему.

Для системы, взаимодействие между частицами которой носит гравитационный или кулоновский характер, формулу (3.38) можно преобразовать и к другому виду, воспользовавшись понятием потенциала. Заменим в (3.38) потенциальную энергию i -й частицы выражением $U_i = m_i \varphi_i$, где m_i — масса (заряд) i -й частицы, а φ_i — потенциал, создаваемый всеми остальными частицами системы в точке нахождения i -й частицы. Тогда

$$U = 1/2 \sum m_i \varphi_i. \quad (3.39)$$

Если массы (заряды) распределены в системе непрерывно, то суммирование сводится к интегрированию:

$$U = 1/2 \int \varphi dm = 1/2 \int \varphi \rho dV, \quad (3.40)$$

где ρ — объемная плотность массы (заряда), dV — элемент объема. Здесь интегрирование проводится по всему объему, занимаемому массами (зарядами).

В качестве примера на применение последней формулы может служить задача 3.11, в которой проводится расчет собственной потенциальной энергии гравитационного взаимодействия масс, распределенных по сфере и объему шара.

Кинетическая энергия системы. Рассмотрим в некоторой системе отсчета произвольную систему частиц. Пусть i -я частица системы имеет в данный момент кинетическую энергию T_i . Приращение кинетической энергии каждой частицы равно, согласно (3.26), работе всех сил, действующих на эту частицу: $dT_i = \delta A_i$. Найдем элементарную

работу, которую совершают все силы, действующие на все частицы системы:

$$\delta A = \sum \delta A_i = \sum dT_i = d\sum T_i = dT,$$

где $T = \sum T_i$ — суммарная кинетическая энергия системы. Заметим, что кинетическая энергия системы — величина *аддитивная*: она равна сумме кинетических энергий отдельных частей системы независимо от того, взаимодействуют они между собой или нет.

Итак, *приращение кинетической энергии системы равно работе, которую совершают все силы, действующие на все частицы системы*. При элементарном перемещении всех частиц

$$dT = \delta A, \quad (3.41)$$

а при конечном перемещении

$$\boxed{T_2 - T_1 = A.} \quad (3.42)$$

Уравнение (3.41) можно представить и в другой форме, поделив обе части его на соответствующий промежуток времени dt . Имея при этом в виду, что $\delta A_i = F_i v_i dt$, получим

$$\boxed{dT/dt = \sum F_i v_i,} \quad (3.43)$$

т. е. *производная кинетической энергии системы по времени равна суммарной мощности всех сил, действующих на все частицы системы*.

Уравнения (3.41)—(3.43) справедливы как в инерциальных, так и в неинерциальных системах отсчета. Следует только понимать, что в неинерциальных системах кроме работы сил взаимодействия необходимо учитывать и работу сил инерции.

Классификация сил. Известно, что частицы рассматриваемой системы могут взаимодействовать как между собой, так и с телами, не входящими в данную систему. В соответствии с этим силы взаимодействия между частицами системы называют *внутренними*, а силы, обусловленные действием других тел, не входящих в данную систему, — *внешними*. В неинерциальной системе отсчета к последним относят и силы инерции.

Кроме того, все силы делят на *потенциальные* и *непотенциальные*. Потенциальными называют силы, зависящие при данном характере взаимодействия только от кон-

фигурации механической системы. Работа этих сил, как было показано, равна убыли потенциальной энергии системы.

К непотенциальным силам относятся так называемые *диссипативные* силы — это силы трения и сопротивления. Важной особенностью данных сил является то, что суммарная работа *внутренних* диссипативных сил рассматриваемой системы отрицательна, причем в любой системе отсчета. Докажем это.

Любая диссипативная сила может быть представлена в виде

$$\mathbf{F} = -k(v)\mathbf{v}, \quad (3.44)$$

где \mathbf{v} — скорость данного тела относительно другого тела (или среды), с которым оно взаимодействует; $k(v)$ — положительный коэффициент, зависящий в общем случае от скорости v . Сила \mathbf{F} всегда направлена противоположно вектору \mathbf{v} . В зависимости от выбора системы отсчета работа этой силы может быть как положительной, так и отрицательной. *Суммарная же работа всех внутренних диссипативных сил — величина всегда отрицательная.*

Переходя к доказательству этого, отметим прежде всего, что внутренние диссипативные силы в данной системе будут встречаться попарно, причем в каждой паре, согласно третьему закону Ньютона, они одинаковы по модулю и противоположны по направлению. Найдем элементарную работу произвольной пары диссипативных сил взаимодействия между телами 1 и 2 в системе отсчета, где скорости этих тел в данный момент равны \mathbf{v}_1 и \mathbf{v}_2 :

$$\delta A^{\text{дис}} = \mathbf{F}_{12}\mathbf{v}_1 dt + \mathbf{F}_{21}\mathbf{v}_2 dt.$$

Теперь учтем, что $\mathbf{F}_{21} = -\mathbf{F}_{12}$, $\mathbf{v}_1 - \mathbf{v}_2 = \mathbf{v}$ — скорость тела 1 относительно тела 2, а также то, что $\mathbf{F}_{12} = -k(v)\mathbf{v}$. Тогда выражение для работы преобразуется так:

$$\begin{aligned} \delta A^{\text{дис}} &= \mathbf{F}_{12}(\mathbf{v}_1 - \mathbf{v}_2) dt = -k(v)\mathbf{v}v dt = \\ &= -k(v)v^2 dt. \end{aligned}$$

Отсюда видно, что работа произвольной пары внутренних диссипативных сил взаимодействия всегда отрицательна, а значит и суммарная работа всех пар внутренних диссипативных сил также всегда отрицательна. Таким образом, действительно,

$$\boxed{A_{\text{внутр}}^{\text{дис}} < 0.} \quad (3.45)$$

Закон сохранения энергии. Выше было показано, что приращение кинетической энергии системы равно работе, которую совершают *все* силы, действующие на *все* частицы системы. Разделив эти силы на внешние и внутренние, а внутренние, в свою очередь, — на потенциальные и диссипативные, запишем предыдущее утверждение так:

$$dT = \delta A_{\text{внеш}} + \delta A_{\text{внутр}} = \delta A_{\text{внеш}} + \delta A_{\text{внутр}}^{\text{пот}} + \delta A_{\text{внутр}}^{\text{дис}}.$$

Теперь учтем, что работа внутренних потенциальных сил равна убыли собственной потенциальной энергии системы, т. е. $\delta A_{\text{внутр}}^{\text{пот}} = -dU$. Тогда предыдущее выражение примет вид

$$dT + dU = \delta A_{\text{внеш}} + \delta A_{\text{внутр}}^{\text{дис}}. \quad (3.46)$$

Введем понятие *полной механической энергии системы*, или, короче, *механической энергии*, как сумму кинетической и потенциальной энергии системы:

$$\boxed{E = T + U.} \quad (3.47)$$

Очевидно, энергия E зависит от скоростей частицы системы, характера взаимодействия между ними и конфигурации системы. Кроме того, энергия E , как и потенциальная энергия U , определяется с точностью до прибавления несущественной произвольной постоянной и является величиной *неаддитивной*, т. е. энергия E системы не равна в общем случае сумме энергий ее отдельных частей. В соответствии с (3.37)

$$E = \sum E_n + U_{\text{вз}}, \quad (3.48)$$

где E_n — механическая энергия n -й части системы, $U_{\text{вз}}$ — потенциальная энергия взаимодействия ее отдельных частей.

Вернемся к формуле (3.46). Перепишем ее с учетом (3.47) в виде

$$dE = \delta A_{\text{внеш}} + \delta A_{\text{внутр}}^{\text{дис}}. \quad (3.49)$$

Это выражение справедливо при бесконечно малом изменении конфигурации системы. При конечном же изменении

$$\boxed{E_2 - E_1 = A_{\text{внеш}} + A_{\text{внутр}}^{\text{дис}},} \quad (3.50)$$

т. е. *приращение механической энергии системы равно алгебраической сумме работ всех внешних сил и всех внутренних диссипативных сил.*

Уравнение (3.49) можно представить и в другой форме, поделив обе части его на соответствующий промежуток времени dt . Тогда

$$\boxed{dE/dt = N_{\text{внеш}} + N_{\text{внутр}}^{\text{дис}}}, \quad (3.51)$$

т. е. производная механической энергии системы по времени равна алгебраической сумме мощностей всех внешних сил и всех внутренних диссипативных сил.

Уравнения (3.49) — (3.51) справедливы как в инерциальной, так и в неинерциальной системах отсчета. Следует только иметь в виду, что в неинерциальной системе отсчета необходимо учитывать работу (мощность) и сил инерции, играющих роль внешних сил, т. е. под $A_{\text{внеш}}$ надо понимать алгебраическую сумму работ внешних сил взаимодействия $A_{\text{внеш}}^{\text{вз}}$ и работу сил инерции $A_{\text{ин}}$. Чтобы подчеркнуть это обстоятельство, перепишем уравнение (3.50) в виде

$$E_2 - E_1 = A_{\text{ин}} + A_{\text{внеш}}^{\text{вз}} + A_{\text{внутр}}^{\text{дис}}. \quad (3.52)$$

Итак, мы пришли к важному результату: механическая энергия системы может изменяться под действием как внешних сил, так и внутренних диссипативных сил (точнее говоря, под действием алгебраической суммы работ всех этих сил). Отсюда непосредственно вытекает и другой важный вывод — закон сохранения механической энергии:

в инерциальной системе отсчета механическая энергия замкнутой системы частиц, в которой нет диссипативных сил, сохраняется в процессе движения, т. е.

$$\boxed{E = T + U = \text{const.}} \quad (3.53)$$

Такую систему называют консервативной*. Заметим, что при движении замкнутой консервативной системы сохраняется именно полная механическая энергия, кинетическая же и потенциальная в общем случае изменяются. Однако эти изменения происходят всегда так, что приращение одной из них в точности равно убыли другой, т. е. $\Delta T = -\Delta U$. Ясно, что это положение справедливо только в инерциальных системах отсчета.

Далее, из уравнения (3.50) следует, что если замкнутая система неконсервативна, т. е. в ней имеются диссипатив-

* С достаточно хорошим приближением замкнутой консервативной системой можно считать Солнечную систему.

ные силы, то механическая энергия такой системы, согласно (3.45), убывает:

$$E_2 - E_1 = A_{\text{внутр}}^{\text{дис}} < 0. \quad (3.54)$$

Можно сказать: уменьшение механической энергии обусловлено тем, что она расходуется на работу против диссипативных сил, действующих в системе. Однако такое объяснение является формальным, поскольку оно не раскрывает физической природы диссипативных сил.

Более глубокое осмысливание этого вопроса привело к фундаментальному выводу о существовании в природе универсального закона сохранения энергии:

энергия никогда не создается и не уничтожается, она может только переходить из одной формы в другую или обмениваться между отдельными частями материи. При этом понятие энергии пришлось расширить введением новых форм ее (помимо механической) — энергия электромагнитного поля, химическая энергия, ядерная и др.

Универсальный закон сохранения энергии охватывает, таким образом, и те физические явления, на которые законы Ньютона не распространяются. Поэтому он не может быть выведен из этих законов, а должен рассматриваться как самостоятельный закон, представляющий собой одно из наиболее широких обобщений опытных фактов.

Возвращаясь к уравнению (3.54), можно сказать: при уменьшении механической энергии замкнутой системы всегда возникает эквивалентное количество энергии других видов, не связанных с *видимым* движением. В этом смысле уравнения (3.49) — (3.51) можно рассматривать как более общую формулировку закона сохранения энергии, в которой указана *причина* изменения механической энергии у незамкнутой системы.

В частности, механическая энергия может сохраняться у незамкнутых систем, но это происходит лишь в тех случаях, когда, согласно уравнению (3.50), уменьшение этой энергии за счет работы против внутренних диссипативных сил компенсируется поступлением энергии за счет работы внешних сил.

В заключение отметим, что при решении большинства задач закон сохранения энергии применяют обычно совместно с законом сохранения или импульса, или момента импульса, или с тем и другим одновременно. Как это делается, будет показано в следующих двух главах.

Задачи к главе 3

●3.1. Камень массы m бросили с поверхности Земли под углом α к горизонту с начальной скоростью v_0 . Пренебрегая сопротивлением воздуха, найти мощность силы тяжести через t секунд после начала движения, а также работу этой силы за первые t секунд движения.

Решение. Скорость камня через t секунд после начала движения $v = v_0 + gt$. Мощность, развиваемая силой тяжести mg в этот момент,

$$N = mgv = m(gv_0 + g^2t).$$

В нашем случае $gv_0 = gv_0 \cos(\pi/2 + \alpha) = -gv_0 \sin \alpha$, поэтому

$$N = mg(gt - v_0 \sin \alpha).$$

Отсюда видно, что при $t < t_0 = v_0 \sin \alpha / g$ мощность $N < 0$, а при $t > t_0$ $N > 0$.

Работа, совершаемая силой тяжести за первые t секунд,

$$A = \int_0^t N dt = mg(gt^2/2 - v_0 \sin \alpha \cdot t).$$

Графики зависимостей $N(t)$ и $A(t)$ показаны на рис. 47.

●3.2. Имеются два стационарных силовых поля:

1) $F = ayi$;

2) $F = axi + byj$,

где i, j — орты осей x и y ; a и b — постоянные. Потенциальны ли эти силовые поля?

Решение. Найдем работу силы каждого поля на пути от некоторой точки 1 (x_1, y_1) до некоторой точки 2 (x_2, y_2):

1) $\delta A = F dr = ayi dr = ay dx$; $A = a \int_{x_1}^{x_2} y dx$;

2) $\delta A = F dr = (axi + byj) dr = ax dx + by dy$; $A = a \int_{x_1}^{x_2} x dx +$

$$+ b \int_{y_1}^{y_2} y dy.$$

В первом случае интеграл зависит от вида функции $y(x)$, т. е. от формы пути, поэтому первое силовое поле непотенциально. Во втором случае оба интеграла не зависят от формы пути: они зависят только от координат начальной и конечной точек пути, следовательно, второе силовое поле потенциально.

●3.3. Сила, действующая на частицу в некотором потенциальном поле, задана уравнением

$$F = a(yi + xj),$$

где a — постоянная, i и j — орты осей x и y соответственно. Найти потенциальную энергию $U(x, y)$ частицы в этом поле.

Решение. Вычислим работу силы F на пути от точки O (рис. 48) до произвольной точки $P(x, y)$. Воспользовавшись тем, что эта работа не должна зависеть от формы пути, выберем в качестве

ве последнего пути OMP , состоящий из двух прямолинейных отрезков. Тогда

$$A_{OP} = \int_0^M F dr + \int_M^P F dr.$$

Первый интеграл равен нулю, ибо во всех точках пути OM $y \equiv 0$ и $F \perp dr$. На пути же MP $x = \text{const}$, $F dr = F_j dy = F_y dy = ax dy$ и поэтому

$$A_{OP} = 0 + ax \int_M^P dy = ax y.$$

Эта работа, согласно (3.10), должна быть равна убыли потенциальной энергии, т. е. $A_{OP} = U_0 - U_P$. Положив $U_0 = 0$, получим $U_P = -A_{OP}$, или

$$U(x, y) = -axy.$$

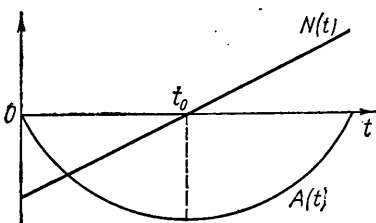


Рис. 47

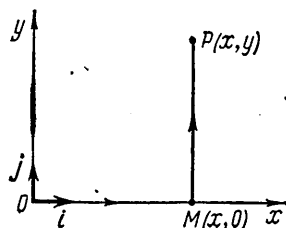


Рис. 48

Другой способ нахождения $U(x, y)$ — через полный дифференциал этой функции:

$$dU = (\partial U/\partial x)dx + (\partial U/\partial y)dy.$$

Учитывая, что $\partial U/\partial x = -F_x = -ay$ и $\partial U/\partial y = -F_y = -ax$, получим

$$dU = -a(ydx + xdy) = d(-axy).$$

Отсюда $U(x, y) = -axy$.

●3.4. Шарик массы m подвесили на упругой невесомой нити, коэффициент жесткости которой κ . Затем шарик подняли так, чтобы нить оказалась в недеформированном состоянии, и отпустили без начальной скорости. Найти максимальное удлинение нити x_m в процессе движения шарика.

Решение. Рассмотрим несколько способов решения, основанных на энергетических соображениях.

1. Исходим из уравнения (3.28): приращение кинетической энергии шарика равно алгебраической сумме работ всех сил, действующих на него. В нашем случае это сила тяжести mg и сила упругости со стороны нити $F_{\text{упр}} = \kappa x$ (рис. 49, а). В начальном и конечном положениях шарика его кинетическая энергия равна нулю

(ясно, что при максимальном растяжении нити шарик остановится), поэтому, согласно (3.28), сумма работ $A_{\text{тяж}} + A_{\text{упр}} = 0$ или

$$mgx_m + \int_0^{x_m} (-\kappa x) dx = mgx_m - \kappa x_m^2/2 = 0.$$

Отсюда $x_m = 2mg/\kappa$.

2. Можно рассматривать шарик в поле тяжести Земли. При таком подходе следует говорить о полной механической энергии шарика в поле тяжести Земли. Приращение этой энергии, согласно уравнению (3.32), равно работе сторонних сил. В данном случае сторонней силой надо считать силу упругости, а приращение пол-

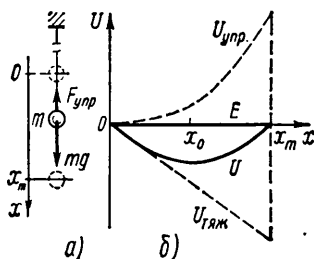


Рис. 49

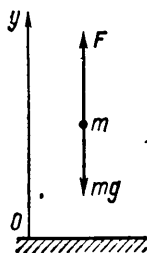


Рис. 50

ной механической энергии шарика равно приращению только его потенциальной энергии в поле тяжести Земли. Поэтому

$$0 - mgx_m = \int_0^{x_m} (-\kappa x) dx = -\kappa x_m^2/2.$$

Отсюда получается тот же результат для x_m .

Заметим, что можно было бы поступить и наоборот, т. е. рассматривать шарик в поле упругой силы, тогда роль сторонней силы играла бы сила тяжести. Полезно убедиться, что и в этом случае результат будет тем же.

3. И наконец, можно рассматривать шарик в поле, образованном совместным действием и силы тяжести, и упругой силы. Тогда сторонние силы отсутствуют и полная механическая энергия шарика в таком поле остается постоянной в процессе движения, т. е. $\Delta E = \Delta T + \Delta U = 0$. При переходе шарика из начального положения в конечное (нижнее) $\Delta T = 0$, а следовательно, и $\Delta U = \Delta U_{\text{тяж}} + \Delta U_{\text{упр}} = 0$, или

$$-mgx_m + \kappa x_m^2/2 = 0.$$

Результат опять тот же.

На рис. 49, б показаны графики зависимостей $U_{\text{тяж}}(x)$ и $U_{\text{упр}}(x)$, начало отсчета которых взято в точке $x = 0$ (что, конечно, не обязательно). На этом же рисунке показан и график зависимости суммарной потенциальной энергии $U(x) = U_{\text{тяж}} + U_{\text{упр}}$. При указанном выборе начала отсчета потенциальной энергии полная механическая энергия шарика $E = 0$.

● 3.5. Тело массы m поднимается без начальной скорости с поверхности Земли под действием двух сил (рис. 50): силы F , меняющейся с высотой подъема y по закону $F = -2mg(1 - ay)$, где a — положительная постоянная, и силы тяжести mg . Найти работу силы F на первой половине пути подъема и соответствующее приращение потенциальной энергии тела в поле тяжести Земли. Поле тяжести считать однородным.

Решение. Найдем сначала весь путь подъема. В начале и конце пути скорость тела равна нулю, поэтому равно нулю и приращение кинетической энергии тела. С другой стороны, согласно (3.28), ΔT равно алгебраической сумме работ A всех сил на этом пути, т. е. работ силы F и силы тяжести. А так как $\Delta T = 0$, то, значит, и $A = 0$. Учитывая, что положительное направление оси y взято вверх, запишем

$$A = \int_0^h (F + mg)dy = \int_0^h (F_y - mg)dy = \\ = mg \int_0^h (1 - 2ay)dy = mgh(1 - ah) = 0.$$

Отсюда $h = 1/a$.

Работа силы F на первой половине пути подъема

$$A_F = \int_0^{h/2} F_y dy = 2mg \int_0^{h/2} (1 - ay)dy = 3mgh/4a.$$

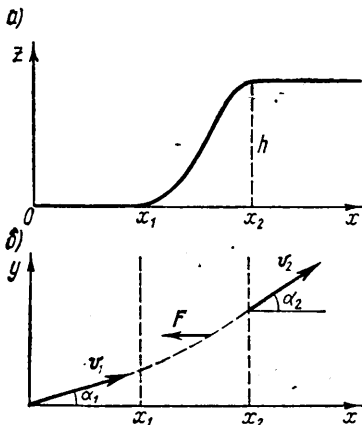


Рис. 51

Соответствующее приращение потенциальной энергии

$$\Delta U = mgh/2 = mg/2a.$$

● 3.6. Шайба без трения скользит в горку высотой h , профиль которой зависит только от координаты x (рис. 51, а). Внизу шайба имеет скорость v_1 , направление которой составляет угол α_1 с осью x (рис. 51, б, где показан вид сверху). Найти направление движения шайбы после того, как она поднимется на горку, т. е. найти угол α_2 .

Решение. Прежде всего отметим, что с помощью основного уравнения динамики эту задачу решить вообще невозможно, ибо не задан за-

кон силы F , действующей на шайбу в области $x_1 < x < x_2$. Об этой силе известно только одно: она перпендикулярна оси y .

Применим закон сохранения энергии: $mv_1^2 = mv_2^2 + 2mgh$, откуда

$$v_2^2 = v_1^2 - 2gh. \quad (1)$$

Перепишем это выражение так:

$$v_{2x}^2 + v_{2y}^2 = v_{1x}^2 + v_{1y}^2 - 2gh.$$

Вследствие того что сила поля перпендикулярна оси y , она не меняет v_y -проекцию скорости; отсюда $v_{2y} = v_{1y}$. Поэтому предыдущее выражение упростится: $v_2^2 = v_1^2 - 2gh$, или

$$v_2 \cos \alpha_2 = \sqrt{v_1^2 \cos^2 \alpha_1 - 2gh}, \quad (2)$$

где v_2 определяется уравнением (1). В результате

$$\cos \alpha_2 = \sqrt{(v_1^2 \cos^2 \alpha_1 - 2gh)/(v_1^2 - 2gh)}.$$

Заметим, что приведенное решение справедливо, если подкоренное выражение в (2) не отрицательно, т. е. при $v_1 \cos \alpha_1 > \sqrt{2gh}$. В противном случае шайба не преодолеет горку, т. е. произойдет ее «отражение» от потенциального барьера.

●3.7. Плоскую спираль из жесткой гладкой проволоки, расположенную в горизонтальной плоскости, вращают с постоянной угловой скоростью ω вокруг неподвижной вертикальной оси O (рис. 52). По спирали без трения скользит небольшая муфта M . Найти ее скорость v' относительно спирали как функцию расстояния ρ от оси вращения O , если муфта начала двигаться от этой оси со скоростью v'_0 .

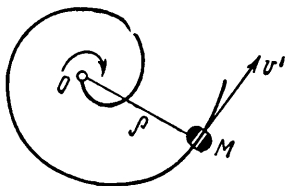


Рис. 52

Решение. Этот вопрос наиболее целесообразно решать в системе отсчета, связанной со спиралью. Мы знаем, что приращение кинетической энергии муфты должно быть равно алгебраической сумме работ всех сил, действующих на муфту. Нетрудно видеть, что из всех сил работу будет совершать только центробежная сила инерции (все остальные силы — сила тяжести, сила реакции со стороны спирали и сила Кориолиса — перпендикулярны скорости v' муфты и поэтому работы не совершают).

Согласно уравнению (3.28),

$$m(v'^2 - v_0'^2)/2 = \int m\omega^2 \rho dr,$$

где m — масса муфты, dr — ее элементарное перемещение относительно спирали. Так как $\rho dr = \rho (dr)_\rho = \rho d\rho$, то интеграл оказывается равным $m\omega^2 \rho^2/2$. Отсюда искомая скорость

$$v' = \sqrt{v_0'^2 + \omega^2 \rho^2}.$$

●3.8. Найти потенциал и напряженность гравитационного поля, создаваемого однородным шаром массы M и радиуса R , в зависимости от расстояния r до его центра.

Решение. Прежде всего покажем, что потенциал, создаваемый тонким однородным сферическим слоем вещества, вне слоя таков, как если бы вся масса слоя была сосредоточена в его центре, а потенциал внутри слоя одинаков во всех точках.

Пусть тонкий сферический слой имеет массу m и радиус a . Найдем сначала потенциал $d\phi$ в точке P ($r > a$), который создает элементарный пояс dS данного слоя (рис. 53, а). Если масса этого

пояса dm и его точки находятся на расстоянии x до точки P , то $d\varphi = -\gamma dm/x$. Учитывая, что $dm = (m/2) \sin \vartheta d\vartheta$, получим

$$d\varphi = -(\gamma m/2x) \sin \vartheta d\vartheta. \quad (1)$$

Далее, из теоремы косинусов (для $\triangle OAP$) следует, что $x^2 = a^2 + r^2 - 2ar \cos \vartheta$. Взяв дифференциал этого выражения, найдем

$$x dx = ar \sin \vartheta d\vartheta. \quad (2)$$

Преобразуем (1) с помощью (2) к виду $d\varphi = -(\gamma m/2ar) dx$ и проинтегрируем это уравнение по всему слою. Тогда

$$\varphi_{\text{вне}} = -(\gamma m/2ar) \int_{-a}^{r+a} dx = -\gamma m/r. \quad (3)$$

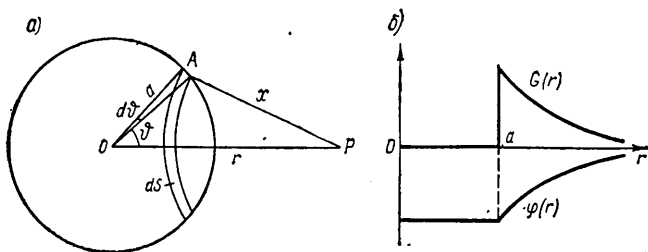


Рис. 53

Таким образом, действительно, потенциал в точке P вне тонкого однородного сферического слоя таков, как если бы масса этого слоя была сосредоточена в его центре.

Если же точка P находится внутри слоя ($r < a$), то предыдущие расчеты остаются в силе вплоть до интегрирования. Теперь пределы интегрирования по x будут от $a - r$ до $a + r$. В результате

$$\varphi_{\text{внутри}} = -\gamma m/a, \quad (4)$$

т. е. потенциал внутри слоя не зависит от положения точки P , а следовательно, он будет одинаковым во всех точках внутри слоя.

Напряженность поля в точке P , согласно (3.24), равна

$$G_r = -\frac{\partial \varphi}{\partial r} = \begin{cases} -\gamma m/r^2 & \text{вне слоя,} \\ 0 & \text{внутри слоя.} \end{cases}$$

Графики зависимостей $\varphi(r)$ и $G(r)$ для тонкого сферического слоя показаны на рис. 53, б).

Теперь обобщим полученные результаты на однородный шар массы M и радиуса R . Если точка P находится вне шара ($r > R$), то из формулы (3) сразу следует

$$\varphi_{\text{вне}} = -\gamma M/r. \quad (5)$$

Если же точка P находится внутри шара ($r < R$), то потенциал φ в этой точке можно представить как сумму:

$$\varphi = \varphi_1 + \varphi_2,$$

где φ_1 — потенциал от шара радиуса r ; φ_2 — потенциал от слоя с радиусами от r до R . Согласно (5),

$$\varphi_1 = -\gamma \frac{M(r/R)^3}{r} = -\gamma \frac{M}{R^3} r^2.$$

Потенциал же φ_2 , создаваемый слоем, одинаков во всех точках внутри этого слоя. Проще всего φ_2 вычислить для точки, находящейся в центре слоя:

$$\varphi_2 = -\gamma \int_r^R \frac{dM}{r} = -\frac{3}{2} \frac{\gamma M}{R^3} (R^2 - r^2),$$

где $dM = (3M/R^3)r^2 dr$ — масса тонкого слоя между радиусами r и $r + dr$. В результате

$$\begin{aligned} \varphi_{\text{внутри}} &= \varphi_1 + \varphi_2 = \\ &= -(\gamma M/2R)(3 - r^2/R^2). \end{aligned} \quad (6)$$

Напряженность поля в точке P , как следует из (5) и (6),

$$G_r = -\frac{\partial \varphi}{\partial r} = \begin{cases} -\gamma M/r^2 & \text{при } r > R, \\ -\gamma M r/R^3 & \text{при } r < R. \end{cases}$$

Графики зависимостей $\varphi(r)$ и $G(r)$ для однородного шара радиуса R показаны на рис. 54.

● 3.9. Показать, что кинетическая энергия T_2 , которую необходимо сообщить телу для удаления его за пределы земного притяжения, в два раза превышает кинетическую энергию T_1 , необходимую для выведения этого тела на круговую орбиту искусственного спутника Земли (вблизи ее поверхности). Сопротивлением воздуха и вращением Земли пренебречь.

Решение. Найдем скорость v_1 тела, движущегося по круговой орбите. Согласно основному уравнению динамики,

$$mv_1^2/R = mg,$$

где m — масса тела, R — радиус орбиты, приблизительно равный радиусу Земли. Отсюда

$$v_1 = \sqrt{gR} = 7,9 \text{ км/с.}$$

Это так называемая *первая космическая скорость*.

Для того чтобы тело могло преодолеть поле тяготения Земли, ему необходимо сообщить *вторую космическую скорость* v_2 . Ее можно найти из закона сохранения энергии: кинетическая энергия вблизи поверхности Земли должна быть равна высоте потенциального барьера, который тело должно преодолеть. Высота этого барьера равна приращению потенциальной энергии тела между точками $r = R$ и $r = \infty$. Таким образом,

$$mv_2^2/2 = \gamma mM/R,$$

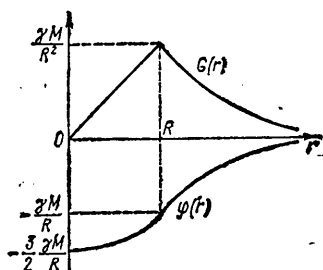


Рис. 54

где M — масса Земли. Отсюда

$$v_2 = \sqrt{2\gamma M/R} = \sqrt{2gR} = 11 \text{ км/с.}$$

Следовательно, $v_2 = \sqrt{2} v_1$ и $T_2 = 2T_1$.

●3.10. Три одинаковые заряженные частицы, каждая массы m и с зарядом $+q$, поместили в вершины углов равностороннего треугольника со стороной r_0 . Затем частицы одновременно освободили, после чего они стали симметрично разлетаться под действием кулоновских сил отталкивания. Найти:

1) скорость каждой частицы в зависимости от расстояния r между ними;

2) работу A_1 , которую совершили кулоновские силы, действующие на каждую частицу при разлете частиц на очень большое расстояние друг от друга.

Р е ш е н и е 1. Данная система замкнутая, поэтому для нее приращение кинетической энергии равно убыли потенциальной, т. е.

$$3mv^2/2 = 3kq^2/r_0 - 3kq^2/r.$$

Отсюда

$$v = \sqrt{2kq^2 (r - r_0)/mrr_0}.$$

Видно, что при $r \rightarrow \infty$ скорость каждой частицы стремится к предельному значению $v_{\text{макс}} = \sqrt{2kq^2/mr_0}$.

2. Работа всех сил взаимодействия при изменении конфигурации этой системы равна убыли потенциальной энергии системы:

$$A = U_1 - U_2 = 3kq^2/r_0,$$

где учтено, что в конечном положении $U_2 = 0$. Отсюда искомая работа

$$A_1 = A/3 = kq^2/r_0. \quad (1)$$

З а м е ч а н и е. Здесь следует обратить внимание на одну часто встречающуюся ошибку, возникающую при решении подобного рода задач. А именно, рассуждают часто так: в начальном положении потенциальная энергия каждой частицы равна $2kq^2/r_0$, а в конечном — нуль. Отсюда искомая работа $A_1 = 2kq^2/r_0$. Как видно, полученный результат вдвое отличается от (1). Почему?

Ошибка здесь в том, что поле, в котором перемещается каждая частица, нестационарное, а следовательно, и непотенциальное (ведь две другие частицы тоже перемещаются друг относительно друга), поэтому работа в таком поле не может быть представлена как убыль потенциальной энергии частицы.

●3.11. Воспользовавшись результатами решения задачи 3.8, найти собственную потенциальную энергию гравитационного взаимодействия масс, равномерно распределенных:

1) по поверхности сферы;

2) по объему шара.

Массы сферы и шара равны M , их радиус R .

Решение. 1. Имея в виду, что потенциал в каждой точке сферы $\varphi = -\gamma M/R$, получим, согласно формуле (3.40),

$$U = (\varphi/2) \int dm = -\gamma M^2/2R.$$

2. В этом случае потенциал внутри шара (см. задачу 3.8) зависит только от r :

$$\varphi = -(3\gamma M/2R)(1 - r^2/3R^2).$$

Подставив это выражение в формулу (3.40) и интегрируя, получим

$$U = \frac{1}{2} \int_{r=0}^R \varphi dm = -\frac{3}{5} \frac{\gamma M^2}{R},$$

где dm — масса элементарного сферического слоя, заключенного между радиусами r и $r + dr$; $dm = (3M/R^3)r^2 dr$.

ЗАКОН СОХРАНЕНИЯ ИМПУЛЬСА

§ 4.1. Импульс. Закон его сохранения

Импульс* частицы. Опыт и соответствующий анализ механических явлений показывают, что для характеристики механического движения тел кроме кинетической энергии $T = mv^2/2$ необходимо ввести еще одну величину — *импульс* $p = mv$. Эти две величины являются основными мерами механического движения тел: первая — скалярная, вторая — векторная. Обе они играют центральную роль во всем построении механики.

Перейдем к более подробному изучению импульса. Прежде всего запишем основное уравнение ньютоновской динамики (2.6) в иной форме — через импульс:

$$\boxed{dp/dt = F}, \quad (4.1)$$

т. е. *производная импульса материальной точки по времени равна действующей на нее силе*. В частности, если $F \equiv 0$, то $p = \text{const}$.

Заметим, что в неинерциальной системе отсчета сила F включает в себя не только силы взаимодействия данной частицы с другими телами, но и силы инерции.

Уравнение (4.1) позволяет найти приращение импульса частицы за любой промежуток времени, если известна зависимость силы F от времени. Действительно, из (4.1) следует, что элементарное приращение импульса частицы за промежуток времени dt есть $dp = Fdt$. Проинтегрировав это выражение по времени, найдем приращение импульса частицы за конечный промежуток времени t :

$$p_2 - p_1 = \int_0^t F dt. \quad (4.2)$$

Если сила $F = \text{const}$, то вектор F можно вынести из-под интеграла и тогда $p_2 - p_1 = Ft$. Величину, стоящую в правой части этого уравнения, называют *импульсом силы*. Таким образом, приращение импульса частицы за любой промежуток времени равно импульсу силы за то же время.

* Другое название этой величины — *количество движения*.

Пример. На частицу, которая в начальный момент $t = 0$ имела импульс p_0 , действует в течение промежутка времени τ сила $F = at(1 - t/\tau)$, где a — постоянный вектор. Найти импульс p частицы после окончания действия этой силы.

Согласно (4.2), получим $p = p_0 + \int_0^{\tau} F dt = p_0 + a\tau^2/6$ (рис.55).

Импульс системы. Рассмотрим произвольную систему частиц. Введем понятие *импульса системы* как векторную сумму импульсов ее отдельных частиц:

$$p = \sum p_i, \quad (4.3)$$

где p_i — импульс i -й частицы. Заметим, что импульс системы — величина аддитивная, т. е. импульс системы равен сумме импульсов ее отдельных частей независимо от того, взаимодействуют они между собой или нет.

Найдем физическую величину, которая определяет изменение импульса системы. Для этого продифференцируем (4.3) по времени:

$$dp/dt = \sum dp_i/dt.$$

Согласно (4.1),

$$dp_i/dt = \sum_k F_{ik} + F_i,$$

где F_{ik} — силы, действующие на i -ю частицу со стороны других частиц системы (внутренние силы); F_i — сила, действующая на эту же частицу со стороны других тел, не входящих в рассматриваемую систему (внешние силы). Подставив последнее выражение в предыдущее, получим

$$dp/dt = \sum_i \sum_k F_{ik} + \sum_i F_i.$$

Двойная сумма справа — это сумма всех внутренних сил. В соответствии с третьим законом Ньютона силы взаимодействия между частицами системы попарно одинаковы по модулю и противоположны по направлению. Поэтому результирующая сила в каждой паре взаимодействия равна нулю, а значит, равна нулю и векторная сумма всех внутренних сил. В результате последнее уравнение принимает следующий вид:

$$\boxed{dp/dt = F}, \quad (4.4)$$

где F — результирующая всех *внешних* сил, $F = \sum F_i$.

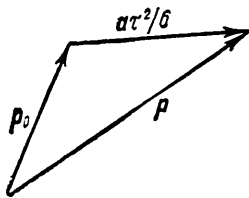


Рис. 55

Уравнение (4.4) означает: *производная импульса системы по времени равна векторной сумме всех внешних сил, действующих на частицы системы.*

Как и в случае одной частицы, из уравнения (4.4) следует, что приращение импульса системы за конечный промежуток времени t есть

$$\boxed{p_2 - p_1 = \int_0^t F dt,} \quad (4.5)$$

т. е. приращение импульса системы равно импульсу результирующей всех внешних сил за соответствующий промежуток времени. И здесь, конечно, F — результирующая всех *внешних сил.*

Уравнения (4.4) и (4.5) справедливы как в инерциальной, так и в неинерциальной системах отсчета. Следует только иметь в виду, что в неинерциальной системе отсчета необходимо учитывать и действие *сил инерции*, играющих роль внешних сил, т. е. под F в этих уравнениях надо понимать сумму $F_{вз} + F_{ин}$, где $F_{вз}$ — результирующая всех внешних сил взаимодействия, а $F_{ин}$ — результирующая всех сил инерции.

Закон сохранения импульса. Мы пришли к важному выводу: согласно уравнению (4.4), *импульс системы может изменяться под действием только внешних сил.* Внутренние силы не могут изменить импульс системы. Отсюда непосредственно вытекает и другой важный вывод — **закон сохранения импульса**: *в инерциальной системе отсчета импульс замкнутой системы частиц остается постоянным*, т. е. не меняется со временем:

$$\boxed{p = \sum p_i(t) = \text{const.}} \quad (4.6)$$

При этом импульсы отдельных частиц или частей замкнутой системы могут меняться со временем, что и подчеркнуто в последнем выражении. Однако эти изменения всегда происходят так, что приращение импульса одной части системы равно убыли импульса оставшейся части системы. Другими словами, отдельные части замкнутой системы могут только обмениваться импульсами. Обнаружив в некоторой системе приращение импульса, мы можем утверждать, что это приращение произошло за счет убыли импульса в окружающих телах.

В этом смысле уравнение (4.4) и (4.5) следует рассма-

тривать как более общую формулировку закона сохранения импульса, формулировку, в которой указана причина изменения импульса у незамкнутой системы — действие других тел (внешних сил). Сказанное справедливо, разумеется, только по отношению к инерциальным системам отсчета.

Импульс может сохраняться и у незамкнутой системы при условии, что результирующая всех внешних сил равна нулю. Это непосредственно вытекает из уравнений (4.4) и (4.5). В практическом отношении сохранение импульса в этих случаях представляет особый интерес, ибо дает возможность получать достаточно простым путем ряд сведений о поведении системы, не вникая в детальное рассмотрение процесса.

И еще. У незамкнутой системы может сохраняться не сам импульс p , а его проекция p_x на некоторое направление x . Это бывает тогда, когда проекция результирующей внешней силы F на направление x равна нулю, т. е. вектор F перпендикулярен ему. Действительно, спроектировав уравнение (4.4), получим

$$dp_x/dt = F_x, \quad (4.7)$$

откуда следует, что если $F_x \equiv 0$, то $p_x = \text{const}$. Например, при движении системы в однородном поле сил тяжести сохраняется проекция ее импульса на любое горизонтальное направление, что бы в системе ни происходило.

Рассмотрим примеры на изменение и сохранение импульса.

Пример 1. Орудие массы m соскальзывает по гладкой наклонной плоскости, составляющей угол α с горизонтом. В момент, когда скорость орудия равна v , произвели выстрел, в результате которого орудие остановилось, а вылетевший в горизонтальном направлении снаряд «унес» импульс p . Пусть продолжительность выстрела равна t . Каково среднее за время t значение силы реакции R со стороны наклонной плоскости?

Здесь система орудие — снаряд незамкнутая. За время t эта система получает приращение импульса, равное $p - mv$. Изменение импульса системы обусловлено действием двух внешних сил: силы реакции R (она перпендикулярна наклонной плоскости) и силы тяжести mg . Поэтому можно написать:

$$p - mv = \langle R \rangle t + mgt,$$

где $\langle R \rangle$ — среднее за время t значение вектора R . Это соотношение очень полезно представить графически (рис. 56). Из рисунка сразу видно, что искомое значение $\langle R \rangle$ определяется формулой $\langle R \rangle t = p \sin \alpha + mgt \cos \alpha$.

Пример 2. На поверхности озера покоится узкий плот массы m_1 с человеком массы m_2 . Человек совершил перемещение $\Delta r'$ относительно плота и затем остановился. Сопrotивление воды пре-

небрежимо мало. Найдем соответствующее перемещение Δr_2 плота относительно берега.

В данном случае результирующая всех внешних сил, действующих на систему человек — плот, равна нулю, а поэтому импульс этой системы меняться не будет, оставаясь равным нулю в процессе движения:

$$m_1 v_1 + m_2 v_2 = 0,$$

где v_1 и v_2 — скорости плота и человека относительно берега. Но скорость человека относительно берега можно представить в виде $v_1 = v_2 + v'$, где v' — скорость человека относительно плота.

Исключив v_1 из этих двух уравнений, получим

$$v_2 = -\frac{m_1}{m_1 + m_2} v'.$$

Умножив обе части на dt , найдем связь между элементарными перемещениями плота dr_2 и человека dr' относительно плота. Такая же связь будет, очевидно, и для конечных перемещений:

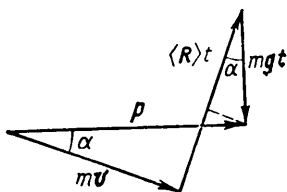


Рис. 56

$$\Delta r_2 = -\frac{m_1}{m_1 + m_2} \Delta r'.$$

Отсюда видно, что перемещение плота Δr_2 не зависит от характера движения человека, т. е. не зависит от закона $v'(t)$.

Подчеркнем еще раз: закон сохранения импульса выполняется только в инерциальных системах. Это, однако, не исключает случаев, когда импульс системы сохранялся бы и в неинерциальных системах отсчета. Для этого достаточно, чтобы в уравнении (4.4), справедливом и в неинерциальных системах отсчета, внешняя сила F (она включает в себя и силы инерции) была равна нулю. Ясно, что такое положение может осуществляться лишь при специальных условиях. Соответствующие случаи довольно редки и имеют частный характер.

Теперь покажем, что если импульс системы сохраняется в одной инерциальной K -системе отсчета, то он сохраняется и в любой другой инерциальной K' -системе. Пусть в K -системе

$$\sum m_i v_i = \text{const.}$$

Если K' -система движется относительно K -системы со скоростью V , то скорость i -й частицы в K -системе можно представить как $v_i = v'_i + V$, где v'_i — скорость этой частицы в K' -системе. Тогда выражение для импульса системы можно преобразовать к следующему виду: $\sum m_i v'_i + \sum m_i V = \text{const.}$ Вторая сумма в этом равенстве не зависит от времени. А это значит, что и первая сумма — им-

пульс системы в K' -системе отсчета — тоже не зависит от времени, т. е.

$$\sum m_i v_i' = \text{const}'.$$

Полученный результат полностью соответствует принципу относительности Галилея, согласно которому законы механики одинаковы во всех инерциальных системах отсчета.

Рассуждения, которые привели нас к закону сохранения импульса, целиком опирались на справедливость законов Ньютона. В частности, предполагалось, что материальные точки замкнутой системы взаимодействуют между собой попарно и это взаимодействие подчиняется третьему закону Ньютона. А как обстоит дело в случае систем, не подчиняющихся законам Ньютона, например в системах с электромагнитным излучением?

Ответ на этот вопрос дает опыт, который со всей убедительностью показывает, что закон сохранения импульса оказывается справедливым и для таких систем. Однако в этих случаях в общем балансе импульса необходимо учитывать не только импульсы частиц, но и импульс, которым обладает, как выясняется в электродинамике, само поле излучения.

• Таким образом, опыт показывает, что закон сохранения импульса, надлежащим образом обобщенный, представляет собой фундаментальный закон природы, не знающий никаких исключений. Но в таком широком понимании он уже не является следствием законов Ньютона, а должен рассматриваться как самостоятельный общий принцип, являющийся обобщением опытных фактов.

§ 4.2. Центр инерции. C -система

Центр инерции. В любой системе частиц имеется одна замечательная точка C — центр инерции, или центр масс, — которая обладает рядом интересных и важных свойств. Ее положение относительно начала O данной системы отсчета характеризуется радиусом-вектором r_C , определяемым следующей формулой:

$$r_C = \frac{1}{m} \sum m_i r_i, \quad (4.8)$$

где m_i и r_i — масса и радиус-вектор i -й частицы, m — масса всей системы (рис. 57).

Следует заметить, что центр инерции системы совпадает с ее центром тяжести. Правда, это утверждение справедливо лишь в том случае, когда поле сил тяжести в пределах данной системы можно считать однородным.

Найдем скорость центра инерции в данной системе отсчета. Продифференцировав (4.8) по времени, получим

$$V_C = \frac{1}{m} \sum m_i v_i = \frac{1}{m} \sum p_i. \quad (4.9)$$

Если скорость центра инерции равна нулю, то говорят, что система как целое покоится. Это вполне естественное обобщение понятия покоя отдельной частицы. Скорость же V_C приобретает смысл скорости движения системы как целого.

Из формулы (4.9) с учетом (4.3) следует, что

$$p = mV_C, \quad (4.10)$$

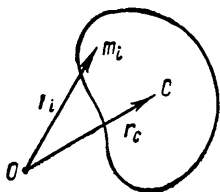


Рис. 57

т. е. импульс системы равен произведению массы системы на скорость ее центра инерции.

Уравнение движения центра инерции. Понятие центра инерции позволяет придать уравнению (4.4) иную форму, которая часто оказывается более удобной. Для этого достаточно (4.10) подставить в (4.4), и учесть, что масса системы как таковой есть величина постоянная. Тогда получим

$$\boxed{m \frac{dV_C}{dt} = F}, \quad (4.11)$$

где F — результирующая всех внешних сил, действующих на систему. Это и есть *уравнение движения центра инерции* системы — одно из важнейших уравнений механики. Согласно этому уравнению, *при движении любой системы частиц ее центр инерции движется так, как если бы вся масса системы была сосредоточена в этой точке и к ней были бы приложены все внешние силы*, действующие на систему. При этом ускорение центра инерции совершенно не зависит от точек приложения внешних сил.

Далее, из уравнения (4.11) следует, что если $F \equiv 0$, то $dV_C/dt \equiv 0$, а значит, $V_C = \text{const}$. Таков, в частности, случай замкнутой системы (в инерциальной системе отсчета). Кроме того, если $V_C = \text{const}$, то, согласно (4.10), и импульс системы $p = \text{const}$.

Таким образом, если центр инерции системы движется равномерно и прямолинейно, то это означает, что ее импульс сохраняется в процессе движения. Разумеется, справедливо и обратное утверждение.

Уравнение (4.11) по форме совпадает с основным уравнением динамики материальной точки и является его естественным обобщением на систему частиц: ускорение системы как целого пропорционально результирующей всех внешних сил и обратно пропорционально суммарной массе системы. Напомним, что в неинерциальных системах отсчета результирующая всех внешних сил включает в себя как силы взаимодействия с окружающими телами, так и силы инерции.

Рассмотрим три примера на движение центра инерции системы.

Пример 1. Покажем, как можно иначе решить задачу с человеком на плоту (см. пример 2 на с. 103), воспользовавшись понятием центра инерции.

Так как сопротивление воды пренебрежимо мало, то результирующая всех внешних сил, действующих на систему человек — плот, равна нулю. А это значит, что положение центра инерции данной системы в процессе движения человека (и плота) меняться не будет, т. е.

$$m_1 \mathbf{r}_1 + m_2 \mathbf{r}_2 = \text{const},$$

где \mathbf{r}_1 и \mathbf{r}_2 — радиусы-векторы, характеризующие положения центров инерции человека и плота относительно некоторой точки берега. Из этого равенства найдем связь между приращениями векторов \mathbf{r}_1 и \mathbf{r}_2 :

$$m_1 \Delta \mathbf{r}_1 + m_2 \Delta \mathbf{r}_2 = 0.$$

Имея в виду, что приращения $\Delta \mathbf{r}_1$ и $\Delta \mathbf{r}_2$ представляют собой перемещения человека и плота относительно берега, причем $\Delta \mathbf{r}_1 = \Delta \mathbf{r}_2 + \Delta \mathbf{r}'$, найдем перемещение плота:

$$\Delta \mathbf{r}_2 = - \frac{m_1}{m_1 + m_2} \Delta \mathbf{r}'.$$

Пример 2. Человек прыгает с вышки в воду. Движение прыгуна в общем случае имеет весьма сложный характер. Однако если сопротивление воздуха пренебрежимо мало, то можно сразу утверждать, что центр инерции прыгуна движется по параболе, как материальная точка, на которую действует постоянная сила mg , где m — масса человека.

Пример 3. Замкнутая цепочка, соединенная нитью с концом оси центробежной машины, равномерно вращается вокруг вертикальной оси с угловой скоростью ω (рис. 58). При этом нить образует угол ϑ с вертикалью. Как ведет себя центр инерции цепочки?

Прежде всего ясно, что при равномерном вращении центр инерции цепочки не движется в вертикальном направлении. Это значит, что вертикальная составляющая силы T натяжения нити

компенсирует силу тяжести (рис. 58, справа). Горизонтальная же составляющая силы натяжения постоянна по модулю и все время направлена к оси вращения. Отсюда следует, что центр инерции цепочки — точка C — движется по горизонтальной окружности, радиус которой ρ легко найти с помощью формулы (4.11), записав ее в виде

$$m\omega^2\rho = mg\text{tg}\vartheta,$$

где m — масса цепочки. При этом точка C все время находится между осью вращения и нитью, как показано на рис. 58.

Ц-система. В тех часто встречающихся случаях, когда нас интересует лишь относительное движение частиц внутри системы, а не движение этой системы как целого, наиболее целесообразно пользоваться системой отсчета, в которой центр инерции покоится. Это позволяет значительно упростить анализ явления и расчеты.

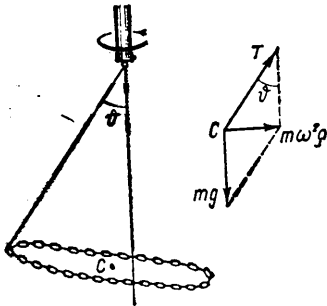


Рис. 58

Систему отсчета, жестко связанную с центром инерции данной системы частиц и перемещающуюся поступательно по отношению к инерциальным системам, называют *системой центра инерции* или, кратко, *Ц-системой*. От-

личительной особенностью *Ц-системы* является то, что полный импульс системы частиц в ней равен нулю — это непосредственно следует из формулы (4.10). Другими словами, любая система частиц как целое покоится в своей *Ц-системе*.

Для замкнутой системы частиц ее *Ц-система* является инерциальной, для незамкнутой — в общем случае неинерциальной.

Найдем связь между значениями механической энергии системы в *K*- и *Ц*-системах отсчета. Начнем с кинетической энергии системы T . Скорость i -й частицы в *K*-системе можно представить как $\mathbf{v}_i = \tilde{\mathbf{v}}_i + \mathbf{V}_C$, где $\tilde{\mathbf{v}}_i$ — скорость этой частицы в *Ц*-системе, а \mathbf{V}_C — скорость *Ц*-системы относительно *K*-системы отсчета. Тогда можно записать:

$$\begin{aligned} T &= \sum m_i \tilde{v}_i^2 / 2 = \sum m_i (\tilde{\mathbf{v}}_i + \mathbf{V}_C)^2 / 2 = \\ &= \sum m_i \tilde{v}_i^2 / 2 + \mathbf{V}_C \sum m_i \tilde{\mathbf{v}}_i + \sum m_i V_C^2 / 2. \end{aligned}$$

Так как в *Ц*-системе $\sum m_i \tilde{\mathbf{v}}_i = 0$, то предыдущее выраже-

ние примет вид

$$T = \tilde{T} + \frac{m V_C^2}{2} = \tilde{T} + \frac{p^2}{2m}, \quad (4.12)$$

где $\tilde{T} = \sum m_i \tilde{v}_i^2 / 2$ — суммарная кинетическая энергия частиц в \tilde{C} -системе, m — масса всей системы, p — ее полный импульс в K -системе отсчета.

Таким образом, кинетическая энергия системы частиц складывается из суммарной кинетической энергии \tilde{T} в \tilde{C} -системе и кинетической энергии, связанной с движением системы частиц как целого. Это важный вывод, и он неоднократно будет использоваться в дальнейшем (в частности, при изучении динамики твердого тела).

Из формулы (4.12) следует, что кинетическая энергия системы частиц минимальна в \tilde{C} -системе — в этом еще одна особенность \tilde{C} -системы. Действительно, в \tilde{C} -системе $V_C = 0$ и поэтому в (4.12) остается только \tilde{T} .

Теперь перейдем к полной механической энергии E . Так как собственная потенциальная энергия системы U зависит только от конфигурации системы, то значение U одинаково во всех системах отсчета. Добавив U в левую и правую части равенства (4.12), получим формулу преобразования полной механической энергии при переходе от K -к \tilde{C} -системе:

$$E = \tilde{E} + \frac{m V_C^2}{2} = \tilde{E} + \frac{p^2}{2m}. \quad (4.13)$$

Энергию $\tilde{E} = \tilde{T} + U$ называют *внутренней механической энергией* системы.

Пример. На гладкой горизонтальной плоскости лежат две небольшие шайбы, каждая массы m , которые соединены между собой невесомой пружинкой. Одной из шайб сообщили начальную скорость v_0 , как показано на рис. 59. Какова внутренняя механическая энергия \tilde{E} этой системы в процессе движения?

Поскольку плоскость гладкая, система в процессе движения будет вести себя как замкнутая. Поэтому ее полная механическая энергия E и суммарный импульс p будут сохраняться, оставаясь равными тем значениям, которые они имели в начальный момент, т. е. $E = m v_0^2 / 2$, $p = m v_0$. Подставив эти значения в формулу (4.13), получим

$$\tilde{E} = E - p^2 / (2 \cdot 2m) = m v_0^2 / 4.$$

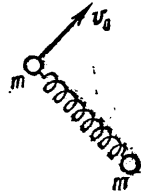


Рис. 59

Нетрудно сообразить, что внутренняя энергия \bar{E} связана с вращением и колебанием данной системы, причем в начальный момент \bar{E} была равна только энергии вращательного движения.

Если система частиц *замкнута* и в ней происходят процессы, связанные с изменением полной механической энергии, то из (4.13) следует, что $\Delta E = \Delta \bar{E}$, т. е. приращение полной механической энергии относительно произвольной инерциальной системы отсчета равно приращению *внутренней* механической энергии. При этом кинетическая энергия, обусловленная движением системы частиц как целого, не меняется, ибо для замкнутой системы $p = \text{const}$.

В частности, если замкнутая система *консервативна*, то ее полная механическая энергия сохраняется во всех инерциальных системах отсчета. Этот вывод находится в полном соответствии с принципом относительности Галилея.

Система из двух частиц. Пусть массы частиц равны m_1 и m_2 , а их скорости в K -системе отсчета v_1 и v_2 соответственно. Найдем выражения, определяющие их импульсы и суммарную кинетическую энергию в C -системе.

Импульс первой частицы в C -системе

$$\tilde{p}_1 = m_1 \tilde{v}_1 = m_1 (v_1 - V_C),$$

где V_C — скорость центра инерции (C -системы) в K -системе отсчета. После подстановки в эту формулу выражения (4.9) для V_C получим

$$\tilde{p}_1 = \mu (v_1 - v_2),$$

где μ — так называемая *приведенная масса* системы,

$$\boxed{\mu = m_1 m_2 / (m_1 + m_2)}. \quad (4.14)$$

Аналогично, импульс второй частицы в C -системе

$$\tilde{p}_2 = \mu (v_2 - v_1).$$

Таким образом, импульсы обеих частиц в C -системе одинаковы по модулю и противоположны по направлению, причем модуль импульса каждой частицы

$$\boxed{\tilde{p} = \mu v_{\text{отн}}}. \quad (4.15)$$

где $v_{\text{отн}} = |v_1 - v_2|$ — скорость одной частицы относительно другой.

Теперь обратимся к кинетической энергии. Суммарная кинетическая энергия обеих частиц в \bar{C} -системе

$$\tilde{T} = \tilde{T}_1 + \tilde{T}_2 = \tilde{p}^2/2m_1 + \tilde{p}^2/2m_2.$$

Так как, согласно (4.14), $1/m_1 + 1/m_2 = 1/\mu$, то

$$\boxed{\tilde{T} = \tilde{p}^2/2\mu = \mu v_{\text{отн}}^2/2.} \quad (4.16)$$

Если частицы взаимодействуют друг с другом, то полная механическая энергия обеих частиц в \bar{C} -системе

$$\tilde{E} = \tilde{T} + U, \quad (4.17)$$

где U — потенциальная энергия взаимодействия данных частиц.

Полученные формулы играют большую роль при изучении столкновения частиц.

§ 4.3. Столкновение двух частиц

В этом параграфе мы рассмотрим различные случаи столкновения двух частиц, используя в качестве инструмента исследования только законы сохранения импульса и энергии. При этом мы увидим, что законы сохранения позволяют сделать ряд весьма общих и существенных заключений о свойствах данного процесса вне какой-либо зависимости от конкретного закона взаимодействия частиц.

Попутно мы покажем, какие преимущества дает \bar{C} -система, использование которой, как будет видно, значительно упрощает анализ процесса и многие расчеты.

Хотя мы будем говорить о столкновении *частиц*, необходимо сразу же оговорить, что все последующие рассуждения и выводы в равной степени относятся и к столкновению *любых тел*. Надо только иметь в виду, что вместо скорости частицы следует брать скорость центра инерции каждого тела, а вместо кинетической энергии частицы — ту часть кинетической энергии каждого тела, которая характеризует его движение как целого.

В дальнейшем будем считать:

- 1) исходная K -система отсчета инерциальная,
- 2) система из двух частиц замкнутая,
- 3) импульсы (и скорости) частиц до и после столкновения соответствуют достаточно большим расстояниям между ними; при этом потенциальной энергией взаимодействия можно просто пренебречь.

Кроме того, величины, относящиеся к системе после столкновения, будем отмечать штрихом, а величины в \mathcal{C} -системе — значком \sim (тильда) сверху.

Теперь перейдем к существу вопроса. Различают три типа столкновения частиц: абсолютно неупругое, абсолютно упругое и промежуточный случай — неупругое.

Абсолютно неупругое столкновение, в результате которого обе частицы «слипаются» и далее движутся как единое целое. Пусть две частицы, массы которых m_1 и m_2 , имеют до столкновения скорости \mathbf{v}_1 и \mathbf{v}_2 (в K -системе). После столкновения образуется частица с массой $m_1 + m_2$, что прямо следует из аддитивности массы в ньютоновской механике. Скорость \mathbf{v}' образовавшейся частицы можно найти сразу из закона сохранения импульса:

$$(m_1 + m_2) \mathbf{v}' = m_1 \mathbf{v}_1 + m_2 \mathbf{v}_2.$$

Ясно, что скорость \mathbf{v}' равна скорости центра инерции системы.

В \mathcal{C} -системе этот процесс выглядит наиболее просто: до столкновения обе частицы движутся навстречу друг другу с одинаковыми импульсами \tilde{p} , а после столкновения образовавшаяся частица оказывается неподвижной. При этом суммарная кинетическая энергия \tilde{T} частиц целиком переходит во внутреннюю энергию Q образовавшейся частицы, т. е. $\tilde{T} = Q$. Отсюда с учетом формулы (4.16) найдем

$$Q = \frac{\mu v_{\text{отн}}^2}{2} = \frac{1}{2} \frac{m_1 m_2}{m_1 + m_2} (v_1 - v_2)^2.$$

Таким образом, величина Q для данной пары частиц зависит только от их относительной скорости.

Абсолютно упругое столкновение, в результате которого внутренняя энергия частиц не меняется, а поэтому не меняется и кинетическая энергия системы. Рассмотрим два частных случая: лобовое и нелобовое упругие столкновения.

1. **Лобовое столкновение**, при котором обе частицы до и после столкновения движутся по одной и той же прямой. Пусть до столкновения скорости частиц в K -системе отсчета равны v_1 и v_2 (частицы движутся или навстречу друг другу, или одна частица догоняет другую). Каковы скорости этих частиц после столкновения?

Рассмотрим этот процесс сначала в \mathcal{C} -системе, где до и после столкновения обе частицы имеют одинаковые по

модулю и противоположные по направлению импульсы (рис. 60). Более того, так как суммарная кинетическая энергия частиц до и после столкновения одинакова, равно как и их приведенная масса, то, согласно (4.16), импульс каждой частицы в результате столкновения изменит только направление на противоположное, не меняясь при этом по модулю, т. е. $\tilde{p}'_i = -\tilde{p}_i$, где $i = 1, 2$. Последнее относится и к скорости каждой частицы в \tilde{C} -системе:

$$\tilde{v}'_i = -\tilde{v}_i.$$

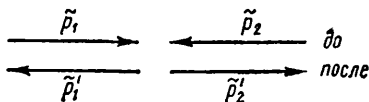


Рис. 60

Теперь найдем скорость каждой частицы после столкновения в K -системе отсчета. Для этого используем формулы преобразования скоростей при переходе от \tilde{C} -к K -системе, а также предыдущее равенство. Тогда

$$\begin{aligned} v'_i &= V_C + \tilde{v}'_i = V_C - \tilde{v}_i = \\ &= V_C - (v_i - V_C) = 2V_C - v_i, \end{aligned}$$

где V_C — скорость центра инерции (\tilde{C} -системы) в K -системе отсчета; эта скорость определяется формулой (4.9). Итак, скорость i -й частицы в K -системе после столкновения есть

$$v'_i = 2V_C - v_i, \quad (4.18)$$

где $i = 1, 2$. В проекциях на произвольную ось x это равенство имеет вид

$$v'_{ix} = 2V_{Cx} - v_{ix}. \quad (4.19)$$

В частности, если массы частиц одинаковы, то легко убедиться, что частицы в результате столкновения просто обмениваются скоростями, т. е. $v'_1 = v_2$ и $v'_2 = v_1$.

2. Нелобовое столкновение. Ограничимся случаем, когда одна из частиц *покоится* до столкновения. Пусть в K -системе отсчета частица массы m_1 с импульсом p_1 испытала упругое нелобовое столкновение с покоившейся частицей массы m_2 . Каковы возможные импульсы этих частиц после столкновения?

Рассмотрим этот процесс также сначала в \tilde{C} -системе. Здесь, как и в предыдущем случае, обе частицы в любой момент времени до и после столкновения имеют одинаковые по модулю и противоположные по направлению импульсы.

Кроме того, импульс каждой частицы не изменится по модулю в результате столкновения, т. е.

$$\tilde{p}' = \tilde{p}.$$

Однако направление разлета частиц теперь будет иным. Оно будет составлять с первоначальным направлением движения некоторый угол $\tilde{\vartheta}$ (рис. 61), зависящий от закона взаимодействия частиц и их взаимного расположения в процессе столкновения.

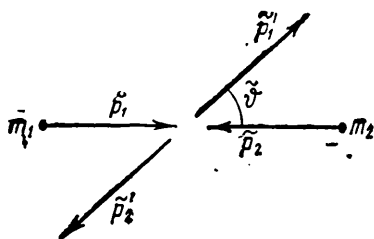


Рис. 61

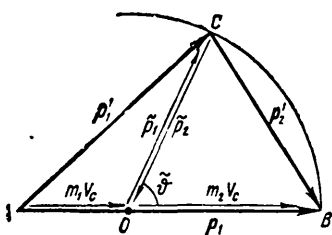


Рис. 62

Теперь найдем импульс каждой частицы в K -системе отсчета после столкновения. С помощью формул преобразования скоростей при переходе от \tilde{C} -к K -системе получим:

$$\begin{aligned} p_1' &= m_1 v_1' = m_1 (V_C + \tilde{v}_1') = m_1 V_C + \tilde{p}_1', \\ p_2' &= m_2 v_2' = m_2 (V_C + \tilde{v}_2') = m_2 V_C + \tilde{p}_2', \end{aligned} \quad (4.20)$$

где V_C — скорость \tilde{C} -системы относительно K -системы отсчета.

Сложив отдельно левые и правые части этих равенств с учетом того, что $\tilde{p}_1' = -\tilde{p}_2'$, получим

$$p_1' + p_2' = (m_1 + m_2)V_C = p_1,$$

как и должно быть в соответствии с законом сохранения импульса.

Построим теперь так называемую *векторную диаграмму импульсов*. Сначала изобразим вектор p_1 отрезком AB (рис. 62), затем векторы p_1' и p_2' , каждый из которых представляет собой, согласно (4.20), сумму двух векторов.

Заметим, что это построение справедливо вне зависимости от угла $\tilde{\vartheta}$. Отсюда следует, что точка C (рис. 62) может находиться только на окружности радиуса \tilde{p} с центром в точке O , которая делит отрезок AB на две части в от-

ношении $AO:OB = m_1 : m_2$. Более того, в рассматриваемом случае (частица массы m_2 покоится до столкновения) эта окружность проходит через точку B — конец вектора p_1 , ибо отрезок $OB = \tilde{p}$. Действительно,

$$OB = m_2 v_C = m_2 \frac{m_1 v_1}{m_1 + m_2},$$

где v_1 — скорость налетающей частицы. А так как в нашем случае $v_1 = v_{отн}$, то, согласно (4.14) и (4.15),

$$OB = \mu v_{отн} = \tilde{p}.$$

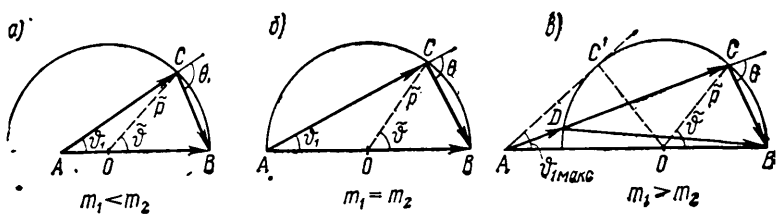


Рис. 63

Таким образом, для построения векторной диаграммы импульсов, соответствующей упругому столкновению двух частиц (одна из которых первоначально покоилась), необходимо:

- 1) сначала изобразить отрезок AB , равный импульсу p_1 налетающей частицы;
- 2) затем через точку B — конец вектора p_1 — провести окружность радиуса

$$\tilde{p} = \mu v_{отн} = \frac{m_2}{m_1 + m_2} p_1,$$

центр которой — точка O — делит отрезок AB на две части в отношении $AO : OB = m_1 : m_2$.

Эта окружность есть геометрическое место точек всех возможных положений вершины C треугольника импульсов ABC , стороны AC и CB которого и представляют собой возможные импульсы частиц после столкновения (в K -системе отсчета).

В зависимости от соотношения масс частиц точка A — начало вектора p_1 — может находиться внутри данной окружности, на ней или снаружи (рис. 63). При этом во всех трех случаях угол $\tilde{\varphi}$ может принимать все значения от 0

до π . Возможные же значения угла рассеяния налетающей частицы ϑ_1 и угла разлета частиц θ будут такими:

а) $m_1 < m_2$	$0 < \vartheta_1 < \pi$	$\theta > \pi/2$
б) $m_1 = m_2$	$0 < \vartheta_1 \leq \pi/2$	$\theta = \pi/2$
в) $m_1 > m_2$	$0 < \vartheta_1 < \vartheta_{\text{макс}}$	$\theta < \pi/2$

Здесь $\vartheta_{\text{макс}}$ — предельный угол. Он определяется формулой

$$\sin \vartheta_{\text{макс}} = m_2/m_1, \quad (4.21)$$

которая непосредственно следует из рис. 63, в: $\sin \vartheta_{\text{макс}} = OC'/AO = OB/AO = m_2/m_1$.

Кроме того, обнаруживается еще один интересный факт. В последнем случае ($m_1 > m_2$) под одним и тем же углом ϑ_1 возможно рассеяние частицы m_1 как с импульсом AC , так и с импульсом AD (рис. 63, в), т. е. в этом случае решение неоднозначно. Аналогично обстоит дело и с частицей m_2 .

И наконец, из той же векторной диаграммы импульсов можно найти связь между углами ϑ_1 и $\tilde{\vartheta}$. Она дается формулой

$$\text{tg } \vartheta_1 = \frac{\sin \tilde{\vartheta}}{\cos \tilde{\vartheta} + m_1/m_2}. \quad (4.22)$$

Этим исчерпываются сведения, которые можно получить о данном процессе, исходя из одних только законов сохранения импульса и энергии.

Мы видим, таким образом, что уже сами по себе законы сохранения импульса и энергии действительно позволяют сделать ряд важных заключений о свойствах рассматриваемого процесса. При этом особенно существен тот факт, что эти свойства имеют общий характер, т. е. совершенно не зависят от рода взаимодействия частиц.

Следует, однако, обратить внимание на одно принципиальное обстоятельство. Векторная диаграмма импульсов, в основе которой лежат законы сохранения импульса и энергии, давая нам полную картину всех возможных случаев разлета частиц после столкновения — результат сам по себе весьма существенный, совершенно не говорит о том, какой из этих возможных случаев реализуется конкретно. Для ответа на этот вопрос необходимо обратиться к более детальному рассмотрению процесса столкновения с помощью уравнений движения. При этом выясняется, например, что угол рассеяния ϑ_1 налетающей частицы зависит от характера взаимодействия сталкивающихся частиц и от

так называемого *прицельного параметра**, неоднозначность же решения в случае $m_1 > m_2$ объясняется тем, что один и тот же угол рассеяния ϑ_1 может реализоваться при двух значениях прицельного параметра, причем независимо от закона взаимодействия частиц.

Указанное обстоятельство представляет собой очень характерную и принципиальную черту законов сохранения вообще. Законы сохранения никогда не дают и не могут дать однозначного ответа на вопрос о том, *что* произойдет. Но если, исходя из каких-либо других соображений, можно указать, *что именно* должно произойти, то законы сохранения дают ответ на вопрос, *как* это должно произойти.

Неупругое столкновение. Это такое столкновение, в результате которого внутренняя энергия разлетающихся частиц (или одной из них) изменяется, а следовательно изменяется и суммарная кинетическая энергия системы. Соответствующее приращение кинетической энергии системы принято обозначать через Q . В зависимости от знака Q неупругое столкновение называют *экзоэнергетическим* ($Q > 0$) или *эндоэнергетическим* ($Q < 0$). В первом случае кинетическая энергия системы увеличивается, во втором — уменьшается. При упругом столкновении, разумеется, $Q = 0$.

Наша задача: найти возможные импульсы частиц после неупругого столкновения.

Этот вопрос наиболее просто решается в \mathcal{C} -системе. Согласно условию, приращение суммарной кинетической энергии системы в данном процессе

$$\tilde{T}' - \tilde{T} = Q. \quad (4.23)$$

Так как в данном случае $\tilde{T}' \neq \tilde{T}$, то это означает, согласно (4.16), что импульсы частиц после столкновения изменятся по модулю. Импульс каждой частицы после столкновения \tilde{p}' легко найти, заменив \tilde{T}' в (4.23) его выражением $\tilde{T}' = \tilde{p}'^2/2\mu$. В результате получим

$$\tilde{p}' = \sqrt{2\mu(\tilde{T} + Q)}. \quad (4.24)$$

Теперь рассмотрим тот же вопрос в \mathcal{K} -системе отсчета, где частица массы m_1 с импульсом p_1 испытывает столкнове-

* *Прицельный параметр* — это расстояние между прямой, вдоль которой направлен импульс налетающей частицы, и частицей, с которой происходит «столкновение».

ние с *покоящейся* частицей массы m_2 . Для определения возможных случаев разлета частиц после столкновения здесь также полезно воспользоваться векторной диаграммой импульсов. Ее построение аналогично тому, как это было сделано для упругого столкновения. Импульс налетающей частицы $p_1 = AB$ (рис. 64) делят точкой O на две части, пропорциональные массам частиц ($AO : OB = m_1 : m_2$). Затем из точки O проводят окружность радиуса \tilde{r}' , определяемого формулой (4.24). Эта окружность и является геометрическим местом точек всех возможных положений вершины C треугольника импульсов ABC , стороны AC и CB которого равны импульсам соответствующих частиц после столкновения.

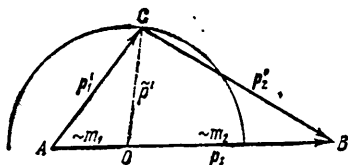


Рис. 64

Отметим, что теперь в отличие от упругого столкновения точка B — конец вектора p_1 — не лежит на окружности, а именно: при $Q > 0$ эта точка находится внутри окружности, а при $Q < 0$ — вне ее. Рис. 64 соответствует последнему случаю — эндоэнергетическому столкновению.

Порог. Существует много неупругих столкновений, в которых внутренняя энергия частиц способна изменяться только на совершенно *определенную* величину, зависящую от свойств самих частиц (таковы, например, неупругие столкновения атомов и молекул). Несмотря на это, экзоэнергетические столкновения ($Q > 0$) могут происходить при сколь угодно малой кинетической энергии налетающей частицы. Эндоэнергетические же процессы ($Q < 0$) в таких случаях обладают *порогом*. Порогом называют минимальную кинетическую энергию налетающей частицы, начиная с которой данный процесс становится энергетически возможным.

Итак, пусть нам необходимо осуществить такое эндоэнергетическое столкновение, в котором внутренняя энергия частиц способна получить приращение не меньше некоторого значения $|Q|$. При каком условии такой процесс окажется возможным?

Этот вопрос наиболее просто решается также в $Ц$ -системе, где ясно, что суммарная кинетическая энергия частиц до столкновения \tilde{T} во всяком случае должна быть не меньше

$|Q|$, т. е. $\tilde{T} \geq |Q|$. Отсюда следует, что существует минимальное значение $\tilde{T}_{\text{мин}} = |Q|$, при котором кинетическая энергия системы целиком пойдет на увеличение внутренней энергии частиц и частицы после столкновения *остановятся* в Ц-системе.

Рассмотрим этот же вопрос в К-системе отсчета, где частица массы m_1 налетает на *покоящуюся* частицу массы m_2 . Так как в Ц-системе при $\tilde{T}_{\text{мин}}$ частицы после столкновения останавливаются, то это значит, что в К-системе при соответствующей пороговой кинетической энергии налетающей частицы $T_{\text{пор}}$ обе частицы после столкновения будут двигаться как *единое целое*, причем с суммарным импульсом, равным импульсу p_1 налетающей частицы, и кинетической инергией $p_1^2/2(m_1 + m_2)$. Поэтому

$$T_{\text{пор}} = |Q| + p_1^2/2(m_1 + m_2).$$

А так как $T_{\text{пор}} = p_1^2/2m_1$, то, исключив p_1^2 из этих двух уравнений, получим

$$T_{\text{пор}} = \frac{m_1 + m_2}{m_2} |Q|. \quad (4.25)$$

Это и есть та пороговая кинетическая энергия налетающей частицы, начиная с которой данный эндоэнергетический процесс становится энергетически возможным.

Заметим, что формула (4.25) играет большую роль особенно в атомной и ядерной физике. С помощью ее определяют как порог различных эндоэнергетических процессов, так и соответствующее им значение энергии $|Q|$.

В заключение рассмотрим пример, который, по существу, является моделью эндоэнергетического столкновения (см. также задачи 4.5 и 4.8).

Пример. На гладкой горизонтальной плоскости находятся небольшая шайба массы m и гладкая горка массы M и высоты h (рис. 65). Какую минимальную скорость необходимо сообщить шайбе, чтобы она смогла преодолеть эту горку?

Ясно, что скорость шайбы должна быть по крайней мере такой, чтобы она смогла подняться на вершину горки и далее двигаться вместе с горкой как единое целое. При этом часть кинетической энергии системы пойдет на приращение потенциальной энергии $\Delta U = mgh$. Будем рассматривать этот процесс как эндоэнергетический, где $|Q| = \Delta U$. Тогда, согласно формуле (4.25),

$$mv_{\text{пор}}^2/2 = mgh(m + M)/M,$$

откуда

$$v_{\text{пор}} = \sqrt{2(1 + m/M)gh}.$$

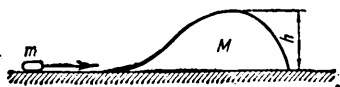


Рис. 65

§ 4.4. Движение тела с переменной массой

Имеется много случаев, когда масса тела изменяется в процессе движения за счет непрерывного отделения или присоединения вещества (ракета, реактивный самолет, платформа, нагружаемая на ходу, и др.).

Наша задача: найти уравнение движения такого тела.

Рассмотрим решение этого вопроса для материальной точки, называя ее для краткости телом. Пусть в некоторый момент времени t масса движущегося тела A равна m , а присоединяемая (или отделяемая) масса имеет скорость \mathbf{u} относительно данного тела.

Введем вспомогательную инерциальную K -систему отсчета, скорость которой такова же, как и скорость тела A в данный момент t . Это значит, что в момент t тело A покоится в K -системе.

Пусть далее за промежуток времени от t до $t + dt$ тело A приобретает в K -системе импульс $m dv$. Этот импульс тело A получит, во-первых, вследствие присоединения (отделения) массы δm , которая приносит (уносит) импульс $\delta m \cdot \mathbf{u}$, и, во-вторых, вследствие действия силы \mathbf{F} со стороны окружающих тел или силового поля. Таким образом, можно записать, что

$$m dv = \mathbf{F} dt \pm \delta m \cdot \mathbf{u},$$

где знак плюс соответствует присоединению массы, а знак минус — отделению. Оба эти случая можно объединить, представив $\pm \delta m$ в виде приращения dm массы тела A (действительно, в случае присоединения массы $dm = +\delta m$, а в случае отделения $dm = -\delta m$). Тогда предыдущее уравнение примет вид

$$m dv = \mathbf{F} dt + dm \cdot \mathbf{u},$$

Поделив это выражение на dt , получим

$$\boxed{m \frac{dv}{dt} = \mathbf{F} + \frac{dm}{dt} \mathbf{u}}, \quad (4.26)$$

где \mathbf{u} — скорость присоединяемого (или отделяемого) вещества относительно рассматриваемого тела.

Это уравнение является *основным уравнением динамики материальной точки с переменной массой*. Его называют *уравнением Мещерского*. Будучи полученным в одной инерциальной системе отсчета, это уравнение в силу принципа

относительности справедливо и в любой другой инерциальной системе. Заметим, что если система отсчета неинерциальна, то под силой F следует понимать результирующую как сил взаимодействия данного тела с окружающими телами, так и сил инерции.

Последний член уравнения (4.26) носит название *реактивной силы*: $R = (dm/dt)u$. Эта сила возникает в результате действия на данное тело присоединяемой (или отделяемой) массы. Если масса присоединяется, то $dm/dt > 0$ и вектор R совпадает по направлению с вектором u ; если же масса отделяется, то $dm/dt < 0$ и вектор R противоположен вектору u .

Уравнение Мещерского по своей форме совпадает с основным уравнением динамики материальной точки постоянной массы: слева — произведение массы тела на ускорение, справа — действующие на него силы, включая реактивную силу. Однако в случае переменной массы нельзя внести массу m под знак дифференцирования и представить левую часть уравнения как производную по времени от импульса, ибо $mdv/dt \neq d(mv)/dt$.

Обратим внимание на два частных случая.

1. Если $u = 0$, т. е. масса присоединяется или отделяется без скорости относительно тела, то $R = 0$, и уравнение (4.26) принимает вид

$$m(t) \frac{dv}{dt} = F, \quad (4.27)$$

где $m(t)$ — масса тела в данный момент времени. Это уравнение определяет, например, движение платформы, из которой свободно высыпается песок (см. задачу 4.10, пункт 1-й).

2. Если $u = -v$, т. е. присоединяемая масса неподвижна в выбранной системе отсчета или отделяемая масса становится неподвижной в этой системе, то уравнение (4.26) принимает другой вид

$$\text{или} \quad m \frac{dv}{dt} + (dm/dt) v = F, \\ d(mv)/dt = F. \quad (4.28)$$

Иначе говоря, в этом частном случае — и только этом — действие силы F определяет изменение *импульса* тела с переменной массой. Данный случай реализуется, например, при движении платформы, нагружаемой сыпучим веществом из неподвижного бункера (см. задачу 4.10, пункт 2-й).

Рассмотрим пример на применение уравнения Мещерского.

Пример. Ракета движется в инерциальной K -системе отсчета в отсутствие внешнего силового поля, причем так, что газовая струя вылетает с постоянной относительно ракеты скоростью u . Найти зависимость скорости ракеты от ее массы m , если в момент старта ее масса была равна m_0 .

В данном случае $F = 0$ и из уравнения (4.26) следует

$$dv = u dm/m.$$

Проинтегрировав это выражение с учетом начальных условий, получим

$$v = -u \ln(m_0/m), \quad (1)$$

где знак минус показывает, что вектор v (скорость ракеты) противоположен по направлению вектору u . Отсюда видно, что скорость ракеты в данном случае ($u = \text{const}$) не зависит от времени сгорания топлива: v определяется только отношением начальной массы m_0 ракеты к оставшейся массе m .

Заметим, что если бы вся масса горючего была одновременно выброшена со скоростью u относительно ракеты, то скорость последней оказалась бы иной. Действительно, если ракета вначале покоилась в выбранной инерциальной системе отсчета, а после одновременного выброса всего горючего приобрела скорость v , то из закона сохранения импульса для системы ракета — горючее следует

$$0 = mv + (m_0 - m)(u + v),$$

где $u + v$ — скорость горючего относительно данной системы отсчета. Отсюда

$$v = -u(1 - m/m_0). \quad (2)$$

Скорость ракеты v в этом случае оказывается меньше, чем в предыдущем (при одинаковых значениях отношения m_0/m). В этом нетрудно убедиться, сравнив характер зависимости v от m_0/m в обоих случаях. С ростом m_0/m в первом случае (когда вещество отделяется непрерывно) скорость v ракеты, согласно (1), растет неограниченно, во втором же (когда вещество отделяется одновременно) скорость v , согласно (2), стремится к пределу, равному $-u$.

Задачи к главе 4

●4.1. Частица движется с импульсом $p(t)$ под действием силы $F(t)$. Пусть a и b — постоянные векторы, причем $a \perp b$. Полагая, что:

1) $p(t) = a + t(1 - \alpha t)b$, где α — положительная постоянная, найти вектор F в те моменты времени, когда $F \perp p$;

2) $F(t) = a + 2t/b$ и $p(0) = p_0$, где p_0 — вектор, противоположный по направлению вектору a , найти вектор p в момент t_0 , когда он окажется повернутым на 90° по отношению к вектору p_0 .

Решение. 1. Сила $F = dp/dt = (1 - 2\alpha t)b$, т. е. вектор F все время перпендикулярен вектору a . Следовательно, вектор F будет перпендикулярен вектору p в те моменты, когда коэффициент при b в выражении для $p(t)$ обращается в нуль. Отсюда $t_1 = 0$ и $t_2 = 1/\alpha$; соответствующие значения вектора F равны:

$$F_1 = b, \quad F_2 = -b.$$

2. Приращение вектора \mathbf{p} за промежуток времени dt есть $d\mathbf{p} = Fdt$. Интегрируя это уравнение с учетом начальных условий, находим

$$\mathbf{p} - \mathbf{p}_0 = \int_0^t F dt = at + bt^2,$$

где, по условию, \mathbf{p}_0 противоположен вектору \mathbf{a} . Вектор \mathbf{p} окажется перпендикулярным вектору \mathbf{p}_0 в момент t_0 , когда $at_0 = p_0$. В этот момент $\mathbf{p} = (p_0/a)^2 \mathbf{b}$.

●4.2. Через блок (рис. 66) перекинут шнур, на одном конце которого находится лестница с человеком A , а на другом — уравновешивающий груз массы M . Человек, масса которого m , совершил вверх перемещение $\Delta r'$ относительно лестницы и затем остановился. Пренебрегая массами блока и шнура, а также трением в оси блока, найти перемещение центра инерции этой системы.

Решение. Сначала все тела системы покоились, поэтому приращение импульсов тел при движении равно самим импульсам. Силы натяжения шнура слева и справа одинаковы, а следовательно импульсы груза (\mathbf{p}_1) и лестницы с человеком (\mathbf{p}_2) в каждый момент времени будут равны между собой, т. е. $\mathbf{p}_1 = \mathbf{p}_2$, или

$$M\mathbf{v}_1 = m\mathbf{v} + (M - m)\mathbf{v}_2,$$

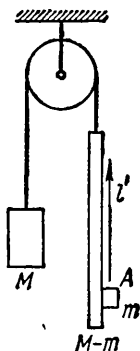


Рис. 66

где \mathbf{v}_1 , \mathbf{v} и \mathbf{v}_2 — скорости груза, человека и лестницы. Учитывая, что $\mathbf{v}_2 = -\mathbf{v}_1$ и $\mathbf{v} = \mathbf{v}_2 + \mathbf{v}'$, где \mathbf{v}' — скорость человека относительно лестницы, получим

$$\mathbf{v}_1 = (m/2M)\mathbf{v}'. \quad (1)$$

С другой стороны, импульс всей системы

$$\mathbf{p} = \mathbf{p}_1 + \mathbf{p}_2 = 2\mathbf{p}_1, \quad \text{или} \quad 2M\mathbf{V}_C = 2M\mathbf{v}_1,$$

где \mathbf{V}_C — скорость центра инерции системы. Отсюда с учетом (1) найдем

$$\mathbf{V}_C = \mathbf{v}_1 = (m/2M)\mathbf{v}'.$$

И наконец, искомое перемещение

$$\Delta r_C = \int \mathbf{V}_C dt = (m/2M) \int \mathbf{v}' dt = (m/2M)\Delta r'.$$

Другой способ решения основан на свойстве центра инерции. В системе отсчета, связанной с осью блока, положение центра инерции данной системы характеризуется радиусом-вектором

$$\mathbf{r}_C = [M\mathbf{r}_1 + (M - m)\mathbf{r}_2 + m\mathbf{r}_3]/2M,$$

где \mathbf{r}_1 , \mathbf{r}_2 и \mathbf{r}_3 — радиусы-векторы центров инерции груза M , лестницы и человека относительно некоторой точки O данной системы отсчета. Отсюда перемещение центра инерции Δr_C равно

$$\Delta r_C = [M\Delta r_1 + (M - m)\Delta r_2 + m\Delta r_3]/2M,$$

где Δr_1 , Δr_2 и Δr_3 — перемещения груза M , лестницы и человека относительно данной системы отсчета. Имея в виду, что $\Delta r_1 = -\Delta r_2$ и $\Delta r_3 = \Delta r_2 + \Delta r'$, получим в результате

$$\Delta r_C = (m/2M)\Delta r'.$$

● 4.3. Система состоит из двух шариков с массами m_1 и m_2 , которые соединены между собой невесомой пружинкой. Шарикам сообщили скорости v_1 и v_2 , как показано на рис. 67, после чего система начала двигаться в однородном поле сил тяжести Земли. Пренебрегая сопротивлением воздуха и считая, что в начальный момент пружинка не деформирована, найти:

- 1) скорость $V_C(t)$ центра инерции этой системы в зависимости от времени;
- 2) внутреннюю механическую энергию системы в процессе движения.

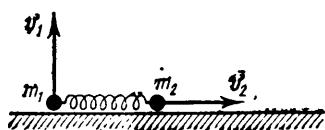


Рис. 67

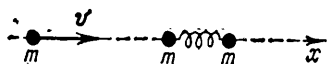


Рис. 68

Решение 1. Приращение вектора скорости центра инерции, согласно (4.11), есть $dV_C = gdt$. Проинтегрировав это уравнение, получим $V_C(t) - V_C(0) = gt$, где $V_C(0)$ — начальная скорость центра инерции. Отсюда

$$V_C(t) = (m_1 v_1 + m_2 v_2)/(m_1 + m_2) + gt.$$

2. Внутренняя механическая энергия системы — это ее энергия \tilde{E} в \mathcal{C} -системе. В данном случае \mathcal{C} -система движется с ускорением g , поэтому в этой системе отсчета на каждый шарик действуют две внешние силы: сила тяжести $m_i g$ и сила инерции, равная $-m_i g$. Ясно, что суммарная работа этих внешних сил равна нулю (в \mathcal{C} -системе), а следовательно энергия \tilde{E} меняться не будет. Чтобы ее найти, достаточно рассмотреть начальный момент времени, когда пружина еще не деформирована и энергия \tilde{E} равна только кинетической энергии \tilde{T}_0 в \mathcal{C} -системе. Воспользовавшись формулой (4.16), получим

$$\tilde{E} = \tilde{T}_0 = \frac{\mu}{2} (v_1 - v_2)^2 = \frac{m_1 m_2}{2(m_1 + m_2)} (v_1^2 + v_2^2).$$

● 4.4. Шарик с кинетической энергией T , испытав лобовое соударение с первоначально покоившейся упругой гантелью (рис. 68), отлетел в противоположном направлении с кинетической энергией T' . Массы всех трех шариков одинаковы. Найти энергию колебаний гантели после удара.

Решение. Пусть p и p' — импульсы налетающего шарика до и после удара, а p'_C и T'_C — импульс и кинетическая энергия ган-

тели как целого после удара, E — энергия колебаний. Согласно законам сохранения импульса и энергии,

$$p = -p' + p'_C, \quad T = T' + T'_C + E.$$

Из этих двух уравнений с учетом того, что $T = p^2/2m$, получим

$$E = (T - 3T' - 2\sqrt{TT'})/2.$$

●4.5. В K -системе частица 1 массы m_1 налетает на покоящуюся частицу 2 массы m_2 . Заряд каждой частицы равен $+q$. Найти минимальное расстояние, на которое они сблизятся при лобовом соударении, если кинетическая энергия частицы 1 вдали от частицы 2 равна T_1 .

Решение. Рассмотрим этот процесс как в K -, так и в C -системе.

1. В K -системе в момент наибольшего сближения обе частицы будут двигаться как единое целое со скоростью v , которую можно определить на основании закона сохранения импульса:

$$p_1 = (m_1 + m_2)v,$$

где p_1 — импульс налетающей частицы, $p_1 = \sqrt{2m_1T_1}$. С другой стороны, из закона сохранения энергии следует

$$T_1 = (m_1 + m_2)v^2/2 + \Delta U,$$

где приращение потенциальной энергии системы $\Delta U = kq^2/r_{\text{мин}}$. Исключив v из этих двух уравнений, найдем

$$r_{\text{мин}} = (kq^2/T_1)(1 + m_1/m_2).$$

2. В C -системе решение наиболее просто: здесь суммарная кинетическая энергия частиц идет целиком на приращение потенциальной энергии системы в момент наибольшего сближения:

$$\tilde{T} = \Delta U,$$

где, согласно (4.16), $\tilde{T} = \mu v_1^2/2 = T_1 m_2 / (m_1 + m_2)$, $\Delta U = kq^2/r_{\text{мин}}$. Отсюда легко найти $r_{\text{мин}}$.

●4.6. Частица массы m_1 с импульсом p_1 испытала упругое столкновение с покоившейся частицей массы m_2 . Найти импульс p'_1 первой частицы после столкновения, в результате которого она рассеялась под углом φ к первоначальному направлению движения.

Решение. Из закона сохранения импульса (рис. 69) найдем

$$p_2'^2 = p_1^2 + p_1'^2 - 2p_1 p_1' \cos \varphi, \quad (1)$$

где p_2' — импульс второй частицы после столкновения.

С другой стороны, из закона сохранения энергии следует, что $T_1 = T_1' + T_2'$, где T_1' и T_2' — кинетические энергии первой и вто-

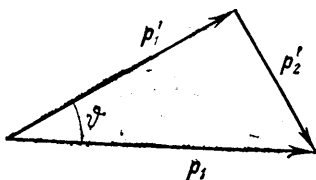


Рис. 69

рой частиц после столкновения. Преобразуем это равенство с помощью соотношения $T = p^2/2m$ к виду

$$p_2'^2 = (p_1^2 - p_1'^2) m_2/m_1. \quad (2)$$

Исключив $p_2'^2$ из (1) и (2), получим

$$p_1' = p_1 \frac{\cos \vartheta \pm \sqrt{\cos^2 \vartheta + (m_2^2/m_1^2 - 1)}}{1 + m_2/m_1}.$$

Если $m_1 < m_2$, то физический смысл имеет только знак плюс перед корнем. Это следует из того, что при этом условии корень будет больше, чем $\cos \vartheta$, а так как p_1' — это модуль, то, естественно, он не может быть отрицательным.

Если же $m_1 > m_2$, то физический смысл имеют оба знака перед корнем — ответ в этом случае получается неоднозначным: под

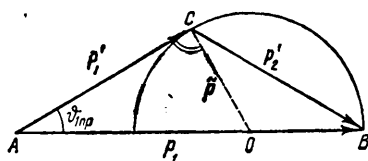


Рис. 70

углом ϑ импульс рассеянной частицы может иметь одно из двух значений (это зависит от относительного расположения частиц в момент соударения). Последний случай соответствует векторной диаграмме, показанной на рис. 63, в.

● 4.7. Какую часть η своей кинетической энергии теряет частица массы m_1 при упругом рассеянии под предельным углом на покоящейся частице массы m_2 , где $m_1 > m_2$?

Решение. Пусть T_1 , p_1 и T_1' , p_1' — значения кинетической энергии и импульса налетающей частицы до и после рассеяния, тогда

$$\eta = (T_1 - T_1')/T_1 = 1 - T_1'/T_1 = 1 - (p_1'/p_1)^2, \quad (1)$$

т. е. задача сводится к нахождению p_1'/p_1 .

Воспользуемся векторной диаграммой импульсов, соответствующей предельному углу ϑ_{1np} (рис. 70). Из прямоугольного треугольника ACO , следует, что

$$p_1'^2 = (p_1 - \tilde{p})^2 - \tilde{p}^2 = p_1^2 - 2p_1\tilde{p},$$

откуда

$$(p_1'/p_1)^2 = 1 - 2\tilde{p}/p_1 = 1 - 2m_2/(m_1 + m_2). \quad (2)$$

После подстановки (2) в (1) получим

$$\eta = 2m_2/(m_1 + m_2).$$

● 4.8. Атом массы m_1 испытал неупругое соударение с покоящейся молекулой массы m_2 . После соударения обе частицы разлетелись под углом θ друг к другу с кинетическими энергиями T_1' и T_2' соответственно, причем молекула оказалась в возбужденном состоянии — ее внутренняя энергия увеличилась на определенную величину Q . Найти Q , а также пороговую кинетическую энергию атома, при которой возможен переход молекулы в данное возбужденное состояние.

Решение. Из законов сохранения энергии и импульса в этом процессе следует

$$\begin{aligned} T_1 &= T_1' + T_2' + Q, \\ p_1^2 &= p_1'^2 + p_2'^2 + 2p_1' p_2' \cos \theta, \end{aligned}$$

где штрихами отмечены величины после соударения (второе соотношение сразу следует из треугольника импульсов согласно теореме косинусов). Воспользовавшись формулой $p^2 = 2mT$, исключим T_1 из этих уравнений. В результате получим

$$Q = (m_2/m_1 - 1)T'_2 + 2\sqrt{(m_2/m_1)T'_1T'_2} \cos \theta$$

и

$$T_{\text{пор}} = |Q| (m_1 + m_2)/m_2.$$

● 4.9. Частица с импульсом p_0 (в K -системе) распалась на легу на две частицы с массами m_1 и m_2 . При этом выделилась энергия Q — энергия распада (она перешла в кинетическую энергию). По-

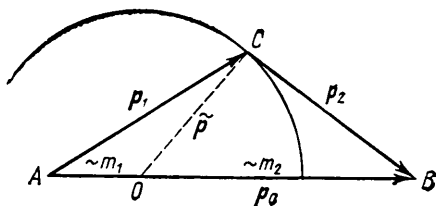


Рис. 71

строить векторную диаграмму импульсов для этого процесса и найти с помощью нее возможные импульсы p_1 и p_2 возникших частиц.

Решение. Наиболее просто этот процесс выглядит в C -системе: здесь распадающаяся частица покоится, а частицы распада разделяются в противоположные стороны с одинаковыми по модулю импульсами $\tilde{p}_1 = \tilde{p}_2 = \tilde{p}$. Энергия распада Q переходит целиком в суммарную кинетическую энергию \tilde{T} возникающих частиц. Поэтому

$$\tilde{p} = \sqrt{2\mu\tilde{T}} = \sqrt{2\mu Q},$$

где μ — приведенная масса возникших частиц.

Теперь найдем импульсы этих частиц в K -системе. Воспользовавшись формулой преобразования скоростей при переходе от C - к K -системе, запишем:

$$p_1 = m_1 v_1 = m_1 (V_C + \tilde{v}_1) = m_1 V_C + \tilde{p}_1,$$

$$p_2 = m_2 v_2 = m_2 (V_C + \tilde{v}_2) = m_2 V_C + \tilde{p}_2,$$

причем согласно закону сохранения импульса $p_1 + p_2 = p_0$.

С помощью этих формул построим векторную диаграмму импульсов (рис. 71). Изобразим сначала отрезок AB , равный импульсу p_0 . Затем радиусом \tilde{p} проведем окружность с центром в точке O , которая делит отрезок AB на две части в отношении $m_1 : m_2$. Эта окружность и есть геометрическое место точек всех возможных положений вершины C треугольника импульсов ABC .

● 4.10. Платформа в момент $t = 0$ начинает двигаться под действием постоянной силы тяги F . Пренебрегая трением в осях, найти зависимость от времени скорости платформы, если:

1) она нагружена песком, который высыпается через отверстие в дне с постоянной скоростью μ , кг/с, а в момент $t = 0$ масса платформы с песком равна m_0 ;

2) на платформу, масса которой m_0 , в момент $t = 0$ начинает высыпаться песок из неподвижного бункера так, что скорость погрузки постоянна и равна μ , кг/с.

Решение 1. В этом случае реактивная сила равна нулю и уравнение Мещерского (4.26) имеет вид

$$(m_0 - \mu t)dv/dt = F,$$

откуда

$$dv = Fdt/(m_0 - \mu t).$$

Принтегрировав это выражение с учетом начальных условий, получим

$$v = (F/\mu)\ln [m_0/(m_0 - \mu t)].$$

2. В данном случае горизонтальная составляющая реактивной силы (а только эта составляющая нас и интересует) $R = \mu(-v)$, где v — скорость платформы. Поэтому уравнение Мещерского приводится к форме (4.28), или

$$d(mv) = Fdt.$$

Принтегрировав это уравнение с учетом начальных условий, получим

$$mv = Ft,$$

где $m = m_0 + \mu t$. Отсюда

$$v = Ft/(m_0 + \mu t).$$

Полученные в обоих случаях выражения справедливы, разумеется, лишь в процессе разгрузки (или погрузки) платформы.

●4.11. Космический корабль массы m_0 движется в отсутствие внешнего силового поля с постоянной скоростью v_0 . Для изменения направления движения был включен реактивный двигатель, который стал выбрасывать струю газа с постоянной относительно корабля скоростью u , причем вектор u все время перпендикулярен направлению движения корабля. В конце работы двигателя масса корабля стала равной m . Найти угол, на который изменилось направление движения корабля за время работы двигателя.

Решение. Найдем приращение вектора скорости корабля за промежуток времени dt . Умножив обе части уравнения Мещерского (4.26) на dt и учитывая, что $F = 0$, получим

$$dv = u dm/m.$$

Здесь $dm < 0$. Так как вектор u все время перпендикулярен вектору v (скорости корабля), то модуль вектора v не меняется и остается равным первоначальной величине: $|v| = |v_0| = v_0$. Отсюда следует, что угол поворота $d\alpha$ вектора v за время dt равен

$$d\alpha = |dv|/v_0 = (u/v_0) |dm/m|.$$

Принтегрировав это уравнение, найдем

$$\alpha = (u/v_0)\ln (m_0/m).$$

ГЛАВА 5
ЗАКОН СОХРАНЕНИЯ МОМЕНТА
ИМПУЛЬСА

§ 5.1. Момент импульса частицы.
Момент силы

Анализ поведения систем показывает, что кроме энергии и импульса существует еще одна механическая величина, с которой также связан закон сохранения, — это так называемый *момент импульса**. Что это за величина и каковы ее свойства?

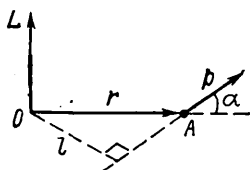


Рис. 72

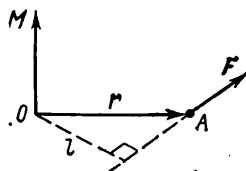


Рис. 73

Сначала возьмем одну частицу. Пусть r — радиус-вектор, характеризующий ее положение относительно некоторой точки O выбранной системы отсчета, а p — ее импульс в этой системе. Моментом импульса частицы A относительно точки O (рис. 72) называют вектор L , равный векторному произведению векторов r и p :

$$\boxed{L = [rp]} \quad (5.1)$$

Из этого определения следует, что L является аксиальным вектором. Его направление выбрано так, что вращение вокруг точки O в направлении вектора p и вектор L образуют правовинтовую систему. Модуль вектора L равен

$$L = rp \sin \alpha = lp, \quad (5.2)$$

где α — угол между r и p , $l = r \sin \alpha$ — плечо вектора p относительно точки O (рис. 72).

Уравнение моментов. Выясним какая механическая величина ответственна за изменение вектора L в данной

* Используют также названия *момент количества движения*, *вращательный момент*, *угловой момент*, или просто *момент*.

системе отсчета. Для этого продифференцируем (5.1) по времени:

$$dL/dt = [dr/dt, p] + [r, dp/dt].$$

Так как точка O неподвижна, то вектор dr/dt равен скорости v частицы, т. е. совпадает по направлению с вектором p , поэтому

$$[dr/dt, p] = 0.$$

Далее, согласно второму закону Ньютона, $dp/dt = F$, где F — равнодействующая всех сил, приложенных к частице. Следовательно,

$$dL/dt = [rF].$$

Величину, стоящую в правой части этого уравнения, называют *моментом силы* F относительно точки O (рис. 73). Обозначив ее буквой M , запишем

$$\boxed{M = [rF].} \quad (5.3)$$

Вектор M , как и L , является аксиальным. Модуль этого вектора, аналогично (5.2), равен

$$M = lF, \quad (5.4)$$

где l — плечо вектора F относительно точки O (рис. 73).

Итак, производная по времени от момента импульса L частицы относительно некоторой точки O выбранной системы отсчета равна моменту M равнодействующей силы F относительно той же точки O :

$$\boxed{dL/dt = M.} \quad (5.5)$$

Это уравнение называют *уравнением моментов*. Заметим, что если система отсчета является неинерциальной, то момент силы M включает в себя как момент сил взаимодействия, так и момент сил инерции (относительно той же точки O).

Из уравнения моментов (5.5), в частности, следует, что если $M \equiv 0$, то $L = \text{const}$. Другими словами, если относительно некоторой точки O выбранной системы отсчета момент всех сил, действующих на частицу, равен нулю в течение интересующего нас промежутка времени, то относительно этой точки момент импульса частицы остается постоянным в течение этого времени.

Пример 1. Некоторая планета A движется в поле тяготения Солнца S (рис. 74). Относительно какой точки гелиоцентрической системы отсчета момент импульса данной планеты будет сохраняться во времени?

Для ответа на этот вопрос прежде всего необходимо установить, какие силы действуют на планету A . В данном случае это только сила тяготения F со стороны Солнца. Так как при движении планеты направление этой силы все время проходит через центр Солнца, то последний и является той точкой, относительно которой момент силы все время равен нулю и момент импульса планеты будет оставаться постоянным. Импульс же p планеты при этом будет меняться.

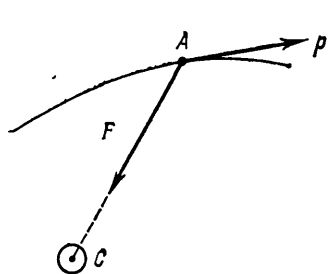


Рис. 74

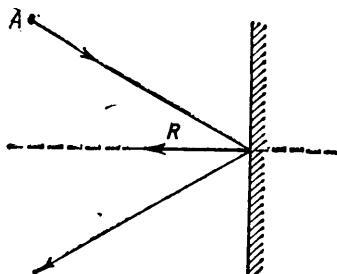


Рис. 75

Пример 2. Шайба A , двигаясь по гладкой горизонтальной плоскости, упруго отскакивает от гладкой вертикальной стенки (рис. 75, вид сверху). Найти точку, относительно которой момент импульса шайбы будет оставаться постоянным в этом процессе.

На шайбу действуют сила тяжести, сила реакции со стороны горизонтальной плоскости, сила реакции R со стороны стенки в момент удара о нее. Первые две силы уравновешивают друг друга, остается сила R . Ее момент равен нулю относительно любой точки, лежащей на линии действия вектора R , а значит, относительно любой из этих точек момент импульса шайбы будет оставаться постоянным в данном процессе.

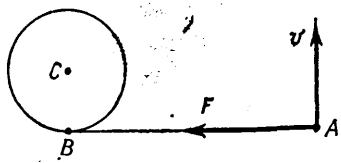


Рис. 76

Пример 3. На горизонтальной гладкой плоскости находятся неподвижный вертикальный цилиндр и шайба A , соединенная с цилиндром нитью AB (рис. 76, вид сверху). Шайбе сообщили начальную скорость v , как показано на этом рисунке. Есть ли здесь точка, относительно которой момент импульса шайбы будет оставаться постоянным в процессе движения?

В данном случае единственная некомпенсированная сила, действующая на шайбу A , — это сила натяжения F со стороны нити. Нетрудно видеть, что точки, относительно которой момент силы F в процессе движения был бы все время равен нулю, здесь нет. А следовательно, нет и точки, относительно которой момент импульса шайбы оставался бы постоянным.

Этот пример показывает, что не всегда существует точка, относительно которой момент импульса частицы оставался бы постоянным.

Уравнение моментов (5.5) позволяет получить ответ на два вопроса:

1) найти момент силы M относительно интересующей нас точки O в любой момент времени t , если известна зависимость от времени момента импульса $L(t)$ частицы относительно той же точки;

2) определить приращение момента импульса частицы относительно точки O за любой промежуток времени, если известна зависимость от времени момента силы $M(t)$, действующего на эту частицу (относительно той же точки O).

Решение первого вопроса сводится к нахождению производной по времени от момента импульса, т. е. dL/dt , которая и равна, согласно (5.5), искомому моменту силы M .

Решение же второго вопроса сводится к интегрированию уравнения (5.5). Умножив обе части этого уравнения на dt , получим $dL = Mdt$ — выражение, которое определяет элементарное приращение вектора L . Проинтегрировав это выражение по времени, найдем приращение вектора L за конечный промежуток времени t :

$$L_2 - L_1 = \int_0^t Mdt. \quad (5.6)$$

Величину, стоящую в правой части этого уравнения, называют *импульсом момента силы*. Таким образом, приращение момента импульса частицы за любой промежуток времени равно импульсу момента силы за это же время.

Рассмотрим два примера.

Пример 1. Момент импульса частицы относительно некоторой точки меняется со временем t по закону $L(t) = a + bt^2$, где a и b — некоторые постоянные векторы, причем $a \perp b$. Найти момент силы M , действующий на частицу, когда угол между векторами M и L окажется равным 45° .

Согласно (5.5), $M = dL/dt = 2bt$, т. е. вектор M все время совпадает по направлению с вектором b . Изобразим векторы M и L в некоторый момент t (рис. 77). Из этого рисунка видно, что угол $\alpha = 45^\circ$ в момент t_0 , когда $a = bt_0^2$. Отсюда $t_0 = \sqrt{a/b}$ и $M = 2\sqrt{ab} \cdot b$.

Пример 2. Камень A массы m бросили под углом к горизонту с начальной скоростью v_0 . Пренебрегая сопротивлением воздуха, найти зависимость от времени момента импульса камня $L(t)$ относительно точки бросания O (рис. 78).

За промежуток времени dt момент импульса камня относительно точки O получит приращение $dL = Mdt = [r, mg]dt$. Так как $r = v_0t + gt^2/2$ (см. с. 12), то $dL = [v_0, mg]tdt$. Проинтегрировав это выражение с учетом того, что в момент $t = 0$ $L(0) = 0$, получим $L(t) = [v_0, mg]t^2/2$. Отсюда видно, что направление вектора L остается неизменным в процессе движения (вектор L направлен за плоскость, рис. 78).

Момент импульса и момент силы относительно оси. Возьмем в интересующей нас системе отсчета произвольную неподвижную ось z . Пусть относительно некоторой точки O на оси z момент импульса частицы A равен L , а момент силы, действующий на частицу, M .

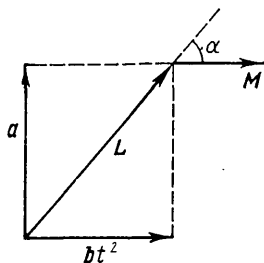


Рис. 77

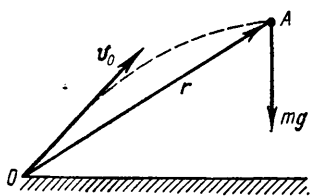


Рис. 78

Моментом импульса относительно оси z называют проекцию на эту ось вектора L , определенного относительно произвольной точки O данной оси (рис. 79). Аналогично вводят и понятие момента силы относительно оси. Их обозначают соответственно L_z и M_z . Далее мы увидим, что L_z и M_z не зависят от выбора точки O на оси z .

Выясним свойства этих величин. Спроектировав (5.5) на ось z , получим

$$dL_z/dt = M_z, \quad (5.7)$$

т. е. производная по времени от момента импульса частицы относительно оси z равна моменту силы относительно этой

оси. В частности, если $M_z \equiv 0$, то $L_z = \text{const}$. Другими словами, если момент силы относительно некоторой неподвижной оси z равен нулю, то момент импульса частицы относительно этой оси остается постоянным. При этом сам вектор L может и меняться.

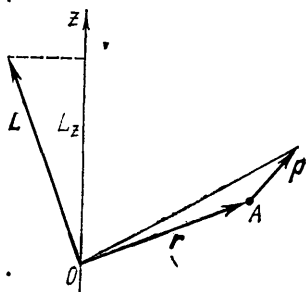


Рис. 79

Пример. Небольшое тело массы m , подвешенное на нити, равномерно движется по горизонтальной окружности (рис. 80) под действием силы тяжести mg и силы натяжения T со стороны нити. Относительно точки O момент импульса тела — вектор L — находится

в одной плоскости с осью z и нитью, и при движении тела вектор L под действием момента M силы тяжести все время поворачивается, т. е. меняется. Проекция же L_z остается при этом постоянной, так как вектор M перпендикулярен оси z и $M_z = 0$.

Найдем теперь аналитические выражения для L_z и M_z . Нетрудно видеть, что эта задача сводится к нахождению проекций на ось z векторных произведений $[r\dot{p}]$ и $[rF]$.

Воспользуемся цилиндрической системой координат ρ, φ, z , связав с частицей A (рис. 81) орты e_ρ, e_φ, e_z , на-

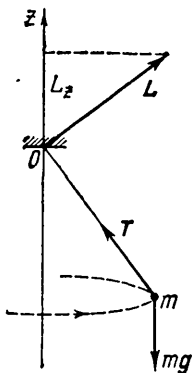


Рис. 80

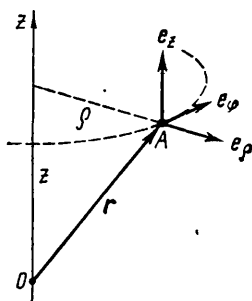


Рис. 81

правленные в сторону возрастания соответствующих координат. В этой системе координат радиус-вектор r и импульс p частицы записывают так:

$$r = \rho e_\rho + z e_z, \quad p = p_\rho e_\rho + p_\varphi e_\varphi + p_z e_z,$$

где p_ρ, p_φ, p_z — проекции вектора p на соответствующие орты. Из векторной алгебры известно, что векторное произведение $[r\dot{p}]$ можно представить определителем

$$L = [r\dot{p}] = \begin{vmatrix} e_\rho & e_\varphi & e_z \\ \rho & 0 & z \\ p_\rho & p_\varphi & p_z \end{vmatrix}.$$

Отсюда сразу видно, что момент импульса частицы относительно оси z

$$L_z = \rho p_\varphi, \quad (5.8)$$

где ρ — расстояние частицы от оси z . Преобразуем это выражение к виду, более удобному для практических при-

менений. Имея в виду, что $\rho_\varphi = m v_\varphi = m r \omega_z$, получим

$$L_z = m r^2 \omega_z, \quad (5.9)$$

где ω_z — проекция угловой скорости ω , с которой поворачивается радиус-вектор частицы.

Аналогично (5.8) записывается и момент силы относительно оси z :

$$M_z = \rho F_\varphi, \quad (5.10)$$

где F_φ — проекция вектора силы F на орт e_φ .

Обратим внимание, что проекции L_z и M_z действительно не зависят от выбора точки O на оси z , относительно которой определены векторы L и M . Кроме того, видно, что L_z и M_z — величины алгебраические, их знаки соответствуют знакам проекций ρ_φ и F_φ .

§ 5.2. Закон сохранения момента импульса

Выберем произвольную систему частиц. Введем понятие момента импульса данной системы как векторную сумму моментов импульсов ее отдельных частиц:

$$L = \Sigma L_i, \quad (5.11)$$

где все векторы определены относительно одной и той же точки O заданной системы отсчета. Заметим, что момент импульса системы — величина *аддитивная*: момент импульса системы равен сумме моментов импульсов ее отдельных частей независимо от того, взаимодействуют они между собой или нет.

Выясним, какая величина определяет изменение момента импульса системы. Для этого продифференцируем (5.11) по времени: $dL/dt = \Sigma dL_i/dt$. В предыдущем параграфе было показано, что производная dL_i/dt равна моменту всех сил, действующих на i -ю частицу. Представим этот момент в виде суммы моментов внутренних и внешних сил, т. е. $M'_i + M_i$. Тогда

$$dL/dt = \Sigma M'_i + \Sigma M_i.$$

Здесь первая сумма — это суммарный момент всех внутренних сил относительно точки O , вторая сумма — суммарный момент всех внешних сил относительно той же точки O .

Покажем, что *суммарный момент всех внутренних сил относительно любой точки равен нулю*. Действительно, внутренние силы — это силы взаимодействия между частицами данной системы. По третьему закону Ньютона, эти

силы попарно одинаковы по модулю, противоположны по направлению и лежат на одной прямой, т. е. имеют одинаковое плечо. Поэтому моменты сил каждой пары взаимодействия равны по модулю и противоположны по направлению, т. е. уравнивают друг друга, и, значит, суммарный момент всех внутренних сил всегда равен нулю.

В результате последнее уравнение принимает вид

$$\boxed{dL/dt = M,} \quad (5.12)$$

где M — суммарный момент всех *внешних* сил, $M = \sum M_i$.

Уравнение (5.12) утверждает: *производная момента импульса системы по времени равна суммарному моменту всех внешних сил*. Разумеется, оба момента, L и M , здесь определены относительно одной и той же точки O заданной системы отсчета.

Как и в случае одной частицы, из уравнения (5.12) следует, что приращение момента импульса системы за конечный промежуток времени t

$$\boxed{L_2 - L_1 = \int_0^t M dt,} \quad (5.13)$$

т. е. приращение момента импульса системы равно импульсу суммарного момента всех внешних сил за соответствующий промежуток времени. И здесь, конечно, оба момента, L и M , определены относительно одной и той же точки O выбранной системы отсчета.

Уравнения (5.12) и (5.13) справедливы как в инерциальной, так и в неинерциальной системах отсчета. Только в неинерциальной системе отсчета нужно учитывать и действие сил инерции, играющих роль внешних сил, т. е. под M в этих уравнениях следует понимать сумму $M_{вз} + M_{ин}$, где $M_{вз}$ — суммарный момент внешних сил взаимодействия, $M_{ин}$ — суммарный момент сил инерции (относительно одной и той же точки O системы отсчета).

Итак, мы пришли к важному выводу: согласно уравнению (5.12), *момент импульса системы может изменяться под действием только суммарного момента всех внешних сил*. Отсюда непосредственно вытекает и другой важный вывод — закон сохранения момента импульса:

в инерциальной системе отсчета момент импульса замкнутой системы частиц остается постоянным, т. е.

не меняется со временем. Причем это справедливо для момента импульса, взятого относительно *любой* точки инерциальной системы отсчета.

Таким образом, в инерциальной системе отсчета момент импульса замкнутой системы частиц

$$\boxed{L = \sum L_i(t) = \text{const.}} \quad (5.14)$$

При этом моменты импульса отдельных частей или частиц замкнутой системы могут изменяться со временем, что и подчеркнуто в последнем выражении. Однако эти изменения всегда происходят так, что приращение момента импульса одной части системы равно убыли момента импульса ее другой части (конечно, относительно одной и той же точки системы отсчета).

В этом смысле уравнения (5.12) и (5.13) можно рассматривать как более общую формулировку закона сохранения момента импульса, формулировку, в которой указана и *причина* изменения момента импульса интересующей нас системы — действие других тел (через момент внешних сил взаимодействия). Сказанное, разумеется, справедливо только по отношению к инерциальным системам отсчета.

Подчеркнем еще раз: закон сохранения момента импульса имеет место только по отношению к инерциальным системам отсчета. Однако это не исключает случаев, когда момент импульса системы сохраняется и в неинерциальных системах отсчета. Для этого достаточно, чтобы согласно уравнению (5.12) — а оно справедливо и в неинерциальных системах отсчета — суммарный момент всех внешних сил (включая и силы инерции) был равен нулю. Такие ситуации реализуются довольно редко и соответствующие случаи имеют весьма частный характер.

Закон сохранения момента импульса играет такую же важную роль, как и законы сохранения энергии и импульса. Уже сам по себе он позволяет сделать во многих случаях ряд существенных заключений о свойствах тех или иных процессов, совершенно не вникая в их детальное рассмотрение. Проиллюстрируем сказанное на таком примере.

Пример. Два одинаковых шара насажены на гладкий горизонтальный стержень, по которому они могут скользить (рис. 82). Шары сближают и соединяют нитью. Затем всю установку приводят во вращение вокруг вертикальной оси, предоставляют ее самой себе и пережигают нить. Шары, естественно, разлетаются к концам стержня. Угловая же скорость установки при этом резко уменьшается.

Наблюдаемый эффект является прямым следствием закона сохранения момента импульса, ибо данная установка ведет себя, по существу, как замкнутая (внешние силы компенсируют друг друга, силы трения в оси малы). Для количественной оценки изменения угловой скорости будем считать, что масса всей установки практически сосредоточена в шарах, а их размеры пренебрежимо малы. Тогда из равенства моментов импульса шаров относительно точки C в начальном и конечном состояниях системы $2m[r_1v_1] = 2m[r_2v_2]$ следует

$$r_1^2\omega_1 = r_2^2\omega_2.$$

Отсюда видно, что с увеличением расстояния r шаров от оси вращения угловая скорость установки уменьшается (как $1/r^2$). И наоборот, если бы расстояние между шарами уменьшалось (под действием

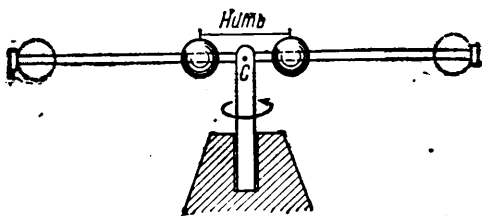


Рис. 82

каких-либо внутренних сил), угловая скорость установки увеличилась бы. Этот эффект имеет общий характер, и его широко используют, например, фигуристы и гимнасты.

Обратим внимание на тот факт, что конечный результат совершенно не зависит от характера внутренних сил (здесь — это силы трения между шарами и стержнем).

Особый интерес представляют случаи, когда момент импульса L сохраняется для незамкнутых систем, у которых, как известно, импульс p меняется со временем. Если относительно некоторой точки O выбранной системы отсчета, суммарный момент внешних сил $M \equiv 0$ в течение интересующего нас промежутка времени, то, согласно (5.12), момент импульса системы относительно точки O сохраняется за это время. В незамкнутых системах такой точки, вообще говоря, может и не быть, что следует прежде всего выяснить для каждого конкретного случая.

Пример 1. Система Земля — Луна, движущаяся в поле тяготения Солнца, является незамкнутой. Ее импульс все время меняется под действием сил тяготения. Здесь, однако, имеется одна точка, относительно которой момент сил тяготения, действующий на данную систему, все время равен нулю, — это центр Солнца. Поэтому можно сразу утверждать, что момент импульса системы Земля — Луна относительно центра Солнца остается постоянным.

Пример 2. На гладкой горизонтальной плоскости лежит стержень OB , который может свободно вращаться вокруг неподвижной вертикальной оси, проходящей через его конец O (рис. 83). В конце B стержня попадает, застревая, шайба A , скользящая по плоскости, и далее вся система начинает вращаться как единое целое вокруг точки O .

Ясно, что система шайба — стержень незамкнутая: кроме сил, уравнивающих друг друга в вертикальном направлении, со стороны оси в процессе удара будет действовать горизонтальная сила, а после того, как стержень начнет вращаться, возникает еще одна сила со стороны оси, благодаря которой центр инерции системы будет двигаться по окружности. Но обе силы проходят через точку O , а следовательно момент этих внешних сил относительно точки O все время равен нулю. Отсюда вывод: момент импульса данной системы будет оставаться постоянным относительно точки O .

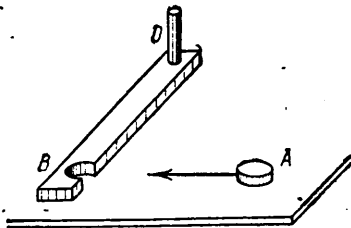


Рис. 83

В более ограниченном случае у незамкнутых систем может сохраняться не сам момент импульса L , а его проекция на некоторую неподвижную ось z . Это бывает тогда, когда проекция суммарного момента M всех внешних сил на эту ось z равна нулю. В самом деле, спроектировав уравнение (5.12) на ось z , получим

$$dL_z/dt = M_z. \quad (5.15)$$

Здесь L_z и M_z — момент импульса и суммарный момент внешних сил относительно оси z :

$$L_z = \sum L_{iz}, \quad M_z = \sum M_{iz}, \quad (5.16)$$

где L_{iz} и M_{iz} — момент импульса и момент внешних сил относительно оси z для i -й частицы системы.

Из уравнения (5.15) следует, что если относительно некоторой неподвижной в данной системе отсчета оси z проекция $M_z \equiv 0$, то момент импульса системы относительно этой оси сохраняется:

$$L_z = \sum L_{iz}(t) = \text{const}. \quad (5.17)$$

При этом сам вектор L , определенный относительно произвольной точки O на этой оси, может меняться. Например, если система движется в однородном поле тяжести, то суммарный момент всех сил тяжести относительно любой

неподвижной точки O перпендикулярен вертикали, а значит, относительно любой вертикальной оси $M_z \equiv 0$ и $L_z = \text{const}$, чего нельзя сказать о векторе L .

Рассуждения, которые приводят к закону сохранения момента импульса, целиком опираются на справедливость законов Ньютона. А как обстоит дело в системах, не подчиняющихся этим законам, например в системах с электромагнитным излучением, в атомах, ядрах и др.?

Учитывая громадную роль, которую играет закон сохранения момента импульса в механике, в физике понятие момента импульса расширяют на немеханические системы (которые не подчиняются законам Ньютона) и постулируют закон сохранения момента импульса для всех физических процессов.

Такой расширенный закон сохранения момента импульса уже не является следствием законов Ньютона, а представляет собой самостоятельный общий принцип, являющийся обобщением опытных фактов. Наряду с законами сохранения энергии и импульса закон сохранения момента импульса является одним из важнейших фундаментальных законов природы.

§ 5.3. Собственный момент импульса

В предыдущем параграфе было установлено, что момент импульса L системы изменяется только под действием суммарного момента M всех внешних сил; именно этот вектор M определяет поведение вектора L . Теперь рассмотрим некоторые наиболее существенные свойства этих величин и те важные выводы, которые из них вытекают.

Суммарный момент внешних сил. Как и момент каждой силы, суммарный момент сил зависит, вообще говоря, от выбора точки, относительно которой его определяют. Пусть M — суммарный момент сил относительно точки O , а M' — относительно точки O' , радиус-вектор которой r_0 (рис. 84). Найдем связь между M и M' .

Радиусы-векторы r_i и r'_i точки приложения силы F_i связаны соотношением $r_i = r'_i + r_0$ (рис. 84). Поэтому выражение для M можно записать в таком виде:

$$M = \sum [r_i F_i] = \sum [r'_i F_i] + \sum [r_0 F_i],$$

или

$$M = M' + [r_0 F], \quad (5.18)$$

где $F = \sum F_i$ — результирующая всех внешних сил.

Из формулы (5.18) видно, что если $F = 0$, то суммарный момент внешних сил не зависит от выбора точки, относительно которой его определяют. Таков, в частности, случай, когда к системе приложена пара сил.

Интересной и важной особенностью в этом отношении обладает Ц-система (напомним, что эта система отсчета жестко связана с центром инерции системы частиц и перемещается поступательно по отношению к инерциальным системам). Так как в общем случае Ц-система является неинерциальной, то результирующая всех внешних сил должна включать в себя кроме внешних сил взаимодействия $F_{вз}$ и силы инерции $F_{ин}$. С другой стороны, в Ц-системе система частиц как целое покоится, а это значит, согласно (4.14), что $F = F_{вз} + F_{ин} = 0$. Имея в виду (5.18), мы приходим к следующему важному выводу: *в Ц-системе суммарный момент всех внешних сил, включая силы инерции, не зависит от выбора точки O .*

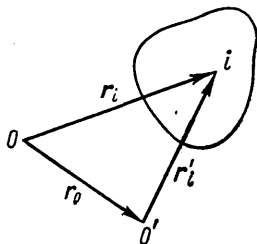


Рис. 84

И другой важный вывод: *в Ц-системе суммарный момент сил инерции относительно центра инерции всегда равен нулю:*

$$\boxed{M_C^{ин} = 0.} \quad (5.19)$$

В самом деле, сила инерции, действующая на каждую частицу системы, $F_i = -m_i w_0$, где w_0 — ускорение Ц-системы. Поэтому суммарный момент всех этих сил относительно центра инерции C

$$M_C^{ин} = \sum [r_i, -m_i w_0] = -[(\sum m_i r_i), w_0].$$

Согласно (4.8), $\sum m_i r_i = m r_C$, а так как в нашем случае $r_C = 0$, то и $M_C^{ин} = 0$.

Собственный момент импульса. Как и момент сил, момент импульса системы зависит, вообще говоря, от выбора точки O , относительно которой его определяют. При переносе этой точки на расстояние r_0 (рис. 84) новые радиусы-векторы частиц r'_i связаны со старыми r_i формулой $r_i = r'_i + r_0$. Поэтому момент импульса системы относительно точки O можно представить так:

$$L = \sum [r_i p_i] = \sum [r'_i p_i] + \sum [r_0 p_i],$$

или

$$\mathbf{L} = \mathbf{L}' + [\mathbf{r}_O \mathbf{p}], \quad (5.20)$$

где \mathbf{L}' — момент импульса системы относительно точки O' , а $\mathbf{p} = \sum \mathbf{p}_i$ — полный импульс системы.

Из формулы (5.20) следует, что если полный импульс системы $\mathbf{p} = 0$, то ее момент импульса не зависит от выбора точки O . А этим как раз и отличается \mathcal{C} -система, в которой система частиц как целое покоится. Отсюда мы приходим к третьему важному выводу: *в \mathcal{C} -системе момент импульса системы частиц не зависит от выбора точки*, относительно которой его определяют. Этот момент будем называть *собственным моментом импульса* системы и обозначать $\tilde{\mathbf{L}}$.

Связь между \mathbf{L} и $\tilde{\mathbf{L}}$. Пусть \mathbf{L} — момент импульса системы частиц относительно точки O K -системы отсчета. Так как собственный момент импульса $\tilde{\mathbf{L}}$ в \mathcal{C} -системе не зависит от выбора точки O' , возьмем точку O' совпадающей в данный момент с точкой O K -системы. Тогда радиус-векторы каждой частицы в обеих системах отсчета будут одинаковы в этот момент ($\mathbf{r}'_i \equiv \mathbf{r}_i$), скорости же частиц связаны формулой

$$\mathbf{v}_i = \tilde{\mathbf{v}}_i + \mathbf{V}_C, \quad (5.21)$$

где \mathbf{V}_C — скорость \mathcal{C} -системы относительно K -системы. Поэтому можно записать:

$$\mathbf{L} = \sum m_i [\mathbf{r}_i \mathbf{v}_i] = \sum m_i [\mathbf{r}_i \tilde{\mathbf{v}}_i] + \sum m_i [\mathbf{r}_i \mathbf{V}_C]. \quad (5.22)$$

Первая сумма в правой части этого равенства есть собственный момент импульса $\tilde{\mathbf{L}}$. Вторую сумму в соответствии с формулой (4.8) представим как $m [\mathbf{r}_C \mathbf{V}_C]$, или $[\mathbf{r}_C \mathbf{p}]$, где m — масса всей системы, \mathbf{r}_C — радиус-вектор ее центра инерции в K -системе, \mathbf{p} — суммарный импульс системы. В результате

$$\boxed{\mathbf{L} = \tilde{\mathbf{L}} + [\mathbf{r}_C \mathbf{p}],} \quad (5.23)$$

т. е. момент импульса \mathbf{L} системы частиц складывается из ее собственного момента импульса $\tilde{\mathbf{L}}$ и момента $[\mathbf{r}_C \mathbf{p}]$, обусловленного движением системы частиц как целого.

Возьмем, например, однородный шар, скатывающийся по наклонной плоскости. Его момент импульса относительно некоторой точки этой плоскости складывается из момента импульса, связанного с движением центра инерции

шара, и собственного момента импульса, обусловленного вращением шара вокруг собственной оси.

Из формулы (5.23), в частности, следует, что если центр инерции системы покоится (импульс системы $p = 0$), то ее момент импульса L — это собственный момент импульса. С этим случаем мы уже знакомы. В другом крайнем случае, когда $\tilde{L} = 0$, момент импульса системы относительно некоторой точки определяется только моментом, связанным с движением системы как целого, т. е. вторым слагаемым (5.23). Так, например, ведет себя момент импульса любого твердого тела, совершающего поступательное движение.

Уравнение моментов в \mathcal{C} -системе. В предыдущем параграфе было отмечено, что уравнение (5.12) справедливо в любой системе отсчета. Значит, оно справедливо и в \mathcal{C} -системе. Поэтому сразу можно записать: $d\tilde{L}/dt = \tilde{M}$, где \tilde{M} — суммарный момент внешних сил в \mathcal{C} -системе.

Так как \mathcal{C} -система в общем случае неинерциальная, то в \tilde{M} входит помимо моментов внешних сил взаимодействия и момент сил инерции. С другой стороны, в начале этого параграфа (см. с. 141) было показано, что момент сил \tilde{M} в \mathcal{C} -системе не зависит от выбора точки, относительно которой его определяют. Обычно в качестве такой точки берут точку C — центр инерции системы. Целесообразность выбора именно этой точки в том, что относительно ее суммарный момент сил инерции равен нулю, поэтому следует учитывать *только* суммарный момент внешних сил взаимодействия M_C . Итак,

$$\boxed{d\tilde{L}/dt = M_C}, \quad (5.24)$$

т. е. производная по времени от собственного момента импульса системы равна суммарному моменту всех внешних сил взаимодействия относительно центра инерции данной системы.

В частности, если $M_C \equiv 0$, то $\tilde{L} = \text{const}$, т. е. *собственный момент импульса* системы сохраняется.

В проекциях на ось z , проходящую через центр инерции системы, уравнение (5.24) имеет вид

$$d\tilde{L}_z/dt = M_{Cz}, \quad (5.25)$$

где M_{Cz} — суммарный момент внешних сил взаимодействия относительно неподвижной в \mathcal{C} -системе оси z , проходящей через центр инерции. И здесь если $M_{Cz} \equiv 0$, то $\tilde{L}_z = \text{const}$.

§ 5.4. Динамика твердого тела

Движение твердого тела в общем случае определяется двумя векторными уравнениями. Одно из них — уравнение движения центра инерции (4.11), другое — уравнение моментов в \mathcal{C} -системе (5.24):

$$m d\mathbf{V}_C/dt = \mathbf{F}; \quad d\tilde{\mathbf{L}}/dt = \mathbf{M}_C. \quad (5.26)$$

Зная законы действующих внешних сил, точки их приложения и начальные условия, можно с помощью этих уравнений найти как скорость, так и положение каждой точки твердого тела в любой момент времени, т. е. полностью решить задачу о движении тела. Однако, несмотря на кажущуюся простоту уравнений (5.26), решение их в общем случае представляет собой весьма трудную задачу. И прежде всего это обусловлено тем обстоятельством, что связь между собственным моментом импульса $\tilde{\mathbf{L}}$ и скоростями отдельных точек твердого тела в \mathcal{C} -системе оказывается сложной, за исключением немногих частных случаев. Мы не будем рассматривать эту задачу в общем виде (она решается в общей теории) и ограничимся в дальнейшем только отдельными частными случаями.

Но прежде приведем некоторые соображения, прямо вытекающие из вида самих уравнений (5.26). Если мы будем переносить силы вдоль направления их действия, то ясно, что не изменятся ни их результирующая \mathbf{F} , ни их суммарный момент \mathbf{M}_C . При этом уравнения (5.26) тоже не изменятся, а следовательно не изменится и движение твердого тела. Поэтому точки приложения внешних сил можно переносить вдоль направления действия сил — прием, которым постоянно пользуются.

Равнодействующая сила. В тех случаях, когда суммарный момент всех внешних сил оказывается перпендикулярным результирующей силе, т. е. $\mathbf{M} \perp \mathbf{F}$, все внешние силы могут быть сведены к одной силе \mathbf{F} , действующей вдоль определенной прямой. В самом деле, если относительно некоторой точки O суммарный момент $\mathbf{M} \perp \mathbf{F}$, то всегда можно найти такой вектор $\mathbf{r}_0 \perp \mathbf{M}$ (рис. 85), что при заданных \mathbf{M} и \mathbf{F}

$$\mathbf{M} = [\mathbf{r}_0 \mathbf{F}].$$

При этом выбор \mathbf{r}_0 неоднозначен: прибавление к нему любого вектора \mathbf{g} , параллельного \mathbf{F} , не изменит последнего равенства. А это означает, что данное равенство определяет не точку «приложения» силы \mathbf{F} , а линию ее действия.

Зная модули M и F соответствующих векторов, можно найти плечо l силы F (рис. 85): $l = M/F$.

Таким образом, если $\mathbf{M} \perp \mathbf{F}$, систему сил, действующих на отдельные точки твердого тела, можно заменить одной *равнодействующей силой* — силой, которая равна результирующей F и создает момент, равный суммарному моменту M всех внешних сил.

Таков, в частности, случай однородного силового поля, например поля тяжести, в котором действующая на каждую частицу сила имеет вид $F_i = m_i g$. В этом случае суммарный момент сил тяжести относительно любой точки O равен

$$\mathbf{M} = \sum [\mathbf{r}_i, m_i \mathbf{g}] = [(\sum m_i \mathbf{r}_i) \mathbf{g}].$$

Стоящая в круглых скобках сумма, согласно (4.8), равна $m \mathbf{r}_C$, где m — масса тела, \mathbf{r}_C — радиус-вектор его центра инерции относительно точки O . Поэтому

$$\mathbf{M} = [m \mathbf{r}_C, \mathbf{g}] = [\mathbf{r}_C, m \mathbf{g}].$$

Это значит, что равнодействующая $m \mathbf{g}$ сил тяжести проходит через центр инерции тела. Обычно говорят, что равнодействующая сил тяжести «приложена» к центру инерции тела или к его центру тяжести. Ясно, что момент этой силы относительно центра инерции тела равен нулю.

Теперь перейдем к рассмотрению четырех частных случаев движения твердого тела: 1) вращение вокруг неподвижной оси, 2) плоское движение, 3) вращение вокруг свободных осей, 4) особый случай движения тела с одной неподвижной точкой (гироскопы).

1. Вращение вокруг неподвижной оси. Найдем сначала выражение для момента импульса твердого тела относительно оси вращения OO' (рис. 86). Воспользовавшись формулой (5.9), запишем

$$L_z = \sum L_{iz} = (\sum m_i r_i^2) \omega_z,$$

где m_i и r_i — масса и расстояние от оси вращения i -й частицы твердого тела, ω_z — его угловая скорость. Определив величину, стоящую в круглых скобках, через I , получим

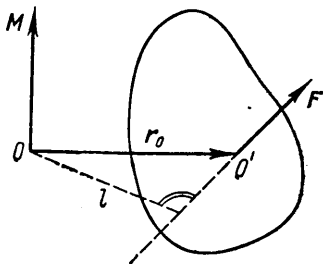


Рис. 85

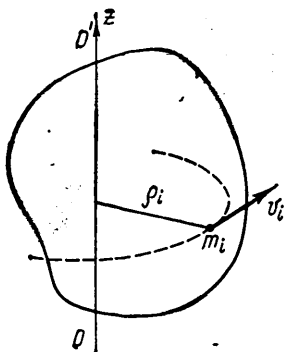


Рис. 86

$$\boxed{L_z = I\omega_z} \quad (5.27)$$

где I — так называемый *момент инерции* твердого тела относительно оси OO' :

$$I = \sum m_i r_i^2. \quad (5.28)$$

Момент инерции твердого тела зависит, как нетрудно видеть, от распределения масс относительно интересующей нас оси и является величиной аддитивной.

Вычисление момента инерции тела проводится по формуле

$$I = \int r^2 dm = \int \rho r^2 dV,$$

где dm и dV — масса и объем элемента тела, находящегося на расстоянии r от интересующей нас оси z ; ρ — плотность тела в данной точке.

Моменты инерции некоторых однородных твердых тел относительно оси z_C , проходящей через центр инерции тела, приведены в следующей таблице (здесь m — масса тела):

Твердое тело	Ось z_C	Момент инерции I_C
Тонкий стержень длины l	Перпендикулярна стержню	$ml^2/12$
Сплошной цилиндр радиуса R	Совпадает с осью цилиндра	$mR^2/2$
Тонкий диск радиуса R	Совпадает с диаметром диска	$mR^2/4$
Шар радиуса R	Проходит через центр шара	$2mR^2/5$

Вычисление момента инерции твердого тела произвольной формы относительно той или иной оси представляет собой, вообще говоря, довольно кропотливую в математическом отношении задачу. Однако в некоторых случаях нахождение момента инерции значительно упрощается, если воспользоваться *теоремой Штейнера*: момент инерции I относительно произвольной оси z равен моменту инерции I_C относительно оси z_C , параллельной данной и проходящей через центр инерции C тела, плюс произведение

массы m тела на квадрат расстояния a между осями:

$$\boxed{I = I_C + ma^2.} \quad (5.29)$$

Доказательство этой теоремы приведено в приложении 3.

Таким образом, если известен момент инерции I_C , то нахождение момента инерции I элементарно. Например, момент инерции тонкого стержня (массы m и длины l) относительно оси, перпендикулярной стержню и проходящей через его конец, равен

$$I = \frac{1}{12} ml^2 + m \left(\frac{l}{2} \right)^2 = \frac{1}{3} ml^2.$$

Основное уравнение динамики вращения твердого тела (ось вращения неподвижна). Это уравнение легко получить как следствие (5.15), если продифференцировать (5.27) по времени, тогда

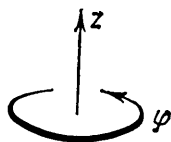


Рис. 87

$$\boxed{I\beta_z = M_z,} \quad (5.30)$$

где M_z — суммарный момент всех внешних сил относительно оси вращения. Из этого уравнения, в частности, видно, что момент инерции I определяет инерционные свойства твердого тела при вращении: при одном и том же значении момента сил M_z тело с большим моментом инерции приобретает меньшее угловое ускорение β_z .

Напомним, что моменты сил относительно оси — величины алгебраические: их знаки зависят как от выбора положительного направления оси z (совпадающей с осью вращения), так и от направления «вращения» соответствующего момента силы. Например, выбрав положительное направление оси z , как показано на рис. 87, мы тем самым задаем и положительное направление отсчета угла φ (оба эти направления связаны правилом правого винта). Далее, если некоторый момент M_{iz} «вращает» в положительном направлении угла φ , то этот момент считается положительным, и наоборот. А знак суммарного момента M_z в свою очередь определяет знак β_z — проекции вектора углового ускорения на ось z .

Интегрирование уравнения (5.30) с учетом начальных условий — значений ω_{0z} и φ_0 в начальный момент времени — позволяет полностью решить задачу о вращении твердого тела вокруг неподвижной оси, т. е. найти зависимость от времени угловой скорости $\omega_z(t)$ и угла поворота $\varphi(t)$.

Заметим, что уравнение (5.30) справедливо в *любой* системе отсчета, жестко связанной с осью вращения. Однако если система отсчета неинерциальная, то необходимо помнить, что момент сил M_z включает в себя не только моменты сил взаимодействия с другими телами, но и моменты сил инерции.

Кинетическая энергия вращающегося твердого тела (ось вращения неподвижна). Имея в виду, что скорость i -й частицы вращающегося твердого тела $v_i = \rho_i \omega$, запишем

$$T = \sum m_i v_i^2 / 2 = (\sum m_i \rho_i^2) \omega^2 / 2,$$

или, короче,

$$\boxed{T = I \omega^2 / 2,} \quad (5.31)$$

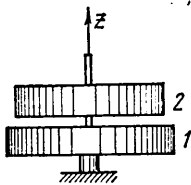


Рис. 88

где I — момент инерции тела относительно оси вращения, ω — его угловая скорость.

Пример. Диск 1 (рис. 88) вращается вокруг гладкой вертикальной оси с угловой скоростью ω_1 . На него падает диск 2, вращающийся с угловой скоростью ω_2 . Вследствие трения между ними оба диска через некоторое время начинают вращаться как единое целое. Найти приращение кинетической энергии вращения этой системы, если моменты инерции дисков относительно оси вращения равны соответственно I_1 и I_2 .

Сначала найдем установившуюся угловую скорость вращения. Из закона сохранения момента импульса системы относительно оси z следует, что $I_1 \omega_{1z} + I_2 \omega_{2z} = (I_1 + I_2) \omega_z$, откуда

$$\omega_z = (I_1 \omega_{1z} + I_2 \omega_{2z}) / (I_1 + I_2). \quad (1)$$

Заметим, что ω_{1z} , ω_{2z} и ω_z — величины алгебраические. Если окажется, что $\omega_z > 0$, то это значит, что соответствующий вектор ω совпадает с положительным направлением оси z , и наоборот.

Приращение кинетической энергии вращения этой системы

$$\Delta T = (I_1 + I_2) \omega_z^2 / 2 - (I_1 \omega_{1z}^2 / 2 + I_2 \omega_{2z}^2 / 2).$$

Заменив ω_z его выражением (1), получим

$$\Delta T = -\frac{I_1 I_2}{2(I_1 + I_2)} (\omega_{1z} - \omega_{2z})^2. \quad (2)$$

Знак минус показывает, что кинетическая энергия системы уменьшается.

Обратим внимание на то, что полученные результаты (1) и (2) весьма похожи и по форме, и по смыслу на случай абсолютно неупругого столкновения (см. с. 112).

Работа внешних сил при вращении твердого тела вокруг неподвижной оси. В соответствии с законом изменения механической энергии системы элементарная работа всех внешних сил, действующих на твердое тело, равна приращению только кинетической энергии тела, так как его собственная потенциальная энергия при этом не меняется. Таким образом, $\delta A = dT$. Воспользовавшись (5.31), запишем $\delta A = d(I\omega^2/2)$. Так как ось z совпадает с осью вращения, то $\omega^2 = \omega_z^2$ и

$$\delta A = I\omega_z d\omega_z.$$

Но согласно (5.30), $I d\omega_z = M_z dt$. Подставив это выражение в последнее уравнение для δA и учтя, что $\omega_z dt = d\varphi$, получим

$$\delta A = M_z d\varphi. \quad (5.32)$$

Работа δA — величина алгебраическая: если M_z и $d\varphi$ имеют одинаковые знаки, то $\delta A > 0$; если же их знаки противоположны, то $\delta A < 0$.

Работа внешних сил при повороте твердого тела на конечный угол φ равна

$$A = \int_0^{\varphi} M_z d\varphi. \quad (5.33)$$

В случае, если $M_z = \text{const}$, последнее выражение упрощается: $A = M_z \varphi$.

Таким образом, работа внешних сил при вращении твердого тела вокруг неподвижной оси определяется действием момента M_z этих сил относительно данной оси. Если силы таковы, что их момент $M_z \equiv 0$, то работы они не производят.

2. Плоское движение твердого тела (см. с. 21). При плоском движении центр инерции C твердого тела движется в определенной плоскости, неподвижной в данной K -системе отсчета, а вектор его угловой скорости ω все время остается перпендикулярным этой плоскости. Последнее означает, что в C -системе твердое тело совершает чисто вращательное движение вокруг неподвижной в этой системе оси, проходящей через центр инерции тела. Вращательное же движение твердого тела определяется уравнением (5.30), которое, как было отмечено, справедливо в любой системе отсчета.

Таким образом, мы имеем следующие два уравнения, описывающие плоское движение твердого тела:

$$m\omega_C = F; \quad I_C \beta_z = M_{Cz}, \quad (5.34)$$

где m — масса тела, F — результирующая всех внешних сил, I_C и M_{Cz} — момент инерции и суммарный момент всех внешних сил — оба относительно оси, проходящей через центр инерции тела.

При этом следует помнить, что момент M_{Cz} включает в себя только внешние силы взаимодействия, несмотря на то что C -система в общем случае является неинерциальной. Это связано с тем, что суммарный момент сил инерции равен нулю как относительно центра инерции, так и относительно

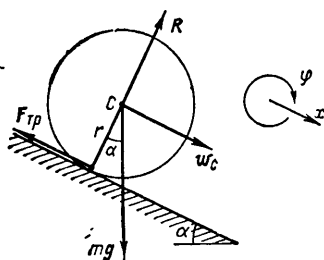


Рис. 89

любой оси, проходящей через эту точку. Поэтому его можно просто не учитывать (см. с. 143).

Заметим также, что угловое ускорение β_z , а следовательно, ω_z и φ одинаковы в обеих системах отсчета, так как C -система движется *поступательно* относительно инерциальной K -системы отсчета.

Интегрируя уравнения (5.34) с учетом начальных условий, можно найти зависимости $g_C(t)$ и $\varphi(t)$, определяющие положение твердого тела в любой момент t .

При решении задачи о движении *несвободного* твердого тела необходимо использовать еще одно, дополнительное, условие, определяющее ограничения движения имеющимися связями. Оно дает кинематическую связь между линейным и угловым ускорениями.

Пример. Однородный цилиндр массы m и радиуса r скатывается без скольжения по наклонной плоскости, составляющей угол α с горизонтом (рис. 89). Найти уравнения движения цилиндра.

Стандартный подход к решению подобных задач состоит в следующем. Прежде всего устанавливают силы, действующие на данное тело, и точки их приложения (в данном случае это mg — сила тяжести, R — нормальная составляющая силы реакции со стороны наклонной плоскости и $F_{тр}$ — сила трения покоя). Затем выбирают положительные направления оси x и угла поворота φ (лучше всего эти направления взять сразу согласованными, так чтобы знаки ускорений w_{Cx} и β_z были одинаковы), например, как показано на рис. 89, справа. И только после этого записывают сами уравнения движения (5.34) в проекциях на выбранные таким образом положительные направления x и φ :

$$mw_{Cx} = mg \sin \alpha - F_{тр}; \quad I_C \beta_z = r F_{тр}.$$

Кроме того, условие отсутствия скольжения определяет еще кинематическую связь между ускорениями:

$$\omega_{Cx} = r\beta_z.$$

Совместное решение этих трех уравнений дает возможность найти ускорения w_C и β , а также силу $F_{тр}$.

Кинетическая энергия при плоском движении твердого тела. Пусть тело совершает плоское движение в некоторой инерциальной K -системе отсчета. Чтобы найти его кинетическую энергию T в этой системе, воспользуемся формулой (4.12). Входящая в эту формулу величина \tilde{T} в данном случае представляет собой кинетическую энергию вращения тела в \tilde{C} -системе вокруг оси, проходящей через центр инерции тела. Согласно (5.31); $\tilde{T} = I_C \omega^2 / 2$, поэтому сразу можно записать

$$T = \frac{I_C \omega^2}{2} + \frac{m V_C^2}{2}, \quad (5.35)$$

где I_C — момент инерции тела относительно оси вращения, проходящей через его центр инерции, ω — угловая скорость тела, m — его масса, V_C — скорость центра инерции тела в K -системе отсчета

Таким образом, кинетическая энергия твердого тела при плоском движении складывается из энергии вращения в \tilde{C} -системе и энергии, связанной с движением центра инерции.

3. Свободные оси. Главные оси инерции. Если твердое тело привести во вращение и затем предоставить самому себе, то направление оси вращения в пространстве, вообще говоря, будет меняться. Для того чтобы произвольная ось вращения тела сохраняла свое направление неизменным, к ней необходимо приложить определенные силы.

Рассмотрим этот вопрос более подробно на следующем примере. Пусть середина C однородного стержня жестко скреплена с осью вращения так, что угол между стержнем и осью равен ϑ (рис. 90) Найдем момент M внешних сил, которые необходимо приложить к оси вращения, чтобы при вращении стержня с угловой скоростью ω ее направление не менялось. Согласно (5.12), этот момент $M = dL/dt$. Таким образом, чтобы определить M , сначала надо найти момент импульса стержня L , а затем его производную по времени.

Момент импульса L проще всего определить относительно точки C . Мысленно выделим элемент стержня массы δm ,

находящийся на расстоянии r от точки C . Его момент импульса относительно этой точки $\delta L = [r, \delta m v]$, где v — скорость элемента. Легко видеть, что вектор δL направлен перпендикулярно стержню (рис. 90), причем его направление не зависит от выбора элемента δm . Поэтому суммарный момент импульса L стержня совпадает по направлению с вектором δL .

Заметим, что в данном случае вектор L не совпадает по направлению с вектором ω !

При вращении стержня вектор L будет также вращаться с угловой скоростью ω . За промежуток времени dt вектор L получает приращение dL , модуль которого, как видно из рис. 90, равен

$$|dL| = L \sin(\pi/2 - \vartheta) \omega dt,$$

или в векторном виде $dL = [\omega L] dt$. Поделив обе части последнего выражения на dt , получим

$$M = [\omega L].$$

Таким образом, действительно, для удержания оси вращения в неизменном направлении к ней необходимо в данном случае приложить момент M некоторых внешних сил F (они показаны на

рис. 90). Однако нетрудно видеть, что если $\vartheta = \pi/2$, то вектор L совпадает по направлению с вектором ω , и в этом случае $M \equiv 0$, т. е. направление оси вращения будет оставаться неизменным без внешнего воздействия.

Ось вращения, направление которой в пространстве остается неизменным без действия на нее каких-либо сил извне, называют *свободной осью* тела.

В общей теории доказывается, что для любого твердого тела существуют три взаимно перпендикулярные проходящие через центр инерции тела оси, которые могут служить свободными осями. Их называют *главными осями инерции* тела.

Нахождение главных осей инерции для тела произвольной формы — в математическом отношении сложная задача. Однако она очень упрощается для тел, обладающих той или иной симметрией, ибо положение центра инерции и направ-

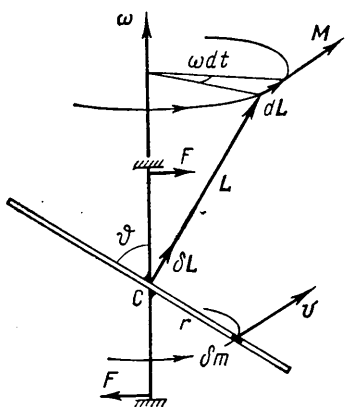


Рис. 90

ление главных осей инерции обладают в этом случае той же симметрией.

Например, у однородного прямоугольного параллелепипеда главные оси инерции проходят через центры противоположных граней. Если тело обладает осью симметрии (например, однородный цилиндр), одной из его главных осей инерции является ось симметрии, в качестве же остальных осей могут служить две любые взаимно перпендикулярные оси, лежащие в плоскости, перпендикулярной оси симметрии и проходящей через центр инерции тела. Таким образом, у тела с осевой симметрией фиксирована только одна из главных осей инерции. У тела с центральной симметрией (например, у однородного шара) главными осями инерции являются три любые взаимно перпендикулярные оси, проходящие через центр тела, — ни одна из главных осей инерции не фиксирована относительно тела.

Важной особенностью главных осей инерции тела является то обстоятельство, что при вращении тела вокруг любой из них момент импульса L тела совпадает по направлению с угловой скоростью ω тела и определяется формулой

$$L = I\omega, \quad (5.36)$$

где I — момент инерции тела относительно данной главной оси инерции. Причем L не зависит от выбора точки, относительно которой его определяют (здесь предполагается, что ось вращения неподвижна).

Наиболее просто убедиться в справедливости (5.36) можно для случая однородного тела с осевой симметрией. Действительно, согласно (5.27), момент импульса твердого тела относительно оси вращения $L_z = I\omega_z$ (напомним, что L_z — это проекция вектора L , определенного относительно любой точки на этой оси). Но если тело симметрично относительно оси вращения, то из соображения симметрии сразу следует, что вектор L совпадает по направлению с вектором ω и, значит, $L = I\omega$.

Еще раз подчеркнем, что в общем случае (ось вращения не совпадает ни с одной из главных осей инерции, хотя и проходит через центр инерции тела) направление вектора L не совпадает с вектором ω и связь между этими векторами носит сложный характер. Это обстоятельство является причиной сложного поведения вращающихся твердых тел.

4. Гироскопы. Гироскопом называют массивное симметричное тело, вращающееся с большой угловой скоростью вокруг своей оси симметрии. Рассмотрим поведение гироско-

па на примере волчка. Опыт показывает, что если ось вращающегося волчка наклонена к вертикали, то волчок не падает, а совершает так называемое *прецессионное* движение (*прецессию*) — его ось описывает конус вокруг вертикали с некоторой угловой скоростью ω' , причем оказывается: чем больше угловая скорость ω вращения волчка, тем меньше угловая скорость прецессии ω' .

Такое поведение волчка-гироскопа можно легко объяснить с помощью уравнения моментов (5.12), если только

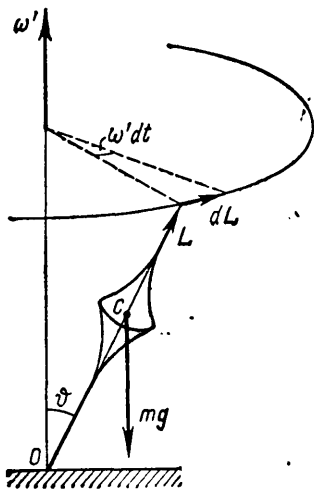


Рис. 91

принять, что $\omega \gg \omega'$ (это условие, кстати, поясняет, что имеется в виду под *большой* угловой скоростью гироскопа) Действительно, момент импульса L прецессирующего волчка относительно точки опоры O (рис. 91) можно представить в виде суммы момента импульса L_ω , обусловленного вращением волчка вокруг своей оси, и некоторого добавочного момента импульса L' , вызванного прецессией волчка вокруг вертикальной оси, т. е.

$$L = L_\omega + L'.$$

Поскольку ось волчка совпадает с одной из главных осей инерции, то, согласно (5.36), $L_\omega = I\omega$, где I — момент инерции

волчка относительно этой оси. Кроме того, ясно, что чем меньше угловая скорость прецессии, тем меньше и соответствующий момент L' . При $\omega \gg \omega'$ во всех практически интересных случаях $L_\omega \gg L'$, поэтому результирующий момент импульса L практически совпадает с L_ω как по величине, так и по направлению, — можно считать, что

$$L = I\omega.$$

Зная же поведение вектора L , мы тем самым найдем и характер движения оси волчка-гироскопа.

Но поведением вектора L управляет уравнение моментов (5.12). Согласно ему, момент импульса L относительно точки O (рис. 91) получает за время dt приращение

$$dL = Mdt, \quad (5.37)$$

совпадающее по направлению с вектором M — моментом внешних сил относительно той же точки O (в данном случае это момент силы тяжести mg). Из рис. 91 видно, что $dL \perp L$. В результате вектор L (а следовательно, и ось волчка) будет поворачиваться вместе с вектором M вокруг вертикали, описывая круговой конус с углом полураствора ϑ . Волчок-гирискоскоп будет прецессировать вокруг вертикальной оси с некоторой угловой скоростью ω' .

Найдем связь между векторами M , L и ω' . Согласно рисунку, модуль приращения вектора L за время dt есть $|dL| = L \sin \vartheta \cdot \omega' dt$, или в векторном виде $dL = [\omega' L] dt$. После подстановки этого выражения в (5.37) получим

$$[\omega' L] = M. \quad (5.38)$$

Из этого уравнения видно, что момент силы M определяет угловую скорость прецессии ω' (а не ускорение!). Поэтому мгновенное устранение момента M приводит к мгновенному исчезновению и прецессии. В этом отношении можно сказать, что прецессия не обладает инерцией.

Заметим, что момент сил M , действующий на гирискоскоп, может иметь любую природу. Для обеспечения регулярной прецессии (постоянной угловой скорости ω') важно только, чтобы вектор M , не меняясь по модулю, поворачивался вместе с осью гирискоскопа.

Пример. Найти угловую скорость прецессии наклонного волчка массы m , вращающегося с большой угловой скоростью ω вокруг своей оси симметрии, относительно которой момент инерции волчка равен I . Центр инерции волчка находится на расстоянии l от точки опоры.

Согласно (5.38), $\omega' l \omega \sin \vartheta = mgl \sin \vartheta$, где ϑ — угол между вертикалью и осью волчка (рис. 91). Отсюда

$$\omega' = mgl / I \omega.$$

Интересно, что величина ω' не зависит от угла наклона ϑ оси волчка. Кроме того, полученный результат показывает, что ω' обратно пропорциональна ω , т. е., действительно, чем больше угловая скорость волчка, тем меньше угловая скорость его прецессии.

Гирискоскопический момент. Рассмотрим теперь эффект, возникающий при вынужденном вращении оси гирискоскопа. Пусть, например, ось гирискоскопа укреплена в U-образной подставке, которую мы будем поворачивать вокруг оси OO' , как показано на рис. 92. Если момент импульса гирискоскопа L направлен вправо, то при таком повороте за время dt вектор L получит приращение dL — вектор, направленный за

плоскость рисунка. Согласно (5.37), это означает, что на гироскоп действует момент сил M , совпадающий по направлению с вектором dL . Момент M обусловлен возникновением пары сил F , действующих на ось гироскопа со стороны подставки. Ось же гироскопа в соответствии с третьим законом

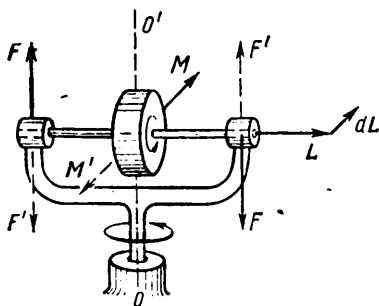


Рис. 92

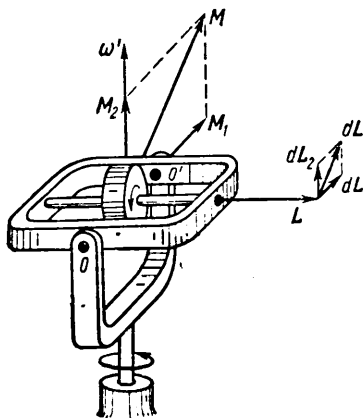


Рис. 93

Ньютона будет действовать на подставку с силами F' (рис. 92). Эти силы называют *гироскопическими*; они создают *гироскопический момент* $M' = -M$. Заметим, что в данном случае гироскоп не обладает способностью противодействовать изменению направления его оси вращения.

Появление гироскопических сил называют *гироскопическим эффектом*. Подобный гироскопический эффект, связанный с возникновением гироскопического давления на подшипники, наблюдается, например, у роторов турбин на кораблях при поворотах и качке, у винтовых самолетов при виражах и т. п.

Проследим действие гироскопического момента на примере гироскопа, ось которого вместе с рамкой (рис. 93) может свободно поворачиваться вокруг горизонтальной оси OO' U-образной подставки.

Если подставке сообщить вынужденное вращение вокруг вертикальной оси, как показано на рисунке вектором ω' , то момент импульса L гироскопа получит за время dt приращение dL_1 — вектор, направленный за рисунок. Это приращение обусловлено моментом M_1 пары сил, действующих на ось гироскопа со стороны рамки. Гироскопические силы, действующие со стороны оси гироскопа на рамку, вызовут поворот последней вокруг горизонтальной оси OO' . При этом вектор L получит дополнительное приращение dL_2 , которое в свою очередь обусловлено моментом M_2 пары сил, действующих на ось гироскопа со стороны рамки. В результате ось гироскопа

скопа будет поворачиваться так, что вектор L будет стремиться совпасть по направлению с вектором ω' .

Таким образом, за время dt момент импульса гироскопа L получает приращение $dL = dL_1 + dL_2 = (M_1 + M_2) dt$. При этом на рамку действует гироскопический момент

$$M' = -(M_1 + M_2).$$

Составляющая этого момента $M'_1 = -M_1$ вызывает поворот рамки вокруг горизонтальной оси OO' , другая составляющая $M'_2 = -M_2$ *противодействует* повороту всей системы вокруг вертикальной оси (в отличие от предыдущего случая).

Гироскопический эффект лежит в основе разнообразных применений гироскопов: гироскопас, гироскопический успокоитель качки кораблей, гироскопический стабилизатор и др.

Задачи к главе 5

● 5.1. Найти наибольшее и наименьшее расстояние планеты A от Солнца C , если в некоторый момент времени она находилась на расстоянии r_0 и имела скорость v_0 , причем угол между радиусом-вектором r_0 и вектором v_0 равен φ (рис. 94).

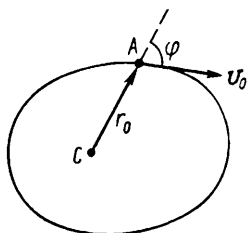


Рис. 94

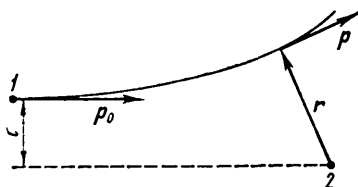


Рис. 95

Решение. Воспользуемся законами сохранения момента импульса и энергии. Точка, относительно которой момент импульса планеты сохраняется, — это центр Солнца. Поэтому

$$r_0 m v_0 \sin \varphi = r m v,$$

где m — масса планеты. В этом равенстве слева записан момент импульса планеты в данный момент времени, а справа — ее момент импульса на наибольшем (и наименьшем) расстоянии r , когда $r \perp v$.

Из закона сохранения энергии следует

$$m v_0^2 / 2 - \gamma m M / r_0 = m v^2 / 2 - \gamma m M / r,$$

где M — масса Солнца, γ — гравитационная постоянная.

Исключив v из этих двух уравнений, получим

$$r = \frac{r_0}{2-\alpha} (1 \pm \sqrt{1-\alpha(2-\alpha)\sin^2\varphi}),$$

где $\alpha = r_0 v_0^2 / \gamma M$. Знак плюс перед корнем соответствует r_{\max} , а знак минус — r_{\min} .

● 5.2. Частица 1 массы m_1 налетает на частицу 2 массы m_2 , имея вдали от частицы 2 кинетическую энергию T_0 и прицельный параметр l — плечо вектора импульса относительно частицы 2 (рис. 95). Заряд каждой частицы равен $+q$. Найти наименьшее расстояние, на которое сблизятся частицы, если:

- 1) $m_1 \ll m_2$;
- 2) m_1 сравнимо с m_2 .

Решение. 1. Условие $m_1 \ll m_2$ означает, что частица 2 в процессе взаимодействия будет практически оставаться в покое. Вектор силы, действующей на частицу 1, все время проходит через точку, в которой находится

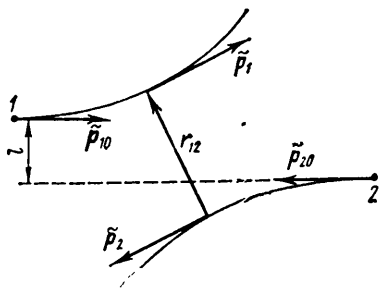


Рис. 96

частица 2. Поэтому момент импульса частицы 1 относительно покоящейся частицы 2 сохраняется. Отсюда

$$l p_0 = r_{\min} p,$$

где слева — момент импульса частицы 1 вдали от частицы 2, а справа — в момент наибольшего сближения, когда $r \perp p$ (рис. 95). Далее, из закона сохранения энергии следует

$$T_0 = T + kq^2/r_{\min},$$

где T — кинетическая энергия частицы 1 в момент наибольшего сближения. Решив эти два уравнения (с учетом связи p_0 и T_0), получим

$$r_{\min} = \frac{kq^2}{2T_0} (1 + \sqrt{1 + (2lT_0/kq^2)^2}). \quad (1)$$

2. В данном случае уже нельзя считать, что частица 2 покоится в процессе взаимодействия. Здесь решение наиболее целесообразно провести в Ц-системе, где картина «соударения» выглядит так, как показано на рис. 96. Система из двух частиц предполагается замкнутой, поэтому ее собственный момент импульса сохраняется:

$$l \tilde{p}_{10} = r_{\min} \tilde{p}_1, \quad (2)$$

где учтено, что в момент наибольшего сближения $r_{12} \perp \tilde{p}_1$ (см. рис. 95). Кроме того, на основании закона сохранения энергии

$$\tilde{T}_0 = \tilde{T} + kq^2/r_{\min}, \quad (3)$$

где \tilde{T}_0 и \tilde{T} — суммарные кинетические энергии частиц в Π -системе, когда частицы находятся вдали друг от друга, и в момент наибольшего сближения. Из уравнений (2) и (3) получим то же выражение (1), только в нем вместо T_0 будет стоять \tilde{T}_0 . При этом в данном случае (частица 2 первоначально покоилась), согласно (4.16),

$$\tilde{T}_0 = \frac{m_2}{m_1 + m_2} T_0.$$

Заметим, что при $m_1 \ll m_2$ $\tilde{T}_0 \approx T_0$, и выражение для r_{\min} будет полностью совпадать с (1).

● 5.3. Небольшой шарик подвесили к точке O на легкой нерастяжимой нити длиной l . Затем шарик отвели в сторону так, что нить отклонилась на угол ϑ от вертикали, и сообщили ему начальную скорость v_0 перпендикулярно вертикальной плоскости, в которой расположена нить. При каком значении v_0 максимальный угол отклонения нити от вертикали окажется равным $\pi/2$?

Р е ш е н и е. На шарик в процессе движения действуют две силы — сила тяжести и сила натяжения со стороны нити. Нетрудно видеть, что относительно вертикальной оси z , проходящей через точку O , момент этих сил $M_z \equiv 0$. Следовательно, относительно данной оси момент импульса шарика $L_z = \text{const}$, или

$$l \sin \vartheta \cdot mv_0 = l \cdot mv, \quad (1)$$

где m — масса шарика, v — его скорость в положении, при котором нить составляет угол $\pi/2$ с вертикалью.

Шарик движется в поле тяжести Земли под действием сторонней силы — силы натяжения нити. Эта сила все время перпендикулярна вектору скорости шарика и поэтому работы не совершает. Отсюда следует, что согласно уравнению (3.32) механическая энергия шарика в поле тяжести Земли сохраняется:

$$mv_0^2/2 = mv^2/2 + mgl \cos \vartheta, \quad (2)$$

где правая часть равенства соответствует горизонтальному положению нити.

Решив совместно (1) и (2), получим

$$v_0 = \sqrt{2gl/\cos \vartheta}.$$

● 5.4. На жестком проволочном кольце радиуса r_0 , которое может свободно вращаться вокруг вертикальной оси AB (рис. 97), находятся две одинаковые небольшие муфточки. Их соединили нитью и установили в положение $m - m$. Затем всей установке сообщили угловую скорость ω_0 и, предоставив ее самой себе, пережгли нить в точке A . Считая, что масса установки практически сосредоточена в муфточках, найти ее угловую скорость в момент, когда муфточки соскользнут (без трения) в крайнее нижнее положение $m' - m'$.

Р е ш е н и е. Пусть в нижнем положении расстояние муфточек от оси вращения r и угловая скорость установки ω . Тогда из законов

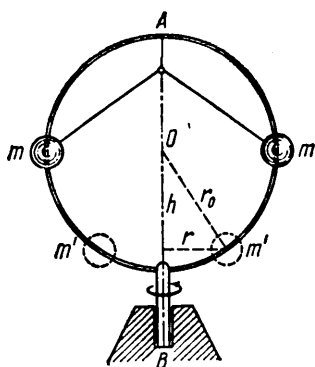


Рис. 97

сохранения энергии и момента импульса относительно оси вращения следует, что

$$r^2\omega^2 - r_0^2\omega_0^2 = 2gh; \quad r^2\omega = r_0^2\omega_0,$$

где h — разность высот в верхнем и нижнем положениях муфточек. Кроме того (рис. 97),

$$r_0^2 = r^2 + h^2.$$

Решив совместно эти три уравнения, получим

$$\omega = (\Gamma + \sqrt{1 + (4g/r_0\omega_0^2)^2})\omega_0/2.$$

●5.5. Гладкий стержень свободно вращается в горизонтальной плоскости с угловой скоростью ω_0 вокруг неподвижной вертикальной оси O (рис. 98), относительно которой его момент инерции равен I . На стержне около оси вращения находится небольшая муфта массы m , соединенная с этой осью нитью. После пережигания нити муфта начинает скользить вдоль стержня. Найти скорость v' муфты относительно стержня в зависимости от ее расстояния r до оси вращения.

Решение. У данной системы в процессе движения сохраняются кинетическая энергия и момент импульса относительно оси вращения. Отсюда следует, что

$$I\omega_0^2 = I\omega^2 + mv^2; \quad I\omega_0 = (I + mr^2)\omega,$$

где $v^2 = v'^2 + \omega^2 r^2$ (рис. 98). Из этих уравнений получим

$$v' = \omega_0 r / \sqrt{1 + mr^2/I}.$$

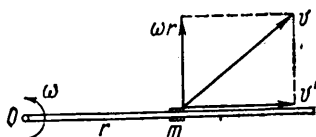


Рис. 98

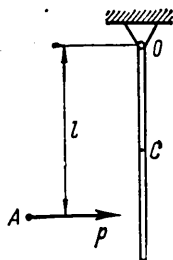


Рис. 99

●5.6. Горизонтально летевшая пуля A попала, застряв, в вертикальный однородный стержень массы m и длины l_0 , верхний конец которого укреплен в шарнире O (рис. 99). Пуля имела импульс p

и попала в стержень на расстоянии l от точки O . Пренебрегая ее массой, найти:

1) приращение импульса системы пуля — стержень за время движения пули в стержне;

2) угловую скорость, которую приобретет стержень, с учетом собственного момента импульса пули, равного \tilde{L} и совпадающего по направлению с вектором p (пуля вращается вокруг направления движения).

Решение. 1. Система пуля — стержень незамкнутая: помимо сил, уравнивающих друг друга, в процессе движения пули в стержне возникает горизонтальная составляющая силы реакции в точке O . Ее действие и вызовет приращение импульса системы:

$$\Delta p = mv_G - p,$$

где v_G — скорость центра инерции стержня после застревания пули.

Так как все внешние силы в этом процессе проходят через точку O , то за время движения пули в стержне момент импульса системы будет оставаться постоянным относительно любой оси, проходящей через эту точку. Взяв ось перпендикулярной к плоскости рисунка, запишем

$$lp = I\omega,$$

где I — момент инерции стержня относительно выбранной оси, а ω — угловая скорость стержня непосредственно после остановки пули в нем.

Из этих двух уравнений с учетом того, что $v_G = \omega r$, r — расстояние от точки O до центра инерции стержня, получим

$$\Delta p = (3l/2l_0 - 1) p.$$

Отсюда видно, что знак приращения Δp зависит от отношения l/l_0 . В частности, при $l/l_0 = 2/3$ $\Delta p = 0$, т. е. импульс системы не изменяется за время движения пули в стержне. Это значит, что в данном случае горизонтальная составляющая силы реакции в точке O отсутствует.

2. В этом случае момент импульса системы относительно точки O также будет оставаться постоянным за время движения пули в стержне, поэтому, согласно (5.23),

$$\tilde{L} + [lp] = L.$$

Здесь слева записан момент импульса пули относительно точки O , а справа — момент импульса стержня (с пулей) непосредственно после ее остановки в стержне (см. рис. 100, где все три вектора расположены в горизонтальной плоскости).

Вычислим вектор L , когда стержень (с пулей) приобретает угловую скорость ω . Возьмем малый элемент стержня массы dm , находящийся на расстоянии r от точки O . Его момент импульса относительно точки O равен

$$dL = [r, dm v] = dm \cdot r^2 \omega = (m\omega/l_0) r^2 dr,$$

где v — скорость данного элемента. Проинтегрировав это выражение по всем элементам, получим

$$L = ml_0^2 \omega / 3.$$

Таким образом,

$$\tilde{L} + [lp] = ml_0^2 \omega/3.$$

Из этой формулы согласно рис. 100 получим

$$\omega = 3\sqrt{\tilde{L}^2 + l^2 p^2 / ml_0^2}.$$

С помощью того же рисунка можно найти и направление вектора ω (угол α).

● 5.7. Однородный сплошной цилиндр массы m_0 и радиуса R может без трения вращаться вокруг неподвижной горизонтальной оси O (рис. 101). На цилиндр в один ряд плотно намотан тонкий нерастяжимый шнур длины l и массы m . Найти угловое ускорение цилиндра в зависимости от длины x свешивающейся части шнура. Считать, что скольжения нет и центр тяжести намотанной части шнура находится на оси цилиндра.

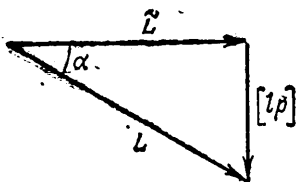


Рис. 100

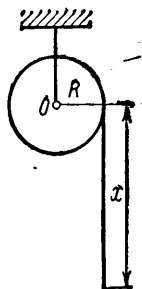


Рис. 101

Решение. Воспользуемся уравнением моментов (5.15) относительно оси O . Для этого найдем момент импульса системы относительно данной оси L_z и соответствующий момент сил M_z . Момент импульса

$$L_z = I\omega_z + Rmv = (m_0/2 + m)R^2\omega_z,$$

где учтено, что момент инерции цилиндра $I = m_0 R^2/2$ и $v = \omega_z R$ (отсутствие скольжения шнура). Момент внешних сил тяжести относительно оси O

$$M_z = Rmgx/l.$$

Продифференцировав L_z по времени и подставив dL_z/dt и M_z в уравнение моментов, получим

$$\beta_z = 2mgx/lR(m_0 + 2m).$$

● 5.8. На гладкой горизонтальной плоскости лежит однородный диск радиуса r_0 . На него осторожно опустили другой такой же диск, предварительно сообщив ему угловую скорость ω_0 . Через сколько времени оба диска будут вращаться с одной и той же угловой скоростью, если коэффициент трения между дисками равен k ?

Решение. Сначала найдем установившуюся угловую скорость вращения ω . Из закона сохранения момента импульса следует, что $I\omega_0 = 2I\omega$, где I — момент инерции каждого диска относительно общей оси вращения. Отсюда

$$\omega = \omega_0/2.$$

Теперь рассмотрим поведение одного из дисков, например нижнего. Его угловая скорость меняется под действием момента M сил трения. Вычислим M . Для этого выделим на верхней поверхности диска элементарное кольцо с радиусами $r, r+dr$. Момент сил трения, действующих на данное кольцо, равен

$$dM = rk(mg/\pi r_0^2) 2\pi r dr = (2kmg/r_0^2)r^2 dr,$$

где m — масса каждого диска. Проинтегрировав по r от 0 до r_0 , получим

$$M = (2/3) kmgr_0.$$

Согласно уравнению (5.30), приращение угловой скорости нижнего диска на величину $d\omega$ происходит за время

$$dt = (I/M)d\omega = (3r_0/4kg)d\omega.$$

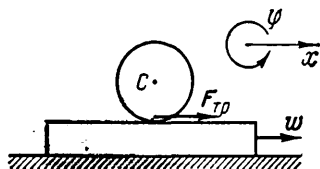


Рис. 102

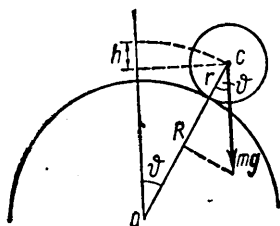


Рис. 103

Интегрируя это уравнение по ω от 0 до $\omega_0/2$, находим, что исконое время

$$t = 3r_0\omega_0/8kg.$$

● 5.9. Однородный цилиндр находится на горизонтальной доске (рис. 102). Коэффициент трения между ними равен k . Доске сообщили постоянное ускорение w в горизонтальном направлении перпендикулярно оси цилиндра. Найти:

- 1) ускорение оси цилиндра в отсутствие скольжения;
- 2) предельное значение $w_{пр}$, при котором скольжение отсутствует.

Решение. 1. Выбрав положительные направления x и φ , как показано на рис. 102, запишем уравнение движения оси цилиндра и уравнение моментов в C -системе относительно этой оси:

$$m\omega_C = F_{тр}; \quad I\beta = rF_{тр},$$

где m и I — масса и момент инерции цилиндра относительно его оси. Кроме того, условие отсутствия скольжения цилиндра дает кинематическую связь ускорений:

$$w - \omega_C = \beta r.$$

Из этих трех уравнений находим $\omega_C = w/3$.

2. Найдем из предыдущих уравнений значение силы трения $F_{тр}$, обеспечивающей качение цилиндра без скольжения: $F_{тр} = mw/3$. Максимально возможное значение этой силы равно kmw . Отсюда

$$w_{пр} = 3kg.$$

● 5.10. Однородный шар радиуса r начинает скатываться без скольжения с вершины сферы радиуса R (рис. 103). Найти угловую скорость шара после отрыва от поверхности сферы.

Решение. Прежде всего заметим, что угловая скорость шара после отрыва изменяться не будет. Поэтому задача сводится к нахождению ее значения в момент отрыва.

Запишем уравнение движения центра шара в момент отрыва:

$$mv^2/(R + r) = mg \cos \vartheta,$$

где v — скорость центра шара в момент отрыва, ϑ — соответствующий угол (рис. 103). Скорость v можно найти из закона сохранения энергии:

$$mgh = mv^2/2 + I\omega^2/2,$$

где I — момент инерции шара относительно оси, проходящей через его центр. Кроме того,

$$v = \omega r; \quad h = (R + r)(1 - \cos \vartheta).$$

Из этих четырех уравнений получим

$$\omega = \sqrt{10g(R + r)/17r^2}.$$

● 5.11. Тонкий однородный стержень массы m и длины l вращается с постоянной угловой скоростью ω вокруг вертикальной оси, проходящей через его точку подвеса O (рис. 104). При этом стержень описывает коническую поверхность с некоторым углом полураствора ϑ . Найти угол ϑ , а также модуль и направление силы реакции R в точке O .

Решение. Рассмотрим систему отсчета, вращающуюся вокруг вертикальной оси вместе со стержнем. В этой системе отсчета на стержень действует кроме силы тяжести mg и силы реакции R еще центробежная сила инерции $F_{цб}$. Так как стержень покоится в данной системе отсчета, т. е. находится в состоянии равновесия, то это значит, что результирующий момент всех сил относительно любой точки и результирующая всех сил равны нулю.

Относительно точки O момент создают только сила тяжести и центробежные силы инерции. Из равенства моментов этих сил следует

$$(mgl/2) \sin \vartheta = M_{цб}. \quad (1)$$

Вычислим $M_{цб}$. Элементарный момент силы инерции, который действует на элемент стержня dx , находящийся на расстоянии x от точки O , равен

$$dM_{цб} = (m\omega^2/l) \sin \vartheta \cos \vartheta x^2 dx.$$

Проинтегрировав по всей длине стержня, получим

$$M_{цб} = (m\omega^2 l^2/3) \sin \vartheta \cos \vartheta. \quad (2)$$

Из (1) и (2) следует, что

$$\cos \vartheta = 3g/2\omega^2 l. \quad (3)$$

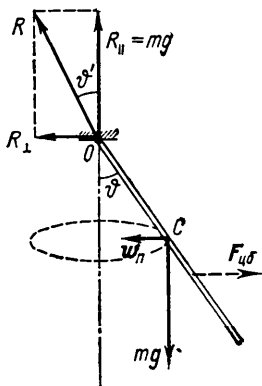


Рис. 104

Теперь найдем модуль и направление вектора R . В системе отсчета, где стержень вращается с угловой скоростью ω , его центр инерции — точка C — движется по горизонтальной окружности. Поэтому из закона движения центра инерции — формулы (4.11) — сразу следует, что вертикальная составляющая вектора R есть $R_{\parallel} = mg$, а горизонтальная составляющая R_{\perp} определяется уравнением $m\omega_n = R_{\perp}$, где ω_n — нормальное ускорение центра инерции C . Отсюда

$$R_{\perp} = (m\omega^2 l/2) \sin \vartheta. \quad (4)$$

Модуль вектора R есть

$$R = \sqrt{(mg)^2 + R_{\perp}^2} = \\ = (m\omega^2 l/2) \sqrt{1 + 7g^2/(4\omega^4 l^2)},$$

а его, направление — угол ϑ' между R и вертикалью — определяется формулой $\cos \vartheta' = mg/R$. Интересно, что угол $\vartheta' \neq \vartheta$, т. е. вектор R не совпадает по направлению со стержнем. В этом легко убедиться, выразив $\cos \vartheta'$ через $\cos \vartheta$:

$$\cos \vartheta' = 4 \cos \vartheta / \sqrt{9 + 7 \cos^2 \vartheta}.$$

Отсюда видно, что $\cos \vartheta' > \cos \vartheta$, т. е. $\vartheta' < \vartheta$, что и показано на рис. 104.

Заметим, что равнодействующая сил инерции $F_{цб}$ проходит не через точку C , а ниже. Действительно, $F_{цб} = R_{\perp}$ и определяется формулой (4), а результирующий момент $M_{цб}$ — формулой (2). Из этих формул следует, что плечо вектора $F_{цб}$ относительно точки O равно $(2l/3) \cos \vartheta$ (рис. 104).

● 5.12. Волчок массы m , ось которого составляет угол ϑ с вертикалью, прецессирует вокруг вертикальной оси, проходящей через точку опоры O . Момент импульса волчка равен L , расстояние от его центра инерции до точки O есть l . Найти модуль и направление вектора F — горизонтальной составляющей силы реакции в точке O .

Решение. Согласно (5.38), угловая скорость прецессии

$$\omega' = mg/lL.$$

Центр инерции волчка движется по окружности, следовательно, вектор F направлен так, как показано на рис. 105 (этот вектор прецессирует вместе с осью волчка).

Из уравнения движения центра инерции имеем

$$m\omega'^2 l \sin \vartheta = F.$$

В результате

$$F = (m^3 g^2 l^3 / L^2) \sin \vartheta.$$

Заметим, что если бы точка опоры волчка находилась на абсолютной гладкой плоскости, то волчок прецессировал бы с той же угловой скоростью, но вокруг вертикальной оси, проходящей через центр волчка — точку C на рис. 105.

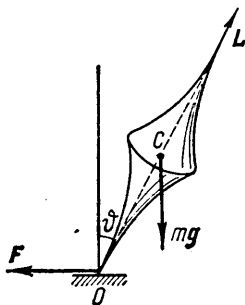


Рис. 105

ЧАСТЬ II

РЕЛЯТИВИСТСКАЯ МЕХАНИКА

ГЛАВА 6

КИНЕМАТИКА СПЕЦИАЛЬНОЙ ТЕОРИИ ОТНОСИТЕЛЬНОСТИ

§ 6.1. Введение

Специальная теория относительности, созданная Эйнштейном в 1905 г., означала пересмотр всех представлений классической физики и главным образом представлений о свойствах пространства и времени. Поэтому данная теория по своему основному содержанию может быть названа *физическим* учением о пространстве и времени. Физическим потому, что свойства пространства и времени в этой теории рассматриваются в теснейшей связи с законами совершающихся в них физических явлений. Термин «специальная» подчеркивает то обстоятельство, что эта теория рассматривает явления только в инерциальных системах отсчета.

Мы начнем этот раздел с краткого обзора дорелятивистской физики и остановимся на истоках тех трудностей, которые привели к появлению теории относительности.

Основные представления дорелятивистской физики. Напомним сначала те представления о пространстве и времени, которые связаны с законами Ньютона, т. е. лежат в основе классической механики.

1. Пространство, имеющее три измерения, подчиняется евклидовой геометрии.

2. Наряду с трехмерным пространством существует независимое от него время (независимое в том смысле, как три измерения пространства не зависят друг от друга). Но вместе с тем время связано с пространством законами движения. Действительно, время измеряют часами, в принципе представляющими собой любой прибор, в котором используется тот или иной периодический процесс, дающий масштаб времени. Поэтому определить время безот-

носителю к какому-либо периодическому процессу, т. е. вне связи с движением, невозможно.

3. Размеры твердых тел (масштабы) и промежутки времени между данными событиями одинаковы в разных системах отсчета. Это соответствует ньютоновской концепции абсолютности пространства и времени, согласно которой их свойства считаются не зависящими от системы отсчета — пространство и время одинаковы для всех систем отсчета.

4. Признается справедливость закона инерции Галилея — Ньютона, согласно которому тело, не подверженное действию со стороны других тел, движется прямолинейно и равномерно. Этот закон утверждает существование инерциальных систем отсчета, в которых выполняются законы Ньютона (а также принцип относительности Галилея).

5. Из этих представлений вытекают преобразования Галилея, выражающие пространственно-временную связь любого события в разных инерциальных системах отсчета. Если K' -система отсчета движется относительно K -системы со скоростью V (рис. 106) и начало отсчета времени соответствует моменту, когда начала координат O' и O обеих систем совпадают, то*

$$x' = x - Vt; \quad y' = y; \quad t' = t. \quad (6.1)$$

Отсюда следует, что координаты любого события относительны, т. е. имеют разные значения в разных системах отсчета; момент же времени, когда событие произошло, одинаков в разных системах. Последнее означает, что время течет одинаковым образом в разных системах отсчета. Это обстоятельство казалось столь очевидным, что даже не оговаривалось как специальный постулат.

Из (6.1) непосредственно вытекает классический закон преобразования (сложения) скоростей:

$$* \quad v' = v - V, \quad (6.2)$$

* Здесь и в дальнейшем мы ограничимся только двумя пространственными координатами x и y . Координата z ведет себя во всех отношениях так же, как y .

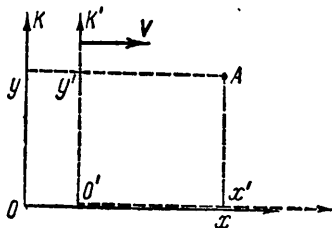


Рис. 106

где v' и v — скорости точки (частицы) в K' - и K -системах отсчета.

6. Выполняется принцип относительности Галилея: все инерциальные системы отсчета эквивалентны друг другу в механическом отношении, все законы механики одинаковы в этих системах отсчета, или, другими словами, инвариантны относительно преобразований Галилея.

7. Соблюдается принцип дальнего действия: взаимодействия тел распространяются мгновенно, т. е. с бесконечно большой скоростью.

Эти представления классической механики вполне соответствовали всей совокупности экспериментальных данных, имевшихся в то время (заметим, впрочем, что эти данные относились к изучению движения тел со скоростями, значительно меньшими скорости света). В их пользу говорило и весьма успешное развитие самой механики. Поэтому представления классической механики о свойствах пространства и времени стали считаться настолько фундаментальными, что никаких сомнений в их истинности ни у кого не возникало.

Первому испытанию подвергся принцип относительности Галилея, который, как известно, касался только механики — единственного раздела физики, достигшего к тому времени достаточного развития. По мере развития других разделов физики, в частности оптики и электродинамики, возник естественный вопрос: распространяется ли принцип относительности и на другие явления? Если нет, то с помощью этих (немеханических) явлений можно в принципе различить инерциальные системы отсчета и в свою очередь поставить вопрос о существовании главной, или абсолютной, системы отсчета.

Одно из таких явлений, которое, как ожидали, по-разному протекает в разных системах отсчета, — это распространение света. Согласно господствовавшей в то время волновой теории, световые волны должны распространяться с определенной скоростью по отношению к некоторой гипотетической среде («светоносному эфиру»), о природе которой, правда, не было единого мнения. Но какова бы ни была природа этой среды, она не может, конечно, покоиться во всех инерциальных системах сразу. Тем самым выделяется одна из инерциальных систем — абсолютная — та самая, которая неподвижна относительно «светоносного эфира». Полагали, что в этой — и только этой — системе отсчета свет распространяется с одинаковой скоростью c во всех направ-

лениях. Если некоторая инерциальная система отсчета движется по отношению к эфиру со скоростью V , то в этой системе отсчета скорость света c' должна подчиняться обычному закону сложения скоростей (6.2), т. е. $c' = c - V$.

Это предположение оказалось возможным проверить на опыте, который и был осуществлен Майкельсоном (совместно с Морли).

Опыт Майкельсона. Цель этого опыта заключалась в том, чтобы обнаружить «истинное» движение Земли относительно эфира. В опыте было использовано движение Земли по ее орбите со скоростью 30 км/с.

Идея опыта заключалась в следующем.

Свет от источника S (рис. 107) посылался в двух взаимно перпендикулярных направлениях, отражался от зеркал A и B , находящихся на одинаковом расстоянии l от источника S , и возвращался в точку S . В этом опыте сравнивалось время прохождения светом обоих путей: SAS и SBS .

Предположим, что установка вместе с Землей движется так, что ее скорость V относительно эфира направлена вдоль SA (в момент проведения опыта). Если скорость света подчиняется обычному закону сложения скоростей (6.2), то на пути SA скорость света относительно установки (Земли) равна $c - V$, а на обратном пути $c + V$. Тогда время прохождения пути SAS равно

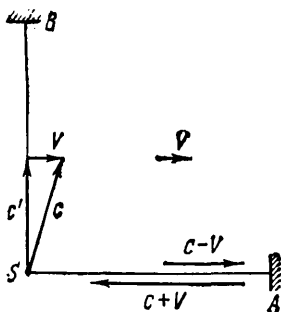


Рис. 107

$$t_{\parallel} = \frac{l}{c-V} + \frac{l}{c+V} = \frac{2l}{c} \frac{1}{1-(V/c)^2}.$$

На пути же SBS скорость света относительно установки равна $c' = \sqrt{c^2 - V^2}$ (рис. 107), и время прохождения этого пути

$$t_{\perp} = \frac{2l}{\sqrt{c^2 - V^2}} = \frac{2l}{c} \frac{1}{\sqrt{1-(V/c)^2}}.$$

Из сравнения выражений для t_{\parallel} и t_{\perp} видно, что свет должен проходить оба пути за разное время. Измерив разность

времен t_{\parallel} — t_{\perp} , можно определить скорость установки (Земли) относительно эфира.

Несмотря на то что ожидаемая разность времен была чрезвычайно мала, установка была достаточно чувствительной, чтобы эту разность надежно обнаружить (это достиглось с помощью очень чувствительного интерференционного метода).

Тем не менее результат опыта оказался отрицательным: разность времен не была обнаружена. Конечно, случайно могло оказаться, что в момент проведения опыта Земля покоилась относительно эфира. Но тогда через полгода, например, скорость Земли относительно эфира достигла бы 60 км/с. Однако повторение опыта через полгода по-прежнему не дало ожидаемого результата.

Более точные опыты того же рода, поставленные позднее, также подтвердили первоначальный результат.

Отрицательный результат опыта Майкельсона противоречил тому, что ожидалось на основании преобразований Галилея (преобразования скоростей). Он показал также, что нельзя обнаружить движение относительно эфира, что скорость света не зависит от движения источника света (ведь источник движется по-разному относительно эфира в разные времена года).

В пользу того, что скорость света не зависит от скорости источника, говорят и некоторые астрономические наблюдения (например, над двойными звездами), а также другие опыты, поставленные позднее специально с целью проверки этого факта.

К началу XX столетия в теоретической и экспериментальной физике сложилась своеобразная ситуация. С одной стороны, теоретически были предсказаны различные эффекты, выделяющие из множества инерциальных систем главную (абсолютную). С другой стороны, настойчивые попытки обнаружить эти эффекты на опыте неизменно оканчивались неудачей. Опыт неуклонно подтверждал справедливость принципа относительности для всех явлений, включая и те, к которым теория считала его заведомо неприемлемым.

Был сделан целый ряд попыток объяснения отрицательного результата опыта Майкельсона и аналогичных ему в рамках классической механики. Однако все они оказались в конечном счете неудовлетворительными. Кардинальное решение этой проблемы было дано лишь в теории относительности Эйнштейна.

§ 6.2. Постулаты Эйнштейна

Глубокий анализ всего экспериментального и теоретического материала, имеющегося к началу XX столетия, привел Эйнштейна к пересмотру исходных положений классической физики, прежде всего представлений о свойствах пространства и времени. В результате им была создана специальная теория относительности, явившаяся логическим завершением всей классической физики.

Эта теория принимает без изменения такие положения классической механики, как евклидовость пространства и закон инерции Галилея—Ньютона. Что же касается утверждения о неизменности размеров твердых тел и промежутков времени в разных системах отсчета, то Эйнштейн обратил внимание на то, что эти представления возникли в результате изучения движений тел с малыми скоростями, поэтому их экстраполяция в область больших скоростей ничем не оправдана, а следовательно незаконна. Только опыт может дать ответ на вопрос, каковы их истинные свойства. Это же относится к преобразованиям Галилея и к принципу дальнего действия.

В качестве исходных позиций специальной теории относительности Эйнштейн принял два постулата, или принципа, в пользу которых говорит весь экспериментальный материал (и в первую очередь опыт Майкельсона):

- 1) принцип относительности,
- 2) независимость скорости света от скорости источника.

Первый постулат представляет собой обобщение принципа относительности Галилея на любые физические процессы: *все физические явления протекают одинаковым образом во всех инерциальных системах отсчета; все законы природы и уравнения, их описывающие, инвариантны, т. е. не меняются, при переходе от одной инерциальной системы отсчета к другой.* Другими словами, *все инерциальные системы отсчета эквивалентны (неразличимы) по своим физическим свойствам; никаким опытом нельзя в принципе выделить ни одну из них как предпочтительную.*

Второй постулат утверждает, что *скорость света в вакууме не зависит от движения источника света и одинакова во всех направлениях.* Это значит, что *скорость света в вакууме одинакова во всех инерциальных системах отсчета.* Таким образом, скорость света занимает особое положение в природе. В отличие от всех других скоростей, меняющихся

при переходе от одной системы отсчета к другой, скорость света в пустоте является инвариантной величиной. Как мы увидим, наличие такой скорости существенно изменяет представления о пространстве и времени.

Из постулатов Эйнштейна следует также, что скорость света в вакууме является *предельной*: никакой сигнал, никакое воздействие одного тела на другое не могут распространяться со скоростью, превышающей скорость света в вакууме. Именно предельный характер этой скорости и объясняет одинаковость скорости света во всех системах отсчета. В самом деле, согласно принципу относительности, законы природы должны быть одинаковы во всех инерциальных системах отсчета. Тот факт, что скорость любого сигнала не может превышать предельное значение, есть также закон природы. Следовательно, значение предельной скорости — скорости света в вакууме — должно быть одинаково во всех инерциальных системах отсчета.

В частности, наличие предельной скорости автоматически предполагает ограничение скорости движения частиц величиной c . В противном случае эти частицы могли бы осуществлять передачу сигналов (или взаимодействий между телами) со скоростью, превышающей предельную. Таким образом, согласно постулатам Эйнштейна, значение всех возможных в природе скоростей движения тел и распространения взаимодействий ограничено величиной c . Этим самым отвергается принцип дальнего действия классической механики.

Все содержание частной теории относительности вытекает из этих двух ее постулатов. В настоящее время оба постулата Эйнштейна, как и все следствия из них, убедительно подтверждаются всей совокупностью накопленного экспериментального материала.

Синхронизация часов. Прежде чем делать какие-либо выводы из этих постулатов, Эйнштейн тщательно проанализировал представления о способах измерения пространства и времени. В первую очередь он обратил внимание на то, что физической реальностью обладает не точка пространства и не момент времени, когда что-либо произошло, а только само *событие*. Для описания события в данной системе отсчета нужно указать место, в котором оно происходит, и момент времени, когда оно происходит.

Положение точки, в которой происходит событие, может быть определено с помощью жестких масштабов методами евклидовой геометрии и выражено в декартовых

координатах. Классическая механика в этом отношении пользовалась вполне реальными приемами сравнения измеряемых величин с образцовыми эталонами.

Соответствующий же момент времени можно определить с помощью часов, помещенных в ту точку системы отсчета, где происходит данное событие. Однако такое определение уже не является удовлетворительным, когда нам надо сопоставить друг с другом события, происходящие в *различных* местах, или, что то же самое, сравнить время для событий, происходящих в местах, удаленных от часов.

Действительно, чтобы сравнить время (показания часов) в различных точках системы отсчета, прежде всего необходимо установить способ, как определить *общее* для всех точек системы отсчета время. Другими словами, надо обеспечить *синхронный* ход всех часов данной системы отсчета.

Ясно, что синхронизировать часы, помещенные в различные точки системы отсчета, можно только с помощью каких-нибудь сигналов. Наиболее быстрые сигналы, пригодные для этой цели, — это световые или радиосигналы, распространяющиеся с известной скоростью c . Выбор именно этих сигналов обусловлен еще и тем, что их скорость не зависит от направления в пространстве, а также одинакова во всех инерциальных системах отсчета.

Далее можно поступить следующим образом. Наблюдатель, находящийся, например, в начале координат O данной системы отсчета, сообщает по радио: «Передаем сигнал точного времени. Сейчас по моим часам время t_0 ». В момент, когда этот сигнал достигнет часов, находящихся на известном расстоянии r от точки O , их устанавливают так, чтобы они показывали время $t = t_0 + r/c$, т. е. с учетом времени запаздывания сигнала. Повторение сигнала через определенные промежутки времени даст возможность каждому наблюдателю установить синхронный ход его часов с часами в точке O . В результате такой операции можно утверждать, что все часы данной системы отсчета показывают в каждый момент одно и то же общее время.

Существенно отметить, что определенное таким образом время относится лишь к той системе отсчета, относительно которой синхронизированные часы покоятся.

Соотношения между событиями. Обратимся к вопросу о пространственных и временных соотношениях между данными событиями в разных инерциальных системах отсчета.

Уже в классической механике пространственные соотношения между различными событиями зависят от того, к какой системе отсчета они относятся. Например, две последовательные вспышки лампочки в движущемся поезде происходят в одной и той же точке системы отсчета, связанной с поездом, но в разных точках системы отсчета, связанной с полотном дороги. Утверждение, что два одновременных события происходят в одном и том же месте или на таком-то расстоянии друг от друга, приобретает смысл только тогда,

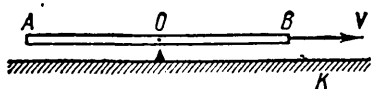


Рис. 108

когда указано, к какой системе отсчета это утверждение относится.

В противоположность этому временные соотношения между событиями в классической механике считаются не зависящими от системы отсчета. Это значит, что если какие-нибудь два события происходят одновременно в одной системе отсчета, то они являются одновременными и во всех других системах отсчета. Вообще промежуток времени между двумя данными событиями считается одинаковым во всех системах отсчета.

Легко, однако, убедиться, что в действительности это не так — *одновременность* (а следовательно, и течение времени) является *понятием относительным*, приобретающим смысл только тогда, когда указано, к какой системе отсчета это понятие относится. Покажем с помощью простого рассуждения, что два события, одновременные в одной системе отсчета, в другой системе отсчета оказываются неодновременными.

Представим себе стержень AB , движущийся с постоянной скоростью V относительно K -системы отсчета. В середине стержня — точке O — находится лампочка, по концам — в точках A и B — фотоэлементы (рис. 108). Пусть в некоторый момент лампочка O дала кратковременную вспышку света. Поскольку скорость распространения света в системе отсчета, связанной со стержнем (как и во всякой инерциальной системе отсчета), равна c в обоих направлениях, то световые импульсы достигнут равноудаленных от O фотоэлементов A и B в один и тот же момент времени (в системе отсчета «стержень») и оба фотоэлемента сработают одновременно.

Иначе обстоит дело в K -системе. В этой системе отсчета скорость световых импульсов в обоих направлениях также

равна c , однако проходимые ими пути различны. Действительно, пока световые импульсы идут к точкам A и B , последние переместятся вправо и, следовательно, фотоэлемент A сработает раньше, чем фотоэлемент B .

Таким образом, события, одновременные в одной системе отсчета, не являются одновременными в другой системе отсчета, т. е. одновременность в отличие от представлений классической механики является понятием относительным. А это в свою очередь означает, что время в разных системах отсчета течет неодинаково.

Если бы в нашем распоряжении имелись мгновенно распространяющиеся сигналы, то события, одновременные в одной системе отсчета, были бы одновременными и в любой другой системе. Это непосредственно следует из только что рассмотренного примера. В этом случае течение времени не зависело бы от системы отсчета и можно было бы говорить об абсолютном времени, которое фигурирует в преобразованиях Галилея. Таким образом, преобразования Галилея, по существу, исходят из предположения, что синхронизация часов осуществляется с помощью мгновенно распространяющихся сигналов. Однако таких сигналов в действительности нет.

§ 6.3. Замедление времени и сокращение длины

В этом параграфе мы рассмотрим три важнейших следствия, которые вытекают из постулатов Эйнштейна, — это равенство поперечных размеров тел в разных системах отсчета, замедление хода движущихся часов и сокращение продольных размеров движущихся тел, а затем (в § 6.4) обобщим полученные результаты в виде соответствующих формул преобразования координат и времени.

Приступая к решению этих вопросов, напомним прежде всего, что под системой отсчета подразумевается тело отсчета, с которым связаны координатная сетка и ряд неподвижных одинаковых часов, синхронизированных между собой. Далее, предполагается, что во всех инерциальных системах отсчета координатные сетки и часы проградуированы *одинаковым* образом. Ясно, что это можно осуществить только с помощью эталонов длины и времени, реализованных также одинаковым образом во всех системах отсчета.

Для этого достаточно использовать какой-либо природный периодический процесс, дающий естественный масштаб как длины, так и времени, например одну из монохроматических волн, испускаемых определенными атомами, неподвижными в данной системе отсчета. Тогда в этой системе отсчета эталоном длины можно взять длину волны, а эталоном времени — соответствующий период колебания. С помощью этих эталонов можно построить эталон *один метр* как определенное число данных длин волн и эталон *одна секунда* как тоже определенное число периодов данных колебаний (заметим, что в настоящее время так и сделано).

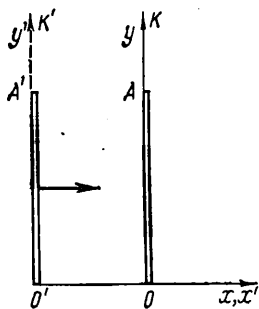


Рис. 109

Аналогичную операцию можно проделать в каждой инерциальной системе отсчета, используя одну и ту же монохроматическую волну одних и тех же атомов, неподвижных в каждой из этих систем отсчета. Основанием для этого служит то, что, по принципу относительности, физические свойства покоящихся атомов не зависят от того, в какой инерциальной системе отсчета они покоятся.

Реализовав в каждой системе отсчета эталоны длины и времени, можно перейти к решению такого фундаментального вопроса, как сравнение этих эталонов в разных системах отсчета, или, другими словами, к сравнению размеров тел и течения времени в этих системах.

Равенство поперечных размеров тел. Начнем с вопроса о сравнении поперечных размеров тел в разных инерциальных системах отсчета. Представим себе две инерциальные системы отсчета K и K' , оси y и y' которых параллельны друг другу и перпендикулярны направлению движения одной системы относительно другой (рис. 109), причем начало отсчета $O' K'$ -системы движется по прямой, проходящей через начало отсчета $O K$ -системы. Установим вдоль осей y и y' стержни OA и $O'A'$, являющиеся эталонами метра в каждой из этих систем отсчета. Представим себе далее, что в момент совпадения осей y' и y верхний конец левого стержня делает метку на оси $y K$ -системы. Совпадет ли эта метка с точкой A — верхним концом правого стержня?

Принцип относительности позволяет сразу ответить на этот вопрос: да, совпадет. Если бы это было не так, то с точ

ки зрения *обеих* систем отсчета один из стержней оказался бы, например, короче другого и, следовательно, имелась бы возможность экспериментально отличить одну из инерциальных систем отсчета от другой по более коротким поперечным размерам. Однако это противоречит принципу относительности.

Отсюда следует, что поперечные размеры тел одинаковы во всех инерциальных системах отсчета. Это означает также, что при указанном выборе начал отсчета K' - и K -систем координаты y' и y любой точки или события совпадают, т. е.

$$y' = y. \quad (6.3)$$

Это соотношение представляет собой одно из искомым преобразований координат.

Замедление времени. Наша следующая задача — сравнить течение времени в разных инерциальных системах отсчета. Как уже говорилось, время измеряется часами, причем под часами имеется в виду любой прибор, в котором используется тот или иной периодический процесс. Поэтому в теории относительности принято обычно говорить о сравнении хода идентичных часов в разных инерциальных системах отсчета.

Наиболее просто этот вопрос можно решить с помощью следующего мысленного (т. е. в принципе возможного) эксперимента. Возьмем так называемые *световые часы* — стержень с зеркалами на обоих концах, между которыми «бегает» короткий световой импульс. Период таких часов равен интервалу времени между двумя последовательными моментами, когда световой импульс достигает какого-то определенного конца стержня.

Далее, представим себе две инерциальные системы отсчета K' и K , движущиеся относительно друг друга со скоростью V . Пусть световые часы AB неподвижны в K' -системе и ориентированы перпендикулярно направлению ее движения относительно K -системы (рис. 110). Проследим теперь за «ходом» этих часов в обеих системах отсчета: K' и K .

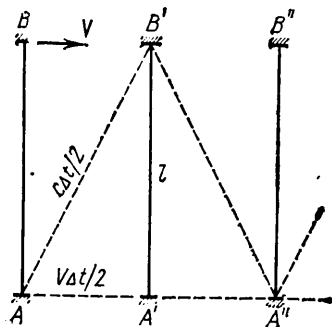


Рис. 110

В K' -системе часы неподвижны, и их период

$$\Delta t_0 = 2l/c,$$

где l — расстояние между зеркалами.

В K -системе, относительно которой часы движутся, расстояние между зеркалами также l , ибо поперечные размеры тел одинаковы в разных инерциальных системах отсчета. Однако путь светового импульса в этой системе отсчета будет уже иным — зигзагообразным (рис. 110): пока световой импульс распространяется от нижнего зеркала к верхнему, последнее переместится на некоторое расстояние вправо и т. д. Поэтому световой импульс, чтобы вернуться к нижнему зеркалу, проходит в K -системе больший путь, причем с той же скоростью c . Значит, свету понадобится на это *больше* времени — больше, чем когда часы неподвижны. Поэтому период движущихся часов удлинится — с точки зрения K -системы отсчета они будут идти *медленнее*.

Обозначим период движущихся часов через Δt в K -системе. Из прямоугольного треугольника $AB'A'$ (рис. 110) следует, что $l^2 + (V\Delta t/2)^2 = (c\Delta t/2)^2$, откуда

$$\Delta t = (2l/c)/\sqrt{1 - (V/c)^2}.$$

А так как $2l/c = \Delta t_0$, то

$$\boxed{\Delta t = \frac{\Delta t_0}{\sqrt{1 - \beta^2}}}, \quad (6.4)$$

где $\beta = V/c$, V — скорость часов в K -системе.

Отсюда видно, что $\Delta t > \Delta t_0$, т. е. одни и те же часы в разных инерциальных системах отсчета идут по-разному: в той системе отсчета, относительно которой часы движутся, они идут медленнее, чем в системе отсчета, где они покоятся. Другими словами, *движущиеся часы идут медленнее, чем покоящиеся. Это явление называют замедлением времени.*

Время, отсчитываемое по часам, движущимся вместе с телом, в котором происходит какой-либо процесс, называют *собственным временем* этого тела. Его обозначают Δt_0 . Как следует из (6.4), собственное время самое короткое. Время Δt того же процесса в другой системе отсчета зависит от скорости V этой системы относительно тела, в котором происходит процесс. Эта зависимость особенно

существенно наблюдается для скоростей V , сравнимых со скоростью света (рис. 111).

Таким образом, в отличие от классической механики течение времени в действительности зависит от состояния движения. Не существует единого мирового времени, и понятие «промежуток времени между двумя данными событиями» оказывается относительным. Утверждение, что между двумя данными событиями прошло столько-то секунд, приобретает смысл только тогда, когда указано, к какой системе отсчета это утверждение относится.

Абсолютное время классической механики является в теории относительности приближенным понятием, справедливым только при малых (по сравнению со скоростью света) относительных скоростях систем отсчета. Это сразу следует из (6.4) и видно из рис. 111: при $V \ll c$ $\Delta t \approx \Delta t_0$.

Итак, мы пришли к фундаментальному выводу: время в системе отсчета, движущейся с часами, течет медленнее

(для наблюдателя, относительно которого данные часы движутся). Это же относится и ко всем процессам, протекающим в движущихся относительно наблюдателя системах отсчета.

Естественно, возникает вопрос: заметит ли наблюдатель в K' -системе, движущейся относительно K -системы, что его часы идут медленнее, чем часы K -системы? Нет, не заметит. Это сразу же следует из принципа относительности. Если бы K' -наблюдатель тоже обнаружил замедление времени в своей системе отсчета, то это означало бы, что для *обоих* наблюдателей — K' и K — время течет медленнее в одной из инерциальных систем отсчета. Из этого они заключили бы, что одна из инерциальных систем отсчета отличается от другой — в противоречии с принципом относительности.

Отсюда следует, что эффект замедления времени является взаимным, симметричным относительно обеих инерциальных систем отсчета K и K' . Иначе говоря, если с точки зрения K -системы медленнее идут часы K' -системы, то

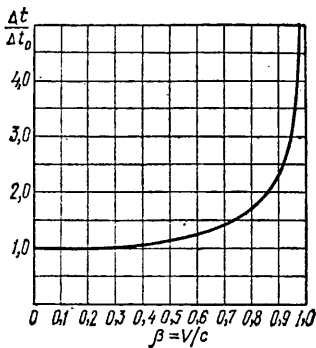


Рис. 111

с точки зрения K' -системы, наоборот, медленнее идут часы K -системы (причем в том же отношении). Это обстоятельство указывает на то, что явление замедления времени является чисто кинематическим. Оно представляет собой обязательное следствие инвариантности скорости света и никак не может быть приписано какому-либо изменению в свойствах часов, обусловленному их движением.

Формула (6.4) сразу же нашла экспериментальное подтверждение, объяснив «загадочное» на первый взгляд поведение мюонов при прохождении заменой атмосферы. Мюоны — это нестабильные частицы, которые самопроизвольно распадаются в среднем через $2 \cdot 10^{-6}$ с (это время измерено в условиях, когда они неподвижны или движутся с малыми скоростями). Мюоны образуются в верхних слоях атмосферы на высоте 20 — 30 км. Если бы время жизни мюонов не зависело от скорости, то, двигаясь даже со скоростью света, они не смогли бы проходить путь больше, чем $c\Delta t = 3 \cdot 10^8 \times 2 \cdot 10^{-6} \text{ м} = 600 \text{ м}$. Однако наблюдения показывают, что значительное число мюонов все-таки достигает земной поверхности.

Это объясняется тем, что время $2 \cdot 10^{-6}$ с — это собственное время Δt_0 жизни мюонов, т. е. время по часам, движущимся вместе с мюонами. Время же по земным часам должно быть, согласно (6.4), гораздо больше (скорость этих частиц близка к скорости света) и оказывается достаточным, чтобы мюоны могли достигнуть поверхности Земли.

В заключение несколько слов о так называемом «парадоксе часов», или «парадоксе близнецов». Пусть имеются двое одинаковых часов A и B , из которых часы A неподвижны в некоторой инерциальной системе отсчета, а часы B сначала удаляются от часов A и затем возвращаются к ним. Предполагается, что в начальный момент, когда часы находились вместе, они показывали одно и то же время.

С «точки зрения» часов A движущимися являются часы B , поэтому они идут медленнее и по возвращении отстанут от часов A . С «точки же зрения» часов B , наоборот, движутся часы A , поэтому по возвращении отстанут именно они. Явное противоречие — в этом суть «парадокса».

В действительности в этих рассуждениях допущена принципиальная ошибка. Эта ошибка касается рассуждения с «точки зрения» часов B , ибо система отсчета, связанная с этими часами, является неинерциальной (она сначала удаляется с ускорением, а затем приближается), и мы не имеем права в данном случае использовать результаты, относящиеся только к инерциальным системам отсчета. Детальный расчет, выходящий за рамки специальной теории относительности, показывает, что часы, движущиеся

с ускорением (в нашем случае часы B), идут медленнее, поэтому при возвращении отстанут именно они.

Лоренцево сокращение. Пусть стержень AB движется относительно K -системы отсчета с постоянной скоростью V (рис. 112) и длина стержня равна l_0 в системе отсчета K' , связанной со стержнем. Наша задача — определить длину l данного стержня в K -системе.

Проведем для этого следующий мысленный эксперимент. Сделаем на оси x K -системы метку M и установим около нее часы. Зафиксируем по этим часам время пролета Δt_0 стержня мимо метки M . Тогда можно утверждать, что искомая длина стержня в K -системе

$$l = V\Delta t_0.$$

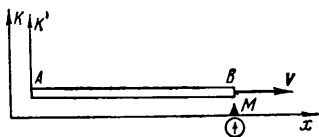


Рис. 112

Для наблюдателя, связанного со стержнем, время пролета будет иным. Действительно, для него часы, показавшие пролетное время Δt_0 , движутся со скоростью V , а значит, показывают «чужое» время. «Свое» время пролета Δt для этого наблюдателя будет, согласно (6.4), больше. Это время он может найти из соотношения

$$l_0 = V\Delta t.$$

Из этих двух уравнений, с учетом (6.4) получим

$$l/l_0 = \Delta t_0/\Delta t = \sqrt{1 - \beta^2},$$

или

$$\boxed{l = l_0 \sqrt{1 - \beta^2}}, \quad (6.5)$$

где $\beta = V/c$. Длину l_0 , измеренную в системе отсчета, где стержень неподвижен, называют *собственной длиной*.

Таким образом, продольная длина движущегося стержня оказывается меньше его собственной длины, т. е. $l < l_0$. Это явление называют *лоренцевым сокращением*. Заметим, что данное сокращение относится только к продольным размерам тел (размерам в направлении движения), поперечные же размеры, как было установлено, не меняются. Сравнительно с формой тела в системе отсчета, где оно покоится, его форма в движущейся системе отсчета может характеризоваться как сплюснутая в направлении движения.

Сокращение длины движущегося стержня поясняет рис. 113, из которого видно, что в системе отсчета, связан-

ной со стержнем, его длина $l_0 = 5$ м, а в K -системе, относительно которой стержень движется со скоростью $V = \frac{4}{5}c$, его длина $l = 3$ м.

Из формулы (6.5) следует, что эффект сокращения зависит от скорости V . Эта зависимость особенно существенно проявляется для скоростей V , сравнимых со скоростью света (рис. 114).

Итак, в разных инерциальных системах отсчета длина одного и того же стержня оказывается различной. Иными словами, *длина — понятие относительное*, имеющее смысл только по отношению той или иной системы отсчета. Утверждение, что длина тела столько-то метров, не имеет смысла, пока не указано, к какой именно системе отсчета отнесена эта величина.

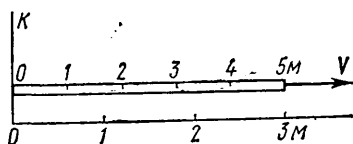


Рис. 113

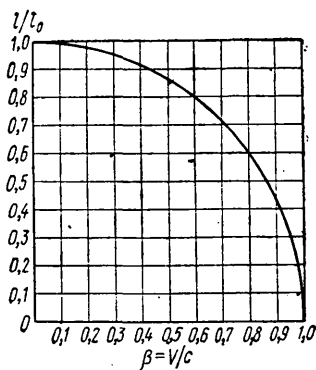


Рис. 114

При малых же скоростях ($V \ll c$), как следует из (6.5) и видно из рис. 114, $l \approx l_0$ и длина тела приобретает практически абсолютный смысл.

Необходимо отметить, что лоренцево сокращение, как и замедление времени, должно быть взаимным. Это значит, что если мы будем сравнивать два движущихся относительно друг друга стержня, собственная длина которых одинакова, то с «точки зрения» каждого из этих стержней длина другого стержня будет короче, причем в одинаковом отношении. Если бы это было не так, то имелась бы возможность экспериментально отличить инерциальные системы отсчета, связанные с этими стержнями, что, однако, противоречит принципу относительности.

Это говорит о том, что *лоренцево сокращение является также чисто кинематическим эффектом* — в теле не возникает каких-либо напряжений, вызывающих деформацию.

Подчеркнем, что лоренцево сокращение тел в направлении их движения, равно как и замедление времени, пред-

ставляет собой реальный и объективный факт, отнюдь не связанный с какими-либо иллюзиями наблюдателя. Все значения размеров данного тела или промежутков времени, полученные в разных системах отсчета, являются равноправными (все они «правильные»). Трудность понимания этих утверждений связана исключительно с нашей привычкой, основанной на повседневном опыте, считать понятия длины и промежутков времени абсолютными понятиями, когда в действительности это не так. Понятия длины и промежутка времени столь же относительны, как понятия движения и покоя.

§ 6.4. Преобразования Лоренца

Теперь нам предстоит решить фундаментальный вопрос о формулах преобразования координат и времени (имеются в виду формулы, связывающие координаты и моменты времени одного и того же события в разных инерциальных системах отсчета).

Преобразования Галилея? Напомним, что эти преобразования основаны на предположениях, что длина тел не зависит от движения и время течет одинаково в различных инерциальных системах отсчета. Однако в предыдущем параграфе мы обнаружили, что в действительности это не так: течение времени и длина тел зависят от системы отсчета — выводы, являющиеся неизбежным следствием постулатов Эйнштейна. Поэтому мы вынуждены отказаться от преобразований Галилея, или, говоря точнее, признать, что они — лишь частный случай каких-то более общих преобразований.

Перед нами возникает задача отыскания таких формул преобразования, которые, во-первых, учитывали бы замедление времени и лоренцево сокращение (т. е. были бы в конечном счете следствиями постулатов Эйнштейна), и, во-вторых, переходили бы в предельном случае малых скоростей в преобразования Галилея. Перейдем к решению этой задачи.

Рассмотрим две инерциальные системы отсчета K и K' . Пусть K' -система движется относительно K -системы со скоростью V . Направим координатные оси обеих систем отсчета так, как показано на рис. 115: оси x и x' совпадают и направлены параллельно вектору V , а оси y и y' параллельны друг другу. Установим в разных точках обеих систем отсчета одинаковые часы и синхронизируем их — отдель-

но часы K -системы и отдельно часы K' -системы. И наконец, возьмем за начало отсчета времени в обеих системах момент, когда начала координат O и O' совпадают ($t = t' = 0$).

Предположим теперь, что в момент времени t (в K -системе) в точке с координатами x, y произошло некоторое событие A , например вспыхнула лампочка. Наша задача — найти координаты x', y' и момент времени t' этого события в K' -системе.

Вопрос относительно координаты y' был уже решен в начале этого параграфа, где было показано [см. формулу (6.3)], что $y' = y$. Поэтому сразу перейдем к нахождению координаты x' события. Координата x' характеризует собственную длину отрезка $O'P$,

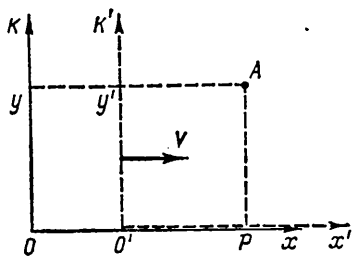


Рис. 115

неподвижного в K' -системе (рис. 115). Длина же этого отрезка в K -системе, где отсчет производится в момент t , равна $x - Vt$. Связь между этими длинами дается формулой (6.5), согласно которой $x - Vt = x' \sqrt{1 - \beta^2}$. Отсюда

$$x' = (x - Vt) / \sqrt{1 - \beta^2}. \quad (6.6)$$

С другой стороны, координата x характеризует собственную длину отрезка OP , неподвижного в K -системе. Длина же этого отрезка в K' -системе, где измерение проводится в момент t' , равна $x' + Vt'$. Учитывая опять (6.5), получим $x' + Vt' = x \sqrt{1 - \beta^2}$, откуда

$$x = (x' + Vt') / \sqrt{1 - \beta^2}. \quad (6.6')$$

Полученные формулы позволяют также установить и связь между моментами времени t и t' события A в обеих системах отсчета. Для этого достаточно исключить из (6.6) и (6.6') x' или x , после чего найдем:

$$t' = (t - xV/c^2) / \sqrt{1 - \beta^2}; \quad t = (t' + x'V/c^2) / \sqrt{1 - \beta^2}. \quad (6.7)$$

Формулы (6.3), (6.6), (6.6') и (6.7) называют *преобразованиями Лоренца*. Они играют фундаментальную роль в теории относительности. По этим формулам осуществляется преобразование координат и времени любого события при переходе от одной инерциальной системы отсчета к другой.

Итак, преобразования Лоренца при переходе от K -к K' -системе имеют вид:

$$\boxed{x' = \frac{x - Vt}{\sqrt{1 - \beta^2}}; \quad y' = y; \quad t' = \frac{t - xV/c^2}{\sqrt{1 - \beta^2}},} \quad (6.8)$$

а при обратном переходе от K' -к K -системе —

$$\boxed{x = \frac{x' + Vt'}{\sqrt{1 - \beta^2}}; \quad y = y'; \quad t = \frac{t' + x'V/c^2}{\sqrt{1 - \beta^2}},} \quad (6.9)$$

где $\beta = V/c$, V — скорость K' -системы относительно K -системы.

Следует сразу же обратить внимание на симметрию (одинаковый вид) формул (6.8) и (6.9), что является следствием полного равноправия обеих систем отсчета (различный знак при V в этих формулах обусловлен лишь противоположным направлением движения систем K и K' относительно друг друга).

Преобразования Лоренца сильно отличаются от преобразований Галилея (6.1), однако последние могут быть получены из (6.8) и (6.9), если в них формально положить $c = \infty$. Что это значит?

В конце предыдущего параграфа было отмечено, что в основе преобразований Галилея лежит допущение о синхронизации часов с помощью мгновенно распространяющихся сигналов. Из этого обстоятельства вытекает, что величина c в преобразованиях Лоренца играет роль скорости тех сигналов, которые используют для синхронизации часов. Если эта скорость бесконечно велика, то получаются преобразования Галилея; если же она равна скорости света, то — преобразования Лоренца. Таким образом, в основе преобразований Лоренца лежит допущение о синхронизации часов с помощью световых сигналов, имеющих предельную скорость.

Замечательной особенностью преобразований Лоренца является то, что при $V \ll c$ они переходят* в преобразования Галилея (6.1). Таким образом, в предельном случае

* Строго говоря, необходимо еще, чтобы $x/c \ll t$, т. е. чтобы времена распространения световых сигналов на расстояния, фигурирующие в рассматриваемых задачах (x/c), были малы по сравнению с интересующими нас промежутками времени. При этом условии можно считать, что сигналы распространяются практически мгновенно.

$V \ll c$ законы преобразования теории относительности и классической механики совпадают. Это означает, что теория относительности не отвергает преобразований Галилея как неправильные, но включает их в истинные законы преобразования как частный случай, справедливый при $V \ll c$. В дальнейшем мы увидим, что это отражает общую взаимосвязь между теорией относительности и классической механикой — законы и соотношения теории относительности переходят в законы классической механики в предельном случае малых скоростей.

Далее, из преобразований Лоренца видно, что при $V > c$ подкоренные выражения становятся отрицательными и формулы теряют физический смысл. Это соответствует тому факту, что движение тел со скоростью, большей скорости света в вакууме, невозможно. Нельзя даже пользоваться системой отсчета, движущейся со скоростью $V = c$; при этом подкоренные выражения обращаются в нуль и формулы также теряют физический смысл. Это значит, что, например, с фотоном, движущимся со скоростью c , принципиально не может быть связана система отсчета. Или иначе: не существует такой системы отсчета, в которой фотон был бы неподвижным.

И наконец, необходимо обратить внимание на то, что в формулы преобразования времени входит пространственная координата. Это важное обстоятельство указывает на неразрывную связь между пространством и временем. Другими словами, речь должна идти не отдельно о пространстве и времени, а о едином *пространстве — времени*, в котором протекают все физические явления.

§ 6.5. Следствия из преобразований Лоренца

Понятие одновременности. Пусть в K -системе отсчета происходят два каких-то события: $A_1(x_1, y_1, t_1)$ и $A_2(x_2, y_2, t_2)$. Найдем интервал времени между этими событиями в K' -системе, движущейся со скоростью V вдоль оси x , как показано на рис. 115. Согласно формуле преобразования времени (6.8), искомый интервал времени

$$t'_2 - t'_1 = \frac{(t_2 - t_1) - (x_2 - x_1) V/c^2}{\sqrt{1 - \beta^2}}. \quad (6.10)$$

Отсюда следует, что события, одновременные в K -системе ($t_2 = t_1$), не одновременны в K' -системе ($t'_2 - t'_1 \neq 0$).

Исключением является случай, когда оба события происходят в K -системе одновременно в точках с одинаковыми значениями координаты x (координата y может быть различной).

Таким образом, *одновременность — понятие относительное*; то, что одновременно в одной системе отсчета, в общем случае не одновременно в другой системе отсчета. Говоря об одновременности событий, необходимо указать систему отсчета, относительно которой одновременность имеет место. В противном случае понятие одновременности теряет смысл.

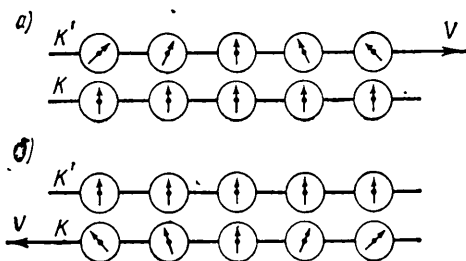


Рис. 116

Из относительности понятия одновременности следует, что часы K' -системы, расставленные вдоль оси x' и синхронизированные между собой в этой системе отсчета, в K -системе будут показывать разное время. В самом деле, возьмем для простоты момент, когда начала координат O и O' обеих систем отсчета совпадают и часы в этих точках показывают одно время: $t = t' = 0$. Тогда в K -системе в точке с координатой x часы K -системы показывают в этот момент время $t = 0$, часы же K' -системы в этой точке — иное время, t' . Действительно, согласно формуле преобразования времени (6.8),

$$t' = -xV/c^2\sqrt{1-\beta^2}.$$

Отсюда видно, что в момент $t = 0$ (в K -системе) часы K' -системы будут показывать разное время, зависящее от координаты x (так называемое *местное время*). Это показано на рис. 116, а. Относительно K' -системы картина будет обратной (рис. 116, б), как и должно быть в соответствии с равноправием обеих инерциальных систем отсчета.

Далее, из формулы (6.10) видно, что для одновременных в K -системе событий знак разности $t'_2 - t'_1$ определяется знаком выражения $-(x_2 - x_1)V$. Следовательно, в разных

системах отсчета (при разных значениях скорости V) разность $t'_2 - t'_1$ будет различной не только по модулю, но и по знаку. Последнее означает, что порядок событий A_1 и A_2 может быть любым (как прямым, так и обратным).

Сказанное, однако, не относится к причинно-связанным событиям. Порядок следования таких событий (причина \rightarrow следствие) будет одинаков во всех системах отсчета. В этом легко убедиться из следующего рассуждения. Рассмотрим, например, выстрел — событие $A_1(x_1, t_1)$ и попадание пули в мишень — событие $A_2(x_2, t_2)$, предполагая, что оба события происходят на оси x . В K -системе отсчета $t_2 > t_1$, скорость пули v и пусть для определенности $x_2 > x_1$, причем ясно, что $x_2 - x_1 = v(t_2 - t_1)$. После подстановки этого равенства в формулу (6.10) получим

$$t'_2 - t'_1 = (t_2 - t_1)(1 - vV/c^2)/\sqrt{1 - \beta^2}.$$

Величина, стоящая во второй круглой скобке числителя, всегда положительна в связи с тем, что $V < c$ (даже при $v = c$, когда причинно-следственная связь обусловлена максимально возможной скоростью передачи сигналов или взаимодействий). Отсюда следует, что если $t_2 > t_1$, то и $t'_2 > t'_1$, т. е. порядок следования причинно-следственных событий одинаков во всех инерциальных системах отсчета.

Лоренцево сокращение. Расположим неподвижный в K' -системе стержень вдоль оси x' , т. е. вдоль направления движения этой системы отсчета относительно K -системы. Пусть длина стержня в K' -системе равна $l_0 = x'_2 - x'_1$ (собственная длина).

В K -системе, относительно которой стержень движется, его длину *определяют* как расстояние l между координатами x_2 и x_1 его концов, взятым в один и тот же момент времени ($t_2 = t_1$). Воспользовавшись преобразованиями Лоренца (6.8) для координат x' и x , запишем

$$l_0 = x'_2 - x'_1 = (x_2 - x_1)/\sqrt{1 - \beta^2} = l/\sqrt{1 - \beta^2},$$

откуда

$$l = l_0\sqrt{1 - \beta^2}. \quad (6.11)$$

Таким образом, длина l движущегося стержня оказывается меньше его собственной длины l_0 , и в разных инерциальных системах отсчета она будет своей. Этот результат полностью согласуется с полученным ранее (6.5).

Из определения длины следует, что относительность длины данного стержня является следствием относитель-

ности понятия одновременности. Это же относится и к форме любого тела — его размеры в направлении движения также различны в разных инерциальных системах отсчета.

Длительность процессов. Пусть в точке с координатой x' K' -системы отсчета протекает некоторый процесс, длительность которого в этой системе $\Delta t_0 = t'_2 - t'_1$ (собственное время процесса). Найдем длительность данного процесса $\Delta t = t_2 - t_1$ в K -системе, относительно которой K' -система движется.

Воспользуемся с этой целью преобразованиями Лоренца для времени. Так как процесс происходит в точке с фиксированной координатой x' K' -системы, то наиболее удобно использовать формулы (6.9):

$$t_2 - t_1 = (t'_2 - t'_1) / \sqrt{1 - \beta^2},$$

или

$$\Delta t = \Delta t_0 / \sqrt{1 - \beta^2}. \quad (6.12)$$

Отсюда видно, что длительность одного и того же процесса различна в разных инерциальных системах отсчета. В K -системе его длительность больше ($\Delta t > \Delta t_0$), а следовательно, в этой системе отсчета он протекает медленнее, чем в K' -системе. Это вполне согласуется с результатом, относящимся к ходу одних и тех же часов в разных инерциальных системах отсчета, — формулой (6.4).

Интервал. Относительный характер пространственных и временных промежутков отнюдь не означает, что теория относительности вообще отрицает существование каких бы то ни было абсолютных величин. В действительности дело обстоит как раз наоборот. Задача, которую ставит перед собой теория относительности, заключается в нахождении таких величин (и законов), которые не зависели бы от выбора инерциальной системы отсчета.

Первой из этих величин является универсальная скорость распространения взаимодействий, равная скорости света в вакууме. Другой, также весьма важной инвариантной величиной является так называемый *интервал* s_{12} между событиями 1 и 2, квадрат которого определяется как

$$\boxed{s_{12}^2 = c^2 t_{12}^2 - l_{12}^2 = \text{inv}}, \quad (6.13)$$

где t_{12} — промежуток времени между событиями, l_{12} — расстояние между двумя точками, в которых происходят данные события ($l_{12}^2 = x_{12}^2 + y_{12}^2 + z_{12}^2$).

В инвариантности интервала можно легко убедиться, вычислив его непосредственно в K' - и K -системах отсчета. Воспользовавшись преобразованиями Лоренца (6.8) и учитывая, что $y'_{12} = y_{12}$ и $z'_{12} = z_{12}$, запишем:

$$c^2 t'^2_{12} - x'^2_{12} = c^2 \frac{(t_{12} - x_{12} V/c^2)^2}{1 - \beta^2} - \\ - \frac{(x_{12} - V t_{12})^2}{1 - \beta^2} = c^2 t^2_{12} - x^2_{12}.$$

Таким образом, действительно, интервал является величиной инвариантной. Иначе говоря, утверждение «два события разделены таким-то интервалом» имеет абсолютный характер — оно справедливо во всех инерциальных системах отсчета. Инвариантность интервала играет фундаментальную роль в теории относительности и служит весьма эффективным инструментом при анализе и решении многих вопросов (см., например, задачу 6.4).

Типы интервалов. В зависимости от того, какая составляющая в интервале преобладает, пространственная или временная, соответствующие интервалы называют:

пространственноподобными ($l_{12} > ct_{12}$),

временноподобными ($ct_{12} > l_{12}$).

Кроме этих двух типов интервалов существует еще третий — светоподобный ($ct_{12} = l_{12}$).

Если интервал между двумя событиями пространственноподобный, то всегда можно найти такую K' -систему отсчета, в которой оба события происходят одновременно ($t'_{12} = 0$):

$$c^2 t'^2_{12} - l'^2_{12} = - l'^2_{12}.$$

Если же интервал временноподобный, то всегда можно найти такую K' -систему отсчета, в которой оба события происходят в одной точке ($l'_{12} = 0$):

$$c^2 t'^2_{12} - l'^2_{12} = c^2 t'^2_{12}.$$

В случае пространственноподобных интервалов $l_{12} > ct_{12}$, т. е. ни в одной системе отсчета события не могут оказать влияния друг на друга, даже если бы связь между событиями осуществлялась с предельной скоростью c . Иначе обстоит дело в случае временноподобных или светоподобных интервалов, для которых $l_{12} \leq ct_{12}$. Следовательно, события, разделенные временноподобными или светоподобными интервалами, могут быть причинно-связанными друг с другом.

Преобразование скорости. Пусть в K -системе в плоскости x, y движется частица со скоростью \mathbf{v} , проекции которой v_x и v_y . Найдем с помощью преобразований Лоренца (6.8) проекции скорости этой частицы v'_x и v'_y в K' -системе, движущейся со скоростью V , как показано на рис. 115:

$$v'_x = \frac{dx'}{dt'} = \frac{dx'}{dt} \frac{1}{dt'/dt} = \frac{v_x - V}{1 - v_x V/c^2}, \quad (6.14)$$

$$v'_y = \frac{dy'}{dt'} = \frac{dy'}{dt} \frac{1}{dt'/dt} = \frac{v_y \sqrt{1 - \beta^2}}{1 - v_x V/c^2},$$

где $\beta = V/c$. Отсюда скорость частицы в K' -системе

$$v' = \sqrt{v'^2_x + v'^2_y} = \frac{V'(\overline{v_x - V})^2 + v'^2_y (1 - \beta^2)}{1 - v_x V/c^2}. \quad (6.15)$$

Эти формулы выражают так называемый *релятивистский закон преобразования скорости*. При малых скоростях ($V \ll c$ и $v \ll c$) они переходят, как нетрудно убедиться, в формулы преобразования скорости классической механики:

$$v'_x = v_x - V; \quad v'_y = v_y,$$

или в векторном виде

$$\mathbf{v}' = \mathbf{v} - \mathbf{V}.$$

Обратим внимание на то, что последняя формула оказывается справедливой только в ньютоновском приближении; в релятивистской же области она не имеет смысла — здесь нет простого закона сложения скоростей. В этом можно легко убедиться хотя бы на таком примере. Пусть вектор скорости \mathbf{v} частицы в K -системе перпендикулярен оси x , т. е. имеет проекции $v_x = 0$ и $v_y = v$. Тогда согласно (6.14) проекции скорости этой частицы в K' -системе:

$$v'_x = -V; \quad v'_y = v_y \sqrt{1 - \beta^2}. \quad (6.16)$$

Это значит, что в данном случае ($\mathbf{v} \perp$ оси x) v'_y -проекция скорости уменьшается при переходе к K' -системе, и ясно, что $\mathbf{v}' \neq \mathbf{v} - \mathbf{V}$ (рис. 117).

Рассмотрим теперь случай, когда две частицы движутся навстречу друг другу с одинаковыми скоростями v в K -системе отсчета. Чему равна скорость v' одной частицы относительно другой? В нерелятивистском приближении ответ получается немедленно: $2v$. В случае же больших скоростей необходимо воспользоваться первой из формул (6.14), взяв

ось x вдоль направления движения частиц. Свяжем с одной из частиц, например с той, которая движется в положительном направлении оси x , K' -систему отсчета. Тогда задача сведется к нахождению скорости другой частицы в этой системе отсчета. Подставив в (6.14) $v_x = -v$ и $V = v$, получим

$$v'_x = -2v/[1 + (v/c)^2].$$

Знак минус означает, что в данном случае вторая частица движется в отрицательном направлении оси x' K' -системы отсчета. Следует отметить тот факт, что даже в том случае, когда обе частицы движутся практически с максимально возможной скоростью $v \approx c$, скорость v' не может превзойти c (это сразу видно из последней формулы).

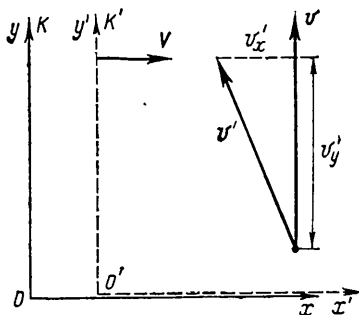


Рис. 117

И наконец, проверим непосредственно, что релятивистские формулы преобразования скоростей соответствуют утверждению

второго постулата Эйнштейна относительно неизменности скорости света c во всех инерциальных системах отсчета. Пусть вектор c имеет в K -системе проекции c_x и c_y , т. е. $c^2 = c_x^2 + c_y^2$. Воспользуемся формулой (6.15), преобразовав в ней подкоренное выражение следующим образом:

$$c_x^2 - 2c_x V + V^2 + (c^2 - c_x^2) \left(1 - \frac{V^2}{c^2} \right) = \left(c - \frac{c_x V}{c} \right)^2.$$

После этого нетрудно получить, что $v' = c$. При этом, конечно, вектор c' в K' -системе будет иметь в общем случае другое направление.

§ 6.6. Геометрическая интерпретация преобразований Лоренца

Рассмотрим теперь релятивистские представления о пространстве—времени с помощью геометрического метода, развитого Минковским и помогающего в другом свете представить сущность преобразований Лоренца.

Диаграммы Минковского. Пусть имеются две инерциальные системы отсчета: K -система и K' -система, движущаяся относительно

нее со скоростью V . Сначала построим так называемую диаграмму пространства — времени для K -системы ограничиваясь для большей простоты и наглядности одномерным случаем (рис. 118). На оси ординат данной диаграммы откладывают обычно не само время t , а величину $\tau = ct$, c — скорость света. Это дает возможность проградировать обе оси — Ox и $O\tau$ — в метрах, причем в одном и том же масштабе.

Каждая точка диаграммы — ее называют *мировой точкой* — характеризует некоторое событие $A(x, \tau)$. Всякой частице (даже неподвижной) на этой диаграмме соответствует *мировая линия*. Например, ось $O\tau$ — это мировая линия частицы, покоящейся в точке $x = 0$. Ось Ox изображает совокупность всех событий, одновременных с событием O , независимо от координаты x .

Мировая линия, соответствующая распространению света из точки O в положительном направлении оси x , представляет собой биссектрису OC прямого угла (точечная прямая на рис. 118).

Теперь изобразим на этой диаграмме оси τ' и x' K' -системы. Мировую линию начала отсчета K' -системы получим, положив в преобразованиях Лоренца (6.8) $x' = 0$. Тогда $x = Vt = \beta\tau$, где $\beta = V/c$. Это есть уравнение прямой, которая составляет с осью τ угол ϑ , определяемый формулой $\operatorname{tg} \vartheta = \beta$. Полученная прямая — мировая линия — представляет собой совокупность всех событий, происходящих в начале отсчета K' -системы, т. е. ось τ' .

Ось x' K' -системы — это прямая, изображающая все события, одновременные в K' -системе с событием O . Положив в преобразованиях Лоренца (6.8) $t' = 0$, получим $ct = xV/c$, или $\tau = \beta x$. Отсюда следует, что ось x' составляет с осью x тот же угол ϑ ($\operatorname{tg} \vartheta = \beta$).

Таким образом, оси τ' и x' K' -системы расположены симметрично по отношению к мировой линии света OC , и координатная сетка K' -системы (τ' , x') оказывается косоугольной. Чем больше скорость V K' -системы, тем более «сплюсненной» будет ее координатная сетка (при $V \rightarrow c$ она вырождается в мировую линию света).

Последнее, что необходимо сделать на данной диаграмме, — это проградировать оси τ , x и τ' , x' обеих систем отсчета. Проще всего это можно сделать, воспользовавшись инвариантностью интервала:

$$s^2 = \tau^2 - x^2 = \tau'^2 - x'^2.$$

Отметим на оси τ K -системы точку, соответствующую единице времени в K -системе ($\tau = 1$, рис. 119). Проведем через эту точку гиперболу

$$\tau^2 - x^2 = 1,$$

все точки которой отвечают инвариантному интервалу $s = 1$ (ибо при $x = 0$ $\tau = 1$ и $s = 1$). Ее асимптотой является мировая линия света. Точка пересечения этой гиперболы оси τ' соответствует еди-

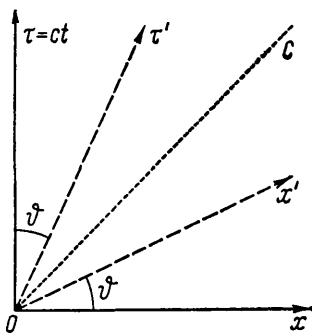


Рис. 118

нице времени в K' -системе. Действительно, $\tau'^2 - x'^2 = 1$ и при $x' = 0$ $\tau' = 1$.

Аналогично градуируются и оси x, x' : возьмем в K -системе точку $x = 1, \tau = 0$ и проведем через нее гиперболу $x^2 - \tau^2 = 1$. Тогда точка пересечения ее с осью x' , где $\tau' = 0$, дает единицу длины ($x' = 1$) в K' -системе (так как $x'^2 - \tau'^2 = 1$ и $\tau' = 0$, то $x' = 1$).

Построенная таким образом диаграмма — *диаграмма Минковского* — соответствует переходу от K - к K' -системе и отвечает преобразованиям Лоренца (6.8). В согласии с принципом относительности для обратного перехода от K' - к K -системе диаграмма бу-

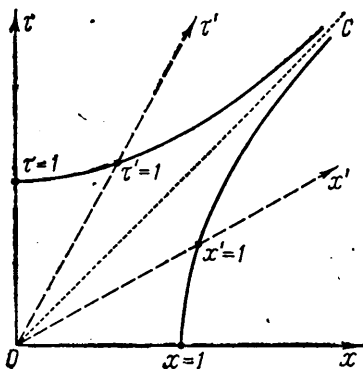


Рис. 119

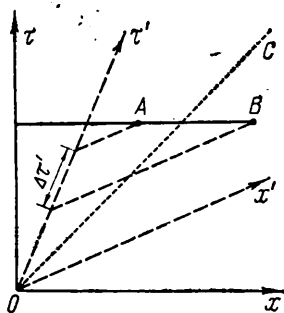


Рис. 120

дет иметь совершенно симметричный вид: у K' -системы координатная сетка будет прямоугольной, а у K -системы — косоугольной (предоставим в этом убедиться самому читателю).

Теперь покажем, как просто и наглядно диаграмма Минковского позволяет интерпретировать, например, такие релятивистские эффекты, как относительность понятия одновременности, замедление времени и лоренцево сокращение.

Относительность понятия одновременности следует непосредственно из рис. 120. Действительно, события A и B , одновременные в K -системе, в K' -системе оказываются неодновременными. Событие A произойдет позже события B на время $\Delta\tau'$.

Замедление времени. Рассмотрим двое часов, K и K' , которые показывали одинаковое время $\tau = \tau' = 0$ в момент, когда они находились в одной точке пространства ($x = x' = 0$). Предполагается, что часы K неподвижны в K -системе, а часы K' — в K' -системе.

Пусть по часам K прошла единица времени ($\tau = 1$); это отвечает событию A на диаграмме (рис. 121). Проведем через точку A гиперболу $\tau^2 - x^2 = 1$ и прямую AB' , характеризующую все события, одновременные в K -системе с событием A . Пересечение оси τ' (мировой линии часов K') с гиперболой дает точку A' ($\tau' = 1$), а с прямой OB' — точку B' ($\tau' < 1$). Это значит, что в K' -системе в момент, когда по часам K уже прошла единица времени, по движущимся часам K' единица времени еще не прошла, т. е. часы K' идут замедленно.

Убедимся с помощью этой же диаграммы, что эффект замедления времени является обратимым. Проведем прямую BA' , параллельную оси x' , которая характеризует все события, одновременные в K' -системе с событием A' ($\tau' = 1$). Точка пересечения B этой прямой с мировой линией часов K — осью τ — показывает, что $\tau < 1$, т. е., в самом деле, по отношению к K' -системе замедленно идущими оказываются теперь часы K .

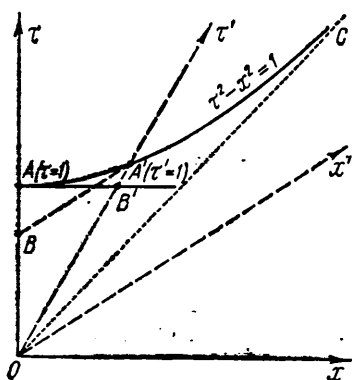


Рис. 121

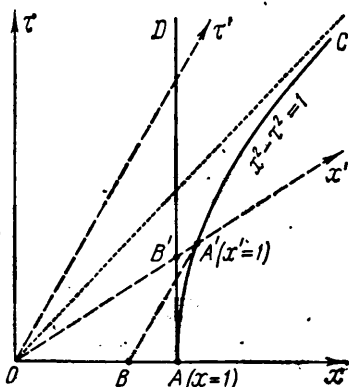


Рис. 122

Лоренцево сокращение. Пусть метровый стержень покоится в K -системе (отрезок OA на рис. 122). Мировые линии его концов — это прямые $O\tau$ и AD . Чтобы измерить длину этого стержня в K' -системе, надо зафиксировать координаты его концов одновременно в этой системе. Но в K' -системе одновременным с событием O (фиксированием левого конца стержня) является событие B' — точка пересечения мировой линии правого конца стержня с линией одновременности Ox' . Из диаграммы видно, что в K' -системе $OB' < OA'$, т. е. движущийся относительно K' -системы стержень будет короче одного метра.

Так же просто можно показать, что и лоренцево сокращение является обратимым. Если метровый стержень покоится в K' -системе (отрезок OA'), то, проведя мировые линии его концов в этой системе ($O\tau'$ и $A'B$), увидим, что в K -системе при одновременном измерении его концов отрезок $OB < OA$, т. е. по отношению к K -системе лоренцево сокращение будет испытывать K' -стержень.

Задачи к главе 6

● 6.1. В K -системе отсчета находится неподвижный стержень длины $l = 1,00$ м, ориентированный под углом $\phi = 45^\circ$ к оси x (рис. 123). Найти его длину l' и соответствующий угол ϕ' в K' -системе, движущейся относительно K -системы со скоростью $V = c/2$ вдоль оси x .

Решение. Длина стержня в K' -системе

$$l' = \sqrt{(\Delta x')^2 + (\Delta y')^2} = \sqrt{(\Delta x)^2(1 - \beta^2) + (\Delta y)^2}$$

Имея в виду, что $\Delta x = l \cos \vartheta$ и $\Delta y = l \sin \vartheta$, получим

$$l' = l \sqrt{1 - \beta^2} \cos^2 \vartheta = 0,94 \text{ м.}$$

Угол ϑ' в K' -системе найдем через тангенс:

$$\operatorname{tg} \vartheta' = \frac{\Delta y'}{\Delta x'} = \frac{\Delta y}{\Delta x \sqrt{1 - \beta^2}} = \frac{\operatorname{tg} \vartheta}{\sqrt{1 - \beta^2}}; \quad \vartheta' = 49^\circ.$$

Следует обратить внимание на то, что полученные результаты не зависят от направления скорости K' -системы.

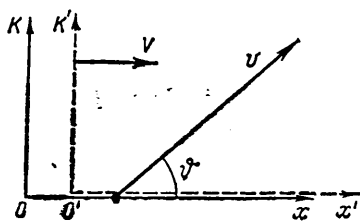


Рис. 123

● 6.2. Стержень движется вдоль линейки с некоторой постоянной скоростью. Если зафиксировать положение обоих концов стержня одновременно в системе



Рис. 124

отсчета, связанной с линейкой, то длина стержня $l_1 = 4,0$ м. Если же положение обоих концов зафиксировать одновременно в системе отсчета, связанной со стержнем, то разность отсчетов по линейке $l_2 = 9,0$ м. Найти:

- 1) собственную длину стержня;
- 2) скорость стержня относительно линейки.

Решение. Собственная длина стержня l_0 связана с l_1 и l_2 следующими формулами:

$$l_1 = l_0 \sqrt{1 - \beta^2}; \quad l_0 = l_2 \sqrt{1 - \beta^2},$$

где β — скорость стержня (в единицах скорости света). Из этих формул получим:

$$1) \quad l_0 = \sqrt{l_1 l_2} = 6 \text{ м}; \quad 2) \quad \beta = \sqrt{1 - l_1/l_2} = 5/3 \approx 0,75, \text{ или } v = 0,75 c.$$

● 6.3. «Парадокс» стержня и трубки. В K -системе покоится трубка AB длины $1,0$ м. Возьмем стержень $A'B'$ длины $2,0$ м и сообщим ему такую скорость, чтобы его длина в K -системе стала равной $1,0$ м. Тогда в некоторый момент стержень, пролетая сквозь трубку, целиком в ней уместится. Однако с «точки зрения» стержня лоренцево сокращение вдвое претерпевает трубка, поэтому ясно, что стержень ($2,0$ м) не поместится в трубке ($0,5$ м). Есть ли здесь противоречие?

Решение. С «точки зрения» трубки концы пролетающего стержня совпадут с концами трубки одновременно. С «точки же зрения» стержня совпадения концов произойдут не одновременно: сначала совпадут концы B и B' (рис. 124), а затем через промежуток

времени Δt — концы A и A' . Это время можно вычислить так:

$$\Delta t = (L_0 - l)/V = 6 \cdot 10^{-9} \text{ с,}$$

где $L_0 = 2,0$ м — собственная длина стержня, $l = 0,5$ м — длина движущейся относительно стержня трубки, V — ее скорость. Последнюю находим с помощью формулы (6.11): $V = c\sqrt{3}/2$.

● 6.4. Найти расстояние, которое пролетала в K -системе отсчета нестабильная частица от момента ее рождения до распада, если ее время жизни в этой системе отсчета $\Delta t = 3,0 \cdot 10^{-6}$ с, а собственное время жизни $\Delta t_0 = 2,2 \cdot 10^{-6}$ с.

Решение. Воспользовавшись формулой (6.12), найдем скорость частицы V и затем искомое расстояние:

$$l = \Delta t \cdot V = \Delta t \cdot c\sqrt{1 - (\Delta t_0/\Delta t)^2} = 0,6 \text{ км.}$$

Другой способ решения основан на использовании инвариантности интервала:

$$c^2(\Delta t_0)^2 = c^2(\Delta t)^2 - l^2,$$

где слева записан квадрат интервала в системе отсчета, связанной с самой частицей, а справа — квадрат интервала в K -системе. Отсюда получается тот же результат для l .

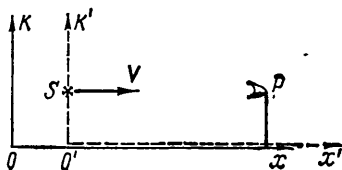


Рис. 125

● 6.5. Эффект Доплера. В K -системе отсчета находится неподвижный приемник P световых сигналов (рис. 125). К нему со скоростью V приближается источник S световых сигналов. В системе отсчета, связанной с источником, сигналы испускаются с частотой ν_0 . С какой частотой ν будет воспринимать эти сигналы приемник P ?

Решение. Промежуток времени между двумя последовательными сигналами (импульсами) в K' -системе, связанной с источником, равен $T_0 = 1/\nu_0$. Так как эта система движется со скоростью V , то соответствующий промежуток времени в K -системе, согласно (6.12), будет больше:

$$T = T_0/\sqrt{1 - \beta^2}, \quad \beta = V/c.$$

Расстояние между соседними импульсами в K -системе

$$\lambda = cT - VT = (c - V)T = (c - V) \frac{T_0}{\sqrt{1 - \beta^2}} \quad (1)$$

Поэтому воспринимаемая приемником частота

$$\nu = \frac{c}{\lambda} = \frac{c\sqrt{1 - \beta^2}}{T_0(c - V)} = \nu_0 \sqrt{\frac{1 + \beta}{1 - \beta}}$$

или

$$\nu = \nu_0 \frac{\sqrt{1 - \beta^2}}{1 - \beta}.$$

Если источник приближается (как в нашем случае), то $\nu > \nu_0$, если же удаляется, то $\nu < \nu_0$ (в этом случае знак β меняется

на противоположный, рис. 126). Полученная формула для частоты ν выражает так называемый *продольный эффект Доплера*.

Заметим, что в классической физике $T = T_0$ в соответствии с абсолютностью времени. Поэтому классическая формула для эффекта Доплера не содержит корня $\sqrt{1 - \beta^2}$ (вместо него стоит единица):

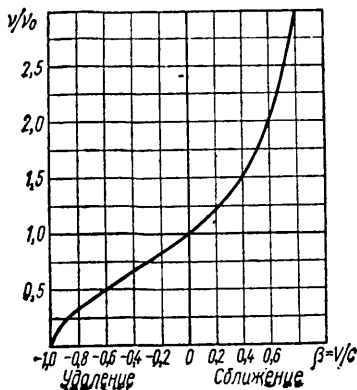


Рис. 126

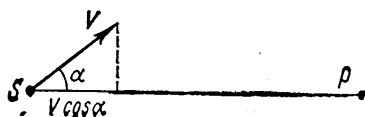


Рис. 127

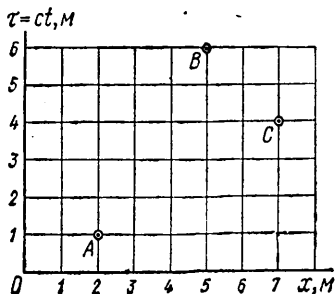


Рис. 128

● 6.6. Соотношения между событиями. На рис. 128 изображена *диаграмма пространства — времени*. Каждая точка этой диаграммы (*мировая точка*) характеризует некоторое событие — его координату и момент времени, когда оно произошло. Рассмотрим три события, соответствующие мировым точкам А, В и С. Убедиться, что между этими событиями имеют место следующие соотношения:

$$\begin{aligned} \nu &= \nu_0 / (1 - \beta) \approx \\ &\approx \nu_0 (1 + V/c). \end{aligned}$$

Рассмотрим попутно более общий случай: в K -системе скорость V источника составляет угол α с линией наблюдения (рис. 127). В этом случае в формуле (1) достаточно заменить V на $V \cos \alpha$. Тогда

$$\nu = \nu_0 \frac{\sqrt{1 - \beta^2}}{1 - \beta \cos \alpha}.$$

В частности, при $\alpha = \pi/2$ наблюдается так называемый *поперечный эффект Доплера*:

$$\nu = \nu_0 \sqrt{1 - \beta^2},$$

при котором наблюдаемая частота оказывается всегда меньше «собственной» ν_0 . Последнее выражение, кстати, является просто следствием замедления времени в движущейся системе отсчета; его можно получить и непосредственно из формулы (6.12):

$$\begin{aligned} \nu &= \frac{1}{T} = \frac{1}{T_0 / \sqrt{1 - \beta^2}} = \\ &= \nu_0 \sqrt{1 - \beta^2}. \end{aligned}$$

Пара событий	Тип интервала	Собственное		Возможность причинно-следственной связи
		время $\Delta t_0, м$	расстояние $\Delta x_0, м$	
AB	Времениподобный	4	—	$A \rightarrow B$
AC	Пространственноподобный	—	4	Нет
BC	Светоподобный	0	0	$C \rightarrow B$

У к а з а н и е: воспользоваться инвариантностью интервала.

● 6.7. Две частицы движутся в K -системе под прямым углом друг к другу: первая со скоростью v_1 , вторая со скоростью v_2 . Найти скорость одной частицы относительно другой.

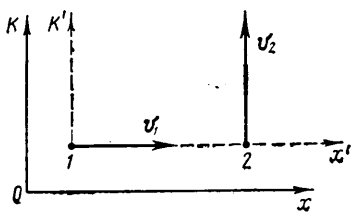


Рис. 129

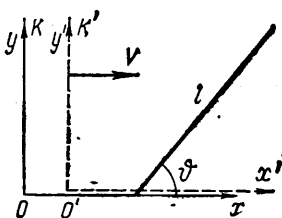


Рис. 130

Р е ш е н и е. Возьмем оси координат K -системы, как показано на рис. 129. Свяжем с частицей 1 K' -систему, тогда скорость частицы 2 в этой системе отсчета и есть искомая скорость. С помощью формулы (6.15), положив $V = v_1$ и $v_x = 0$, получим

$$v'_2 = \sqrt{v'^2_x + v'^2_y} = \sqrt{v^2_1 + v^2_2 - (v_1 v_2/c)^2}.$$

Заметим, что, по классическому закону сложения скоростей,

$$v'_2 = \sqrt{v^2_1 + v^2_2}.$$

● 6.8. Преобразование направления скорости. Частица движется в K -системе со скоростью v под углом θ к оси x . Найти соответствующий угол θ' в K' -системе, движущейся со скоростью V , как показано на рис. 130.

Р е ш е н и е. Пусть в K -системе проекции вектора v равны v_x и v_y . Тогда для угла θ можно записать следующее соотношение:

$$\operatorname{tg} \theta = v_y/v_x.$$

В K' -системе с учетом формул (6.14) получим

$$\operatorname{tg} \theta' = v'_y/v'_x = v_y \sqrt{1 - \beta^2} / (v_x - V).$$

После подстановки $v_x = v \cos \theta$ и $v_y = v \sin \theta$ найдем

$$\operatorname{tg} \theta' = \frac{\sin \theta \cdot \sqrt{1 - \beta^2}}{\cos \theta - V/v}.$$

Как видно из этой формулы, закон преобразования углов для скорости иной, нежели для отрезков (см. задачу 6.1).

● 6.9. Стержень, ориентированный параллельно оси x K -системы отсчета, движется в этой системе со скоростью v в положительном направлении оси y . Найти угол θ' между этим стержнем и осью x' K' -системы, перемещающейся со скоростью V относительно K -системы в положительном направлении ее оси x . Оси x и x' совпадают, оси y и y' параллельны друг другу.

Решение. Пусть в некоторый момент концы стержня совпадают с осью x в K -системе. Эти два события, одновременные в K -системе, будут неодновременными в K' -системе; согласно (6.10), они произойдут через промежуток времени

$$\Delta t' = \Delta x V / c^2 \sqrt{1 - \beta^2},$$

где Δx — собственная длина стержня. За это время правый конец стержня окажется «выше» левого на $\Delta y' = v_y' \Delta t'$, где $v_y' = v \sqrt{1 - \beta^2}$ — см. формулу (6.16). Таким образом, в K' -системе данный стержень будет повернут против часовой стрелки на некоторый угол θ' , который можно определить по формуле

$$\operatorname{tg} \theta' = \Delta y' / \Delta x' = \beta v / c \sqrt{1 - \beta^2},$$

где $\Delta x' = \Delta x \sqrt{1 - \beta^2}$ — проекция стержня на ось x' в K' -системе, $\beta = V/c$.

● 6.10. Релятивистское преобразование ускорения. В K -системе движется частица со скоростью v и ускорением w . Найти ускорение этой частицы в K' -системе, которая перемещается со скоростью V в положительном направлении оси x K -системы. Рассмотреть случаи, когда частица движется вдоль следующих осей K -системы: 1) x , 2) y .

Решение. 1. Запишем каждую проекцию ускорения частицы в K' -системе таким образом:

$$w'_x = \frac{dv'_x}{dt'} = \frac{dv'_x}{dt} \frac{1}{dt'/dt}.$$

Воспользовавшись первой из формул (6.14) и последней из (6.8), получим после дифференцирования:

$$w'_x = \frac{(1 - \beta^2)^{3/2}}{(1 - \beta v_x/c)^3} w_x; \quad w'_y = 0.$$

2. Аналогичные расчеты приводят к следующим результатам:

$$w'_x = 0; \quad w'_y = (1 - \beta^2) w_y.$$

В этих формулах $\beta = V/c$.

РЕЛЯТИВИСТСКАЯ ДИНАМИКА

§ 7.1. Релятивистский импульс

Напомним сначала два основных положения ньютоновской механики об импульсе:

- 1) импульс частицы определяется как $p = mv$, где масса m частицы считается не зависящей от ее скорости;
- 2) импульс замкнутой системы частиц сохраняется во времени в любой инерциальной системе отсчета.

Теперь обратимся к релятивистской динамике. Оказывается (это будет видно уже из простого примера, который мы сейчас рассмотрим), для замкнутой системы из релятивистских частиц закон сохранения ньютоновского импульса не выполняется. Возникает альтернатива: отказаться или от ньютоновского определения импульса, или от закона сохранения этой величины.

Учитывая громадную роль, которую играют законы сохранения, в теории относительности за фундаментальный принимают именно закон сохранения импульса и уже отсюда находят выражение для самого импульса*.

Покажем прежде всего, что требование, чтобы закон сохранения импульса выполнялся в любой инерциальной системе отсчета, и учет релятивистского преобразования скоростей при переходе от одной инерциальной системы отсчета к другой приводят к выводу, что масса частицы должна зависеть от ее скорости (в отличие от ньютоновской механики). Для этого рассмотрим абсолютно неупругое столкновение двух частиц — система предполагается замкнутой.

* Возникает естественный вопрос: как же закон сохранения импульса может представлять какую-либо ценность, если импульс определяют именно так, чтобы он сохранялся? Чтобы на него ответить, представим себе частицу, которая при своем движении сталкивается с другими частицами. Рассмотрим первое столкновение, *определим* импульс так, чтобы выполнялся его закон сохранения в данном столкновении. Но при последующих столкновениях положение изменится: мы уже будем знать импульсы частиц, участвующих в этих столкновениях, и теперь закон сохранения импульса (если он действительно есть) будет выполняться уже не по определению, а в силу глубинных законов природы.

Опыт показывает, что *так* определенный импульс действительно подчиняется закону сохранения. По крайней мере до сих пор не обнаружено ни одного явления, где бы этот закон нарушался.

Пусть в некоторой инерциальной K -системе отсчета навстречу друг другу движутся две *одинаковые* частицы 1 и 2 с одинаковой скоростью v_0 , но под углом α к оси x (рис. 131, а). В этой системе отсчета суммарный импульс обеих частиц, очевидно, сохраняется: до и после столкновения он равен нулю (образовавшаяся частица, как следует из соображений симметрии, оказывается неподвижной).

Теперь выясним, как будет обстоять дело в другой инерциальной системе отсчета. Для этого выберем сначала две системы отсчета: K_1 -систему, движущуюся вправо со ско-

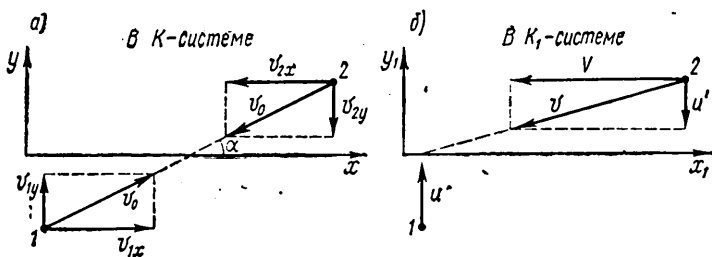


Рис. 131

ростью v_{1x} , и K_2 -систему, движущуюся влево со скоростью v_{2x} (рис. 131, а). Ясно, что частица 1 в K_1 -системе и частица 2 в K_2 -системе движутся только вдоль оси y , причем с одинаковыми по модулю скоростями, которые мы обозначим u .

Рассмотрим картину столкновения в K_1 -системе (рис. 131, б), где частица 1 имеет скорость u . Найдем y -составляющую скорости частицы 2 в этой системе отсчета, обозначив ее u' . Эта частица, как было сказано, движется со скоростью u вдоль оси y в K_2 -системе и, кроме того, вместе с K_2 -системой перемещается влево со скоростью V относительно K_1 -системы. Поэтому, согласно (6.16), y -составляющая скорости частицы 2 в K_1 -системе равна

$$u' = u\sqrt{1 - (V/c)^2}. \quad (7.1)$$

Запишем теперь y -составляющие импульсов обеих частиц в K_1 -системе: m_1u и m_2u' . Согласно (7.1), $u' < u$, поэтому легко видеть, что закон сохранения импульса в его обычной (ньютоновской) формулировке не выполняется. Действительно, в нашем случае $m_1 = m_2$ (частицы одинаковые) и, следовательно, y -составляющая суммарного импульса частиц до столкновения отлична от нуля, а после столк-

новения равна нулю (образовавшаяся частица будет двигаться только вдоль оси x).

Потребуем, однако, чтобы закон сохранения импульса выполнялся и в K_1 -системе, т. е. положим, что $m_1 u = m_2 u'$. Отсюда с учетом (7.1) получим

$$m_2 = m_1 \sqrt{1 - (V/c)^2}.$$

При $\alpha \rightarrow 0$ (рис. 131) $u \rightarrow 0$ и m_1 представляет собой массу покоящейся частицы; ее обозначают m_0 и называют *массой покоя*. Скорость же V при этом условии оказывается равной v — скорости частицы 2 относительно частицы 1. Поэтому последнюю формулу можно переписать так:

$$m = m_0 \sqrt{1 - (v/c)^2}, \quad (7.2)$$

где m — масса движущейся частицы (напомним, что обе частицы одинаковые).

Массу m называют *релятивистской*. Последняя, как видно из (7.2), больше массы покоя и зависит от скорости частицы (рис. 132).

Таким образом, мы пришли к важному выводу: *релятивистская масса частицы зависит от ее скорости*. Другими словами, масса одной и той же частицы будет различна в разных инерциальных системах отсчета.

В отличие от релятивистской массы масса покоя частицы m_0 — величина инвариантная, т. е. одинаковая во всех системах отсчета. По этой причине можно утверждать, что именно масса покоя является характеристикой частицы. В дальнейшем, однако, мы часто будем использовать релятивистскую массу m , что продиктовано только стремлением упростить ряд выводов, рассуждений и расчетов.

Теперь сделаем последний шаг — напомним выражение для импульса релятивистской частицы. С учетом (7.2) этот импульс записывают в виде

$$\boxed{p = mv = \frac{m_0 v}{\sqrt{1 - (v/c)^2}}.} \quad (7.3)$$

Это и есть так называемый *релятивистский импульс* частицы. Опыт подтверждает, что так определенный импульс

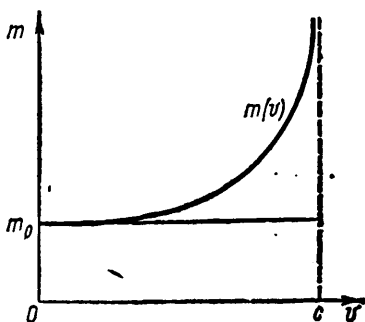


Рис. 132

действительно подчиняется закону сохранения независимо от выбора инерциальной системы отсчета.

Отметим, что при $v \ll c$ из (7.3) следует ньютоновское определение импульса: $p = m_0 v$, где m_0 не зависит от скорости v . На рис. 133 показаны для сравнения графики зависимостей релятивистского и ньютоновского импульсов частицы от ее скорости. Как видно, различие между обоими импульсами становится

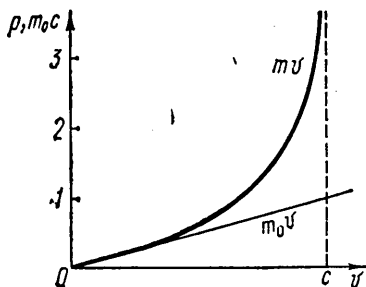


Рис. 133

становится весьма значительным по мере приближения скорости частицы к скорости света.

Рассмотрим два примера на применение формул (7.2) и (7.3).

Пример 1. В современных гигантских ускорителях протоны ускоряются до скоростей, отличающихся на 0,01% от скорости света. Во сколько раз релятивистская масса таких протонов превышает их массу покоя?

Согласно (7.2), $m/m_0 = 1/\sqrt{1 - \beta^2}$, где $\beta = v/c$. Так как β мало отличается от единицы, то в данном случае подкоренное выражение следует представить в виде

$$1 - \beta^2 = (1 + \beta)(1 - \beta) \approx 2(1 - \beta).$$

Тогда

$$m/m_0 \approx 1/\sqrt{2(1 - \beta)} \approx 70.$$

Пример 2. При каких значениях скорости частицы ее ньютоновский импульс отличается от релятивистского импульса на 1%? на 10%?

Из условия $\eta = (p - p_{\text{кл}})/p = 1 - \sqrt{1 - (v/c)^2}$ получим

$$v/c = \sqrt{\eta(2 - \eta)}.$$

Отсюда

$$\frac{v}{c} = \begin{cases} 0,14 & \text{при } \eta = 0,01, \\ 0,45 & \text{при } \eta = 0,10. \end{cases}$$

Таким образом, использование классической формулы для импульса гарантирует точность не хуже 1% при $v/c \leq 0,14$ и не хуже 10% при $v/c \leq 0,45$.

§ 7.2. Основное уравнение релятивистской динамики

Согласно принципу относительности Эйнштейна, все законы природы должны быть инвариантны по отношению к инерциальным системам отсчета. Другими словами, математические формулировки законов должны иметь один и тот же вид во всех этих системах отсчета. В частности, это относится и к законам динамики.

Однако, как показывает более детальное рассмотрение, уже основное уравнение динамики Ньютона $mw = F$ не удовлетворяет принципу относительности Эйнштейна. Преобразования Лоренца при переходе к другой инерциальной системе придают ему совершенно иную форму.

Чтобы удовлетворить требованиям принципа относительности, основное уравнение динамики должно иметь другой вид и лишь при $v \ll c$ переходить в ньютоновское уравнение. Этим требованиям, как доказывается в теории относительности, удовлетворяет уравнение

$$dp/dt = F, \quad (7.4)$$

где F — сила, действующая на частицу. Данное уравнение *по виду* полностью совпадает с основным уравнением ньютоновской динамики (4.1). Однако физический смысл здесь уже другой: слева стоит производная по времени от *релятивистского* импульса, определяемого формулой (7.3). Подставив (7.3) в (7.4), запишем последнее уравнение так:

$$\boxed{\frac{d}{dt} \left(\frac{m_0 v}{\sqrt{1 - (v/c)^2}} \right) = F.} \quad (7.5)$$

Это и есть *основное уравнение релятивистской динамики*.

Нетрудно видеть, что именно в таком виде уравнение динамики приводит к сохранению импульса для свободной частицы и при малых скоростях ($v \ll c$) принимает форму основного уравнения ньютоновской динамики ($mw = F$).

Кроме того, именно в таком виде основное уравнение динамики оказывается инвариантным по отношению к преобразованиям Лоренца и, следовательно, удовлетворяет принципу относительности Эйнштейна. Не останавливаясь на способе доказательства этого, отметим только, что при переходе от одной инерциальной системы отсчета к другой необходимо принять, что сила F преобразуется по определенным законам. Другими словами, сила F в теории относи-

тельности — величина инвариантная, в разных системах отсчета ее числовое значение и направление будут различны*.

Из основного уравнения релятивистской динамики следует неожиданный вывод: вектор ускорения частицы w в общем случае не совпадает по направлению с вектором силы F . Чтобы это показать, запишем (7.5) в такой форме:

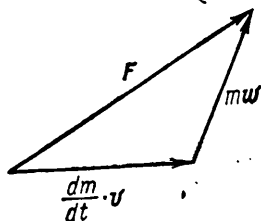


Рис. 134

$$d(mv)/dt = F,$$

где m — релятивистская масса частицы. Выполнив дифференцирование по времени, получим

$$(dm/dt)v + m(dv/dt) = F. \quad (7.6)$$

Это выражение графически представлено на рис. 134. Таким образом, действительно, вектор ускорения w в общем случае не коллинеарен вектору силы F .

Ускорение w совпадет по направлению с вектором F только в двух случаях:

1) $F \perp v$ (*поперечная сила*); при этом вектор скорости v по модулю не меняется, т. е. $v = \text{const}$, и уравнение (7.5) принимает вид

$$m_0 w / \sqrt{1 - (v/c)^2} = F,$$

откуда ускорение

$$w = (F/m_0) \sqrt{1 - (v/c)^2};$$

2) $F \parallel v$ (*продольная сила*). В данном случае уравнение (7.5) можно записать в скалярном виде; выполнив в его левой части дифференцирование по времени, получим

$$\left(\frac{m_0}{\sqrt{1 - (v/c)^2}} + \frac{m_0 v^2 / c^2}{[1 - (v/c)^2]^{3/2}} \right) \frac{dv}{dt} = F,$$

откуда ускорение (в векторном виде) есть

$$w = (F/m_0) [1 - (v/c)^2]^{3/2}.$$

Нетрудно заметить, что при одинаковых в обоих случаях значениях силы F и скорости v поперечная сила сообщает частице большее ускорение, чем продольная сила.

* В отличие от ньютоновской механики, где силы абсолютны, в теории относительности проекции силы, перпендикулярные направлению вектора относительной скорости систем отсчета, различны в обеих системах. Эти проекции имеют максимальные значения в той системе отсчета, где частица в данный момент покоится:

$$F'_x = F_x, \quad F'_y = F_y \sqrt{1 - (v/c)^2}.$$

Основное уравнение релятивистской динамики позволяет найти закон действующей на частицу силы F , если известна зависимость от времени релятивистского импульса $p(t)$, а с другой стороны, найти уравнение движения частицы $r(t)$, если известны действующая сила и начальные условия — скорость v_0 и положение r_0 частицы в начальный момент времени.

В качестве примеров на применение уравнения (7.5) могут служить задачи 7.1 — 7.3.

§ 7.3. Закон взаимосвязи массы и энергии

Кинетическая энергия релятивистской частицы. Определим эту величину таким же путем, как и в классической механике, т. е. как величину, приращение которой равно работе действующей на частицу силы. Сначала найдем приращение кинетической энергии dT частицы под действием силы F на элементарном пути $dr = vdt$:

$$dT = Fvdt.$$

Согласно основному уравнению релятивистской динамики (7.4), $Fdt = d(mv) = dm \cdot v + m dv$, где m — релятивистская масса. Поэтому

$$dT = v(dm \cdot v + m dv) = v^2 dm + m v dv,$$

где учтено, что $v dv = v dv$ (см. с. 78). Это выражение можно упростить, используя формулу (7.2) зависимости массы от скорости. Возведем эту формулу в квадрат и приведем ее к виду

$$m^2 c^2 = m^2 v^2 + m_0^2 c^2.$$

Найдем дифференциал этого выражения, имея в виду, что m_0 и c — постоянные величины:

$$2mc^2 dm = 2mv^2 dm + 2m^2 v dv.$$

Если теперь разделить это равенство на $2m$, то его правая часть совпадет с выражением для dT . Отсюда следует

$$dT = c^2 dm. \quad (7.7)$$

Таким образом, приращение кинетической энергии частицы пропорционально приращению ее релятивистской массы. Кинетическая энергия покоящейся частицы равна

нулю, а ее масса равна массе покоя m_0 . Поэтому, проинтегрировав (7.7), получим

$$T = (m - m_0)c^2, \quad (7.8)$$

или

$$T = m_0 c^2 \left(\frac{1}{\sqrt{1-\beta^2}} - 1 \right), \quad (7.9)$$

где $\beta = v/c$. Это и есть выражение для *релятивистской кинетической энергии* частицы. Как видно, оно сильно отличается от классического $m_0 v^2/2$. Убедимся, однако, что при малых скоростях ($\beta \ll 1$) выражение (7.9) переходит в классическое. Для этого воспользуемся формулой бинোма Ньютона, согласно которой

$$\frac{1}{\sqrt{1-\beta^2}} = (1-\beta^2)^{-1/2} = 1 + \frac{1}{2}\beta^2 + \frac{3}{8}\beta^4 + \dots$$

При $\beta \ll 1$ можно ограничиться первыми двумя членами этого ряда и тогда

$$T = m_0 c^2 \beta^2 / 2 = m_0 v^2 / 2.$$

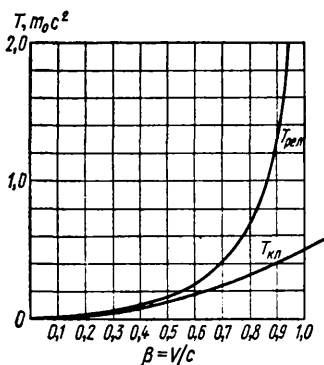


Рис. 135

Таким образом, при больших скоростях кинетическая энергия частицы определяется релятивистской формулой (7.9), отличной от $m_0 v^2/2$. Заметим, что (7.9) нельзя представить и в виде $m v^2/2$, где m — релятивистская масса.

На рис. 135 показаны для сравнения графики зависимостей от β релятивистской $T_{\text{рел}}$ и классической $T_{\text{кл}}$ кинетических энергий. Их различие особенно сильно проявляется в области скоростей, сравнимых со скоростью света.

Пример 1. Частица с массой покоя m_0 движется со скоростью, при которой ее релятивистская кинетическая энергия T в n раз превышает кинетическую энергию, вычисленную по классической формуле. Найти T .

Введем для упрощения записей обозначение $\tau = T/m_0 c^2$. Тогда заданное условие $T = n \cdot m_0 v^2/2$ можно записать так:

$$\tau = n\beta^2/2,$$

где $\beta = v/c$. Имея в виду, что β связано с T формулой (7.9), найдем из нее

$$\beta^2 = 1 - 1/(1 + \tau)^2.$$

Исключив β^2 из этих двух уравнений, получим

$$2\tau^2 + (4 - n)\tau - 2(n - 1) = 0.$$

Корень этого уравнения

$$\tau = [n - 4 + \sqrt{n(n + 8)}]/4.$$

Знак минус перед корнем физического смысла не имеет (τ не может быть отрицательным), поэтому он опущен.

Приведем четыре значения τ , вычисленные по последней формуле для следующих n :

$n = T/T_{\text{кл}} :$	1,01	1,1	1,5	2,0
$\tau = T/m_0c^2 :$	0,0067	0,065	0,32	0,62

Отсюда видно, что, например, при $T/m_0c^2 < 0,0067$ использование классической формулы для кинетической энергии гарантирует точность не хуже 1%.

Пример 2. Какую работу необходимо совершить, чтобы увеличить скорость частицы с массой покоя m_0 от 0,6 до 0,8 c ? Сравнить полученный результат со значением, вычисленным по классической формуле.

Искомая работа в соответствии с формулой (7.9) равна

$$A = T_2 - T_1 = m_0c^2 \left(\frac{1}{\sqrt{1 - \beta_2^2}} - \frac{1}{\sqrt{1 - \beta_1^2}} \right) = 0,42 m_0c^2.$$

Соответствующая же работа по классической формуле

$$A = m_0(v_2^2 - v_1^2)/2 = 0,14 m_0c^2.$$

Как видно, различие между обоими результатами весьма значительное.

Закон взаимосвязи массы и энергии. Из формулы (7.7) следует, что приращение кинетической энергии частицы сопровождается пропорциональным приращением ее релятивистской массы. Вместе с тем известно, что при протекании различных процессов в природе одни виды энергии могут преобразовываться в другие. Например, кинетическая энергия сталкивающихся частиц может преобразоваться во внутреннюю энергию образовавшейся частицы. Поэтому естественно ожидать, что масса тела будет возрастать не только при сообщении ему кинетической энергии, но и вообще при *любом* увеличении общего запаса энергии тела независимо от того, за счет какого конкретного вида энергии это увеличение происходит.

Отсюда Эйнштейн пришел к следующему фундаментальному выводу: общая энергия тела (или системы тел), из каких бы видов энергии она ни состояла (кинетической, элек-

трической, химической и т. д.), связана с массой этого тела соотношением

$$E = mc^2. \quad (7.10)$$

Эта формула выражает один из наиболее фундаментальных законов природы — закон взаимосвязи (пропорциональности) массы m и *полной энергии* E тела. Во избежание недоразумений обратим внимание на то, что в полную энергию E не включена потенциальная энергия тела во внешнем поле, если таковое действует на тело.

Соотношение (7.10) можно записать и в другой форме, если учесть формулу (7.8). Тогда полная энергия тела

$$E = m_0c^2 + T,$$

где m_0 — масса покоя тела, T — его кинетическая энергия. Отсюда непосредственно следует, что покоящееся тело ($T = 0$) также обладает энергией

$$E_0 = m_0c^2. \quad (7.11)$$

Эту энергию называют *энергией покоя* или *собственной энергией*.

Мы видим, что масса тела, которая в нерелятивистской механике выступала как мера инертности (во втором законе Ньютона) или как мера гравитационного действия (в законе всемирного тяготения), теперь выступает в новой функции — как мера *энергосодержания* тела. Даже покоящееся тело, согласно теории относительности, обладает запасом энергии — энергией покоя.

Изменение полной энергии тела (системы) сопровождается эквивалентным изменением его массы $\Delta m = \Delta E/c^2$, и наоборот. При обычных макроскопических процессах изменение массы тел оказывается чрезвычайно малым, недоступным для измерений. Это можно проиллюстрировать на следующих примерах.

Примеры. А. Для выведения спутника массы $m = 100$ кг на орбиту вокруг Земли ему сообщили скорость $v = 8$ км/с. Это значит, что его энергия увеличивается на $\Delta E = mv^2/2$ (здесь учтено, что $v \ll c$). Соответствующее увеличение массы спутника

$$\Delta m = \Delta E/c^2 = mv^2/2c^2 = 3,5 \cdot 10^{-8} \text{ кг.}$$

Б. При нагревании одного литра воды от 0 до 100 °С ей сообщают энергию $\Delta E = mc_p \Delta t$, где $c_p = 4,2$ Дж/(г · К) — теплоемкость воды, Δt — разность температур. Соответствующее увеличение массы воды

$$\Delta m = \Delta E/c^2 = 0,47 \cdot 10^{-10} \text{ кг.}$$

В. Пружину с коэффициентом жесткости $\kappa = 10^8$ Н/см сжали на $\Delta l = 1$ см. При этом пружина приобрела энергию $\Delta E = \kappa(\Delta l)^2/2$. Эквивалентное приращение массы ее

$$\Delta m = \Delta E/c^2 = 0,5 \cdot 10^{-16} \text{ кг.}$$

Нетрудно видеть, что во всех трех случаях изменение массы лежит далеко за пределами точности эксперимента.

Однако уже в астрономических явлениях, связанных, например, с изучением звезд, изменение массы представляет собой весьма внушительную величину. В этом можно убедиться на примере излучения Солнца.

Пример. Из астрономических наблюдений установлено, что количество энергии, которое приносит на Землю солнечное излучение за 1 с на площадку 1 м^2 , перпендикулярную солнечным лучам, составляет около $1,4 \cdot 10^3$ Дж/(с \cdot м²). Это дает возможность вычислить суммарную энергию, излучаемую Солнцем за 1 с:

$$\Delta E = 1,4 \cdot 10^3 \cdot 4\pi R^2 = 4 \cdot 10^{26} \text{ Дж/с,}$$

где R — расстояние от Земли до Солнца. Следовательно, Солнце ежесекундно теряет массу

$$\Delta m = \Delta E/c^2 = 4,4 \cdot 10^9 \text{ кг/с!}$$

Величина грандиозная с точки зрения земных масштабов, однако по сравнению с массой Солнца эта потеря ничтожно мала: $\Delta m/m = 2 \cdot 10^{-21} \text{ с}^{-1}$.

Совершенно иначе обстоит дело в ядерной физике. Именно здесь впервые оказалось возможным экспериментально проверить и подтвердить закон взаимосвязи массы и энергии. Это обусловлено тем, что ядерные процессы и процессы превращения элементарных частиц сопровождаются весьма большими изменениями энергии, сравнимыми с энергией покоя самих частиц. Но к этому вопросу мы еще вернемся в § 7.5.

§ 7.4. Связь между энергией и импульсом частицы

Ясно, что как энергия E , так и импульс p частицы имеют различные значения в разных системах отсчета. Оказывается, однако, что существует величина — некоторая комбинация E и p , которая является инвариантной, т. е. имеет одно и то же значение в разных системах отсчета. Эта величина есть $E^2 - p^2c^2$. Убедимся, что это так.

Воспользовавшись формулами $E = mc^2$ и $p = mv$, запишем

$$E^2 - p^2c^2 = m^2c^4 - m^2v^2c^2 = \frac{m_0^2c^4}{1 - (v/c)^2} [1 - (v/c)^2],$$

или после сокращения

$$\boxed{E^2 - p^2c^2 = m_0^2c^4.} \quad (7.12)$$

Тот факт, что скорость v в правой части сократилась, означает независимость величины $E^2 - p^2c^2$ от скорости частицы, а следовательно, и от системы отсчета. Другими словами, величина $E^2 - p^2c^2$ действительно является инвариантом и имеет одно и то же значение $m_0^2c^4$ во всех инерциальных системах отсчета:

$$E^2 - p^2c^2 = \text{inv.} \quad (7.13)$$

Этот вывод чрезвычайно важен: он позволяет, как будет видно из дальнейшего, во многих случаях резко упростить анализ и решение различных вопросов.

Приведем еще два полезных соотношения, с которыми приходится часто встречаться. Первое:

$$\boxed{p = mv = Ev/c^2} \quad (7.14)$$

и второе — связь между импульсом и кинетической энергией T частицы; его легко получить, подставив в (7.12) $E = m_0c^2 + T$, тогда

$$\boxed{pc = \sqrt{T(T + 2m_0c^2)}.} \quad (7.15)$$

Последнее соотношение при $T \ll m_0c^2$ переходит в классическое: $p = \sqrt{2m_0T}$, а при $T \gg m_0c^2$ приобретает вид $p = T/c$.

Пример. Считая, что энергия покоя электрона равна 0,51 МэВ, вычислить:

1) импульс* электрона с кинетической энергией, равной его энергии покоя;

2) кинетическую энергию электрона с импульсом 0,51 МэВ/с, где c — скорость света.

1. Согласно (7.15), при $T = m_0c^2$ получим $p = \sqrt{3}m_0c = 0,9 \text{ МэВ/с}$.

* Заметим, что в настоящее время импульсы релятивистских частиц выражают в единицах «энергия/с», c — скорость света. Например, если энергия выражается в МэВ ($1 \text{ МэВ} = 1,6 \cdot 10^{-6} \text{ эрг}$), то импульс — в МэВ/с. Использование такой единицы импульса заметно упрощает многие расчеты.

2. Этот вопрос можно решить также с помощью (7.15). Но можно и проще, воспользовавшись (7.12):

$$T = E - m_0 c^2 = \sqrt{p^2 c^2 + m_0^2 c^4} - m_0 c^2 = 0,21 \text{ МэВ.}$$

Рассмотрим попутно весьма интересный вопрос о возможности существования частиц с нулевой массой покоя ($m_0 = 0$). Из формул

$$E = m_0 c^2 / \sqrt{1 - (v/c)^2} \text{ и } p = m_0 v / \sqrt{1 - (v/c)^2}$$

следует, что частица с массой покоя $m_0 = 0$ может иметь энергию и импульс в том, и только в том случае, если она движется со скоростью света c . При этом обе последние формулы принимают вид $0/0$. Однако это не означает неопределенности энергии и импульса такой частицы. Дело в том, что обе эти величины, оказывается, не зависят от скорости. Причем связь между импульсом p и энергией E дается формулой (7.14), где $v = c$, т. е.

$$p = E/c. \quad (7.16)$$

Таким образом, согласно теории относительности, существование частиц с нулевой массой покоя возможно, причем эти частицы могут двигаться только со скоростью c . Это движение не есть результат предшествующего ускорения, а вообще единственное состояние, в котором такие частицы могут существовать. Остановка подобной частицы равносильна ее поглощению (исчезновению). Как сейчас известно, такими частицами являются фотон и нейтрино.

Преобразования Лоренца для импульса и энергии. Пусть частица движется со скоростью $v = dl/dt$ в K -системе отсчета. Из формулы (6.13) следует, что элементарный интервал

$$ds = \sqrt{c^2(dt)^2 - (dl)^2} = c dt \sqrt{1 - (v/c)^2}.$$

Имея в виду это выражение, представим проекции импульса и энергию частицы в следующем виде:

$$p_x = \frac{m_0}{\sqrt{1 - (v/c)^2}} \frac{dx}{dt} = m_0 c \frac{dx}{ds}; \quad p_y = m_0 c \frac{dy}{ds};$$

$$E = \frac{m_0 c^2}{\sqrt{1 - (v/c)^2}} \frac{dt}{dt} = m_0 c^2 \frac{dt}{ds} = m_0 c \frac{c^2 dt}{ds}.$$

Из инвариантности интервала ds сразу следует, что при переходе к другой инерциальной системе отсчета p_x и p_y преобразуются подобно dx и dy , т. е. подобно x и y , а энергия E — подобно $c^2 dt$, т. е. времени t . Таким образом, можно сделать такое сопоставление:

$$p_x \sim x, \quad p_y \sim y, \quad E/c^2 \sim t.$$

Делая эту замену в преобразованиях Лоренца (6.8), получим сразу искомые преобразования для импульса и энергии:

$$p'_x = \frac{p_x - EV/c^2}{\sqrt{1-(V/c)^2}}, \quad p'_y = p_y, \quad E' = \frac{E - p_x V}{\sqrt{1-(V/c)^2}}, \quad (7.17)$$

где V — скорость K' -системы относительно K -системы.

Эти формулы выражают закон преобразования проекций импульса и энергии частицы при переходе от K - к K' -системе.

Запись формул в более компактном виде. В настоящее время все формулы релятивистской механики принято записывать в более компактном виде с помощью использования следующих сокращенных обозначений:

1) величины mc^2 и pc обозначают просто m и p и соответственно выражают в энергетических единицах (например, в МэВ);

2) все скорости выражают в единицах скорости света и обозначают β :

$$\beta = v/c; \quad (7.18)$$

3) часто встречающийся множитель $1/\sqrt{1-\beta^2}$ обозначают γ — так называемый *лоренц-фактор*:

$$\gamma = 1/\sqrt{1-\beta^2}. \quad (7.19)$$

Эти обозначения резко упрощают как вид самих формул, так и все преобразования и расчеты. Приведем основные формулы релятивистской динамики в этих обозначениях: релятивистский импульс (7.3)

$$p = \frac{m_0 \beta}{\sqrt{1-\beta^2}} = \gamma m_0 \beta; \quad (7.20)$$

кинетическая (7.9) и полная (7.10) энергии:

$$T = m_0 \left(\frac{1}{\sqrt{1-\beta^2}} - 1 \right) = m_0 (\gamma - 1), \quad (7.21)$$

$$E = m = m_0 + T = \gamma m_0; \quad (7.22)$$

связь между энергией и импульсом (7.12) — (7.15):

$$E^2 - p^2 = m_0^2 = \text{inv}, \quad (7.23)$$

$$p = E\beta, \quad (7.24)$$

$$p = \sqrt{T(T + 2m_0)}; \quad (7.25)$$

преобразования Лоренца для импульса и энергии (7.17):

$$\left. \begin{aligned} p'_x &= \frac{p_x - \beta E}{\sqrt{1 - \beta^2}} = \gamma (p_x - \beta E), \\ p'_y &= p_y, \\ E' &= \frac{E - \beta p_x}{\sqrt{1 - \beta^2}} = \gamma (E - \beta p_x). \end{aligned} \right\} \quad (7.26)$$

§ 7.5. Система релятивистских частиц

Об энергии и импульсе системы. До сих пор мы ограничивались рассмотрением поведения одной частицы. В отличие от динамики одной частицы построение динамики системы частиц в теории относительности является гораздо более сложной задачей. Тем не менее и в этом случае можно установить ряд важных общих законов.

Если нас интересует движение системы как целого, то, отвлекаясь от внутренних процессов в системе и пренебрегая ее пространственной протяженностью, систему можно считать одной материальной точкой — частицей. Поскольку это так, систему релятивистских частиц как целое можно характеризовать полной энергией E , импульсом \mathbf{p} и массой покоя M_0 и утверждать, что полученные ранее выражения справедливы и для системы частиц как целого.

Остается выяснить, что следует понимать под полной энергией E , импульсом \mathbf{p} и массой покоя M_0 системы как целого. В общем случае, если система состоит из взаимодействующих релятивистских частиц, ее полная энергия

$$E = \sum m_i c^2 + W, \quad (7.27)$$

где $m_i c^2$ — полная энергия i -частицы (напомним, что в эту величину не включается энергия взаимодействия с другими частицами); W — суммарная энергия взаимодействия всех частиц системы.

В классической механике W представляет собой потенциальную энергию взаимодействия частиц системы — величину, зависящую при данном характере взаимодействий только от конфигурации системы. В релятивистской же динамике, оказывается, *не существует* понятия потенциальной энергии взаимодействия частиц. Это обусловлено тем обстоятельством, что само понятие потенциальной энергии тесно связано с представлением о дальнодействии (мгновенной передаче взаимодействий). Являясь функцией конфигурации системы, потенциальная энергия в каждый момент

времени определяется относительным расположением частиц системы в этот момент. Изменение конфигурации системы должно *мгновенно* вызвать изменение и потенциальной энергии. Так как в действительности этого нет (взаимодействия передаются с конечной скоростью), то для системы релятивистских частиц понятие потенциальной энергии взаимодействия не может быть введено.

В общем случае написать выражение для энергии взаимодействия W , а следовательно, и для полной энергии E системы взаимодействующих релятивистских частиц не представляется возможным. Это же относится и к импульсу системы, так как в релятивистской динамике импульс не является величиной, независимой от энергии E . Так же сложно обстоит дело и с массой покоя M_0 системы, о которой в общем случае можно сказать только одно: это масса в системе отсчета, где данная механическая система как целое покоится (т. е. в \mathcal{C} -системе).

Вследствие указанных трудностей построение динамики системы релятивистских частиц ограничено сравнительно немногими простейшими случаями, на двух из которых мы и остановимся. Это система из *невзаимодействующих* релятивистских частиц и важный в практическом отношении случай столкновения двух частиц.

Система невзаимодействующих частиц. В этом случае полная энергия E и импульс p обладают аддитивными свойствами и для системы их можно представить в виде

$$E = \sum m_i c^2, \quad p = \sum p_i, \quad (7.28)$$

где m_i и p_i — релятивистская масса и импульс i -й частицы системы. Так как взаимодействий в данном случае нет, то скорости всех частиц постоянны, а следовательно постоянны во времени полная энергия и импульс всей системы.

Введем понятие энергии покоя E_0 системы частиц как полную энергию ее в \mathcal{C} -системе, где суммарный импульс $\tilde{p} = \sum \tilde{p}_i = 0$, и система как целое покоится. Таким образом,

$$E_0 = \sum \tilde{E}_i, \quad (7.29)$$

где \tilde{E}_i — полная энергия i -й частицы в \mathcal{C} -системе. Это значит, что в энергию покоя входит кроме энергии покоя каждой частицы и их кинетическая энергия \tilde{T}_i в \mathcal{C} -системе: $\tilde{E}_i = m_{0i} c^2 + \tilde{T}_i$.

Это же относится, очевидно, и к массе покоя системы:

$$M_0 = E_0/c^2. \quad (7.30)$$

Отсюда, в частности, следует, что масса покоя системы не равна сумме масс покоя отдельных частиц, а именно:

$$M_0 > \sum m_{0i}.$$

Введение энергии и массы покоя системы, E_0 и M_0 , позволяет рассматривать систему невзаимодействующих релятивистских частиц как одну частицу с полной энергией $E = \sum m_i c^2$, импульсом $\mathbf{p} = \sum \mathbf{p}_i$ и массой покоя $M_0 = E_0/c^2$ и утверждать, что выражения (7.12) и (7.14) справедливы и для системы частиц:

$$E^2 - p^2 c^2 = M_0^2 c^4 = \text{inv}, \quad (7.31)$$

$$\mathbf{p} = E\mathbf{V}/c^2, \quad (7.32)$$

где \mathbf{V} — скорость системы частиц как целого, т. е. скорость C -системы. Эту скорость, согласно (7.32), можно представить в таком виде:

$$\mathbf{V} = (\sum \mathbf{p}_i) / (\sum m_i), \quad (7.33)$$

где m_i — релятивистская масса i -частицы системы. Заметим, что (7.33) по форме совпадает с соответствующим нерелятивистским выражением (4.9) для скорости центра инерции системы.

Столкновение двух частиц. Рассмотрим процесс столкновения происходящим в два этапа: сначала образование некоторой составной частицы A^* и затем ее распад на какие-то в общем случае другие частицы:

$$A_1 + A_2 \rightarrow A^* \rightarrow A_3 + A_4 + \dots$$

В процессе сближения частиц A_1 и A_2 взаимодействие между ними может становиться не малым, и формулы (7.28) теряют свою применимость. Однако после того, как возникшие частицы разойдутся на большое расстояние друг от друга, эти формулы опять применимы.

В данном случае можно показать, что сумма полных энергий двух исходных частиц (когда они находятся настолько далеко друг от друга, что их взаимодействие пренебрежимо мало) равна полной энергии составной частицы. Это же относится и ко второй стадии процесса — распаду. Другими словами, можно показать, что для этого процесса оказывается

справедливым закон сохранения полной энергии в таком виде:

$$E_1 + E_2 = E^* = E_3 + E_4 + \dots \quad (7.34)$$

Убедимся, что это именно так, на следующем простом примере.

Представим себе столкновение двух одинаковых частиц 1 и 2, в результате которого образуется некоторая составная частица. Пусть частицы до столкновения движутся навстречу друг другу в K -системе с одинаковыми скоростями v , как показано на рис. 136. Рассмотрим теперь этот процесс в K' -системе, движущейся влево со скоростью V относительно K -системы. Так как в K -системе скорость каждой частицы перпендикулярна вектору V , то, согласно (6.14), обе частицы в K' -системе имеют x -компоненту скорости, равную V . Такую же скорость в K' -системе будет иметь и образовавшаяся частица, релятивистскую массу которой обозначим M . Из закона сохранения импульса до и после столкновения получим (для x -составляющей импульса) $2m(v')V = MV$, где v' — скорость каждой исходной частицы в K' -системе. Отсюда

$$2 m(v') = M,$$

т. е. сумма релятивистских масс исходных частиц равна релятивистской массе образовавшейся частицы. Аналогично дело обстоит и в K -системе. Действительно, при очень малом значении скорости V скорость v' практически равна v , а масса M — массе покоя M_0 образовавшейся частицы, так что в K -системе

$$2 m(v) = M_0.$$

Отсюда видно, что масса покоя образовавшейся частицы больше суммы масс покоя исходных частиц. Кинетическая энергия исходных частиц претерпела превращение, в результате которого масса покоя образовавшейся частицы превысила сумму масс покоя исходных частиц.

Итак, мы показали, что вследствие сохранения импульса системы сумма релятивистских масс исходных частиц равна

релятивистской массе образовавшейся частицы. Это же, очевидно, относится и к полной энергии. Поэтому можно утверждать, что сохранение полной энергии в форме (7.34) действительно имеет место для рассматриваемых стадий этого процесса.

Применение закона сохранения энергии к ядерным процессам позволило, как уже говорилось в конце § 7.3, экспериментально проверить справедливость одного из фундаментальных законов теории относительности — закона взаимосвязи массы и энергии. Рассмотрим примеры.

Пример 1. Энергетический выход ядерных реакций. Возьмем ядерную реакцию типа



где слева — исходные ядра, справа — ядра — продукты реакции. Применим к этой реакции закон сохранения полной энергии:

$$E_1 + E_2 = E_3 + E_4.$$

Имея в виду, что полная энергия каждой частицы может быть представлена как $E = m_0c^2 + T$, где m_0 — масса покоя соответствующего ядра, T — его кинетическая энергия, перепишем предыдущее равенство так:

$$(m_1 + m_2)c^2 + T_{12} = (m_3 + m_4)c^2 + T_{34},$$

где T_{12} и T_{34} — суммарные кинетические энергии ядер до и после реакции. Отсюда

$$T_{34} - T_{12} = (m_1 + m_2)c^2 - (m_3 + m_4)c^2.$$

Левая часть этого равенства есть приращение суммарной кинетической энергии ядер данной системы — то, что называют *энергетическим выходом ядерной реакции* и обозначают буквой Q . Итак,

$$Q = [(m_1 + m_2) - (m_3 + m_4)]c^2.$$

Эта величина может иметь любой знак в зависимости от характера той или иной ядерной реакции. Таким образом, энергетический выход ядерной реакции определяется разностью суммарных масс покоя ядер до и после реакции. Все величины, входящие в это соотношение, могут быть экспериментально измерены с достаточно высокой точностью, и тем самым можно проверить и само равенство.

Рассмотрим конкретную ядерную реакцию:



Измеренные массы покоя этих ядер (в атомных единицах массы а. е. м.) равны соответственно 7,0160, 1,0078 и 4,0024 а. е. м. Отсюда нетрудно подсчитать, что сумма масс покоя ядер в результате реакции уменьшилась на 0,019 а. е. м. Учитывая, что масса 1 а. е. м. соответствует энергии 931,4 МэВ, найдем $Q = 0,019 \times 931,4 \text{ МэВ} = 17,7 \text{ МэВ}$. Этот результат с большой точностью совпадает с данными эксперимента.

Пример 2. Распад частицы. Пусть покоящаяся частица A_1 самопроизвольно распадается на частицы A_2 и A_3 : $A_1 \rightarrow A_2 + A_3$. Согласно закону сохранения полной энергии,

$$E_1 = E_2 + E_3.$$

Так как полная энергия каждой частицы $E = m_0c^2 + T$, то предыдущее равенство примет вид

$$m_1c^2 = (m_2 + m_3)c^2 + T_{23},$$

где T_{23} — суммарная кинетическая энергия образовавшихся частиц. Эту энергию называют *энергией распада* Q . Таким образом,

$$Q = [m_1 - (m_2 + m_3)]c^2.$$

Поскольку Q — величина существенно положительная, самопроизвольный распад частицы возможен только при условии

$$m_1 > m_2 + m_3,$$

т. е. если масса покоя первичной частицы больше суммы масс покоя возникающих частиц. В противном случае самопроизвольный распад невозможен. Эксперимент полностью подтверждает этот вывод.

Рассмотрим, например, распад π -мезона. Экспериментально установлено, что заряженные π -мезоны распадаются на μ -мезон и нейтрино ν : $\pi \rightarrow \mu + \nu$. Согласно табличным данным, массы покоя этих частиц (в единицах массы покоя электрона) равны соответственно 273,2, 206, 8 и 0. Отсюда следует, что масса покоя в результате распада уменьшается на 66,4 электронной массы. Так как массе покоя электрона соответствует энергия 0,51 МэВ, то энергия данного распада $Q = 66,4 \cdot 0,51 \text{ МэВ} = 34 \text{ МэВ}$, что находится в точном соответствии с результатами эксперимента.

Тот факт, что в результате столкновения частиц и последующего затем распада составной частицы полная энергия системы (а значит, и ее импульс) не меняется, приводит к другому важному выводу: величина $E^2 - p^2c^2$ для системы будет инвариантной не только по отношению к разным инерциальным системам отсчета, но и для указанных выше стадий процесса столкновения.

Пусть, например, две релятивистские частицы испытали столкновение, в результате которого образовалась новая частица с массой покоя M_0 . Если в K -системе отсчета полные энергии частиц до столкновения равны E_1 и E_2 , а их импульсы — соответственно p_1 и p_2 , то мы сразу можем записать, что при переходе от K -системы (до столкновения) к C -системе (после столкновения) будет выполняться следующее равенство:

$$\underbrace{(E_1 + E_2)^2 - (p_1 + p_2)^2 c^2}_{K\text{-система}} = \underbrace{M_0^2 c^4}_{C\text{-система}}, \quad (7.35)$$

где учтено, что в \mathcal{C} -системе образовавшаяся частица покоится.

Инвариантность величины $E^2 - p^2c^2$ дает нам незаменимый инструмент при изучении различных процессов распада и столкновения релятивистских частиц, с помощью которого чрезвычайно упрощается как анализ самих процессов, так и соответствующие расчеты.

Пример. В K -системе отсчета частица с массой покоя m_0 и кинетической энергией T налетает на другую, покоящуюся, частицу с той же массой покоя. Найдем массу покоя M_0 и скорость V составной частицы, образовавшейся в результате столкновения.

Воспользовавшись инвариантностью величины $E^2 - p^2c^2$, запишем

$$E^2 - p^2c^2 = M_0^2c^4,$$

где левая часть равенства относится к K -системе (до столкновения), а правая — к \mathcal{C} -системе (после столкновения). В данном случае $E = T + 2m_0c^2$; кроме того, согласно (7.15), $p^2c^2 = T(T + 2m_0c^2)$, поэтому

$$(T + 2m_0c^2)^2 - T(T + 2m_0c^2) = M_0^2c^4.$$

Отсюда

$$M_0 = \sqrt{2m_0(T + 2m_0c^2)}/c.$$

Скорость образовавшейся частицы — это скорость \mathcal{C} -системы. Согласно (7.32),

$$\begin{aligned} V = pc^2/E &= c\sqrt{T(T + 2m_0c^2)}/(T + 2m_0c^2) = \\ &= c/\sqrt{1 + 2m_0c^2/T}. \end{aligned}$$

Задачи к главе 7

Внимание! В задачах 7.4 — 7.11 использованы сокращенные обозначения, приведенные в конце § 7.4 (например, p и m_0 — это сокращенные записи величин pc и m_0c^2).

● 7.1. Движение под действием продольной силы. Частица с массой покоя m_0 начала двигаться под действием постоянной силы F . Найти зависимость от времени скорости частицы.

Решение. Умножим обе части уравнения (7.5) на dt , тогда

$$d(m_0v/\sqrt{1 - (v/c)^2}) = Fdt.$$

Проинтегрировав это выражение с учетом того, что в начальный момент $v = 0$, получим $m_0v/\sqrt{1 - (v/c)^2} = Ft$. Отсюда

$$v(t) = (Ft/m_0)/\sqrt{1 + (Ft/m_0c)^2}.$$

Сравним полученное выражение с классическим. Согласно второму закону Ньютона, $\omega = F/m_0$ и скорость $v_{кл} = Ft/m_0$, поэтому предыдущее выражение для скорости $v(t)$ можно представить так:

$$v(t) = v_{кл}/\sqrt{1 + (v_{кл}/c)^2}.$$

Отсюда видно, что $v < v_{кл}$, т. е. действительная скорость v частицы растет со временем медленнее, чем $v_{кл}$, причем при $t \rightarrow \infty$ скорость $v \rightarrow c$ (рис. 137).

Интересно, что импульс частицы при этом будет расти линейно со временем: из уравнения $dp/dt = F$ следует, что $p = Ft$. В этом характерная особенность релятивистского движения: в то время как скорость частицы стремится к определенному пределу (т. е. практически устанавливается), импульс частицы продолжает расти.

● 7.2. Движение под действием поперечной силы. Релятивистская частица с массой покоя m_0 и зарядом q движется в постоянном однородном магнитном поле, индукция которого B . Движение

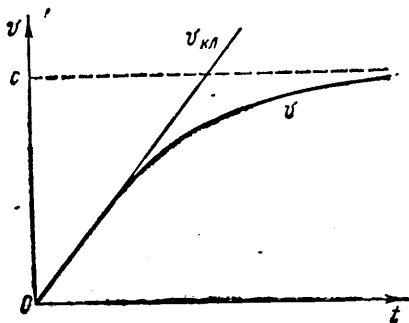


Рис. 137

происходит по окружности радиусом ρ в плоскости, перпендикулярной вектору B . Найти импульс и круговую частоту обращения частицы по окружности (угловую скорость).

Решение. В данном случае частица движется под действием силы Лоренца $F = q[vB]$, где v — скорость частицы. Так как $F \perp v$, то модуль скорости частицы $v = \text{const}$ и уравнение (7.5) принимает вид

$$mw = q [vB],$$

где m — релятивистская масса частицы. Имея в виду, что w представляет собой нормальное ускорение, равное по модулю v^2/ρ , перепишем предыдущее уравнение так: $mv^2/\rho = qvB$. Отсюда импульс частицы

$$p = mv = q\rho B. \quad (1)$$

Таким образом, произведение ρB может служить мерой релятивистского импульса данной частицы.

Круговая частота обращения частицы с учетом (1)

$$\omega = v/\rho = p/m\rho = qB/m.$$

Отсюда следует, что круговая частота ω зависит от скорости частицы: чем больше скорость частицы, а следовательно, и ее релятивистская масса m , тем меньше частота ω . Однако при малых скоростях ($v \ll c$) $m \rightarrow m_0$ и

$$\omega = qB/m_0 = \text{const},$$

т. е. в этой области скоростей частота ω практически не зависит от скорости.

● 7.3. Релятивистский протон с импульсом p_0 влетел в момент $t = 0$ в область, где имеется поперечное однородное электрическое поле с напряженностью E , причем $p_0 \perp E$. Найти зависимость от времени угла ϕ , на который протон будет отклоняться от первоначального направления движения.

Решение. Выбрав оси координат (x — вдоль вектора p_0 , y — вдоль вектора E), запишем уравнение (7.4) в проекциях на эти оси:

$$dp_x/dt = 0, \quad dp_y/dt = eE,$$

где e — заряд протона. Из этих уравнений следует, что

$$p_x = p_0, \quad p_y = eEt,$$

или

$$m_0 v_x / \sqrt{1 - (v/c)^2} = p_0, \quad m_0 v_y / \sqrt{1 - (v/c)^2} = eEt. \quad (1)$$

Взяв отношение последних двух равенств, найдем

$$\operatorname{tg} \phi = v_y/v_x = eEt/p_0.$$

Интересно отметить, что в отличие от нерелятивистского случая здесь v_x уменьшается с ростом времени. Чтобы в этом убедиться, возведем оба равенства (1) в квадрат и затем сложим отдельно их левые и правые части:

$$\frac{m_0^2 (v_x^2 + v_y^2)}{1 - (v/c)^2} = p_0^2 + (eEt)^2.$$

Заметив, что $v_x^2 + v_y^2 = v^2$, получим

$$\left(\frac{v}{c}\right)^2 = \left[1 + \frac{m_0^2 c^2}{p_0^2 + (eEt)^2}\right]^{-1}.$$

Подставив это выражение в первое из (1), найдем

$$v_x = c \sqrt{1 + (m_0 c/p_0)^2 + (eEt/p_0)^2},$$

т. е. действительно v_x уменьшается с ростом t .

● 7.4. Симметричное упругое рассеяние. Релятивистский протон с кинетической энергией T испытал упругое столкновение с покоившимся протоном, в результате чего оба протона разлетелись симметрично относительно первоначального направления движения. Найти угол между направлениями движения протонов после столкновения.

Решение. При симметричном разлете протонов их импульсы и энергии должны быть одинаковы по модулю. Это сразу видно из треугольника импульсов (рис. 138), выражающего закон сохранения импульса. Из этого треугольника, согласно теореме косинусов, следует, что

$$p^2 = 2p'^2 + 2p'^2 \cos \theta,$$

откуда

$$\cos \theta = p^2/2p'^2 - 1.$$

Воспользовавшись формулой (7.25) и учтя, что $T = 2 T'$, где T' — кинетическая энергия каждого протона после столкновения, найдем

$$\frac{p^2}{p'^2} = \frac{T(T+2m_0)}{T'(T'+2m_0)} = 4 \frac{T+2m_0}{T+4m_0},$$

где m_0 — масса покоя протона. После подстановки этого выражения в формулу для $\cos \theta$ получим .

$$\cos \theta = T / (T + 4 m_0).$$

Заметим, что в отличие от нерелятивистского случая, когда $\theta = \pi/2$, здесь $\theta < \pi/2$.

● 7.5. Фотон с энергией ε испытал рассеяние на покоившемся свободном электроне. Найти энергию ε' рассеянного фотона, если угол между направлениями движения рассеянного и налетающего фотонов равен ϑ .

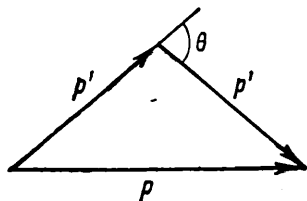


Рис. 138

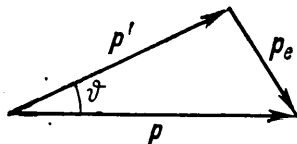


Рис. 139

Решение. Воспользуемся законами сохранения энергии и импульса в данном процессе:

$$T_e = \varepsilon - \varepsilon', \quad p_e = p - p',$$

где T_e и p_e — кинетическая энергия и импульс электрона отдачи, p и p' — импульсы налетающего и рассеянного фотонов. Из треугольника импульсов (рис. 139), согласно теореме косинусов, следует, что

$$p_e^2 = p^2 + p'^2 - 2pp' \cos \vartheta.$$

Подставив сюда $p = \varepsilon$, $p' = \varepsilon'$ и $p_e = \sqrt{T_e(T_e + 2 m_e)} = \sqrt{(\varepsilon - \varepsilon')(\varepsilon - \varepsilon' + 2 m_e)}$, где m_e — масса покоя электрона, получим после несложных преобразований

$$\varepsilon' = \frac{\varepsilon}{1 + (2\varepsilon/m_e) \sin^2(\vartheta/2)}.$$

● 7.6. Два протона движутся навстречу друг другу с одинаковыми кинетическими энергиями T (в K -системе отсчета). Найти кинетическую энергию T' одного протона относительно другого.

Решение. Воспользуемся инвариантностью величины $E^2 - p^2$, записав ее в K -системе (она здесь является одновременно C -системой) и в системе отсчета, связанной с одним из протонов:

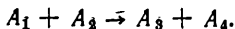
$$[2(T + m_p)]^2 = (T' + 2m_p)^2 - T'(T' + 2m_p),$$

где m_p — масса покоя протона. Отсюда

$$T' = 2T(T + 2m_p)/m_p.$$

Например, для протонов ($m_p \approx 1$ ГэВ) при $T = 50$ ГэВ $T' = 5 \cdot 10^3$ ГэВ. Возможность получения такого большого «выигрыша» в энергии лежит в основе метода встречных пучков.

● 7.7. Энергетическая схема ядерной реакции. Частица A_1 с кинетической энергией T_1 налетает на покоящееся ядро A_2 (в K -системе). В результате реакции образуются ядра A_3 и A_4 :



Массы покоя частиц равны соответственно m_1, m_2, m_3 и m_4 . Изобразить энергетическую схему ядерной реакции для двух случаев: а) $m_1 + m_2 > m_3 + m_4$ и б) $m_1 + m_2 < m_3 + m_4$. Найти для второго случая пороговую кинетическую энергию $T_{1\text{пор}}$ налетающей частицы в K -системе.

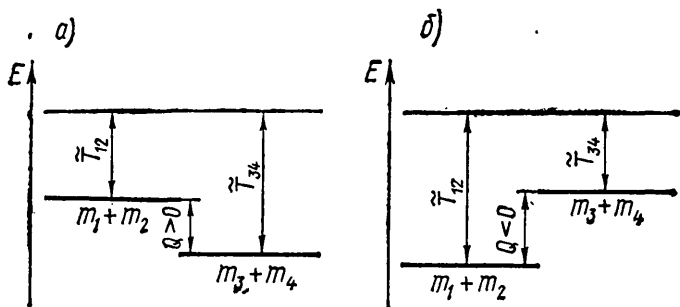


Рис. 140

Решение. Из закона сохранения полной энергии следует, что в C -системе

$$\tilde{T}_{12} + m_1 + m_2 = \tilde{T}_{34} + m_3 + m_4,$$

где \tilde{T}_{12} и \tilde{T}_{34} — суммарные кинетические энергии частиц до и после реакции. Обозначив приращение кинетической энергии $\tilde{T}_{34} - \tilde{T}_{12}$ через Q , запишем предыдущее выражение так:

$$Q = (m_1 + m_2) - (m_3 + m_4),$$

где Q — энергетический выход ядерной реакции. Энергетическая схема реакции для обоих случаев показана на рис. 140. В случае а эффект будет положительным, $Q > 0$: суммарная кинетическая энергия увеличивается за счет уменьшения суммы масс покоя частиц системы; в случае б — наоборот.

В последнем случае, как видно из рис. 140, б, ядерная реакция возможна лишь при $\tilde{T}_{12} > |Q|$. Здесь знак равенства соответствует пороговому значению энергии \tilde{T}_{12} . При малых скоростях, согласно (4.16),

$$T_{12\text{ пор}} = \frac{\mu v_{\text{отн}}^2}{2} = \frac{m_2}{m_1 + m_2} \frac{m_1 v_1^2}{2} = \frac{m_2}{m_1 + m_2} T_{1\text{ пор}} = |Q|.$$

Отсюда

$$T_{1\text{ пор}} = |Q| (m_1 + m_2)/m_2.$$

● 7.8. Пороговая энергия (минимальная энергия, необходимая для осуществления данного процесса).

1. Релятивистская частица с массой покоя m_0 налетает на покоящуюся частицу с массой покоя M_0 . В результате столкновения возникают частицы с массами покоя m_1, m_2, \dots по схеме

$$m_0 + M_0 \rightarrow m_1 + m_2 + \dots$$

Найти пороговую кинетическую энергию $T_{\text{пор}}$ налетающей частицы.

2. Найти пороговую энергию фотона для рождения пары электрон—позитрон в поле покоящегося протона.

Решение. 1. Прежде всего ясно, что о пороговой энергии может идти речь только в том случае, когда сумма масс покоя возникших частиц превышает сумму масс покоя первичных частиц. Чтобы найти $T_{\text{пор}}$, воспользуемся инвариантностью величины $E^2 - p^2$. Запишем эту величину до столкновения при $T = T_{\text{пор}}$ в системе отсчета, где частица M_0 покоится, и после столкновения — в \bar{C} -системе:

$$E^2 - p^2 = \bar{E}^2,$$

или

$$(T_{\text{пор}} + m_0 + M_0)^2 - T_{\text{пор}}(T_{\text{пор}} + 2m_0) = (m_1 + m_2 + \dots)^2.$$

Здесь учтено, что в \bar{C} -системе кинетическая энергия возникших частиц равна нулю на пороге реакции, поэтому их полная энергия просто равна сумме масс покоя отдельных частиц. Из последнего уравнения находим

$$T_{\text{пор}} = [(m_1 + m_2 + \dots)^2 - (m_0 + M_0)^2] / 2M_0.$$

2. Запишем $E^2 - p^2$ до взаимодействия в системе отсчета, где протон покоится, и после взаимодействия — в \bar{C} -системе. При пороговом значении энергии ϵ налетающего фотона

$$(\epsilon_{\text{пор}} + M_0)^2 - \epsilon_{\text{пор}}^2 = (M_0 + 2m_0)^2,$$

где M_0 — масса покоя протона, m_0 — масса покоя электрона (позитрона). Отсюда

$$\epsilon_{\text{пор}} = 2m_0 (1 + m_0/M_0).$$

Видно, что для рождения пары необходимо, чтобы энергия фотона была больше $2m_0$.

● 7.9. Распад движущейся частицы. Релятивистский ρ^0 -мезон с массой покоя m_0 распался на лету на два γ -фотона с энергиями ϵ_1 и ϵ_2 (в K -системе отсчета). Найти угол θ между направлениями разлета этих γ -фотонов.

Решение. Исходим из инвариантности выражения $E^2 - p^2$, записав его до распада в \bar{C} -системе, а после распада — в K -системе:

$$m_0^2 = (\epsilon_1 + \epsilon_2)^2 - (p_1 + p_2)^2,$$

где p_1 и p_2 — импульсы γ -фотонов. Преобразуем правую часть этого уравнения, учитывая, что $p_1 = \epsilon_1$ и $p_2 = \epsilon_2$; тогда

$$m_0^2 = 2\epsilon_1\epsilon_2 - 2p_1p_2, \text{ или } m_0^2 = 2\epsilon_1\epsilon_2(1 - \cos\theta).$$

Отсюда

$$\sin(\theta/2) = m_0/2\sqrt{\epsilon_1\epsilon_2}.$$

● 7.10. Полный импульс и энергия системы из двух взаимодействующих частиц равны $p = p_1 + p_2$ и $E = E_1 + E_2$. Показать в явном виде, что преобразования Лоренца для полного импульса p и энергии E согласуются с инвариантностью величины $E^2 - p^2$ для данной системы.

Решение. Воспользовавшись преобразованиями Лоренца для импульса и энергии (7.26), найдем проекции полного импульса и энергии в другой (штрихованной) системе отсчета, имеющей скорость β и соответствующий фактор Лоренца γ :

$$p'_x = p_{1x} + p_{2x} = \gamma(p_{1x} + p_{2x}) - \gamma\beta(E_1 + E_2) = \gamma(p_x - \beta E);$$

$$p'_y = p'_{1y} + p'_{2y} = p_{1y} + p_{2y} = p_y;$$

$$E' = E'_1 + E'_2 = \gamma(E_1 + E_2) - \gamma\beta(p_{1x} + p_{2x}) = \gamma(E - \beta p_x).$$

Отсюда

$$E'^2 - p'^2 = E'^2 - (p_x'^2 + p_y'^2) = E^2 - p^2.$$

● 7.11. Фотон с энергией ε в лабораторной системе отсчета налетает на неподвижную частицу A с массой покоя m_0 . Найти:

- 1) скорость ζ -системы этих двух частиц;
- 2) энергию фотона и частицы A в ζ -системе.

Решение. 1. Согласно формуле (7.32), скорость ζ -системы

$$\beta = p/E = \varepsilon/(\varepsilon + m_0).$$

2. Из преобразования Лоренца для энергии (7.26) следует, что в ζ -системе энергия фотона

$$\tilde{\varepsilon} = \gamma(\varepsilon - \beta p) = \gamma(\varepsilon - \beta \varepsilon) = \varepsilon \frac{1 - \beta}{\sqrt{1 - \beta^2}} = \varepsilon \sqrt{\frac{1 - \beta}{1 + \beta}}.$$

Подставив выражение β из предыдущего пункта, получим

$$\tilde{\varepsilon} = \varepsilon \sqrt{m_0/(2\varepsilon + m_0)}.$$

Энергия частицы A в ζ -системе

$$\tilde{E}_A = m_0 \sqrt{1 - \beta^2} = (\varepsilon + m_0) \sqrt{m_0/(2\varepsilon + m_0)}.$$

В правильности полученных формул можно убедиться, воспользовавшись инвариантностью выражения $E^2 - p^2$ при переходе от лабораторной к ζ -системе отсчета:

$$(\varepsilon + m_0)^2 - \varepsilon^2 = (\tilde{\varepsilon} + \tilde{E}_A)^2.$$

ПРИЛОЖЕНИЯ

1. Движение точки в полярных координатах

В полярных координатах ρ , φ положение точки A на плоскости определено, если заданы ее расстояние ρ от начала отсчета O (рис. 141, а) и угол φ между радиусом-вектором ρ точки и выбранным направлением OO' — началом отсчета угловой координаты φ .

Введем единичные векторы — орты e_ρ и e_φ , связанные с движущейся точкой A и направленные в сторону возрастания соответствующих координат ρ и φ , как показано на рис. 141, а. В отличие от

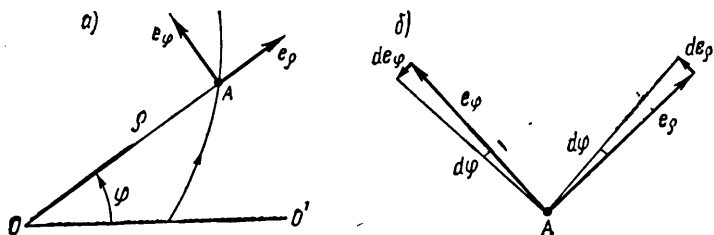


Рис. 141

ортов декартовой системы координат орты e_ρ и e_φ подвижные (при движении точки A они меняют свое направление). Найдем сразу же их производные по времени — они понадобятся ниже. При движении точки A за промежуток времени dt оба орта повернутся в одну сторону на один и тот же угол $d\varphi$ (рис. 141, б) и получат приращения:

$$de_\rho = 1 \cdot d\varphi \cdot e_\varphi; \quad de_\varphi = 1 \cdot d\varphi \cdot (-e_\rho).$$

Поделив оба выражения на dt , получим:

$$\dot{e}_\rho = \dot{\varphi} e_\varphi; \quad \dot{e}_\varphi = -\dot{\varphi} e_\rho, \quad (1)$$

где точка сверху над буквой означает дифференцирование по времени.

Теперь найдем скорость и ускорение точки A , записав ее радиус-вектор ρ в виде

$$\rho = \rho e_\rho. \quad (2)$$

Скорость точки v . Продифференцируем (2) по времени с учетом (1):

$$v = \dot{\rho} e_\rho + \rho \dot{\varphi} e_\varphi, \quad (3)$$

т. е. проекции вектора \mathbf{v} на подвижные орты \mathbf{e}_ρ и \mathbf{e}_φ равны:

$$v_\rho = \dot{\rho}; \quad v_\varphi = \rho\dot{\varphi}, \quad (4)$$

и модуль вектора скорости $v = \sqrt{\dot{\rho}^2 + \rho^2 \dot{\varphi}^2}$.

Ускорение точки w. Продифференцировав (3) еще раз по времени, получим

$$\mathbf{w} = \frac{d\mathbf{v}}{dt} = \ddot{\rho}\mathbf{e}_\rho + \dot{\rho}\dot{\mathbf{e}}_\rho + \frac{d}{dt}(\rho\dot{\varphi})\mathbf{e}_\varphi + \rho\dot{\varphi}\dot{\mathbf{e}}_\varphi.$$

Учтя (1), после несложных преобразований найдем

$$\mathbf{w} = (\ddot{\rho} - \rho\dot{\varphi}^2)\mathbf{e}_\rho + (2\dot{\rho}\dot{\varphi} + \rho\ddot{\varphi})\mathbf{e}_\varphi. \quad (5)$$

т. е. проекции вектора \mathbf{w} на орты \mathbf{e}_ρ и \mathbf{e}_φ равны:

$$w_\rho = \ddot{\rho} - \rho\dot{\varphi}^2, \quad (6)$$

$$w_\varphi = 2\dot{\rho}\dot{\varphi} + \rho\ddot{\varphi} = \frac{1}{\rho} \frac{d}{dt}(\rho^2\dot{\varphi}).$$

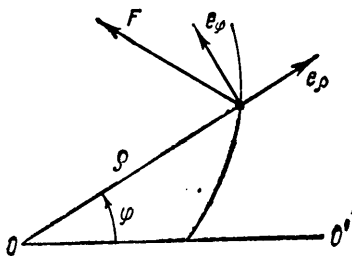


Рис. 142

Основное уравнение динамики в полярных координатах. Основное уравнение динамики $m\mathbf{w} = \mathbf{F}$ в проекциях на подвижные орты \mathbf{e}_ρ и \mathbf{e}_φ легко получить сразу, воспользовавшись формулами (6):

$$\left. \begin{aligned} m(\ddot{\rho} - \rho\dot{\varphi}^2) &= F_\rho, \\ m \frac{1}{\rho} \frac{d}{dt}(\rho^2\dot{\varphi}) &= F_\varphi, \end{aligned} \right\} \quad (7)$$

где F_ρ и F_φ — проекции вектора \mathbf{F} на орты \mathbf{e}_ρ и \mathbf{e}_φ (рис. 142). На этом рисунке $F_\rho < 0$, а $F_\varphi > 0$.

2. О задаче Кеплера

Задачей Кеплера называют задачу о движении частицы в центральном поле сил, убывающих обратно пропорционально квадрату расстояния от центра поля. Этому закону подчиняются силы ньютоновского притяжения между точечными массами (или телами, обладающими сферической симметрией), а также кулоновские силы между точечными зарядами.

В таком поле потенциальная энергия частицы $U = -\alpha/\rho$, где α — постоянная, ρ — расстояние от центра поля. Рассмотрим случай, когда $\alpha > 0$, т. е. сила, действующая на частицу массы m , направлена к центру поля (притяжение). Какой вид будет иметь траектория частицы в полярных координатах $\rho(\varphi)$, если при $\varphi =$

$= 0$ $\rho(0) = \rho_0$, а скорость ее перпендикулярна радиусу-вектору и равна v_0 (рис. 143)?

Для решения этой задачи обычно используют законы сохранения энергии и момента импульса. В полярных координатах ρ, φ из этих законов следует:

$$\frac{m}{2}(\dot{\rho}^2 + \rho^2 \dot{\varphi}^2) - \frac{\alpha}{\rho} = E; \quad m\rho^2 \dot{\varphi} = L,$$

где E и L — полная механическая энергия и момент импульса частицы относительно точки O — центра поля. Обе эти величины легко найти из начальных условий.

Решение этих уравнений проводят следующим образом. Сначала в первом уравнении переходят от дифференцирования по времени к дифференцированию по φ — это можно сделать с помощью второго уравнения:

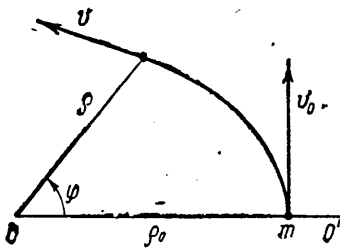


Рис. 143

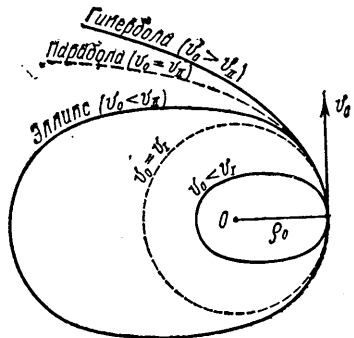


Рис. 144

$dt = (m\rho^2/L) d\varphi$. Затем разделяют переменные ρ, φ , т. е. приводят полученное выражение к виду $d\varphi = f(\rho)d\rho$. И наконец, интегрируют это уравнение с учетом начальных условий. Результат интегрирования и дает искомое решение $\rho(\varphi)$.

Мы не будем здесь подробно воспроизводить довольно громоздкий ход решения этих уравнений (при желании его можно найти почти в любом курсе теоретической физики или механики). Ограничимся лишь анализом полученного решения, которое имеет вид

$$\rho(\varphi) = \rho_0[a + (1 - a) \cos \varphi], \quad (1)$$

где $a = \alpha/m\rho_0 v_0^2$.

Из математики известно, что уравнение (1) определяет кривую второго порядка. В зависимости от значения параметра a это может быть эллипс (окружность), парабола или гипербола.

1. Сразу видно, что при $a = 1$ ρ не зависит от φ , т. е. траекторией является окружность. Такую траекторию частица будет иметь при скорости v_0 , равной

$$v_1 = \sqrt{\alpha/m\rho_0}. \quad (2)$$

2. Для всех значений параметра a , при которых ρ конечно вплоть до $\varphi = \pi$, траектория будет иметь форму эллипса. Как следует из (1), при $\varphi = \pi$

$$\rho(\pi) = \rho_0 / (2a - 1).$$

Отсюда видно, что $\rho(\pi)$ будет конечным лишь при $2a > 1$, т. е. при скорости $v_0 < v_{II}$, где

$$v_{II} = \sqrt{2a/m\rho_0}. \quad (3)$$

3. Если же $2a = 1$, т. е. $v_0 = v_{II}$, то эллипс вырождается в параболу — частица обратно не вернется.

4. При $v_0 > v_{II}$ траектория будет иметь форму гиперболы.

Все эти случаи показаны на рис. 144. Следует обратить внимание на то, что для эллиптических орбит центр поля совпадает с одним из фокусов эллипса: при $v_0 < v_I$ — с задним фокусом, а при $v_0 > v_I$ — с передним.

Заметим, что уравнение (1) описывает, например, траектории планет Солнечной системы (при этом $a = \gamma mM$, M — масса Солнца). Применительно к движению космических аппаратов скорости v_I и v_{II} являются соответственно первой и второй космическими скоростями. Ясно, что их значения зависят от массы тела, являющегося источником поля.

3. Доказательство теоремы Штейнера

Теорема: момент инерции I твердого тела относительно произвольной оси z равен моменту инерции I_C этого тела относительно оси z_C , параллельной данной и проходящей через центр инерции тела, плюс произведение массы тела m на квадрат расстояния a между осями:

$$I = I_C + ma^2.$$

Доказательство. Проведем через i -й элемент твердого тела плоскость, перпендикулярную оси z , и в этой плоскости — три вектора: ρ_i , ρ'_i и a (рис. 145). Первые два вектора характеризуют положение i -го элемента тела относительно осей z и z_C , а вектор a — положение оси z_C относительно оси z . Воспользовавшись связью между этими векторами ($\rho_i = \rho'_i + a$), преобразуем выражение для момента инерции тела относительно оси z :

$$I = \sum m_i \rho_i^2 = \sum m_i (\rho'_i + a)^2 = \sum m_i \rho_i'^2 + 2a \sum m_i \rho'_i + \sum m_i a^2.$$

В правой части этого равенства первая сумма представляет собой момент инерции тела I_C относительно оси z_C , а последняя сумма просто равна ma^2 . Остается показать, что средняя сумма равна нулю.

Пусть g'_i — радиус-вектор i -го элемента тела относительно центра инерции, тогда относительно последнего вектор $\sum m_i g'_i = 0$. Но ρ'_i — это вектор-проекция вектора g'_i на плоскость,

перпендикулярную оси z . Отсюда ясно, что если суммарный вектор равен нулю, то и сумма его векторов-проекций на любую плоскость также равна нулю, т. е. $\sum m_i \rho_i' = 0$. Теорема, таким образом, доказана.

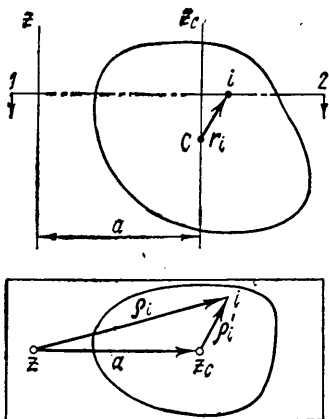


Рис. 145

4. Греческий алфавит

А, α — альфа	Ι, ι — йота	Ρ, ρ — ро
Β, β — бета	Κ, κ — каппа	Σ, σ — сигма
Γ, γ — гамма	Λ, λ — ламбда	Τ, τ — тау
Δ, δ — дельта	Μ, μ — мю	Υ, υ — ипсилон
Ε, ε — эpsilon	Ν, ν — ню	Φ, φ — фи
Ζ, ζ — дзета	Ξ, ξ — кси	Χ, χ — хи
Η, η — эта	Ο, ο — омикрон	Ψ, ψ — пси
Θ, θ, ϑ — тэта	Π, π — пи	Ω, ω — омега

5. Формулы алгебры и тригонометрии

Корни квадратного уравнения $ax^2 + bx + c = 0$:

$$x_{1,2} = \frac{-b \pm \sqrt{b^2 - 4ac}}{2a}.$$

Некоторые приближенные формулы. Если $\alpha \ll 1$, то

$$(1 \pm \alpha)^n = 1 \pm n\alpha$$

$$e^\alpha = 1 + \alpha$$

$$\ln(1 + \alpha) = \alpha$$

$$\sin \alpha = \alpha$$

$$\cos \alpha = 1 - \alpha^2/2$$

$$\operatorname{tg} \alpha = \alpha$$

Основные тригонометрические формулы:

$$\sin^2 \alpha + \cos^2 \alpha = 1$$

$$\sec^2 \alpha - \operatorname{tg}^2 \alpha = 1$$

$$\operatorname{csc}^2 \alpha - \operatorname{ctg}^2 \alpha = 1$$

$$\sin \alpha \cdot \sec \alpha = 1$$

$$\cos \alpha \cdot \operatorname{csc} \alpha = 1$$

$$\operatorname{tg} \alpha \cdot \operatorname{ctg} \alpha = 1$$

$$\sin \alpha = \frac{1}{\sqrt{1 + \operatorname{ctg}^2 \alpha}}$$

$$\cos \alpha = \frac{1}{\sqrt{1 + \operatorname{tg}^2 \alpha}}$$

$$\sin 2\alpha = 2 \sin \alpha \cdot \cos \alpha$$

$$\cos 2\alpha = \cos^2 \alpha - \sin^2 \alpha$$

$$\operatorname{tg} 2\alpha = \frac{2 \operatorname{tg} \alpha}{1 - \operatorname{tg}^2 \alpha}$$

$$\operatorname{ctg} 2\alpha = \frac{\operatorname{ctg}^2 \alpha - 1}{2 \operatorname{ctg} \alpha}$$

$$\sin \frac{\alpha}{2} = \sqrt{\frac{1 - \cos \alpha}{2}}$$

$$\cos \frac{\alpha}{2} = \sqrt{\frac{1 + \cos \alpha}{2}}$$

$$\begin{aligned} \sin(\alpha \pm \beta) &= \\ &= \sin \alpha \cos \beta \pm \cos \alpha \sin \beta \end{aligned}$$

$$\begin{aligned} \cos(\alpha \pm \beta) &= \\ &= \cos \alpha \cos \beta \mp \sin \alpha \sin \beta \end{aligned}$$

$$\operatorname{tg}(\alpha \pm \beta) = \frac{\operatorname{tg} \alpha \mp \operatorname{tg} \beta}{1 \mp \operatorname{tg} \alpha \cdot \operatorname{tg} \beta}$$

$$\operatorname{ctg}(\alpha \pm \beta) = \frac{\operatorname{ctg} \alpha \cdot \operatorname{ctg} \beta \mp 1}{\operatorname{ctg} \beta \mp \operatorname{ctg} \alpha}$$

$$\begin{aligned} \sin \alpha + \sin \beta &= \\ &= 2 \sin \frac{\alpha + \beta}{2} \cos \frac{\alpha - \beta}{2} \end{aligned}$$

$$\begin{aligned} \sin \alpha - \sin \beta &= \\ &= 2 \cos \frac{\alpha + \beta}{2} \sin \frac{\alpha - \beta}{2} \end{aligned}$$

$$\begin{aligned} \cos \alpha + \cos \beta &= \\ &= 2 \cos \frac{\alpha + \beta}{2} \cos \frac{\alpha - \beta}{2} \end{aligned}$$

$$\begin{aligned} \cos \alpha - \cos \beta &= \\ &= -2 \sin \frac{\alpha + \beta}{2} \sin \frac{\alpha - \beta}{2} \end{aligned}$$

$$\operatorname{tg} \alpha \pm \operatorname{tg} \beta = \frac{\sin(\alpha \pm \beta)}{\cos \alpha \cdot \cos \beta}$$

$$\operatorname{ctg} \alpha \pm \operatorname{ctg} \beta = \pm \frac{\sin(\alpha \pm \beta)}{\sin \alpha \cdot \sin \beta}$$

$$2 \sin \alpha \cdot \sin \beta = \cos(\alpha - \beta) - \cos(\alpha + \beta)$$

$$2 \cos \alpha \cdot \cos \beta = \cos(\alpha - \beta) + \cos(\alpha + \beta)$$

$$2 \sin \alpha \cdot \cos \beta = \sin(\alpha - \beta) + \sin(\alpha + \beta)$$

6. Таблица производных и интегралов

Функция	Производная	Функция	Производная
x^n	nx^{n-1}	$\sin x$	$\cos x$
$\frac{1}{x}$	$-\frac{1}{x^2}$	$\cos x$	$-\sin x$
$\frac{1}{x^n}$	$-\frac{n}{x^{n+1}}$	$\operatorname{tg} x$	$\frac{1}{\cos^2 x}$
\sqrt{x}	$\frac{1}{2\sqrt{x}}$	$\operatorname{ctg} x$	$-\frac{1}{\sin^2 x}$
e^x	e^x	$\arcsin x$	$\frac{1}{\sqrt{1-x^2}}$
e^{nx}	ne^{nx}	$\arccos x$	$-\frac{1}{\sqrt{1-x^2}}$
a^x	$a^x \ln a$	$\operatorname{arctg} x$	$\frac{1}{1+x^2}$
$\ln x$	$\frac{1}{x}$	$\operatorname{arccotg} x$	$-\frac{1}{1+x^2}$
\sqrt{u}	$\frac{u'}{2\sqrt{u}}$	$\operatorname{sh} x$	$\operatorname{ch} x$
$\ln u$	$\frac{u'}{u}$	$\operatorname{ch} x$	$-\operatorname{sh} x$
$\frac{u}{v}$	$\frac{vu' - v'u}{v^2}$	$\operatorname{th} x$	$\frac{1}{\operatorname{ch}^2 x}$
		$\operatorname{cth} x$	$-\frac{1}{\operatorname{sh}^2 x}$

$$\int x^n dx = \frac{x^{n+1}}{n+1}, \quad n \neq -1$$

$$\int \frac{dx}{x} = \ln x$$

$$\int \sin x dx = -\cos x$$

$$\int \cos x dx = \sin x$$

$$\int \operatorname{tg} x dx = -\ln |\cos x|$$

$$\int \operatorname{ctg} x dx = \ln |\sin x|$$

$$\int \frac{dx}{\cos^2 x} = \operatorname{tg} x$$

$$\int \frac{dx}{\sin^2 x} = -\operatorname{ctg} x$$

$$\int e^x dx = e^x$$

$$\int \frac{dx}{1+x^2} = \operatorname{arctg} x$$

$$\int \frac{dx}{\sqrt{1-x^2}} = \arcsin x$$

$$\int \frac{dx}{\sqrt{x^2-1}} = \ln(x + \sqrt{x^2-1})$$

7. Некоторые сведения о векторах

Скалярное произведение векторов:

$$ab = ba = ab \cos \alpha \\ a(b+c) = ab + ac.$$

Векторное произведение векторов:

$$[ab] = -[ba]; \quad |[ab]| = ab \sin \alpha \\ [a, b+c] = [ab] + [ac].$$

Смешанное, или векторно-скалярное, произведение трех векторов является скаляром и численно равно объему параллелепипеда, построенного на этих векторах:

$$a [bc] = b [ca] = c [ab]; \\ a [bc] = -b[ac] = -a[cb].$$

Двойное векторное произведение:

$$[a [bc]] = b(ac) - c(ab).$$

Произведение векторов в координатном представлении. Если

$$a = a_1 e_1 + a_2 e_2 + a_3 e_3, \\ b = b_1 e_1 + b_2 e_2 + b_3 e_3,$$

где e_1, e_2, e_3 — координатные орты (взаимно перпендикулярные и образующие правую тройку), то

$$ab = a_1 b_1 + a_2 b_2 + a_3 b_3$$

$$[ab] = \begin{vmatrix} e_1 & e_2 & e_3 \\ a_1 & a_2 & a_3 \\ b_1 & b_2 & b_3 \end{vmatrix} =$$

$$= (a_2 b_3 - a_3 b_2) e_1 + (a_3 b_1 - a_1 b_3) e_2 + (a_1 b_2 - a_2 b_1) e_3.$$

Правила дифференцирования векторов, зависящих от некоторой скалярной переменной t :

$$\frac{d}{dt} (a+b) = \frac{da}{dt} + \frac{db}{dt};$$

$$\frac{d}{dt} (\alpha a) = \frac{d\alpha}{dt} a + \alpha \frac{da}{dt};$$

$$\frac{d}{dt} (ab) = \frac{da}{dt} b + a \frac{db}{dt};$$

$$\frac{d}{dt} [ab] = \left[\frac{da}{dt} b \right] + \left[a \frac{db}{dt} \right].$$

Градиент скалярной функции φ :

$$\nabla \varphi = \frac{\partial \varphi}{\partial x} i + \frac{\partial \varphi}{\partial y} j + \frac{\partial \varphi}{\partial z} k,$$

где i, j, k — координатные орты осей x, y, z .

8. Единицы механических величин в системах СИ и СГС

Величина	Единица		Отношение ед. СИ ед. СГС
	СИ	СГС	
Длина	м	см	10^3
Время	с	с	1
Угол	рад	рад	1
Площадь	м ²	см ²	10^4
Объем	м ³	см ³	10^6
Скорость	м/с	см/с	10^2
Ускорение	м/с ²	см/с ²	10^2
Частота колебаний	Гц	Гц	1
Круговая частота колебаний	рад/с	рад/с	1
Угловая скорость	рад/с	рад/с	1
Угловое ускорение	рад/с ²	рад/с ²	1
Масса	кг	г	10^3
Плотность	кг/м ³	г/см ³	10^{-3}
Сила	Н	дин	10^5
Давление	Па	дин/см ²	10
Работа, энергия	Дж	эрг	10^7
Мощность	Вт	эрг/с	10^7
Импульс	кг·м/с	г·см/с	10^5
Импульс силы	Н·с	дин·с	10^5
Момент силы	Н·м	дин·см	10^7
Момент импульса	кг·м ² /с	г·см ² /с	10^7
Момент инерции	кг·м ²	г·см ²	10^7
Импульс момента силы	Н·м·с	дин·см·с	10^7
Поток энергии	Вт	эрг/с	10^7
Плотность потока энергии	Вт/м ²	эрг/(с·см ²)	10^8

9. Десятичные приставки к названиям единиц

Т — тера (10^{12})	с — санти (10^{-2})
Г — гига (10^9)	м — милли (10^{-3})
М — мега (10^6)	мк — микро (10^{-6})
к — кило (10^3)	н — нано (10^{-9})
г — гекто (10^2)	п — пико (10^{-12})
да — дека (10^1)	ф — фемто (10^{-15})
д — деци (10^{-1})	а — атто (10^{-18})

Примеры: нм — нанометр (10^{-9} м),
кН — килоньютон (10^3 Н),
МэВ — мегаэлектронвольт (10^6 эВ),
мкВт — микроватт (10^{-6} Вт).

10. Некоторые внесистемные единицы

Длина	1 Å (ангстрем) = 10^{-10} м
	1 а. е. (астрономическая единица) = $1,496 \cdot 10^{11}$ м
	1 св. год (световой год) = $0,946 \cdot 10^{16}$ м
	1 пк (парсек) = $3,086 \cdot 10^{16}$ м
Время	1 сут (сутки) = 86400 с
	1 год = $3,11 \cdot 10^7$ с
Масса	1 а. е. м. = $1,66 \cdot 10^{-27}$ кг
	1 т (тонна) = 10^3 кг
Сила	1 кгс (килограмм-сила) = 9,81 Н
	1 тс (тонна-сила) = $9,81 \cdot 10^3$ Н
Давление	1 бар = 10^5 Па (точно)
	1 атм = $1,01 \cdot 10^5$ Па
	1 мм рт. ст. = 133 Па
Энергия	1 эВ = $1,60 \cdot 10^{-19}$ Дж
	1 Вт·ч = $3,6 \cdot 10^3$ Дж
Мощность	1 л. с. (лошадиная сила) = 736 Вт

11. Астрономические величины

	Масса, кг	Средний радиус, м	Средний радиус орбиты, м
Солнце	$1,97 \cdot 10^{30}$	$6,95 \cdot 10^8$	—
Земля	$5,96 \cdot 10^{24}$	$6,37 \cdot 10^6$	$1,50 \cdot 10^{11}$
Луна	$7,34 \cdot 10^{22}$	$1,74 \cdot 10^8$	$3,84 \cdot 10^8$

12. Физические постоянные

Скорость света в вакууме	$c = \begin{cases} 2,998 \cdot 10^8 \text{ м/с} \\ 2,998 \cdot 10^{10} \text{ см/с} \end{cases}$
Гравитационная постоянная	$\gamma = \begin{cases} 6,67 \cdot 10^{-11} \text{ м}^3/(\text{кг} \cdot \text{с}^2) \\ 6,67 \cdot 10^{-8} \text{ см}^3/(\text{г} \cdot \text{с}^2) \end{cases}$
Стандартное ускорение свободного падения	$g = \begin{cases} 9,807 \text{ м/с}^2 \\ 980,7 \text{ см/с}^2 \end{cases}$
Постоянная Авогадро	$N_A = \begin{cases} 6,025 \cdot 10^{23} \text{ кмоль}^{-1} \\ 6,025 \cdot 10^{23} \text{ моль}^{-1} \end{cases}$
Элементарный заряд	$e = \begin{cases} 1,602 \cdot 10^{-19} \text{ Кл} \\ 4,80 \cdot 10^{-10} \text{ СГС} \end{cases}$
Масса покоя электрона	$m_e = \begin{cases} 0,911 \cdot 10^{-30} \text{ кг} \\ 0,911 \cdot 10^{-27} \text{ г} \end{cases}$
Удельный заряд электрона	$\frac{e}{m_e} = \begin{cases} 1,76 \cdot 10^{11} \text{ Кл/кг} \\ 5,27 \cdot 10^{17} \text{ СГС} \end{cases}$
Масса покоя протона	$m_p = \begin{cases} 1,672 \cdot 10^{-27} \text{ кг} \\ 1,672 \cdot 10^{-24} \text{ г} \end{cases}$
Атомная единица массы	1 а.е.м. = $\begin{cases} 1,660 \cdot 10^{-27} \text{ кг} \\ 1,660 \cdot 10^{-24} \text{ г} \end{cases}$ 9314 МэВ

ПРЕДМЕТНЫЙ УКАЗАТЕЛЬ

- Абсолютно твердое тело 9
- Вектор аксиальный 18
— перемещения 10
— полярный 18
- Векторная диаграмма импульсов 114
- Вращательное движение 17, 145
- Галилея преобразования 36, 167
— принцип относительности 36
- Гироскоп 153
- Главные оси инерции 152
- Градиент 74
- Гаука закон 44
- Движение тела с переменной массой 120
- Диаграмма импульсов векторная 114
— Минковского 192
— пространства-времени 198
- Дуговая координата 14
- Закон взаимосвязи массы и энергии 209
— всемирного тяготения 43
— Ньютона второй 39,
— — первый 34
— — третий 41
— сохранения импульса 102
— — момента импульса 136
— — энергии 89, 90
- Законы сил 42
— сохранения 62
- Замедления времени 177
- Изотропность пространства 35
- Импульс 40, 100
— момента силы 132
— силы 100
— релятивистский 203
— системы 101
- Интервал 189
- Кеплера задача 229
- Кинематика твердого тела 16
— точки 10
- Кинетическая энергия 78
— — релятивистская 208
— — твердого тела 148, 151
- Лоренца преобразования 185
— — для импульса и энергии 214
- Лоренцево сокращение 181, 188
- Лоренц-фактор 214
- Майкельсона опыт 169
- Масса 38
— покоя 203
— приведенная 110
— релятивистская 203
- Материальная точка 9
- Мгновенная ось вращения 23
- Мещерского уравнение 120
- Минковского диаграмма 192
- Мировая линия 193
— точка 193
- Момент гироскопический 155
— импульса 129
— — относительно оси 134
— — системы 135
— — собственный 142
— инерции 146
— — некоторых тел 146
— силы 130
— — относительно оси 135
- Мощность 67
- Напряженность поля 76
- Начальные условия 11
- Одновременность 174, 186, 194
- Однородность времени 35
— пространства 35
- Основное уравнение динамики Ньютона 45
— — релятивистской динамики 205

- Пара сил 141
- Плечо импульса 129
 - силы 130
- Плоское движение 21, 149
- Поле 76
 - сил 68
 - — потенциальное 68
 - — стационарное 68
- Порог 118
- Пороговая энергия 225
 - кинетическая энергия 119
- Постулаты Эйнштейна 171
- Поступательное движение 17
- Потенциал 76
- Потенциальная энергия 70, 82, 83
- Преобразования Галилея 36, 167
 - Лоренца 185
 - для импульса и энергии 214
 - скорости 25—27
 - — релятивистской 191
 - ускорения 25—27
- Прецессия гироскопа 154
- Приведенная масса 110
- Принцип дальнего действия 41
 - относительности Галилея 36
 - — Эйнштейна 171
 - суперпозиции 41, 76
 - эквивалентности 52
- Прицельный параметр 117
- Путь 29

- Работа 64
 - при вращении твердого тела 149
 - упругой силы 65
 - гравитационной силы 66
 - однородной силы тяжести 66
- Релятивистский закон преобразования скорости 191
 - импульс 203

- «Световые часы» 177
- Свободные оси 152
- Связь между линейными и угловыми величинами. 20
- Сила 37, 39
 - внешняя 86
 - внутренняя 86
 - гравитационная 42
 - диссипативная 87
 - инерции 49
- Сила консервативная 68
 - Кориолиса 49
 - кулоновская 43
 - нормальная 47
 - потенциальная 86
 - равнодействующая 144
 - реактивная 121
 - сопротивления 44
 - сторонняя 79
 - тангенциальная 47
 - трения 44
 - тяжести 44
 - упругая 44
 - центральная 69
 - центробежная инерции 49
- Симметрия времени и пространства 35
- Синхронизация часов 172
- Система замкнутая 82
 - консервативная 89
 - отсчета 8
 - — гелиоцентрическая 35
 - — инерциальная 34
 - — неинерциальная 35, 48
 - центра инерции 108
- Скорость точки 14
 - угловая 18
 - — прецессии 154
 - центра инерции 106
- Собственная длина 181
- Собственное время 178
- Событие 172
- События причинно-связанные 188, 190
- Состояние системы 62
- Столкновение двух частиц (релятивистских) 217
 - абсолютно неупругое 112
 - — упругое 112
 - лобовое 112
 - нелобовое 113
 - неупругое 117

- Уравнение динамики Ньютона 45
 - — в декартовых координатах 45
 - — в проекциях на касательную нормаль 47
 - Мещерского 120
 - моментов 130
 - — в Π -системе 143
 - релятивистской динамики основное 205

- Ускорение 11
 — кориолисово 26
 — нормальное 16
 — осеостремительное 26
 — тангенциальное 16
 — угловое 19
- Центр инерции (масс) 105
 Центра инерции уравнение движения 106
 Ц-система 6, 108
- Штейнера теорема 146, 231
- Эйнштейна постулаты 171
 — принцип относительности 171
 Эквипотенциальная поверхность 75
 Экзоэнергетическое столкновение 117
 Эндоэнергетическое столкновение 117
 Энергия внутренняя 109
 — покоя (собственная) 210
 — полная (релятивистская) 210
 — — механическая 80, 88

Игорь Евгеньевич Иродов

ОСНОВНЫЕ ЗАКОНЫ МЕХАНИКИ

Редактор Е. С. Гридасова
 Художник С. А. Киреев
 Художественный редактор В. И. Пономаренко
 Технический редактор З. В. Нуждина
 Корректор Г. И. Кострикова

ИБ 1124

Изд. № ФМ-624 Сдано в набор 26.08.77. Подп. в печ. 03.03.78.
 Формат 84×108^{1/32}. Бум. тип. № 3. Гарнитура литературная. Печать высокая.
 Объем 12,60 усл. печ. л. 12,31 уч.-изд. л. Тираж 46 000 экз. Зак. № 1976.
 Цена 35 коп.

Издательство «Высшая школа»,
 Москва, К-51, Неглинная ул., д. 29/14.

Московская типография № 4 Союзполиграфпрома
 при Государственном комитете Совета Министров СССР
 по делам издательств, полиграфии и книжной торговли
 Москва, И-41, Б. Переяславская ул., 46